

# الميكانيكا الحيوية

والتقييم والقياس التحليلي في الأداء البدني

دكتور

عادل عبد البصير على

أستاذ الميكانيكا الحيوية المتفرغ والعميد المؤسس

لكلية التربية الرياضية ببورسعيد

جامعة قناة السويس

٢٠٠٧

المكتبة المصرية



للطباعة والنشر والتوزيع

٣ ش أحمد ذو الفقار - لوران - الإسكندرية

تليفاكس: ٤٥٨٤٠٢٩٨ / ٠٢٠٠

محمول: ٤٦٨٦٠٤٩٠ / ٠٢٠٠

□ اسم الكتاب : الميكانيكة الحيوية والتقييم والقياس

التحليلي في الأداء البدني

□ اسم المؤلف : د. عادل عبد البصير

□ اسم الناشر : المكتبة المصرية

٣ ش أحمد ذو الفقار - لوران - الإسكندرية

تليفاكس : ٥٨٤٠٢٩٨ / ٥٠٢٠٣

□ الطبعة : الطبعة الأولى

□ رقم الإيداع : 2006/ 18994

□ الترميم الدولي : I. S. B. N. 5 - 322 - 411 - 977

لا يجوز نشر أي جزء من هذا الكتاب أو اختزان مادته  
بطريقة الاسترجاع أو نقله على أي وجه سواء كانت  
الكرونية أو تصوير أو تسجيل أو بخلاف ذلك إلا بموافقة  
الناشر على هذا كتابياً ومقوماً.



• جميع الحقوق محفوظة للناشر •



بطاقة فهرسة  
فهرسة أثناء النشر إعداد الهيئة العامة لدار الكتب والوثائق القومية  
إدارة الشؤون الفنية

على ، عادل عبد البصير

الميكانيكا الحيوية والتقييم والقياس التحليلي في الأداء البدني /

عادل عبد البصير على . - ط ١ - الإسكندرية : المكتبة المصرية

للطباعة والنشر والتوزيع ، ٢٠٠٧ .

٣٩١ ص ؛ ٢٤ سم .

تدمك ٥ ٣٢٢ ٤١١ ٩٧٧

١ - الميكانيكا الحيوية .

أ - العنوان

٥٧٤ ، ١٩١٢١

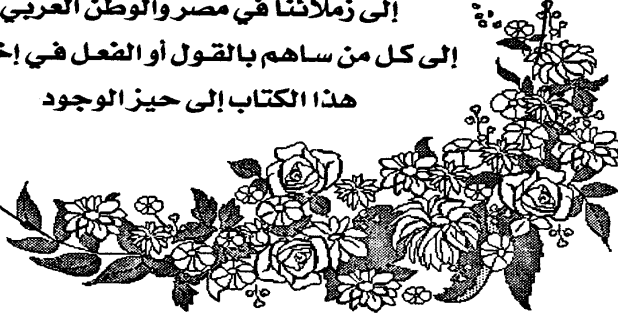


بِسْمِ اللَّهِ الرَّحْمَنِ الرَّحِيمِ



إهداء

إلى الزوجة والأبناء الأحياء  
إلى كل من يعمل مخلصاً في مجال الرياضة عامة  
ويخاصة الميكانيكا الحيوية  
إلى زملائنا في مصر والوطن العربي  
إلى كل من ساهم بالقول أو الفعل في إخراج  
هذا الكتاب إلى حيز الوجود





## المقدمة

يستثير الاهتمام المتزايد بدراسة الأداء الحركى الإنسانى فى الأنشطة الرياضية المختلفة العاملين فى مجال تدريس وتدريب المهارات الحركية المرتبطة بالأنشطة الرياضية المتنوعة لدراسة العوامل المؤثرة بطريقة مباشرة أو غير مباشرة فى الأداء الحركى الإنسانى، سواء كانت هذه العوامل، عوامل بيولوجية أو فسيولوجية أو تشريحية أو عوامل اجتماعية وبيئية ونفسية، أو عوامل ميكانيكية، لتجميع مادة نظرية توضح العلاقات المتداخلة لكل من هذه العوامل ومدى ارتباطها ببعضها البعض بهدف الوصول إلى تعميمات يمكن عن طريقها ترشيد عملية التعليم والتدريب وتطوير إستراتيجيات تحسين الأداء الحركى لإنجاز أفضل النتائج الرياضية. ويعتبر علم الميكانيكا الحيوية Biomechanics أحد فروع علم الحركة Kinesiology التى تهتم بدراسة وتحليل الأداء الحركى الإنسانى فى إطار العوامل المؤثرة فى الأداء الحركى السابقة ذكرها عالية، مستخدماً فى سبيل ذلك أساليب ووسائل متباينة ومتعددة. ويعتبر التقييم والقياس من أهم الوسائل التى يعتمد عليها العاملين فى شتى مجالات المعرفة عامة وبخاصة مجال الميكانيكا الحيوية لتجميع المادة النظرية التى تمكنهم من الإبداع والابتكار فى مجالات الأنشطة الرياضية المتعددة.

ونظراً لأهمية التقييم والقياس فى المجال الرياضى، تناوله الكثيرون من الباحثين فى كل من الفروع المعرفية لعلم الحركة مثل مجالات علم النفس

والتربية (٣)، والتربية البدنية (١٤)، إلا أن القليل منهم تناوله فى مجال الميكانيكا الحيوية (٨)، (١٠).

لذا فإن هذا المصنف هدف إلى التعرض بشكل مصغر وعلى نطاق واسع للأدوات الرياضية والتقنية الضرورية لدراسة حركة جسم الإنسان والحيوان.

ويزود مصنفنا هذا الطلاب والباحثين بالأدوات والوسائل الضرورية لجمع وتحليل الخصائص الميكانيكية لحركات جسم الإنسان باستخدام تقنيات الميكانيكا الحيوية.

ونحن نسلم بأن القارئ لديه حصيلة لا بأس بها فى الميكانيكا الحيوية أو قوانين نيوتن أو الميكانيكا الهندسية. كما يجب أن يمتلك القارئ فهم المتجهات ويكون معروف لديه نظام الوحدات الدولى وبالرغم من مراجعة هذه المناطق يجب أن يعرف القارئ القوانين الأولية الميكانيكية والمسماء بقوانين نيوتن، وقواعد تشريح الهيكل العظمى لجسم الإنسان. هذا المصنف يفحص كيفية تطبيق تلك القوانين على حركات جسم الإنسان المعقدة، ويتضمن تحليل حركة أعضاء جسم الإنسان عن طريق العضو أو تركيب أعضاء الطرف أو قياسات الجسم كله. وبالرغم من أن معرفة الإنسان لعلم التشريح مرغوب فيه إلا أنه ليس من الضروري التعمق فى مفهوم وصف أدواته التحليلية.

واشتمل هذا المصنف على ثلاثة أبواب، تضمن الباب الأول (الحركة المستوية) واشتمل على خمس فصول تناول الفصل الأول، وصف وضع جسم الإنسان، وتحديد نظام الإحداثيات المتعامدة. وتناول الفصل الثانى درجات الحرية، وماهيتها، وتحديد درجات الحرية فى كل من الحركة فى



البعدين أو الثلاثة أبعاد. فى حين تعرض كل من الفصل الثالث لجمع البيانات الكينماتيكية والفصل الرابع للكينماتيكا الخطية والفصل الخامس للكينماتيكا الزاوية. أما الباب الثانى (كينماتيكا جسم الإنسان)، تضمن خمس فصول تناول كل من الفصل الأول باراميترات أعضاء الجسم، الفصل الثانى القوى ومسبباتها، والفصل الثالث الديناميكي المعكوسة للبعدين، والفصل الرابع الطاقة، الشغل، القدرة، والفصل الخامس كينماتيكا الثلاثة أبعاد. وتضمن الباب الثالث (التكنيكات الإضافية) فصلين، تناول كل من الفصل الأول النمذجة العضلية والفصل الثانى تناول نموذج ميكانيكا العصب عضلى.

وقد زيل كل فصل من فصول هذا المصنف بأسئلة للمراجعة وقائمة للمراجع. وفى نهاية هذا المصنف زود بالمرفقات الخاصة بالقواعد الرياضية وعلاقتها بالمهارات ومراجعة حساب المثلاث ووحدة القياس المنتشرة، والباراميترات الأنثروبومترية لجسم الإنسان. وندعوا الله سبحانه وتعالى أن يفيد من هذا العمل القارئ. تحريراً فى

**أ.د. عادل عبد البصير على**

\_\_\_\_\_

# المحتويات



الصفحة

الموضوع

أ	إهداء	.....
ب	المقدمة	.....

## الباب الأول

### Planar Kinematics الحركة المستوية

٣	الأهداف	.....
٣	تمهيد	.....

## الفصل الأول

### Description of Position وصف الوضع

٧	الأهداف	.....
٧	تمهيد	.....
٨	أولاً : تحديد الإحداثيات	.....
١١	ثانياً : وصف الوضع	.....
١٣	الملخص	.....
١٤	اختبر معلوماتك	.....
١٥	المراجع	.....

## الفصل الثاني

### Degrees of Freedom درجات الحرية

١٩	الأهداف	.....
١٩	تمهيد	.....

١٩	.....	أولاً : درجات الحرية
٢١	.....	ثانياً: تحليل حركة الأعضاء
٢٢	.....	الملخص
٢٢	.....	اختبر معلوماتك
٢٣	.....	المراجع

### الفصل الثالث

#### جمع البيانات الكينماتيكية (الحركية)

#### Kinematical Data Collection

٢٧	.....	الأهداف
٢٧	.....	تمهيد
٢٨	.....	أولاً : طرق تجميع بيانات الحركة
٣٠	.....	ثانياً: مبادئ التصوير المساحي
٣٤	.....	ثالثاً: نظم معايرة الصورة
٣٩	.....	رابعاً: اختيار علامة البعدين
٤٢	.....	خامساً: علامة الحركات الحرة
٤٣	.....	الملخص
٤٤	.....	اختبر معلوماتك
٤٥	.....	المراجع

### الفصل الرابع

#### الكينماتيكية الخطية Linear Kinematics

٤٩	.....	الأهداف
٤٩	.....	تمهيد
٥١	.....	أولاً : حساب تفاضلات الزمن (التفاضل)

٥٤	..... ثانياً، الإشارة، والتشويش وتهذيب البيانات
٦٠	..... ثالثاً، مقياس التسارع
٦١	..... الملخص
٦٢	..... اختبار معلوماتك
٦٣	..... المراجع

#### الفصل الخامس

##### Angular Kinematics الكينماتيكا الزاوية

٦٧	..... الأهداف
٦٧	..... تمهيد
٦٩	..... أولاً، الاصطلاحات الزاوية
٧١	..... ثانياً، زوايا المفاصل
٧٤	..... ثالثاً، مشتقات الزاوية بالنسبة للزمن
٧٥	..... رابعاً، التحويل الزاوي للخطى
٧٨	..... خامساً، تمثيل بيانات الحركة الزاوية
٨٠	..... الملخص
٨١	..... اختبار معلوماتك
٨٢	..... المراجع

#### الباب الثاني

##### Human Body Kinetics كيناتيكا جسم الإنسان

#### الفصل الأول

##### باراميترات أعضاء الجسم

##### Body Segments Parameters

٨٧	..... الأهداف
----	---------------

٨٧	تمهيد
٨٨	أولاً : طرق حساب وتقدير بارامترات عضو الجسم
٨٩	ثانياً: دراسات الجثث
٩٩	ثالثاً: النماذج الرياضية
١٠٠	رابعاً: تقنيات المسح والتصوير
١٠٠	خامساً: التقنيات الكينماتيكية
١٠١	الملخص
١٠٢	اختبر معلوماتك
١٠٤	المراجع

## الفصل الثاني

### القوى وقياسها Forces and Its Measurements

١٠٩	الأهداف
١٠٩	تمهيد
١١٠	أولاً : القوة
١١٢	ثانياً: قوانين نيوتن
١١٤	ثالثاً: التمثيل البياني الحر للجسم
١٢٢	رابعاً: الاحتكاك
١٢٤	خامساً: القصور الذاتي
١٢٥	سادساً: عزم القوة أو عزم اللي (اللف)
١٢٨	سابعاً: الدفع وكمية الحركة الخطية
١٣٠	ثامناً: قياس القوة والدفع اللخطي والعزم
١٣٤	تاسعاً: كمية الحركة الخطية لأجزاء الجسم والجسم كله
١٣٧	عاشرأ: كمية الحركة الزاوية العضوية

١٣٨	..... احدى عشر، كمية الحركة الزاوية الكلية للجسم
١٣٩	..... اثني عشر، الدفع الزاوي
١٤٢	..... ثالث عشر، قياس القوة
١٤٦	..... الملخص
١٤٧	..... اختبر معلوماتك
١٤٨	..... المراجع

### الفصل الثالث

#### الديناميكا المعكوسة للبعدين

#### Two-Dimensional Inverse Dynamics

١٥٣	..... الأهداف
١٥٣	..... تمهيد
١٥٥	..... أولاً، ماهية الديناميكا المعكوسة
١٦٠	..... ثانياً، تحليل الحركة المستوية
١٦٤	..... ثالثاً، الصيغة العددية
١٧٥	..... رابعاً، طريقة الأجزاء
١٧٦	..... خامساً، تحليل العضو المنفرد
١٧٩	..... سادساً، تحليل العضو المتعدد
١٨٦	..... سابعاً، كيناتيكا مفصل الإنسان
١٩١	..... ثامناً، طريقة الحركة النسبية مقابل طريقة الحركة المطلقة
١٩٦	..... تاسعاً، المشي
٢١٠	..... الملخص
٢١١	..... اختبر معلوماتك
٢١٣	..... المراجع

#### الفصل الرابع

##### الطاقة، الشغل، القدرة Energy, Work, Power

الأهداف	٢٢١
تمهيد	٢٢١
أولاً : الطاقة، والشغل، وقوانين الديناميكا الحرارية	٢٢٢
ثانياً، بقاء كمية الطاقة الميكانيكية	٢٢٨
ثالثاً، الإرجوميترى: الطرق المباشرة	٢٣٢
رابعاً، الأرجوميترى: الطرق غير المباشرة	٢٣٥
خامساً، طرائق الأجزاء	٢٣٧
سادساً، الكفاية (الفعالية) الميكانيكية	٢٣٨
الملخص	٢٤١
اختبر معلوماتك	٢٤٢
المراجع	٢٤٤

#### الفصل الخامس

##### كيناتيكا الثلاث أبعاد Three Dimensional Kinetics

الأهداف	٢٤٩
تمهيد	٢٤٩
أولاً : تجهيز المعمل	٢٥٠
ثانياً، البيانات المطلوبة لتحليل ثلاثى الأبعاد	٢٥١
ثالثاً، البيانات الكينماتيكية	٢٥٣
رابعاً، حسابات كيناتيكا الثلاث أبعاد	٢٥٨
خامساً، الحسابات المستخدمة بيانات المعايرة	٢٥٩
سادساً، الكيناتيكا	٢٧٠



٢٧٦	..... الملخص
٢٧٦	..... اختبار معلوماتك
٢٧٧	..... المراجع

### الباب الثالث

#### التكنيكات الإضافية Additional Techniques

##### الفصل الأول

##### النمذجة العصبية العضلية

##### Neuromuscular Modeling

٢٨٥	..... الأهداف
٢٨٥	..... تمهيد
٢٨٦	..... أولاً: قواعد للنمذجة العصبية العضلية
٢٨٨	..... ثانياً: احتمالات تركيبية لنماذج عضلية عصبية متقدمة
٣٠٥	..... ثالثاً: نمذجة الجهاز الحسي
٣١٣	..... رابعاً: النمذجة لأنظمة أمثلية متقدمة وعكسية
٣٢٩	..... الملخص
٣٢٩	..... اختبار معلوماتك
٣٣٠	..... المراجع

##### الفصل الثاني

##### نموذج ميكانيكا العصب عضلي

##### Mechanical Neuromuscular Modeling

٣٤٣	..... الأهداف
٣٤٣	..... تمهيد

٣٤٥	أولاً: نظام الإحداثيات والتقييدات
٣٤٩	ثانياً: الأسس النظرية
٣٥٤	ثالثاً: معادلات أيولير
٣٥٧	رابعاً: معادلات لاجرانج
٣٧١	مناقشة
٣٧٤	الملخص
٣٧٥	اختبر معلوماتك
٣٧٦	المراجع
٣٧٧	الملحقات

# الباب الأول

## الحركة المستوية Planar Kinematics

الأهداف

تمهيد

الفصل الأول : تحديد الإحداثيات

الفصل الثاني : وصف الوضع

الملخص

اختبر معلوماتك

المراجع



# الباب الأول

## الحركات المستوية Planar Kinematics

### الأهداف Objectives

بعد قراءة هذه الفصول يصبح القارئ قادراً على :

- ١- كيفية وصف وضع الجسم.
- ٢- كيف يحدد الكميات المستقلة (درجات الحرية) الضرورية لوصف أى نقطة أو أى جسم فى الفضاء.
- ٣- التعرف على كيف يقيس ويحسب التغيرات فى الوضع الخطى (الإزاحة) ومشتقات السرعة والعجلة بالنسبة للزمن.
- ٤- التعرف على كيف يقيس ويحسب التغيرات فى الوضع الزاوى (الإزاحة الزاوية) ومشتقات السرعة الزاوية والعجلة الزاوية بالنسبة للزمن.
- ٥- كيف يصف ويعرض النتائج الكينماتيكية (الحركية).
- ٦- كيفية شرح القياس المباشر للوضع والسرعة المتجهة، والعجلة، باستخدام نظم حساب الحركة أو المحولات.

### تمهيد : Review

تعتبر الكينماتيكا الحيوية إحدى أقسام الديناميكا وهى تهتم فى المقام الأول بدراسة حركة الأجسام دون النظر إلى مسببات حدوثها، وفى سبيل تحقيق ذلك تستخدم مصطلحات المسافة Distance، والإزاحة

Displacement، والسرعة Speed، والسرعة المتجهة Velocity، والعجلة بالنسبة للحركة الخطية وبالمثل بالنسبة للحركة الزاوية تستخدم المسافة الزاوية Angular والإزاحة الزاوية Angular displacement، العجلة الزاوية Angular Acceleration. وفى هذا الباب الأول سوف نعرض أمثلة لكيفية القياسات الكينماتيكية المستخدمة فى بحث البيوميكانيكا، وبخاصة طرائق تفاعلات المتغيرات الكينماتيكية للتحليلات الخطية (ذو البعدين) المعروضة فى الفصل الأول. فى الفصل الثانى تصنيف مفاهيم تقييم جمع وتحليل الكينماتيكا الفراغية (الأبعاد الثلاثة).

الكينماتيكا هى الأدوات التحليلية المفضلة فى الإجابة عن أسئلة الباحثين كمثال "من يكون الأسرع؟" وما هو مدى حركة المفصل؟ وكيف يعمل نموذجين لحركتين مختلفتين؟ أهم تطبيقات البيانات الكينماتيكية هى استخدامها كقيم مدخلة من أجل أداء التحليلات الديناميكية المعكوسة لتقدير فعل القوى وعزم القوى عبر مفاصل النظام الحلقى للأجسام الصلبة. لذلك ربما يكون التحليل الكينماتيكي فى حد ذاته نهائياً أو يكون الخطوة المتوسطة التى تمكن من توالى التحليل الكينماتيكي. بينما المتغيرات الكينماتيكية هى الهدف الأول لموضوع البحث أو غالباً الخطوة الأولى فى أى مجموعات للتحليل، فهى تحتاج إلى قياسات كمية دقيقة تعرضنا لها فى الفصل الثالث من خلال جمع البيانات الكينماتيكية كما اهتم الفصل الثالث بالكينماتيكا الخطية والفصل الرابع بالكينماتيكا الزاوية.

## الفصل الأول

### وصف الوضع Description of Position

الأهداف

تمهيد

أولاً : تحديد الإحداثيات

ثانياً : وصف الوضع

الملخص

اختبر معلوماتك

المراجع





## الفصل الأول

### وصف الوضع Description of Position

#### الأهداف Objectives

بعد قراءة هذا الفصل يصبح القارئ قادراً على :

١- تحديد نظام الإحداثيات المتعامدة.

٢- وصف وضع أى نقطة أو أى جسم.

#### تمهيد : Review

تعتبر الهندسة الكينماتيكية فرع من فروع الكينماتيكا الذى يفسر من خلاله وصف وضع وإزاحة الجسم بدون أن نضع للزمن أى اعتبار، ويعنى ذلك أن مناقشة الهندسة الكينماتيكية لا تتعرض لاصطلاحات السرعة والعجلة أى لا تضعها فى الاعتبار.

ويتحدد وضع الجسم الصلب واتجاهه عن طريق وضع نقطة على وضع هذا الجسم، ويمكن رؤية جسم الإنسان كنظام حلقى صلب تربطه المفاصل. وبالرغم من أن عادة لا تكون أجزاء جسم الإنسان تركيباتها صلبة إلا أننا فى غالب الأحيان نسلم بكونها أجزاء صلبة خلال دراسات حركة جسم الإنسان واصطلاح على أن هذا هو المدخل لإدراك استخدامها.

بناءً على ما سبق يمكننا وصف الموضع عن طريق ما يلى :

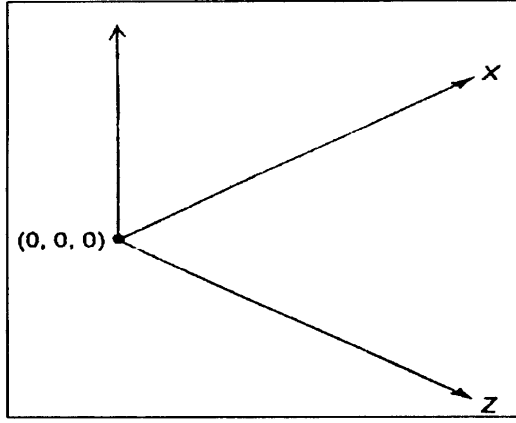
١- تحديد نقطة الأصل عن طريق موضع إحداثيات البعدين (٠، ٠) أو الثلاث أبعاد (٠، ٠، ٠).

٢- محورين أو ثلاثة محاور متبادلة التعامد (بزاوية قائمة بين كل منها) ويمر كل منها من خلال نقطة الأصل.

## أولاً : تحديد الإحداثيات : Determining Coordination

لتحديد أو وصف أى نقطة أو جسم، يجب علينا أولاً تحديد الأوت التي سوف نستخدمها. أداتنا الرئيسية هى نظام المحاور المتعامدة Cartesian Coordination System، والتي من خلالها نؤسس واحد أو أكثر من الكوادر المرجعية. وقد يرى الفرد أن ذلك مزعج ولكنه ضرورى دائماً لإيجاد الكادر المرجعى للقصور الذاتى أو المتعلق بقوانين نيوتن Newtonian والذي يسمى أيضاً النظام المرجعى المطلق Absolute Reference System، النظام المرجعى الشامل A Global Reference System، أو النظام الإحداثى الشامل A Global Coordinate System ويرمز له بالرمز (GCS). هذا النوع من النظام المرجعى يتركب من محاور مستقرة حيث تثبت فى اتجاهها لدرجة أن المحور X يكون موازى للأرض. ونوجد النظام الإحداثى بواسطة :

- إيجاد نقطة الأصل (0، 0) فى البعدين أو الوضع (0، 0، 0) فى الثلاثة أبعاد.
- تحديد محورين متعامدين أو ثلاثة محاور (بين كل منهما أو منها زاوية قائمة) وكل منها يمر بنقطة الأصل. فى هذا الفصل سوف نستخدم نظام الإحداثى الشامل (GCS) والذي اتفق عليه فى جمعية البيوميكانيك الدولية (ISB) كما فى شكل (١-١).



شكل (١-١)

النظام الإحداثي الشامل لليد اليمنى المعدل باتفاقية الجمعية الدولية للميكانيكا الحيوية المستخدم لتتبع حركة الفرد على طول المحور الأفقي

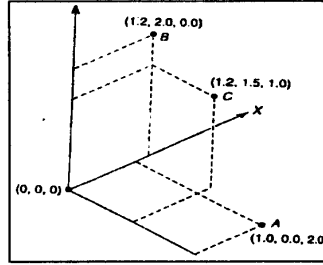
حيث يكون اتجاه المحور X وفقاً للاتجاه الأفقي الأساسي للحركة. ويكون المحور Y عمودى على المحور X وموقع لأعلى، بينما المحور Z عمودياً يمين المستوى X-Y. لاحظ أن نظام المحور يمكن يكون لليد اليمنى أو اليد اليسرى. والنظام الإحداثي الشامل (GCS) للوصف هنا هو النظام الإحداثي الشامل لليد اليمنى شكل (١-١). النظام الأكثر انتشاراً هو نظام محاور اليد اليمنى المتفق عليه.

فى بعض المراجع سوف يقابل القارئ نظم إحداثيات بديلة وهى لا تتبع اتفاقية الجمعية الدولية للميكانيكا الحيوية (ISB)، بعض مراجع الرياضيات Mathematics والهندسة Engineering، ومعظم مخرجات منصة القوى Force Platforms وكثير من تطبيقات الأبعاد الثلاثة فى

البيوميكانيك غالباً تستخدم النظام الإحداثي الشامل (GCSs) حيث يختلف عما اتفقت عليه الجمعية الدولية للبيوميكانيكا (ISB).

في مجال الثلاثة أبعاد في البيوميكانيكا على سبيل المثال غالباً المحور (Y) يتطابق مع الاتجاه الرئيسي للحركة، المحور (X) يكون متعامداً مع المحور (X) في المستوى الأفقي ويكون المحور (Z) متعامداً يميناً على المستوى الأفقي (X-Y) وموضوع عمودياً لأعلى. لتعود القارئ على بعض هذه الاختلافات، اخترنا اتفاقات متنوعة للاستخدام في هذا المصنف. في كل فصل تبني الاتفاقية ووضح تماماً. التزمنا في هذا الفصل بنظام الإحداثي الشامل للجمعية الدولية للبيوميكانيكا. واستخدمنا المستوى (X-Y) لمناقشة المستوى السهمي للحركة Sagittal plane movement. هذه الاتفاقية أكثر انتشاراً في الاستخدام في نظام البعدين في المنشورات البيوميكانيكية.

إن موقع نقطة الأصل (Origin) هو المركز الأساسي لقدرتنا على تحديد مقدار الوضع من خلال (GCS). يمكن وصف أى نقطة في (GCS) بواسطة موضعها بالنسبة لنقطة الأصل المحدد بواسطة إحداثياتها في البعدين (Y,X) (2-D) أو الثلاثة أبعاد (X, Y, Z) (3-D) كما في شكل (2-1).



شكل (2-1)

تحديد موضع النقاط الثلاثة A, B, C وفقاً لإحداثيات كل منها على التوالي

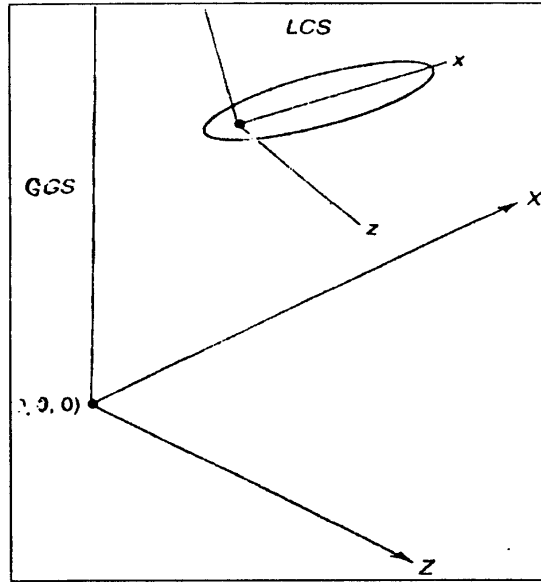
(1.0, 0.0, 2.0), (1.2, 2.0, 0.0), (1.2, 1.5, 1.0)

يتحدد موقع نقطة الأصل في البيوميكانيكا عند مستوى الأرض في الوضع المناسب تبعا للحركة المدروسة. على سبيل المثال عندما تستخدم منصة قياس القوى، مركز أو أي نقطة لمنصة القوى هو الوضع الأنسب لنقطة الأصل.

#### ثانياً : وصف الوضع : Description of Position

بعد بناء النظام المرجعي نصبح قادرين على وصف وضع أي نقطة نهتم بها. على سبيل المثال، وضع العلامات الثابتة على النقاط التشريحية لمفاصل جسم الفرد. وعموماً لوصف أي شيء أو الجسم الصلب أو أي نقطة خاصة، تحتاج إلى إضافة معلومات خاصة.

يجب وصف أي وضع لنقطة خاصة على أو خلال الشيء مثل إحداثيات مركز ثقل الكتلة أو نهايتها القريبة أو البعيدة Proximal and distal end. بالإضافة إلى تحديد حجم الشيء وشكله، ويجب وصف توجيهه فيما يتعلق بمحاورنا المرجعية المقدرة. ولإجراء ذلك تنشئ كادر مرجعي ثانى حيث يمتلك نقطة أصل ومحاور موصلة لتمكنه من الحركة مع الجسم عامة شكل (١-٣)، ويعرف هذا بالنظام النسبي أو الإحداثى الموضعي Relative or Local Coordinate System ويرمز له بالرمز (LCS). عند تطبيق هذا النظام على جسم الإنسان ربما يعرف باسم النظام المرجعي للأجزاء Segmental Coordinate System. غالباً يكون موقع نقطة أصل (LCS) عند مركز كتلة العضو أو عند مركز الطرف القريب للمفصل، وترتب المحاور بالتزامن مع نظم (GCS) عندما يكون الفرد في الوضع التشريحي.



شكل (٣-١)

اتصال نظام (LCS) بوضع الشيء من خلال نظام (GCS)

يحدد النظام المرجعي الشامل (GCS) الوضع النسبي لمحاور النظام الموضعي فيما يتعلق بتوجيه الجسم الصلب أو العضو. تحتاج لوصف توجيه النظام الموضعي في الثلاث أبعاد على الأقل إلى ثلاث زوايا للدوران. يمكن استخدام مجموعات متعددة الاختلافات لتوجيه الخاص لنظام الموقعي (LCS)، ولكن كل من تلك المجموعات تحتوي على ثلاث زوايا متصلة. فمثلاً: يستخدم نظام تصنيع الطائرة توظيف اصطلاحات انحراف Yaw، درجة Pitch، لف Roll. الانحراف Yaw هو دوران الطائرة يساراً- يميناً في الطيران، الدرجة هي الحركة أعلى واسفل الأنف،

اللف هو دوران حول المحور الطولى للطائرة. تلك الدورانات مسئولة عن تحديد الدوران حول المحاور Y العمودى (Vertical)، Z الجانبي (Lateral)، X السهمى أو الداخلى (Anteroposterior) فى النظام الإحداثى الشامل المتفق عليه (ISB). الوصف الأكثر شمولاً لنظام الموضعى (LCS) وزوايا الأبعاد الثلاثة للدوران نتناوله فيما بعد.

#### ملخص :

تهتم الكينماتيكا بدراسة حركة الأجسام باصطلاحات كل من المسافة، والإزاحة، والسرعة، والسرعة المتجهة والعجلة المتجهة بالنسبة للحركة الخطية، وبالمثل بالنسبة للحركة الزاوية حيث تستخدم المسافة الزاوية والإزاحة الزاوية والسرعة الزاوية والعجلة الزاوية. يتحدد وضع الجسم الصلب واتجاهه عن طريق وضع نقطة على وضع هذا الجسم، ويمكن رؤية جسم الإنسان كنظام حلقى صلب تربطه المفاصل. ويمكن وصف الموضع عن طريق تحديد نقطة الأصل عن طريق موضع إحداثيات البعدين أو الثلاثة ومحورين أو ثلاثة محاور متبادلة التعامد (بزاوية قائمة) ويمر كل منها من خلال نقطة الأصل.

ويعتبر نظام المحاور المتعامدة من الأدوات الرئيسية التى من خلالها تؤسس واحد أو أكثر من الكوادر المرجعية. إن موضع نقطة الأصل (Origin) هو المركز الأساسى لقدرتنا على تحديد مقدار الوضع من خلال النظام الإحداثى الشامل.

نظام الإحداثى الموضعى هو نظام مرجعى يمتلك نقطة أصل ومحاور موصلة بالجزء تمكنه من الحركة مع الجسم عامة ويرمز له بالرمز (LCS) وعند تطبيق هذا النظام على جسم الإنسان يعرف بالنظام المرجعى للأجزاء وغالباً يكون موضع نقطة أصل (LCS) عند مركز كتلة العضو أو

عند مركز الطرف القريب للمفصل وترتب المحاور بالتزامن مع نظم الإحداثيات الشامل (GCS) عندما يكون الفرد فى الوضع التشريحي.

#### **اختبر معلوماتك :**

- ١- اشرح كيف يمكن تحديد موضع نقطة فى الفراغ.
- ٢- حدد موقع كل من النقاط (٢، ٣، ٤)، (٣، ٤، ٥)، (٣، ٤، ٦)، (٢-٣، ٦).
- ٣- اشرح كيف يمكنك وصف موضع أى نقطة.
- ٤- ما هو النظام الإحداثى الموضعى (LCS).
- ٥- ما هو النظام الإحداثى الشامل (GCS).



## المراجع

- ١- إيهاب عادل عبد البصير على : (٢٠٠٥م)، تطبيقات عملية فى الميكانيكا الحيوية للمهارات الرياضية، المؤلف، كلية التربية الرياضية ببورفؤاد، بورسعيد، ص(٦-٣).
- ٢- عادل عبد البصير وإيهاب عادل عبد البصير : (٢٠٠٦م)، التحليل البيوميكانيكى والتكامل بين النظرية والتطبيق فى المجال الرياضى، المكتبة المصرية للطباعة والنشر والتوزيع، لوران الاسكندرية، ص(٤٤-٣٨).
- 3- Abright JP, Saterbak A, and Stokes J: (1995), Use of knee braces in sport. Current recommendations, Sports Med. 20: 281.
- 4- Hamill, J., & K.M. Knutzen: (1995), Biomechanical basis of human movement, Baltimore: Williams and Wilkins.
- 5- Robertson, D.G.W.: (1997), Introduction to biomechanics for human motion analysis, Waterloo, Ontario, Waterloo Biomechanics.
- 6- Winter, D.A.: (1990), Biomechanics and motor control of human movement. 2<sup>nd</sup> ed., Toronto: John Wiley & Sons.
- 7- Zatsiorsky Vladimir M.: (1998), Kinematics of human motion, Human Kinetics, Printed in U.S.A, P. (72, 139, 218).



## الفصل الثاني

### درجات الحرية Degrees of Freedom

تمهيد

أولاً : درجات الحرية

ثانياً : تحليل حركة الأعضاء

الملخص

اختبر معلوماتك

المراجع



## الفصل الثانى

### درجات الحرية Degrees of Freedom

#### الأهداف Objectives

بعد قراءة هذا الفصل يصبح القارئ قادر على التعرف على :

- ١- ما هي درجات الحرية.
- ٢- تحديد درجات الحرية فى الحركة ذات البعدين.
- ٣- تحديد درجات الحرية فى الحركة ذات الثلاث أبعاد.

#### تمهيد : Review

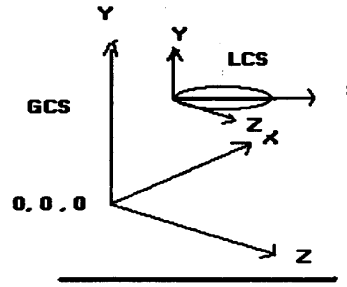
يمكن وصف موضع النقطة فى الفضاء عن طريق معلومات لنماذج ثلاثة فى إحداثياتها الموضعية  $(X, Y, Z)$ ، وعلى أية حال يحتاج إتمام وصف الجسم الصلب إلى ستة معلمات: الثلاث أبعاد  $(X, Y, Z)$  لموضع CG، والثلاث زوايا التى تصف اتجاهه.

#### أولاً : درجات الحرية : Degrees of Freedom

الباراميترات المستقلة الموحدة لإيجاد وضع النقطة أو الجسم تعرف كهدف لدرجات الحرية ويرمز لها بالرمز (DOF) لذلك النقطة تمتلك ثلاث درجات حرية. بينما يمتلك الجسم الصلب ست درجات حرية كما فى شكل (١١-٢).

بالرغم من أن استخدام إتمام وصف تحرك الحركة فى الأبعاد الثلاثة الفراغية، فى كثير من حالات تحرك الإنسان إلا انه يمكن وصفها مبدئياً فى

مستوى واحد خاص. كمثال المشى والجري يتضمن نسبياً أداء كبير للأجزاء تحدد من خلال المستوى السهمى بواسطة المحورين  $X, Y$  لنظام الإحداثى الشامل (GCS). الحركات فى المستويين الجبهى Frontal Plane والأفقى Transverse Plane يظهر أقل مدى للحركة خلال المشى أو الجرى. لذلك، كثير من التفاصيل الضرورية لحركة المشى والجري يمكن تحدد من تحليل المستوى السهمى. ببساطة هذا القياس والتحليل والتدخل من أجل وصف الحركة وأفضل خدمة لمجال البدء لفهم الحركات التى هى دائماً فى طبيعتها مستوية. الفرصة المتاحة هى الإقلال فى درجات الحرية من الثلاث أبعاد  $(X, Y, Z)$  إلى البعدين  $(X, Y)$  لوصف وضع النقطة. بالنسبة للجسم الصلب فى البعدين، نقل درجات الحرية من ستة إلى ثلاثة، مع الإحداثيين  $X, Y$  فقط وزاوية واحدة ( $\theta$ ) تساعد لتعين الشئ فى المستوى كما فى شكل (٢-١). يهتم هذا الفصل بإلقاء الضوء على الكينماتيكا المستوية فى البعدين. على أية حال يظهر العديد من المفاهيم من خلال بيئة الحركات المستوية وتطبيق الحركة فى الأبعاد الثلاثة كما وصفت فى الفصل الأول.

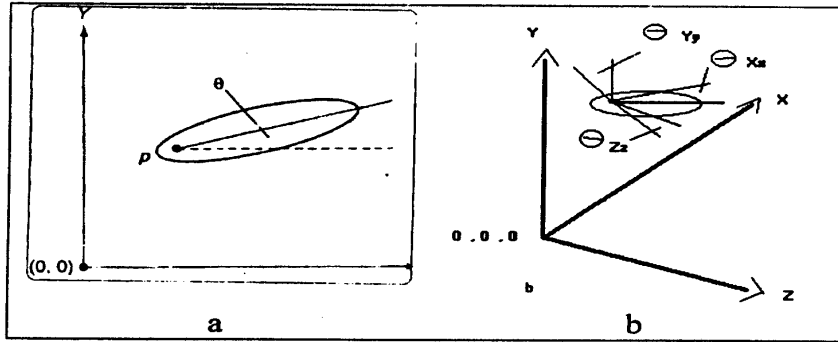


شكل (٢-١)

- (a) درجات الحرية فى نظام الإحداثى للأبعاد الثلاثة،  
(b) درجات الحرية فى النظام الإحداثى للبعدين

## ثانياً : تحليل حركة الأعضاء : Segmental Kinesiological Analysis

يتكون الهيكل العظمى Muscular Skeleton، من مجموعات من الحلقات المنفصلة، والتي يمكن اعتبارها تقريباً كأجسام صلبة، ويحتاج وصف وضع واتجاه كل حلقة في الفراغ إلى ست درجات حرية Degree of Freedom (DOF). واعتبار أن عظمة الفخذ The Femur كمثال لذلك عرضت في شكل (٢-٢).



شكل (٢-٢)

تحديد درجات الحرية الستة لأي جسم صلب في الفراغ باستخدام الثلاث بارامترات الانتقالية (Z, Y, X) لتحديد الحركة الانتقالية، والثلاث بارامترات الدورانية ( $\theta_z, \theta_y, \theta_x$ ) لتحديد الاتجاه

يمكن تحديد وضعها في الفراغ في النظام الإحداثي المعمل Laboratory Coordinate System (LCS)، عن طريق ربطها بنظام إحداثي لأي جسم Body Coordinate System (BCS) والنظام الإحداثي للجسم يمكن تمييزه كاملاً عن طريق الوضع الخاص لكل من الاتجاه

$(X, Y, Z)$ ، ومتابعة دورانه حول محاوره عن طريق مقدار  $(\theta_x, \theta_y, \theta_z)$ ، والإحداثيات الستة  $(\theta_x, \theta_y, \theta_z, X, Y, Z)$  هي درجات الحرية لعظمة الفخذ، وبالإضافة إلى توحيد تحديد وضعها الفراغى واتجاهها عند أى لحظة زمنية.

#### ملخص : Summary

أى نقطة تمتلك ثلاث درجات حرية بينما يمتلك الجسم الصلب ست درجات حرية. بالنسبة للجسم الصلب فى البعدين نقل درجات الحرية من ست درجات إلى ثلاث درجات مع الإحداثيين  $(Y, X)$  فقط وزاوية واحدة  $(\theta)$  تساعد لتعيين الشئ فى المستوى.

يمكن تحديد وضع عظمة الفخذ فى الفراغ فى النظام الإحداثى المعملى عن طريق ربطها بنظام إحداثى لأى جسم والنظام الإحداثى للجسم يمكن تمييزه كاملاً عن طريق الوضع الخاص لكل من الاتجاه  $(X, Y, Z)$  ومتابعة دورانه حول محاوره عن طريق مقدار  $(\theta_x, \theta_y, \theta_z)$  والإحداثيات الستة  $(\theta_x, \theta_y, \theta_z, X, Y, Z)$  هي درجات الحرية لعظمة الفخذ.

#### اختبر معلوماتك :

- ١- ما هي درجات الحرية؟
- ٢- أكمل ما يأتى :
  - أ- ..... تمتلك .....
  - ب- يمتلك ..... ست درجات حرية.
  - ج- نقل درجات الحرية من ..... إلى .....
- ٣- اشرح كيف يمكن تحديد وضع عظمة الفخذ فى الفراغ فى النظام الإحداثى المعملى؟



## المراجع

- ١- جيرد هوخموث: (١٩٧٨م)، الميكانيكا الحيوية وطرق البحث العلمى للحركات الرياضية، ترجمة كمال عبد الحميد، دار المعارف، القاهرة.
- ٢- عادل عبد البصير وإيهاب عادل عبد البصير : (٢٠٠٦م)، التحليل البيوميكانيكى والتكامل بين النظرية والتطبيق فى المجال الرياضى، المكتبة المصرية للطباعة والنشر والتوزيع، لوران الاسكندرية، ص(٣٨-٤٤).
- ٣- عادل عبد البصير على: (١٩٩٨م)، المدخل لتحليل الأبعاد الثلاثة لحركة جسم الإنسان فى المجال الرياضى، مركز الكتاب للنشر، القاهرة، ص(٢٧-٣٤).
- ٤- محمد يوسف الشيخ: (١٩٦٩م)، الميكانيكا الحيوية وعلم الحركة، دار المعارف، القاهرة.
- 5- Beer, E.P., and E.R. Johnston, Jr.: (1977), Vector mechanics for engineers: Statics and dynamics, 3<sup>rd</sup> ed., Montreal: McGraw- Hill.
- 6- Gordon, E. Robertson et al.: (2004), Research methods in biomechanics, Human Kinetics, U.S.A, P.(9-23).
- 7- Hay, J.G.: (1978), The biomechanical of sports techniques, 2<sup>nd</sup> ed., Prentice Hall, Inc., Englewood Cliffs.
- 8- Robertson, D.G.E.: (1997), Introduction to biomechanics for human motion analysis, Waterloo, Ontario: Waterloo Biomechanics.
- 9- Zatsiorsky Vladimir M.: (1998), Kinematics of human motion, Champaign, IL.: Human Kinetics, U.S.A, P. (8-24).



## الفصل الثالث

### جمع البيانات الكينماتيكية (الحركة) Kinematic Data Collection

الأهداف

تمهيد

أولاً : طرق تجميع بيانات الحركة

ثانياً : مبادئ التصوير المساحي

ثالثاً : نظم معايرة الصورة

رابعاً : اختيار علامة البعدين

خامساً : علامة الحركات الحرة

الملخص

اختبر معلوماتك

المراجع



## الفصل الثالث

### جمع البيانات الكينماتيكية (الحركة) Kinematic Data Collection

#### الأهداف Objectives

بعد قراءة هذا الفصل يصبح القارئ قادر على التعرف على :

- ١- طرق تجميع البيانات الكينماتيكية.
- ٢- مبادئ التصوير المساحى الضوئى.
- ٣- نظم المعايرة للتصوير.
- ٤- اختيار علامة البعدين.
- ٥- علامة الحركة الحرة.

#### تمهيد : Review

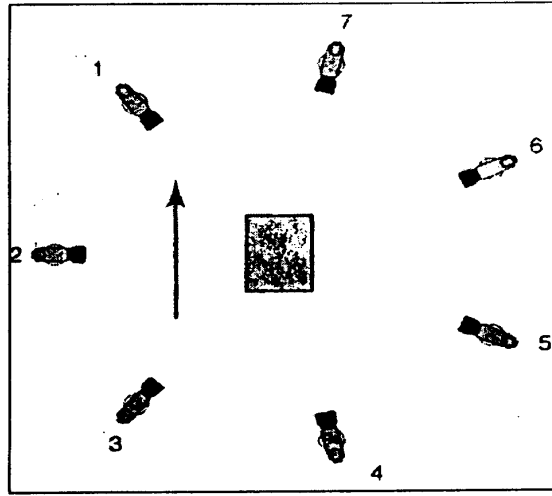
يهتم هذا الفصل فى المقام الأول بعرض طرق تجميع البيانات الكينماتيكية الأكثر انتشاراً واستخداماً فى أبحاث البيوميكانيك مع التركيز على مبادئ التصوير المساحى الضوئى وشرح نظم المعايرة من أجل التصوير، وكيفية اختيار موضع العلامات المرجعية على الهدف المحدد دراسته حتى يمكن تحديد وضعها ومتابعة تحركها.

## أولاً : طرق تجميع بيانات الحركة : Kinematic Data Collection

الطريقة الأكثر انتشاراً لجمع بيانات الحركة هي استخدام نظام الصور أو تجزئ الحركة لتسجيل ومتابعة حركة العلامات المثبتة للفرد المتحرك عن طريق الترقيم اليدوي أو الآلي للحصول على إحداثيات العلامات. وبعد ذلك تستخدم هذه الإحداثيات في عملية الحصول على المتغيرات الكينماتيكية لوصف الحركات العضوية للمفصل تستخدم أكثر نظم التصوير الفيديو Video، الفيديو الرقمي Digital Video أو كامرتين بأداة شحن مزدوجة (CCI) Charge- Couple Device cameras، مثل APAS، Elite، Motion Analysis Peak Performance، Qualisys، و (Simi). تستخدم هذه النظم تسجيل الضوء المنعكس من العلامات المثبتة بالجسم كما في شكل (١-٣) في المعمل، الكامرات تمتلك إضاءتها ذاتية. وشريط العلامات العاكس الذي يجسم لمعان العلامة بالمقارنة بالجلد، والملابس والخلفية. تستخدم بعض أنظمة الفيديو الأخرى ضوء الأشعة تحت الحمراء أو كامرات الأشعة تحت الحمراء Infrared Cameras لتحديد مواقع العلامة. يستخدم بعض النظم انعكاس ضوء الأشعة تحت الحمراء، بينما الأخرى (مثل Optotrack) تستخدم نشاط ضوء الأشعة تحت الحمراء المنبعث من الصمام الثنائي (IREDS). يتطلب نظم نشاط العلاقة وحدة تحكم توالى الفروق الفردية لنبضات لـ IREDS من أجل تحديد كفاءة العلامة.

لدراسة الحركة المستوية، توضع كاميرا واحدة بحيث يكون المحور البؤري للعدسة عمودي على مستوى الحركة تماماً. على أية حال في كثير من المعامل يستخدم كاميرات متعددة لتسجيل إحداثيات الثلاث أبعاد من كلا الجانبين للجسم كما في شكل (١-٣). يتطلب عادة وضع إحداثيات الأبعاد الثلاثة كامرتين فقط. على أي حال ربما يسبب إعاقة العلامات عن طريق

أى جزء من الجسم أو الدوران خارج خط رؤية الكاميرا الأفضل، يضمن نظام للكاميرات المتعددة رؤية كل علامة على الأقل فى كامرتين من خلال الحركة. لذلك، أى نظام متعدد الكاميرات يتيح فرصة من أجل كل دراسة للحركات المستوية. وضع واتجاه كل كاميرا غير مقيد كما سوف يرى القارئ فى مناقشة المعايرة فيما يلى.



شكل (١-٣)

نموذج لتعدد (سبع كاميرات) وضعت فى دراسة حركة جسم الإنسان فى المعمل. هذا المنظر من أعلى الرأس مباشرة، للنظر لاسفل أرض المعمل مع منصة القوى باللون الرمادى، واتجاه حركة الشخص يشير إليه السهم

أحد مميزات نظم التصوير الحديثة هى أن أكثرها يرقم آلياً حيث يحسب بسرعة ويظهر بيانات إحداثى الوضع من العلامات المتعددة من خلال

تتابع الحركة. وتميز نظم الفيديو أنها تتيح الفرصة لرؤية الزمن الحقيقي للأشياء والتشغيل الفوري لفحص صدق الصور المسجلة.

### ثانياً : مبادئ التصوير المساحى : Principles of Photogrammetry

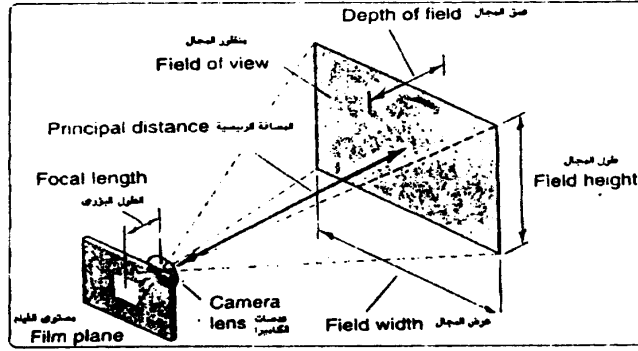
التصوير المساحى هو "فن وعلم وتكنولوجيا للحصول على معلومات حقيقية حول الأشياء الطبيعية والبيئة المحيطة خلال عمليات التسجيل، والقياس وترجمة الصور...".

يهتم أخصائيو الميكانيكا الحيوية بأنفسهم بالعوامل الضرورية من أجل الحصول على صور نقية من وسائل التصوير الضوئي Photographic أو التصوير بالفيديو Videographic. قليل من أخصائيو الميكانيكا الحيوية يستخدمون التصوير الضوئي أو التصوير السينمائي اليوم لجمع البيانات لأنها مكلفة وتحتاج عمليات حسابها وقت طويل. التصوير بالفيديو اليوم أكثر الطرق انتشاراً. ولكن مع كل هذه الوسائط، ربما تقابل نفس المبادئ في البحث في استخدام خلق الصور الفوتوغرافية. فى هذا الفصل سوف نتناقش العوامل الأكثر أهمية لباحثين البيوميكانيكا. الوظيفة الأولى لخطأ منظور الرسم، ونظم معايرة التصوير سوف نناقشها فى الفصل التالى. التفاصيل الأكثر معلومات عن التصوير، التصوير السينمائي، والتصوير بالفيديو، كمثال ذلك نظام تنقية اظهار التصوير Additive Photographic Exposure System (APEX)، يمكن الحصول عليها من المصادر المتخصصة فى ذلك.

يحدد مجال الرؤية كمستطيل يظهر بواسطة الوسيط المسجل (مثل الفيلم، الفيديو) بعد مروره من خلال عدسة الكاميرا (أنظر شكل (٣-٢)). يجب التأكد من أن الحركة المأخوذة تسقط فى مجال رؤية الكاميرا. لمنع عدم



الدقة فى انسيابية نتائج البيانات المسجلة بالنسبة لإحداثى بداية ونهاية الحركة يجب التأكد من أن الحركة سجلت قبل وبعد المرحلة موضع الاهتمام.



شكل (٢-٣)

أبعاد التصوير

من أهم الاعتبارات التى يجب مراعاتها عند تسجيل حركة العلامات هو اظهار الزمن الذى يتناسب فى نظام التصوير مع سرعة الكاميرا وسرعة غلق وفتح العدسة Shutter Speed. زمن الاظهار هو زمن الدوام الذى يستغرقه الوسيط لاطهار مسار الضوء من خلال عدسات الكاميرا. سرعة الكاميرا هى أيضاً تسمى تردد الكادر Frame Rate، وهو كيفية سرعة تسجيل الكاميرا للصور فى الوسيط. السرعة النموذجية لكاميرا الفيديو ٣٠ مجال/ثانية، أو ٣٠ كادر/ثانية فى نظام NTSC فى أمريكا الشمالية، ٢٥ كادر/ثانية فى نظام SECAM أو PAL فى أوروبا، واعتماداً على نظام تردد تيار الخط الكهربائى ٦٠ هـ.ت فى أمريكا الشمالية، ٥٠ هـ.ت فى أوروبا، آلات السينما المستخدمة فى التصوير للسينماتى العادية ٢٤ كادر/ثانية، ولكن النماذج المستخدمة فى البيوميكانيك تسجل من ١٠ إلى ٥٠٠

كادر/ثانية. وبخاصة صممت كاميرات الفيديو تسجل عند ترددات مثل ٦٠، ١٢٠، ٢٤٠ كادر/ثانية، وتصل نظم الاتساع البؤرى إلى ٢٠٠٠ كادر/ثانية. أنجز مضاعفة تكرار الخط أو تسجيل الصورة مرتين أو أكثر فى كل كادر فى تلك الترددات.

أخيراً يكون التركيز الرئيسى للتصوير الذى يجب وضعه فى الاعتبار هو تعديل البعد البؤرى وعمق مجال التصوير، الذى يضع فى الاعتبار المسافة أمام وخلف الهدف فى تعديل البعد البؤرى. المسافة بين وضع الكاميرا سوف تعادل المسافة بين وضع العدسة والهدف المصور. وتسمى هذا المسافة بالمسافة الرئيسية وترقم هذه المسافة على عدسة الكاميرا وربما وضعها يكون يدوياً أو تحديد أتماتيكيا بتعديل البعد البؤرى. عامة غير مقيد فى الميكانيكا الحيوية تحديد المسافة الآلية بتعديل البعد البؤرى لأن ربما تعديل البعد البؤرى للخلفية أو بعض الأهداف الأخرى حيث لا يكن الهدف فى مجال التصوير إذن يتم التعامل مع تعديل البعد البؤرى حتى تعطى البعد البؤرى رؤية حركة الهدف. لذلك عندما تستخدم تعديل البعد البؤرى من الأفضل أن يحدث ذلك النظام الآلى إذا كان الهدف فى وضع الوقوف فى منتصف مجال الرؤية. بالتبعية تنقل المسافة من الكاميرا إلى سطح الحركة وبعد ذلك تحدد يدوياً هذه المسافة على العدسة.

عموماً بالرغم من أنه ليس بكاميرات الفيديو عامل واحد، تحديد فتحة كاميرا الفيديو تمتلك تأثيرات متنوعة هامة على نوعية فتحة وعمق المجال. تمتلك كاميرا الفيديو الحديثة إمكانية فتح وغلق الحدة آلياً كالعينين وتسمح بمرور الضوء أكثر أو أقل خلال العدسات لإنتاج ظهور صورة صحيحة. إذا دخل أكثر من ضوء فى العدسة خلال إطالة زمن الاظهار، سوف ينتهى اظهار الصورة، وتجعل الترقيم صعب أو متعذرة. على سبيل المثال، إذا

اقتربت جداً علامتين من بعضهما في نهاية اظهار الصورة، ربما تظهر لتكون علامة واحدة. في المقابل، أيضاً إذا أتيح ضوء خفيف بسبب ضعف الضوء أو أزمنا الاظهار الخالصة، سوف تكون العلامات رديئة الظهور وربما تكون غير مؤسسة بنظام الترقيم. بتغير فتحة العدسة، يمر الضوء الأكثر أو الأقل للوصول للفيلم. فتحة العدسة هي حجم فتح حذقة العدسة Lenses' Iris التحديق النموذجي هو مجموعة للتخمير التي تفتح أو تغلق لتغير كمية الضوء التي تمر من خلال العدسة. تكرار العدد F-Numnber أو تكرار الايقاف F-Stop للعدسة هي معدل فتح العدسة مقسم بواسطة طول التكبير، الذي يظهر بين المسافة أمام العدسة ووسط التسجيل. عند غلق الحذقة مسار الضوء يقل خلال العدسة. على أية حال مع الفتح الكامل للحذقة يفقد بعض الضوء بين أمام العدسة وخلفها بسبب نقص في الزجاج البصري Optical Glass، المنقيات Filters، وغلط العدسة Lenses Coatings، وانعكاس الاحتكاك Refraction، وانعكاس الضوء من خلال بريق العدسة. نرقم كل عدسة بإمكانية أقصى فتح. على سبيل المثال، ربما المستوى المعياري للعدسة يكون بمعدل تكرار الايقاف لمرتين، والذي يعني أنه سوف يقلل الضوء عن طريق الربع بالنسبة لسعة الكلية لفتح الحذقة. يؤسس معدل تكرار الايقاف المعياري على أساس قدرة المصدرين وحافظها لتسهيل التطبيق.

يعرض الجدول (٣-١) تكرار الايقاف المعياري وكمية الضوء المختصرة في كل مرة خلال العدسة. نتيج كمية الضوء الأعلى للوصول لتصنيف الفيلم لنصفين. لذلك زيادة تكرار الايقاف من F/2 إلى F/2.8 (لتكرار ايقاف واحد) يقلل الضوء إلى ١/٢. كل انخفاض في تكرار الايقاف كمثال من F/11 إلى F/8، تضاعف الكمية التي تصل من الضوء للفيلم.

التقريب بالعدسات Zoom Lenses كنتيجة لتركيبها المعقد، يقلل كمية الضوء التي تمر خلالها ما بين  $\frac{1}{4}$  (تكرار إيقاف مرتين) و  $\frac{1}{25}$  (تكرار إيقاف خمسة).

يؤثر أيضاً تغيير الفتحة على عمق المجال. عند غلق الحدية لأسفل (تتغير إلى أعلى تكرار إيقاف) ينقص الانحناء في جزء العدسة الذي يكبر الصورة. وهذا يحفظ الصورة في أحسن تكبير واتساع لعمق المجال. تعرض بعض العدسات العلاقة بين عمق المجال وفتحة العدسة، لتمكنها من تحديد أى منطقة على الجانب الآخر لمسافة التكبير سوف تكبر فى الصورة. تلك الخاصية عادة غير ممكنة بزوم العدسات، وعلى أية حال، يتسبب طول البعد البؤرى للعدسات فى التأثير على عمق المجال. على سبيل المثال، تكبر العدسات ببعد بؤرى طويل- عدسات للتصوير المكبرة Telephoto lenses- الصورة وتنتج عمق المجال. وبالعكس ينتج اتساع- زاوية العدسات حجم صورة، يسمح بأكبر مجالات لرؤية ولكن يزيد عمق المجال. وعلى أية حال، اتساع- زاوية العدسات سوف يمكن الباحثين فى مجال الميكانيكا الحيوية لتفادى أى أخطاء مرتبطة بصغر حجم الصورة خلال التصوير- دقة تحديد العلامات الإرشادية- خلال عمليات التحليل.

### ثالثاً : نظم معايرة الصورة : Calibration of Imaging Systems

يجب استخدام وسائل معايرة مستقرة للتأكد من صحة مقياس الرسم فى أى نظام لتجميع البيانات الكينماتيكية.

### جدول (١-٣)

معييار فتحات عدسة التصوير، وأزمنة الاظهار، وسرعات الفيلم (عن

جوردون وآخرون) (٢٠٠٤م) (٥)

APEX Value <sup>(1)</sup>	0	1	2	3	4	5	6	7	8	9	10
Aperture (F-stop)	1	1.4	2	2.8	4	5.6	8	11	16	22	32
Exposure time (S)	1	1/2	1/4	1/8	1/15	1/30	1/60	1/125	1/250	1/500	1/1000
Film Speed (iso or ASA) <sup>(2)</sup>	3	6	12	25	50	100	200	400	800	1600	3200

(1) APEX = معايير نظم إضافة مادة اظهار التصوير، تشير إلى زيادة فى قيمة

APEX إلى نقص فى مستوى الإضاءة لنصف.

(2) يتطلب كل زيادة فى سرعة الفيلم نصف كمية الضوء التى أضافتها السرعة السابقة لإعداد الاظهار.

هناك توجد طريقتان أساسيتين لنظم للتصوير، الطريقة بالنسبة لنظم التصوير ذو البعدين بكاميرا واحدة، أبسط طريقة هى استخدام مسطرة المعايرة Calibrated Ruler أو قياس مساحة الطريق Surveyor's rod توضع فى مستوى هدف الحركة. يجب أن تكون الكاميرا عمودية على مستوى الحركة: وبمعنى آخر سوف يكون هناك نماذج لانحراف خطر كما فى شكل (٢-٣). عن طريق ترقيم طول المسطرة مقياس الرسم يحدد عن طريق استخدام العلاقة التالية لكلا البعدين (Y, X).

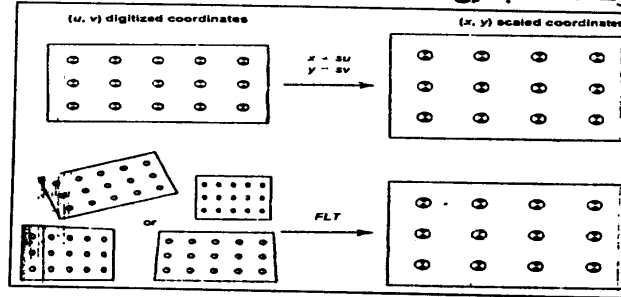
$$\text{مقياس الرسم} = \frac{\text{الطول الحقيقى (بالمتر)}}{\text{الطول الرقمى للمسطرة (بوحدة القياس)}} \quad (١-٣)$$

$$X = \text{المحور الأفقى} \quad (٢-٣)$$

$$Y = \text{المحور الرأسى} \quad (٣-٣)$$

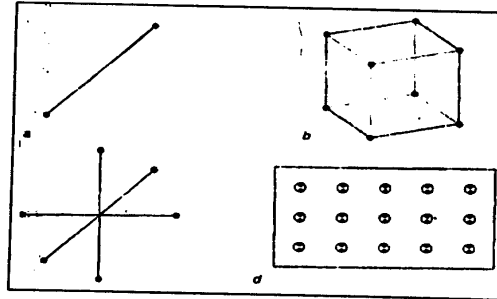
حيث أن u، v هى أرقام البعدين للعلاقة، X، Y هما إحداثيات المقياس.

طريقة المعايرة المفضلة- وبخاصة لنظم الكاميرات المتعددة- تتأسس على مجموعات نقاط التحكم. ونقاط التحكم هي العلاقات المتصلة أو المثبتة لمكان الفيلم أو المعمل، والمعلوم بالضبط إحداثياتها. على سبيل المثال، يعرض الشكل (٢-٤d) شبكة لعدد ١٥ نقطة على لوح تستخدم لمعايرة طريقة المشى بالمعمل عبر التحليل في الحركة المستوية. يتطلب تحليل الحركة ذات البعدين.



شكل (٣-٣)

مقارنة طريقة معامل مقياس الرسم (a) وطريقة التحول الخطى الجزئية (b) لانتقال الصور المرقمة لمقياس حقيقي



شكل (٤-٣)

نماذج لتكوين المعايير لمعايرة الحركة ذات الثلاثة أبعاد

على الأقل أربعة نقاط ليست على خط واحد. وستة نقاط على الأقل ليست على خط واحد بالنسبة لتحليل الحركة ذات الثلاثة أبعاد، يعرض الشكل (3-4، b، c) تركيبات متنوعة لثلاث أبعاد بنقاط تحكم للمعايرة في الثلاث أبعاد. ونماذج أخرى لتركيبات نقطة التحكم وهي أيضاً مستعملة كما في طريقة والترنج Woltring's method (1980م) (5) التي استخدمت مناظر متنوعة لعلامات المستوى. بعض النظم التجارية تصور عصا كمعيار والتي صنعت لبيان حجم مكان الحركة شكل (3-4a) عن دابينا، هارمان، وميلر Dapena, Haman & Miller (1982م) (5).

بعد تصوير النقاط المتحركة، تحسب الأرقام الحقيقية لوحدات القياس بمعادلات مقياس الرسم لكل إحداثيات الحركة. في حالة الكاميرا الواحدة لتصوير الحركة في بعدين، نتيجة لانحراف الصورة عن الخط العمودي للبعد البؤري للكاميرا على مستوى الحركة ينتج انحراف لصورة يمكن تصحيحه. الطريقة العامة الممكنة لتحويل البيانات من أرقام الإحداثيات إلى الوحدات المترية الحقيقية تسمى التحويل الخطي الجزئي Fractional Linear transformation ويرمز لها بالرمز (FLT) لتطبق عند البعدين أو الانتقال الخطي المباشر (DLT) ولتطبق عند الثلاثة أبعاد عن عبد العزيز وكرارة Abdel-Aziz and Karara (1971م) (2)، والترنج Woltring (1980م) (5). الإحداثيات الرقمية التي تكرر ناتج أكثر من المقياس بسبب توالى البيانات في طريقة معقدة.

عندما تكون الكاميرا مائلة مع ما يتعلق بمستوى الحركة، يعرض الجدول (3-4b) انحراف المسافات. تصحيح (FLT)، و (DLT) تلك النماذج من الأخطاء وعلى أية حال في التحليل ثنائي الأبعاد، ربما تؤدي الأخطاء المنظورة التي تظهر في الأهداف إلى تقصير للبعد عن الكاميرا

خلال الحركة. الطريقة الوحيدة لاقبال هذا التأثير هى استخدام عدسات التصوير المقربة ولتقريب الهدف لجعل الحركة تملأ مجال رؤية الكاميرا بقدر المستطاع. هذا التكنيك ينقى الهدف، يقلل أخطاء الهدف المنظور وبالطبع، يحتاج الفرد إلى عدسة كبيرة بقدر كاف وعدسات رؤية شفافة لاستخدام هذه الطريقة. تحصل على (FLT) من المعادلة التالية :

$$X = \frac{c_1 u + c_2 v + c_3}{1 + c_7 u + c_8 v} \quad (3-4)$$

$$Y = \frac{c_4 u + c_5 v + c_6}{1 + c_7 u + c_8 v} \quad (3-5)$$

حيث أن  $c_1$  إلى  $c_8$  معاملات (FLT)،  $u$ ،  $v$  - أرقام علامات الإحداثيات،  $X$ ،  $Y$  - علامات الإحداثيات المكررة فى وحدات القياس المترية Metric units، لاحظ أن عندما يكون محور البعد البؤرى لكاميرا التصوير عمودياً تماماً على مستوى المعايرة، تكون المعاملات  $c_2$ ،  $c_4$ ،  $c_7$ ،  $c_8$  أقرب إلى الصفر. وتصبح المعاملات  $c_1$ ،  $c_5$  عوامل مقياس الرسم، وتشابه تلك التى رقت إذا استخدمت المسطرة. السبب فى أن تلك الأرقام غير متساوية هو أن معظم الترقيم يمتلك مقاييس رسم مختلفة أفقية ورأسية. وتتبع المعاملات  $c_3$ ،  $c_6$  للاختلافات بين نقطة الأصل لنظام المعايرة ونقطة الأصل نظام الترقيم.

للتأكد من دقة تلك الأنظمة، قارن أوضاع الإحداثيات الحقيقية لنقاط التحكم بإحداثياتها المنتقاة (مثل المحولة). الخطأ المعياري Standard error أو الجذر التربيعى للمتوسط (RMS) Root Mean Square للاختلافات بين الإحداثى الأوضاع الحقيقية وأرقامها وأوضاعها المنتقاة تعكس دقة النظام. يبقى أفضل تصوير، ترقيم وانتقاء كمجموعة ثانية لمعرفة الإحداثيات لحساب دقة النظام.



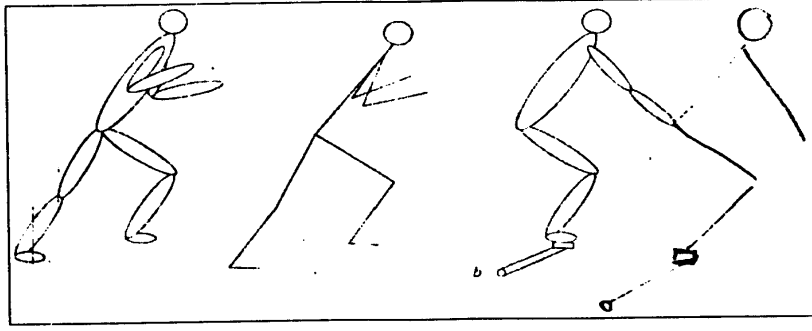
#### رابعاً اختيار علامة البعدين :

##### Two-dimensional Marker Selection

وصفنا فيما سبق كيف يحدد أى نظام إحداثى متعامد أوضاع النقطة فى الفراغ وكيف تسجل نظم التصوير مكان العلامات العاكسة المختارة. الأسئلة الموضوعية لمتخصصى الميكانيكا الحيوية المهتمين بدراسة حركة جسم الإنسان تنحصر فيما يلى :

- أين أضع تلك العلامة العاكسة على عينتى؟
- كم عدد العلامات التى سوف أستخدمها؟
- هل أحتاج إلى علامات أخرى (غير التى على الهدف) فى مجال رؤية الكاميرا؟

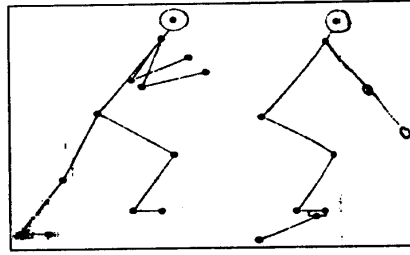
تعتمد الإجابة عن هذه الأسئلة المتنوعة على طبيعة الحركة قيد الدراسة وبالتحديد أسئلة البحث بالضبط. نقطة البداية الجيدة هى إنشاء نموذج للأجزاء التشريحية الهامة المشتركة فى الحركة. بالنسبة للحركة المستوية، يمكن تمثيل هذا النموذج عن طريق شكل خطى Stick Figure، كما فى الشكل (٣-٥). كمثال، نموذج لاعب الجمناز خلال الاقتراب على حصان القفز يجب أن يشتمل تمثيل أجزاء الجسم، القدم والرجل، والفخذ لكل الطرف السفلى: الأجزاء العليا والسفلى لكل طرف علوى: والجذع بالنسبة لراكب الدراجة تمثيل أى جزء لذراع كرنك الدراجة ربما يحتاج إلى تمثيل القدم على طول أجزاء الجسم والرجل السفلى، وفخذ أحد الطرفين السفلى، بالإضافة إلى الجذع. والنموذج المبسط للاعب الدراجة ممكن لأن كرنك الدراجة يفرض حركة منتظمة للرجلين. أيضاً إذا ركز لاعب الدراجة لحفظ يديه ثابتة على مقود الدراجة، حركة الطرف العلوى تقل ويمكن إخراجها من النموذج.



شكل (٣-٥)

(a) على اليسار شكل مبسط وتمثيل لشكل خطى للاعب الجمناز خلال خطوة الاقتراب باليد e، على حصان القفز، (b) شكل مبسط على اليسار ويمثل شكل خطى للاعب الدراجة

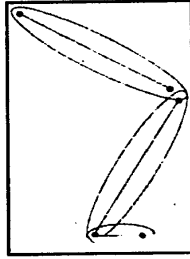
لحظة تركيب النموذج المناسب، يقود الباحث لاختيار العلامة ومكانها. يجب أن نقدر كمية نقطتين على الأقل لكل عضو حيثما تتممذج الحركة المستوية. غالباً، يقدر مكان العلامات لمركز الدوران عند نهاية كل عضو أو فوق العلامات التشريحية للتقريب والتباعد. لإيجاد الاتجاه الزاوى المستوى للعضو تحتاج إلى نقطتين. لذلك فى مثالنا للدراجة، يكفى ١٠ علامات وعلى أية حال بالنسبة للجري نحن نحتاج إلى علامات أكثر لإعداد تمثيل الجسم كما فى شكل (٣-٦). بالإضافة إلى، إذا سجلنا GRFs للاعب سوف تحتاج علامات أخرى تثبت على منصة القوى لتصحيح مكان استقرار الوضع لمتجه القوة على رجل اللاعب.



شكل (٦-٣)

احتياج العلامات لتمثيل لاعب الجمباز في الاقتراب على  
حصان القفز على اليسار، لاعب الدراجة

عدد العلامات التي تحتاجها أيضاً يتوقف على طبيعة الحركة ذات  
البعدين عند المفاصل بين الأعضاء المجاورة. يمتلك المفصل المعلق البسيط  
درجة حرية واحدة (مثل مفاصل السلاحيات للأصابع والمشط) - درجة  
الحرية لدوران حول التعلق. أيضاً مفصل الفخذ نموذج كمفصل معلق لتحليل  
المستوى. على الرغم من أن تركيبه كرة وحق، إلا أنه يسمح بثلاث دورانات  
في الفراغ. بالنسبة لمفاصل التعلق، يمكن وضع علامة نهاية الأعضاء  
المجاورة مباشرة فوق النقطة الممثلة للتعلق كما في شكل (٧-٣).



شكل (٧-٣)

علامات لكل من الفخذ والركبة والقدم

المفاصل الأخرى أكثر تعقيداً، كمثال مفصل الركبة يسمح بالثني والمد وبعض الانتقال عبر عظم الساق Tibial plateau (تسمى الجزء أو القص Shear). ويعنى ذلك أن مفصل الركبة يمتلك درجتين حرية (واحدة للدوران، وواحدة للانتقال). فى كل حالة يمكننا وضع العلامة التى سوف تسمح بتمثيل حركة وضع التعلق، ويجب استخدام فصل نقطة نهاية العلامات للأعضاء المجاورة شكل (٣-٧). فى بعض الحالات، يختار الباحثون تجاهل الحركات الانتقالية الصغيرة وتبسيط نموذج المفصل كآى تعلق. ويجب عليهم اختيار مستوى ملائم لتوضيح التساؤل الخاص بالبحث قيد الدراسة.

#### خامساً : علامة الحركات الحرة : Marker- Free Kinematics

عملياً فى كثير من الحالات قد يتعذر أو لا يمكن وضع العلامات على الفرد المؤدى الحركة، كما فى حالة اللاعبين خلال المسابقات والمرضى فى الحالات الطبية الذى لا يستطيع تحمل أى امتداد لمرحلة الإعداد التجريبية. فى تلك الحالات، يجب على الباحثين ترقيم تسجيل الحركة يدوياً، باستخدام تحديد العلامات التشريرية لوضع النقاط الضرورية لنموذج الحركة على أى حال حالياً الجهود تبذل لتطوير العلامات الحرة فى نظم تحليل الحركة عن دى أبوزو D-Apuzzo (٢٠٠١م) (٦)، تريوارثا وآخرون Trewartha et al. (٢٠٠١م) (٦). مثل هذا النظام سوف يدفع عملية تحليل حركة جسم الإنسان نحو التقدم والدقة، لأنه سوف يسمح بتقصير مراحل اكتساب البيانات فى البحوث المعملية الطبية واتساع جمع البيانات إلى ما وراء المعمل لأكثر البيانات الحيوية للإنسان والبيئة الخارجية المحيطة به.

تستخدم نظم العلامات الحرة تكتيكات رسوم الحاسب الآلى لأكثر من شكل أى عضو للجسم بأى شكل سبق فرضه عن تريوارثا وآخرون (٢٠٠١م) (٦).

مبدئياً، أنشأ نموذج الجسم الذى يجارى الحجم العام ومورفولوجية الفرد. أى تصوير بالفيديو لحركة الفرد سجل وحفظ بشكل رقمى. تحاول برامج الحاسب الآلى تنظيم نموذج الحساب مع صورة المؤدى للواقعية فى كل كادر لبيانات الفيديو. يستطيع الحاسب الآلى أن يوجد أى وضع مقبول للنموذج فى أى كادر، والذى يؤثر على تكرارات حركة الفرد. يتتبع البرنامج الأوضاع للنقاط الفردية والأعضاء من النموذج، وتأثيرات الأوضاع الرقمية للنقاط المقررة. بالرغم من أن مثل هذه النظم ليست فقط فى طور التطور إلا أن حدوثها مؤكداً فى الوقت القريب لتستخدم فى تحليل حركة جسم الإنسان.

#### الملخص : Summary

الطريقة الأكثر انتشاراً لجمع بيانات الحركة هى استخدام نظام الصور أو يجزئ الحركة لتسجيل ومتابعة حركة العلامات التابعة للفرد المتحرك عن طريق الترقيم اليدوى أو الآلى للحصول على إحداثيات العلامات. تستخدم أكثر نظم التصوير الفيديو، الفيديو الرقمى أو كامرتين بأداة شحن مزدوجة.

لدراسة الحركة المستوية، تستخدم كاميرا واحدة بحيث يكون المحور البؤرى للعدسة عمودياً على مستوى الحركة تماماً. أما لدراسة الحركة غير المستوية يتطلب الأمر استخدام كامرتين على الأقل وتود التنويه إلى أن نظام تعدد الكاميرات يتيح فرصة من أجل دراسة الحركة بدقة أكبر.

أحد مميزات نظم التصوير الحديثة هي أن أكثرها يرقم آلياً بحسب سرعة وإظهار بيانات إحداثي الوضع من العلامات المتعددة من خلال متابعة الحركة، وإعطاء البيانات فوراً.

أصبح التصوير بالفيديو هو السائد اليوم، ويعتبر التصوير المساحي فن وعلم وتكنولوجيا للحصول على معلومات حقيقية حول الأشياء الطبيعية والبيئية المحيط خلال عمليات التسجيل، والقياس وترجمة الصور.

يجب استخدام وسائل معايرة مستقرة للتأكد من صحة مقياس الرسم في أي نظام لتجميع البيانات الكينماتيكية.

#### اختبر معلوماتك :

- ١- اشرح طريقة من طرق تجميع بيانات الحركة؟
- ٢- اشرح أهمية وضع علامات على النقاط التشريحية للجسم خلال التصوير بالفيديو؟
- ٣- ما هي مبادئ التصوير المساحي.
- ٤- أكمل ما يلي :
  - أ- يتطلب التصوير ذو ..... كاميرا واحدة.
  - ب- يتطلب التصوير ذو ..... على الأقل .....
  - ج- مقياس الرسم يساوي ..... قسمة ..... على .....
- ٥- اشرح إجراءات التصوير بكاميرا فيديو للبعدين؟

## المراجع

- ١- عادل عبد البصير على: (١٩٩٨م)، المدخل لتحليل الأبعاد الثلاثة لحركة جسم الإنسان في المجال الرياضي، مركز الكتاب للنشر، القاهرة، ص(١٣٣-١٤٤).
- ٢- عادل عبد البصير على: (١٩٨٣م/١٩٨٤م)، الميكانيكا الحيوية والتقييم والقياس التحليلي في الأداء البدني، الجهاز المركزي للكتب الجامعية والمدرسية والوسائل التعليمية، جمهورية مصر العربية، ص(٧-٢٤).
- 3- Allard, P.A., et al.: (1998), Three-dimensional analysis of human locomotion. Chichester, U.K., John Willey & Sons.
- 4- Nigg, B.M. and W. Herzog: (1994), Biomechanics of musculo-skeletal system, New York: John Wiley & Sons.
- 5- Zatsiorsky V.M.: (1998), Kinematics of human motion, Champaign, IL.: Human Kinetics, U.S.A.
- 6- Zatsiorsky, V.M.: (2004) Kinetics of human motion, champaign, IL: Human Kinetics, U.S.A.

---



## الفصل الرابع

### الكينماتيكا الخطية Linear Kinematics

الأهداف

تمهيد

أولاً : حساب تفاضلات الزمن (التفاضل)

ثانياً : الإشارة، والتشويش وتهذيب البيانات

ثالثاً : مقياس التسارع

الملخص

اختبر معلوماتك

المراجع



## الفصل الرابع

### الكينماتيكا الخطية

### Linear Kinematics

#### الأهداف Objectives

- بعد قراءة هذا الفصل يصبح القارئ قادر على التعرف على :
- ١- متغيرات الحركة بمفهوم الإزاحة، السرعة المتجهة، والعجلة.
  - ٢- حساب تفاضلات الزمن (التفاضل)، وطرق حساب المشتقات.
  - ٣- طرق تهذيب وتمهيد منحنيات البيانات.
  - ٤- مقياس التسارع.

#### تمهيد : Review

يسمح نظام الإحداثى المتعامد بالتقدير الكمي وضع النقطة أو الجسم الصلب فى كلا الثلاث ابعاد فى الفراغ أو البعدين فى المستوى. وهو نقطة البداية لإتمام وصف الحركة لأى حركة لجسم الإنسان. فى هذا الفصل تقدم متغيرات الحركة بمفهوم الإزاحة Displacement، والسرعة المتجهة Velocity، والعجلة Acceleration، وصفت جميعها الطريقة التى فيها يتغير وضع النقطة حتى نهاية أى مرحلة للزمن. ترتبط متغيرات الحركة بالعمليات الرياضية التفاضلية والتكاملية- المفاهيم الرئيسية لحساب التفاضل والتكامل.

الإزاحة Displacement تحدد كتغير فى وضع الجسم. والسرعة Velocity هى تفاضل زمن الإزاحة وتحدد كمعدل التغير فى الإزاحة بالنسبة لزمن. العجلة هى تفاضل زمن السرعة، وتحدد كمعدل التغير فى السرعة بالنسبة للزمن. وكذلك العجلة هى المشتقة الثانية للإزاحة بالنسبة للزمن. هذه المتغيرات الثلاثة الإزاحة، السرعة، العجلة يمكن استخدامها لفهم خصائص الحركة، لمقارنة الفروق الفردية المختلفة للحركة، أو لعرض كيف تكون الحركة فعالة عن طريق بعض التدخل. يعرض الجدول (١-٤) قائمة الأكثر استخداماً لقياسات الحركة ورموزها المساعدة ووحداتها فى نظام الوحدات الدولى (SI)، وتشمل متغيرات الحركة الزاوية، التى سوف تتناقش فيما بعد.

جدول (١-٤)

متغيرات الحركة ورموزها ووحداتها الدولية

الرمز	الوحدات	التعريف	القياس
X, Y, Z (arc) d(moment) r(radius)	m, cm, kg		الوضع الخطى، طول المسار أو الإزاحة الخطية
v	m/s, km/h	ds/dt	السرعة الخطية
a	m/s <sup>2</sup> , g(=9.81 m/s <sup>2</sup> )	dv/dt, d <sup>2</sup> s/dt <sup>2</sup>	العجلة الخطية
θ, β, γ, φ	Rad, °, r(r= revolution)		الوضع الزاوى، زاوية مستوية (2-D) أو الإزاحة الزاوية
ω	Rad/s, deg/s	dθ/dt	السرعة الزاوية
α	Rad/s <sup>2</sup>	dω/dt, d <sup>2</sup> θ/dt <sup>2</sup>	العجلة الزاوية

### أولاً : حساب تفاضلات الزمن (التفاضل) :

#### Computing Time Derivative (Differentiation)

توجد طرق متعددة لحساب مشتقات الإزاحة بالنسبة للزمن عندما تنشأ وضع النقطة كدالة للزمن لأي حركة خاصة. نقطة البداية لتحليل الحركة هي بيانات الإحداثي التي رُقمت عند زيادة الأزمنة المتساوية لتتابع الحركة. تعتمد أرقام بيانات النقط وزيادة الزمن بالضبط على دوام الحركة ومعدل عينة نظام تقطيع الحركة. فمثلاً، يوضح استحواذ الحركة ٢ ث عند ٢٠٠ كادر/ ثانية تدفق مدخل بيانات ٤٠٠ رقم مع فصل كل نقطة بواسطة ٥ مم.ث (مم.ث = ٠,٠٠٥ ث). بالنسبة لعمليات الاشتقاق، يعامل الإحداثيات  $X$ ,  $Y$  منفصلين، ويعنى ذلك أن حركة ٢ ث تنتج ٤٠٠ وضع  $X$ , ٤٠٠ وضع  $Y$  لكل علامة مرقمة في تتابع الحركة : فمثلاً العداء مع ٢٠ علامة سوف يولد تدفق ٤٠ بيانات منفصلة، كل واحدة ٤٠٠ رقم في الطول. تلك البيانات تسجل غالباً في شكل صف- وعمود مع احتواء الأعمدة على الإحداثيين  $X$ ,  $Y$  للعلامات المختلفة ويعرض الصف خطوات الزيادة في الزمن خلال الحركة. والجدول (٤-٢) مناسباً كجدول للبيانات.

جدول (٤-٢)

عينة لبيانات العلامة خلال أداء اختبار المشي

رقم الكادر	الزمن (ث)	الكتف الأيمن		الغضد الأيمن		الورك اليمنى		رأس القدم الأيمن		القدم اليسرى المتدوير لرأس القدم اليمنى	
		Y (سم)	X (سم)	Y (سم)	X (سم)	Y (سم)	X (سم)	Y (سم)	X (سم)	Y (سم)	X (سم)
١	٠,٠٠٠	٧,٣-	١٥٤,٣	٦,٧-	٩٢,٤	٣,٨-	٥٠,٢	٨,٦-	١٣,٧	١,٣	١,١
٢	٠,٠٢٠	٧,٢-	١٥٤,٣	٦,٣-	٩٢,٢	٣,٠-	٥٠,١	٨,٦-	١٣,٨	١,٣	١,١
٣	٠,٠٤٠	٧,٠-	١٥٤,٢	٦,٧-	٩١,٨	٢,٠-	٤٩,٩	٨,٥-	١٣,٨	١,٣	١,١
٤	٠,٠٦٠	٦,٧-	١٥٣,٩	٧,٢-	٩١,٣	٠,٨-	٤٩,٧	٨,٤-	١٣,٩	١,٣	١,١
٥	٠,٠٨٠	٦,٤-	١٥٣,٢	٧,٨-	٩٠,٦	٠,٦	٤٩,٤	٨,٢-	١٤,٠	١,٣	١,١
٦	٠,١٠٠	٦,٠-	١٥٢,٠	٨,٥-	٨٩,٦	٢,١	٤٨,٩	٨,١-	١٤,٠	١,٣	١,١
٧	٠,١٢٠	٥,٦-	١٥٠,٣	٩,٤-	٨٨,٤	٣,٥	٤٨,٥	٧,٩-	١٤,١	١,١	١,١
٨	٠,١٤٠	٥,٢-	١٤٨,١	١٠,٣-	٨٦,٩	٤,٩	٤٧,٩	٧,٧-	١٤,١	١,٢	١,١
٩	٠,١٦٠	٤,٨-	١٤٥,٤	١١,٣-	٨٥,٢	٦,٢	٤٧,٤	٧,٥-	١٤,٢	١,٢	١,١
١٠	٠,١٨٠	٤,٣-	١٤٢,٤	١٢,٣-	٨٣,٣	٧,٣	٤٦,٨	٧,٣-	١٤,٢	١,٢	١,١
١١	٠,٢٠٠	٣,٩-	١٣٩,٠	١٣,٣-	٨١,٣	٨,٣	٤٦,٣	٧,٢-	١٤,٢	١,٢	١,١
١٢	٠,٢٢٠	٣,٤-	١٣٥,٥	١٤,٣-	٧٩,٢	٩,١	٤٥,٨	٧,١-	١٤,٢	١,٢	١,١
١٣	٠,٢٤٠	٢,٩-	١٣١,٨	١٥,٢-	٧٧,١	٩,٨	٤٥,٣	٧,٠-	١٤,٢	١,٢	١,١
١٤	٠,٢٦٠	٢,٥-	١٢٨,٢	١٦,٠-	٧٥,٠	١٠,٤	٤٤,٨	٦,٩-	١٤,٢	١,٢	١,١
١٥	٠,٢٨٠	٢,١-	١٢٤,٦	١٦,٧-	٧٢,٩	١٠,٩	٤٤,٤	٦,٨-	١٤,٢	١,٢	١,١
١٦	٠,٣٠٠	١,٧-	١٢١,١	١٧,٤-	٧١,٠	١١,٤	٤٤,١	٦,٧-	١٤,٣	١,٢	١,١
١٧	٠,٣٢٠	١,٣-	١١٧,٧	١٧,٩-	٦٩,١	١١,٧	٤٣,٨	٦,٧-	١٤,٣	١,٢	١,١
١٨	٠,٣٤٠	١,٠-	١١٤,٤	١٨,٤-	٦٧,٣	١٢,٠	٤٣,٥	٦,٦-	١٤,٣	١,٢	١,١
١٩	٠,٣٦٠	٠,٦-	١١١,٣	١٨,٨-	٦٥,٦	١٢,٢	٤٣,٣	٦,٦-	١٤,٤	١,٢	١,١

هناك ثلاث تقسيمات لطرق حساب المشتقات والطرق التحليلية وتتضمن تفاصيل الدوال التحليلية Differentiation of Mathematical Functions. وتستخدم طرق الرسم البياني مفهوم الانحدار اللحظي لرسم البياني لدالة. وأخيراً تطبيق الطرق الرقمية بصيغ مبسطة نسبياً لحساب مجموعة بيانات النقاط التي تمثل التنوع لأي دالة. وتستخدم جميع الطرق الثلاثة في الميكانيكا الحيوية، ولكل منها إيجابياتها وسلبياتها. لاستخدام التكنيك التحليلي، تجمع البيانات الوضعية عند زيادة زمنية متساوية يجب أولاً أن تكون مهينة لتلائم الدوال الرياضية. عندما تصاغ بيانات الوضع في شكل معادلة، ينتج التكنيك التحليلي معادلات تمثل نماذج السرعة والعجلة المطابقة لها. ميزة هذا الإجراء في كونه يولد بيانات السرعة والعجلة التي تكون

أخطائها الرقمية حرة. بينما طرق الرسم البيانات بطيئة ولا تضيف لنفسها أى أشكال بيانات رقمية أو تحليلية، ولكن القدرة البيانية للتفاضل قيمتها عظيمة فى فحص صدق النتائج عن الطريقتين الحسابيتين.

المدخل الأكثر انتشاراً هى التفاضل الرقمية، سبب ملائمة الطريقة التى جمعت بها البيانات التجريبية يحتاج الشكل للمحكم لتعادل عمودى إحداثيا الوضع فى الفضاء فى الزمن إلى تطبيق التكنيك الرقمية. على أية حال، إذا لم تستخدم بعناية طرق التفاضل الرقمية يمكن حدوث الأخطاء الحسابية. فيما يلى وصف الخطوات الضرورية لاقبال تلك الأخطاء الحسابية:

توجد صيغ مختلفة التنوع لتفاضل الرقمية. المعادلات المعروضة هنا للحصول على قيم السرعة والعجلة أمثلة للاختلاف المحدود لحساب التفاضل والتكامل. الطريقة المستخدمة هى طريقة الاختلاف المركزى :

$$V_i = \frac{S_{i+1} - S_{i-1}}{2\Delta t} \quad (4-6)$$

$$a_i = \frac{V_{i+1} - V_{i-1}}{2\Delta t} = \frac{S_{i+2} - 2S_i + S_{i-2}}{4(\Delta t)^2} \quad (4-7)$$

or

$$a_i = \frac{S_{i+1} - 2S_i + S_{i-1}}{\Delta t^2} \quad (4-8)$$

$$V_1 = \frac{S_2 - S_1}{\Delta t} \quad (4-9)$$

$$V_n = \frac{S_n - S_{n-1}}{\Delta t} \quad (4-10)$$

$$A_1 = \frac{V_2 - V_1}{\Delta t^2} \quad (4-11)$$

$$a_n = \frac{V_n - V_{n-1}}{\Delta t^2} \quad (4-12)$$

حيث أن  $V_i$  = سرعة العلاقة عند الزمن  $i$ ،  $a_i$  = عجلة العلاقة عند الزمن  $i$ ،  $\Delta t$  = فرق الزمن بين وضعين،  $(S_{i+1} - S_i)$  (بالثانية)،  $S$  = الوضع الخطى ( $X$  أو  $Y$  بالمتري). ويلاحظ أن للحصول على السرعة أو العجلة عند لحظة معينة ( $i$ )، البيانات من الزمن البيئي قبل ( $i-1$ ,  $i-2$ ) وبعد ( $i+1$ ,  $i+2$ ) في اللحظة المكتسبة. حيث أن بيانات جميع النقاط غير متاحة عند البداية ( $i=1$ ) والنهاية ( $i=n$ ) لأن تدفق البيانات يكون غير ثابتة. الطريقة الوحيدة للحصول على أى سرعة عند الزمن 1 أو  $n$  تستخدم معادلات الاختلاف الأمامية والخلفية التالية لميلر ونيلسون Miller and Nelson (١٩٧٣م) (٢). أفضل طريقة للحصول على المشتقتين الأولى والثانية هي تجميع خارج البيانات، لكلا قبل وبعد الحركة موضع الدراسة. إذا لم يحدث ذلك، طريق النهايات للبيانات مع خارج البيانات وعندئذ تأخذ المشتقات بطرح ما وراء النقاط. يمكن تشق ما وراء النقاط عن طريق عكس صدر البيانات عند كل نهاية أو خطياً أو لاستنباط أنها غير خطية من نهاية النقط.

### ثانياً : الإشارة والتشويش وتهذيب البيانات :

#### Signal Noise and Data Smoothing

يهتم الباحثون في الميكانيكا الحيوية غالباً بتفاصيل البيانات التجريبية. قيم الإزاحة التي حصلنا عليها من الفيلم أو الجنيوميتر تشكل أساس حساب السرعة والعجلة. تلك المتغيرات الكينماتيكية الهامة هي المشتقات الأولى والثانية للإزاحة بالنسبة للزمن. حيث أن كل مشتقة تمثل انحدار المنحنى السابق الشاذ في الدالة الأصلية بحسب تكبير خارج التناسب كدوال فرعية. ويكون من الصعب تقدير جميع مصادر الخطأ من النتائج التجريبية الحاصلين عليها، ومع ذلك، تكنيك تمهيد المنحنى أو تهذيب البيانات يجب تطبيقه كمحاولة لتعويض عدم الدقة والاقتراب من الدالة الحقيقية.



ربما تستخدم كلا الطرق اليدوية أو الحاسب الآلى الرقوى لهذا الغرض، وطريقة الحاسب الآلى للرقوى هى الأكثر انتشاراً حيث أنه يوجد العديد من البرامج لأداء الحسابات الضرورية فورياً، بموضوعية وبدقة.\*

#### الطريقة اليدوية : Manual Method

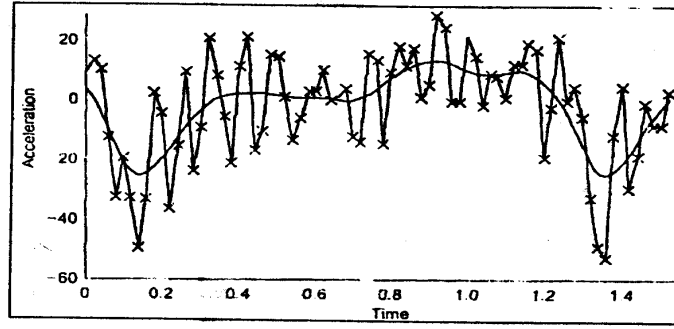
الطريقة اليدوية لتهديب البيانات الخام للاقتراب من المنحنى المناسب. أولاً، ضع القيم الخام المقابلة للزمن وعندئذ نرسم منحنى التهذيب ماراً من خلال معظم النقاط الممكنة. ربما تستخدم مسطرة المنحنى French Curve لهذا الغرض. الخطوة التالية هى تحويل الممارسات إلى منحنى عند الفترات الزمنية البينية المتساوية (شكل ٤-١) عن طريق التحديد، سوف يلمس المماس بالضبط المنحنى عند النقطة المأخوذة ولا يلمسها. يمكن حساب خط الانحدار من مقياس الانحراف المناسب على ورقة الرسم البيانى

$$\text{Slop} = \frac{\text{change in position}}{\text{change in time}} = \text{velocity}$$

$$\text{الانحدار (الميل)} = \frac{\text{التغير فى الوضع}}{\text{التغير فى الزمن}} = \text{السرعة}$$

\* لمزيد من المعلومات حول شرح نظريات تلك الطرق، يجب اطلاع القارئ على

مصنفات Numerial Analysis.



شكل (١٣-١)

التفاضل البياني

#### التفاضلات المحدودة : Finite Differences

طرق التفاضلات المحدودة المؤسسة على مجموعات تفكك تايلور Taylor، أعدت معادلة لحساب المشتقات الأولى والثانية والأعلى للدوال، كما وضع كل من James، سميث Smith، وولفورد Woford (١٩٦٤م) عن زاتسيورسكى Zatsiorsky (٢٠٠٢م) (٤) تكنيكات تقريبية حيث استقادوا من بيانات النقاط على كلا الجانبين للنقطة الواحدة، فمثلاً معادلة حساب المشتقة الأولى  $x_t$  كدالة للزمن (السرعة velocity) هي :

$$X_i = \frac{x_{i+1} - x_{i-1}}{(\Delta t)^2}$$

حيث أن  $X_i$  = النقطة الخاصة،  $X_{i+1}$  = النقطة على يمين النقطة  $X_i$ ،  $-X_{i-1}$  = النقطة على شمال النقطة  $X_i$ ،  $\Delta t$  = الفترة الزمنية البينية بين النقطتين.

خلال هذه الطريقة من الضروري لاستخدام تقدم المشتقة عند البداية حيث لا بيانات متاحة يسار النقطة الأولى :

$$X'_i = \frac{x_{i+1} - x_i}{(\Delta t)}$$

$$X''_i = \frac{x_{i+2} - x_{i+1} + x_i}{(\Delta t)^2}$$

وبالتالى يجب استخدام معادلة التفاضل الأولى العكسية عند النهاية :

$$X'_i = \frac{x_i - x_{i+1}}{(\Delta t)}$$

$$X''_i = \frac{x_i - 2x_{i+1} - x_{i-2}}{(\Delta t)^2}$$

معادلة التقدم الثانية، والتفاضل المركزى والعكس تستخدم لنقطتين

على جانب لـ  $X_i$  لايضاح أكثر لتأثير التهذيب ومعادلات التفاضل التقدمية

وهى :

$$X'_i = \frac{-x_{i+3} - 4x_{i+2} - 5x_{i+1} + 2x_i}{(\Delta t)^2}$$

معادلات التفاضل المركزى الثانية وهى :

$$X'_i = \frac{-x_{i+2} + 8x_{i+1} - 8x_{i-1} + x_{i-2}}{12(\Delta t)}$$

$$X''_i = \frac{-x_{i+2} + 16x_{i+1} - 30x_i + 16x_{i-1} - x_{i-2}}{12(\Delta t)^2}$$

ومعادلات التفاضل العكسية الثانية هى :

$$X'_i = \frac{3x_i - 4x_{i-1} + x_{i-2}}{2(\Delta t)}$$

$$X''_i = \frac{2x_i - 5x_{i-1} + 4x_{i-2} - x_{i-3}}{(\Delta t)^2}$$

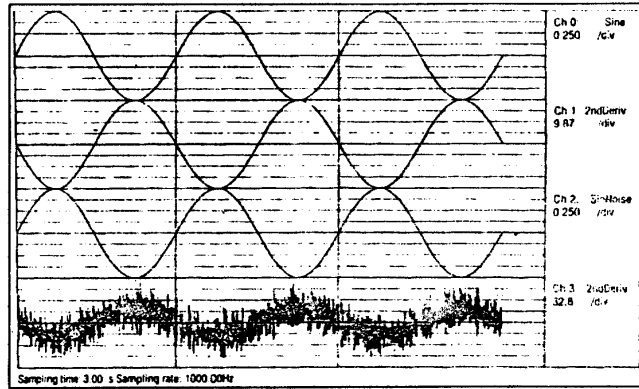
أيضاً برامج الحاسب الآلى الرقمية المتنوعة مناسبة لحساب استخدام مبادئ التفاضل المحدود. هذه الطريقة ربما لا تجهز التهذيب الوافى الملائم للتغيير المفاجئ للأخطاء فى البيانات المسجلة.

#### طرق بيانية- رقمية : Grapho-Numerical Methods

الطرق البيانية الرقمية تتركب من أفضل خصائص تكتيكات التفاضل المحدودة واليدوى عن فليكييت Fleket (١٩٥١م) عن زاتزيورسكى (٢٠٠٢) (٤)، تمهد بيانات الوضع مبدئياً، وعندئذ يشير هذا الإنجاز لتقييم الوضع إلى "أفضل حدود" "Best-Fitting" للمنحنى وتستخدم فى معاملات التفاضل المحدود لحساب السرعة والعجلة.

#### أقل مربع تقريبي : Last Square Approximations

من المرغوب فيه غالباً إيضاح العلاقة بين المتغيرات كمعادلات نظرية. وتستخدم البيانات الخام كأساس لاشتقاق كل معادلة وتصبح المشكلة فى اختيار الدالة المناسبة. ربما تجهز طريقة أقل تربيع كحل مناسب. تعتبر أى مجموعة نقاط للبيانات التى تمثل الوضع، كدالة بالنسبة للزمن. أيضاً يمكن تعود أى عدد من المعادلات متعددة الحدود المعطاة بأى درجة إلى هذه العلاقة التقريبية، ويكون هناك أفضل منحنى محدود واحد والذي فيه أدنى مجموع لمربع الانحرافات، شكل (٤-٢).



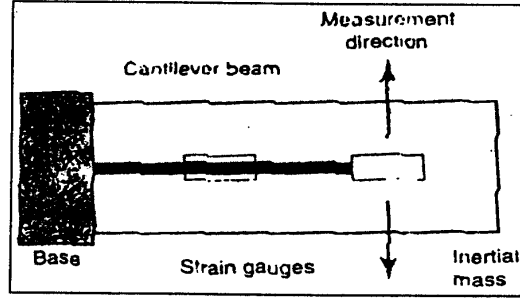
شكل (٢-٤)  
أقل مربع تقريبي

تتطلب أول درجة متعددة الحدود نقطتين للبيانات تكون في خط مستقيم، وثاني درجة متعددة الحدود تمثل بمنحنى متكافئ. وثالث درجة متعددة الحدود تعادل المنحنى التكعيبي. إعطاء العدد النوني (ن) من نقاط البيانات، (ن-١) لدرجة متعددة الحدود سوف تجهز حد تام للمسار خلال كل النقاط (ن). في معظم الحالات على أية حال، يكون استخدام الموضوعية كخفض درجة تعدد الحدود ممكن.

سوف يقدر خطأ أقل تربيع تجهيز بعض التوجيهات في اختيار درجة احتمال تمثيل البيانات وإنتاج كمية معينة للتهذيب بدون غموض حقيقي تجاه البيانات هذه الطريقة تعد أحد وسائل موضوعية المنحنى المناسب وقادرة على إنتاج معادلات أقل تربيع من البيانات الخام. توالى تفاضل الوضع- وتعدد حدود الزمن للحصول على السرعة والعجلة يكون بإنتاج تقدم- الاستقامة.

### ثالثاً : مقياس التسارع : Accelerometers

مقياس التسارع اختراع أو اكتشاف صغير يقيس العجلة أو التسارع. بعرض أساس عمله فى الشكل (١-١٥ a, b) وصلت كتلة صغيرة بواسطة دعامة (كمرة) خشبية لتحرك الجسم. عند تسارع الجسم، تنحرف الدعامة. وكمية الانحراف تكون مرتبطة بتسارع الكتلة. مجموعة جهد المقاومات Stain gauges المتصلة بالدعامة تستخدم لنقل انحراف الدعامة إلى إشارة كهربية.



شكل (١-١٥)

(a) الوصف الخارجى للأسس العلمية لمقياس التسارع. عندما يتسارع الجسم (بعجلة a) يشير السهم إلى الاتجاه، تتصل الكتلة الصغيرة بعارضة التسارع وتسبب انحراف يقاس عن طريق ناقل حساسية (مقاومة الاجهاد، أو مقياس مرونة السوائل الإلكترونية)، (b) مجموعة مقياس التسارع الثلاثى المحاور

هذه المعلومات تصنع من زجاج السليكون، ويسمح بالحد الأدنى الحسى (ناقل الحس) إلى تقريباً اسم فى الحجم- تقيس الأبعاد الثلاثة للعجلة الثلاث إحساسات التى محاورها الحسية متبادلة التعامد، ومركبة على شكل مقياس تسارع ثلاثى المحور الصغير.

من خلال ظهور حلول السليكون والتقدم الكثير في مصنع اكتمال الدوائر، امتلك هذا التصميم أكثر فرصة للحد الأدنى وإعداد قطع السليكون. يتكلف مادياً سليكون مقياس التسارع هذا أقل من مقياس التسارع. في المستقبل الحالة الإلكترونية سوف تجهز الإحساسات دائماً، والتي سوف تقلل التشويش وأسلاك الكهرباء المساعدة خلال إنتاج مقياس التسارع. وفيما يلي بعض القيود العملية لمنع انتشار استخدام مقياس التسارع هي :

- ١- تحديد حالات القصور الذاتي للأجزاء.
  - ٢- تأثير مجال الجاذبية.
  - ٣- الحاجة إلى التعرف على درجات حرية دوران الأجزاء.
  - ٤- الانحراف المنخفض لتيار مخرجات مقياس التسارع.
- يتطلب استخدام مخرجات مقياس التسارع لحساب وضع وسرعة الأجزاء معرفة عن قيم القصور الذاتي لتلك المتغيرات، ولأن هذه القيم لا يمكن تحديدها عن طريق مقياس التسارع، ويجب على الباحثين إما أن يستخدموا نظم قياس مختلفة أو بساطة يسلموا بهذه القيم. كما أن تأثير الجاذبية يمثل تحفظ آخر: إن اظهار قياس العجلة متجه جمع الجاذبية والعجلة الكينماتيكية، يحتاج إلى معلومات إضافة لوصف اتجاه الأجزاء في مجال الجاذبية الأرضية لاكتشاف العجلة الكينماتيكية.

#### الملخص : Summary

توجد ثلاث تقسيمات لطرق حساب المشتقات والضرق التحليلية وتتضمن تفاضل الدالة التحليلية وتستخدم طرق الرسم البياني مفهوم الانحدار اللحظي لرسم البياني لدالة.

عندما تصاغ بيانات الوضع فى شكل معادلة، ينتج التكنيك التحليلى معادلات تمثل نماذج السرعة والعجلة المطابقة لها. كما توجد عدة طرق لتهديب المنحنى أو تهديب البيانات، وتعتبر طريقة الحاسب الآلى الرقمى هى الأكثر انتشاراً حيث أنه يوجد العديد من البرامج لأداء البيانات الضرورية فورياً بموضوعية ودقة. مقياس التسارع اختراع أو اكتشاف صغير يقيس العجلة أو التسارع.

#### **اختبر معلوماتك :**

- ١- اذكر طرق حساب مشتقات الإزاحة بالنسبة للزمن؟
- ٢- اذكر طرق تمهيد أو تهديب المنحنى وتناول إحداها بالشرح المفصل؟
- ٣- تحدث عن مقياس التسارع؟



## المراجع

- ١- عادل عبد البصير على: (٢٠٠٥م)، التحليل البيوميكانيكي لحركات جسم الإنسان (أسس وتطبيقاته)، المكتبة المصرية للطباعة والنشر والتوزيع، الإسكندرية، ص(٣٠٦-٣١٣)
- ٢- عادل عبد البصير على: (١٩٩٨م)، المدخل لتحليل الأبعاد الثلاثة لحركة جسم الإنسان في المجال الرياضي، مركز انساب للنشر، القاهرة، ص(٤٧-٤٩).
- 3- Susan J. Hall: (1999), Basic biomechanics, Third edition International Editions 1999, WCB/ McGraw Hill A Division of the McGraw-Hill Companies, India, Page (5-20).
- 4- Zatsiorsky, V.M.: (2002), Kinematics of human motion, Champaign, IL.: Human Kinetics.



## الفصل الخامس

### الكينماتيكا الزاوية Angular Kinematics

الأهداف

تمهيد

أولاً : الاصطلاحات الزاوية

ثانياً : زوايا المفاصل

ثالثاً : مشتقات الزاوية بالنسبة للزمن

رابعاً : التحويل الزاوي اللحظي

خامساً : تمثيل بيانات الحركة الزاوية

الملخص

اختبر معلوماتك

المراجع



## الفصل الخامس

### الكينماتيكا الزاوية Angular Kinematics

#### الأهداف Objectives

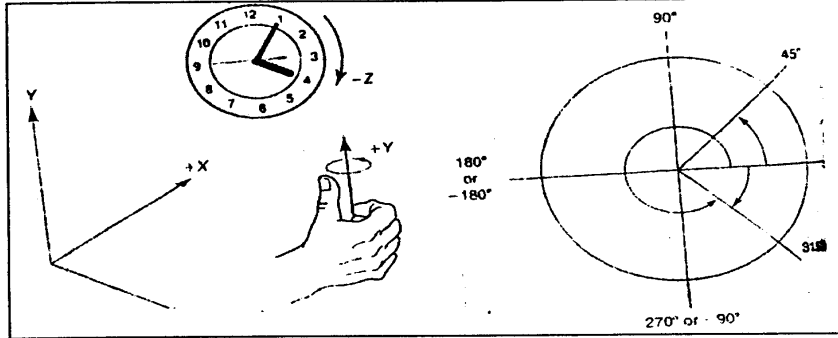
- بعد قراءة هذا الفصل يصبح القارئ قادر على التعرف على :
- ١- الوضع الزاوى.
  - ٢- الاصطلاحات الزاوية.
  - ٣- زوايا المفصل والإحداثيات القطبية.
  - ٤- مشتقات الزاوية بالنسبة للزمن.
  - ٥- مقياس زوايا المفصل الإلكتروني Electrogoniometers.
  - ٦- تمثيل بيانات الحركة الزاوية.

#### تمهيد : Review

يمكن تقسيم قياس الوضع الزاوى إلى فصلين. الفصل الأول يتبع الوضع الزاوى أو توجيه الأجسام المنفردة. وتلك تسمى زوايا الأجزاء أو المطلقة. لأن مرجعها عادة لكادر مرجعى مطلق أو لنيوتن. الفصل الثانى عادة يتبع الزاوية بين عضوية متجاورين للجسم. وتلك تسمى نسبية، مفصلية، أو زاوية أصلية Cardinal Angle لأنها تقيس الوضع الزاوى للوضع بالنسبة للآخر.

### زوايا العضو : Segment Angles

كما قررنا فى فصل العلامات، يجب تقدير كمية نقطتين لوصف الوضع الزاوى لعضو جسم الإنسان فى الحركة المستوية ذات البعدين. تتبع تلك الزوايا المطلقة التالية قاعدة تسمى قاعدة اليد اليمنى شكل (١-٥)، التى فيها الدوران مع عقرب الساعة سالب وعكس عقرب الساعة موجب. إحنى أصابع اليد اليمنى فى اتجاه الزاوية أو الدوران وبعد ذلك قارن اتجاه إصبع الإبهام بالمحاور المحددة كمرجع لإشارة الزاوية أو الدوران حول المحور المحدد.



شكل (١-٥)

قاعدة اليد اليمنى لتحديد اتجاه الدوران

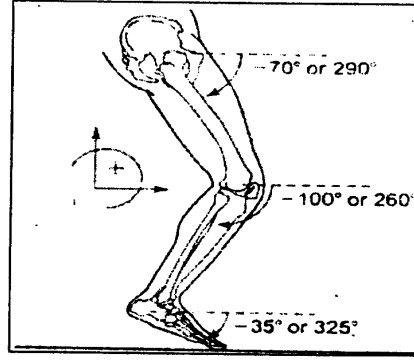
بالنسبة لتحليل الحركة المستوية غالباً تحدد زوايا العضو كزاوية العضو بالنسبة للخط الأفقى الأيمن المتجه من النهاية القريبة للعضو. الاصطلاحات الأخرى ممكنة، ويجب على الباحث تحديدها عند استخدامها.

### أولاً : الاصطلاحات الزاوية : Angular Conventions

تستخدم الاصطلاحات لتقدير الكمي لزاويا الأعضاء. المقياس الأول للزاويا مثل التركيبات، بزاويا مداها من صفر إلى ٣٦٠ درجة، بينما المقياس الثانى يسمح لمدى زاوى من  $180^+$  إلى  $180^-$  كما فى شكل (٢-٥) التالى. توضح هذه الاصطلاحات نفس قيم الزوايا بين صفر،  $180^+$ ، ولكن يختلف ذلك بالنسبة لزاويا بين  $180^+$ ،  $360^+$ . يجعل الاصطلاح الثانى مدى الزوايا من صفر إلى  $180^-$  أسهل للتصور شكل (٣-٥).

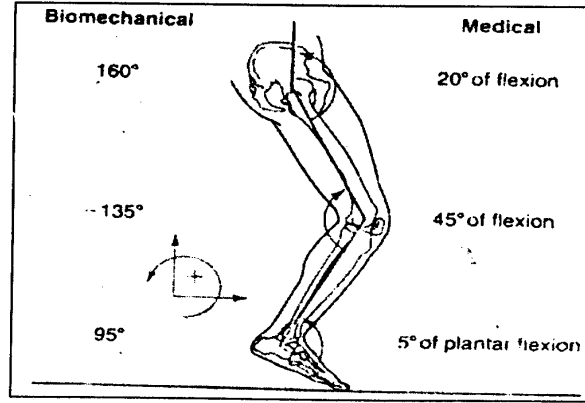
### المشاكل غير المتواصلة : Discontinuity Problems

تظهر مشكلة بالنسبة لكلا الاصطلاحين عندما يتقاطع خطى العضو صفر/ $360^+$  أو خط العضو  $180^+$ . مثل، عندما حركات العضو مع عقرب الساعة من زاوية  $10^+$  إلى  $350^+$ ، يكون الفرق المسجل هو  $(350^+ - 10^+) = 340^+$  بدلاً من القيمة الصحيحة  $10^-$ . وبالمثل بالنسبة لاصطلاح  $180^+$ ، وعلى أنه حال حركة العضو عكس عقرب الساعة من  $170^+$  إلى  $160^-$ ، يقال أن الفرق يكون  $(160^- - 170^+) = -10^-$  بدلاً من القيمة الصحيحة  $10^+$ . فى كلا الحالتين، من الممكن أن يدور الأعضاء فى الاتجاهات العكسية خلال التغيرات الأطول لمدى الزاوية، وبالرغم من ذلك هذا بعيد المنال إذا كان معدل عينة البيانات صحيحاً. لحل هذا المأزق، تسلم بعدم حدوث تغيرات زاوية بأكبر من  $180^+$  من الكادر الأول والكادر التالى. وعند رسم المسارات البيانية الزاوية، عند عبور العضو صفر/ $360^+$  أو  $180^+$  تظهر أيضاً غير متواصلة. يمكن إعادة هذا عن طريق إضافة أو طرح  $180^+$  كلما حدث تغير زاوية مطلق لأكثر من  $180^+$ .



شكل (٢-٥)

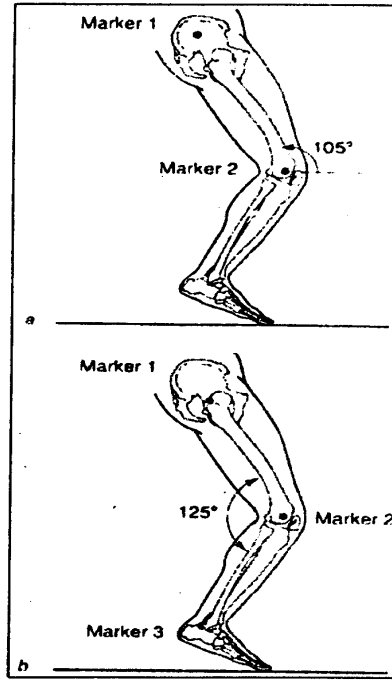
الاصطلاحين لإيجاد زوايا العضو المطلقة. دائماً أحد مدى المقياسين من صفر إلى ٣٦٠ بينما يستخدم الآخر المدى من ١٨٠ إلى -١٨٠



شكل (٣-٥)

أمثلة لزوايا المطلقة للطرف السفلى أخذت جميع الزوايا من الخط الأفقي من الطرف القريب للعضو





شكل (٤-٥)

(a) التباين المطلق، (b) الزوايا النسبية

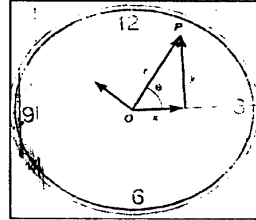
#### ثانياً : زوايا المفصل : Joint Angles

جسم الإنسان مجموعات لأعضاء متصلة ببعضها البعض عن طريق المفاصل، لذا من المفيد وضعها أو قياسها نسبياً أو بزوايا المفصل. يُتطلب التقدير الكمي لزوايا المفصل كحد أدنى ثلاث إحداثيات أو زاويتين مطلقتين، كما موضح في شكل (٤-٥).

عندما تحدد حركات المفصل، ربما تمتلك المفاصل المجاورة اتجاهات مختلفة لنفس نوع الحركة. كمثال، إذا كان قبض المفصل دوران موجب تبعاً للنظام الإحداثي الشامل (GCS) عندئذ قبض الفخذ يكون دوران سالب. تذكر أن، النظام البيوميكانيكي الذي يرتبط بقاعدة اليد اليمنى هو المطبق... أيضاً يعرض النظام الطبي الذي يستخدمه إخصائيو كل من العلاج الطبيعي، التشريحي، والطبي المشتركين لتحديد الأوضاع التشريحية للمفاصل. يتجنب النظام الثاني حدوث الزوايا السالبة عن طريق نوع خاص لحركة المفصل (كمثل القبض Flexion، المد Extension، المد الزائد Hyperextension، وهكذا).

#### الإحداثيات القطبية : Polar Coordinates

ايضاً تنتج الحركة الزاوية للأجسام الصلبة حركة خطية للنقاط الفردية (كمثل العلامات) المتصلة بالجسم. بالإضافة لذلك تعتمد كمية الإزاحة الخطية للنقطة على وصفها مع ارتباطها بالمحور الذي يدور حوله الجسم. تبعاً لحركة عقرب الدقائق لساعة اليد شكل (٥-٥)، مكان العلامة عند مركز الساعة سوف لا تخضع لإزاحة خطية عند دقات الدقائق، ولكن أى علامة عند نهاية العقرب سوف تنتج مسار دائري.



شكل (٥-٥)

القطب  $(\theta, \gamma)$  وتعتمد الزوايا  $(Y, X)$  لعقرب الدقائق للساعة

الوصف الرياضى لكل حركة زاوية- إلى حركة خطية- يعكس فى استخدام الإحداثيات القطبية حيث تتوالى الإحداثيات المتعامدة فى النظام القطبى، بينما النظام المتعامد، يصف الوضع المستوى لنقطة على أى مستوى بدرجتين حرية. يترك الخط من نقطة الأصل ومحور النظام إلى النقطة كما فى شكل (٥-٦). يمثل طول الخط ( $r$ ) درجة حرية واحدة، بينما الزاوية ( $\theta$ ) بين الخط واحد المحاور المرجعية (غالباً الخط الأفقى العمودى عن مركز الساعة يصف درجة الحرية الثانية، واصطلاح على تسميتها الإحداثيا القطبية لنقطة، ويكتب  $(r, \theta)$ ). تذكر أنه فى الشكل (٥-٦) رسم أى خط من النقطة إلى المحور المرجعى بشكل مثلث قائم الزاوية. باستخدام الدوال المثلثية من القطب إلى الإحداثيا المتعامدة تحصل على :

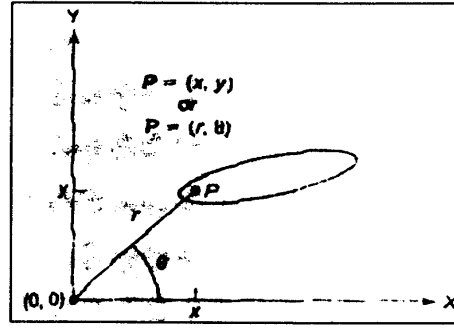
$$X = r \cos \theta \quad (5-13)$$

$$Y = r \sin \theta \quad (5-14)$$

إذا اعتبرنا أن مركز الساعة هو نقطة الأصل، أبعد نقطة عن المركز تمتلك أطول طول ( $r$ ) عند إتمام دوران واحد، وأى نقطة عند النهاية خارج عقرب الدقائق أطول مساراً من النقطة عند نهاية عقرب الساعة الأقصر. بالرغم من ذلك استخدم فى أغلب الأحيان فى الإحداثيات المتعامدة Cartesian Coordinates فى بحوث الميكانيكا الحيوية، وكان الاصطلاح الأكثر استخداماً فى بعض البحوث هو الإحداثيا القطبية. ودائماً من الممكن إعطاء الإحداثيا المتعامدة ( $Y, X$ ) لحساب إحداثياها القطبية ( $\theta, r$ ) باستخدام العلاقات المثلثية التالية :

$$r = \sqrt{\quad} \quad (5-15)$$

$$\theta = \tan^{-1} (y / x)$$



شكل (٧-٥)

يمكن يمثل الإحداثيات القطبية وضع أى نقطة كما فى الإحداثيات المتعامد تستخدم فى الإحداثيات القطبية حول خط نقطة الأصل  $(r)$  كإحداثى واحد، والزاوية بين خط العضو والمحور الثابت  $(\theta)$  كإحداثى ثانى، يمكن اظهار وضع للنقطة  $P$  أما مثل  $(X, Y)$  فى نظام المحاور المتعامدة أو مثل  $(\theta, r)$  فى الإحداثيات القطبية. تذكر أن فى النظام الأفضل درجات الحرية اثنين

### ثالثاً : مشتقات الزاوية بالنسبة للزمن :

#### Angular Time Derivatives

كما فى حساب التفاضل والتكامل للمتغيرات الكينماتيكية فى الحركة الخطية يستخدم أيضاً فى تحديد تلك المتغيرات الزاوية. كما سبق ذكره فى أوائل هذا الفصل تحدد الإزاحة الزاوية كتغير للوضع الزاوى. تحدد السرعة الزاوية كمعدل التغير للإزاحة الزاوية بالنسبة للزمن، والعجلة الزاوية كمعدل التغير فى السرعة الزاوية بالنسبة للزمن. اصطلاحياً السرعة الزاوية هى العجلة التكاملية بالنسبة للزمن.

والإزاحة الزاوية هى العجلة التكاملية بالنسبة للزمن، والإزاحة الزاوية هى الزمن التكامل للسرعة الزاوية. تستخدم هذه المتغيرات

الكينماتيكية لوصف الحركة الزاوية للأجسام الصلبة خلال الحركة المتتالية. يوضح الجدول (٥-٢) التالى الرموز الممثلة لوحدات لقياس تلك المتغيرات. وتستخدم المعادلات التالية لحساب كل من السرعة الزاوية ( $\omega$ ) والعجلة الزاوية ( $\alpha$ ) :

$$\omega_i = \frac{\theta_{i+1} - \theta_{i-1}}{2\Delta t} \quad (5-16)$$

$$\alpha_i = \frac{\omega_{i+1} - \omega_{i-1}}{2\Delta t} \quad (5-17)$$

$$\alpha_i = \frac{\theta_{i+1} - 2\theta_i + \theta_{i-1}}{\Delta t^2} \quad (5-18)$$

حيث أن  $\theta$  = الوضع الزاوى،  $\Delta t$  = زمن الدوام بين ظل المنحنيات،  $i$  = اللحظة الزمنية الخاصة. التى فى نفس الوقت حلت. كما فى حالة البيانات الخطية، قبل تطبيق تلك المعادلات للوضع الزاوى الخام يجب تمهيد أو تهذيب منحنيات الوضع الزاوى الخام واستبعاد البيانات الشاذة عن بترك، تورمان، وينتر Pezzack, Norman & Winter (١٩٧٧م). إذا تم تهذيب هذه البيانات الخام للوضع الزاوى ليس من الضروري إجراء تمهيدات أخرى فيما بعد (١).

#### رابعاً : التحويل الزاوى للخطى : Angular to Linear Conversion

ذكرنا مما سبق ارتباط الحركة الخطية بالحركة الزاوية. عندما يكون الجسم الصلب تحت سيطرة الحركة الزاوية، يمكن حساب السرعة الخطية والعجلة الخطية من السرعة الزاوية والعجلة المعلومه. لو فرضنا أن الجسم يدور حول محور ثابت للدوران، النقطة Q فى الشكل (٥-٧) توضح اتصال العلامة عند النهاية البعيدة للجسم كنقطة P لدرجة أن النقاط P, Q مثلت

بالطول  $(r)$ . عند دوران الجسم، وصفت النقطة  $P$  القوس (أو الدائرة) على السطح المحدد. والآن وصل الجسم بالإطار المرجعي للبعدين مع نقطة الأصل لهما عند النقطة  $P$ . يسمى المحور الأولي المحور العادي، ويكون عند الزاوية القائمة لاتخاذ المسار، ومحور المماس مماس المسار. إضافة للجسم، هذا الكادر المرجعي سوف يدور مع الجسم لدرجة أن المحاور العادية والمماسية تغير اتجاهاتها من خلال النظام الإحداثي الشامل. توصف الحركة الزاوية من خلال سرعتها الزاوية وعجلتها الزاوية من خلال النظام الإحداثي الشامل. تذكر أن كل نظام يمثل أعضاء جسم الإنسان كمثل الفخذ، حيث تمثل  $Q$  مفصل الفخذ الثابت،  $P$  حركة مفصل الركبة،  $r$  = طول الفخذ.

يمكن حساب السرعة الخطية للنقطة  $P$  من خلال النظام المرجعي الدائري من المعادلة  $(v_i = r \omega)$  حيث أن  $v_i$  = السرعة المحيطية (مثل في اتجاه المحور المماس)، تذكر أن السرعة العادية  $(v_n)$  تساوى صفر، لأن الطول  $r$  ثابت (لأن النقاط  $P, Q$  ثابتة نسبياً بالنسبة لبعضها البعض). ربما النقطة  $P$  تكون تحت سيطرة العجلة المماسية وتحسب من المعادلة  $(a_i = r \alpha)$ . هذه العجلة سوف لا تكون صفر إذا زادت أو قلت سرعته الزاوية. إذا دار الجسم عند سرعة زاوية ثابتة، سوف تكون العجلة الزاوية والمماسية صفر. بالرغم من أن السرعة العادية تساوى صفر للحركات الدورانية، هناك دائماً تكون عجلة عادية  $(a_n)$  لا تساوى صفر إذا انتقل الجسم في مسار دائري. تحسب العجلة العادية من المعادلة  $(a_n = r \omega^2)$ . هذه العجلة أيضاً سميت العجلة المركزية Centripetal acceleration، وهي تحدث بواسطة التغير المستمر لاتجاه النقطة  $P$  من خلال النظام المرجعي الشامل.

تحدد السرعات والعجلات العادية والمماسية من خلال اتصال النظام المرجعي للجسم الدائر ولكن يمكن التحول للنظام المرجعي الشامل باستخدام معلومات التوجيه الزاوى للجسم والتطابق المثلثى البسيط كما فى شكل (٥-٧)، تكونت الزاوية  $\beta$  بواسطة السرعة المماسية والخط الأفقى يميناً الموازى للمحور X فى النظام الإحداثى الشامل. ويمكن إعادة تحليل المتجه إلى مركبتين  $v_x$ ،  $v_y$  تبعاً للاتجاهين الأساسيين للنظام الإحداثى الشامل (GCS) باستخدام المعادلتين  $v_x = v_t \cos \beta$ ،  $v_y = v_t \sin \beta$ . بالمثل يمكن تطبيق التحويلات لظهار  $a_t$ ،  $a_n$  فى النظام الإحداثى الشامل.

#### مقياس زوايا المفصل الإلكتروني : Electrogoniometers

مقياس قياس زوايا المفصل اكتشاف يدوى لقياس زوايا المفصل كما فى شكل (٥-٨a). ومن الضرورى تواجد منقلة بذراعين - أحدهما يثبت بالمنقلة والآخر يدور لقياس الزوايا. لقياس زوايا المفصل إلكترونياً خلال الحركة، تستخدم الجنيوميتر الإلكتروني Electrogoniometers. بالتأكيد بالرغم من أن هذا الجهاز مرتفع الثمن إلا أنه أرخص من الأجهزة الأخرى ويمكن تجميع البيانات ورؤيتها فوراً، ولكن ولسوء الحظ أن ذلك الاكتشاف محدود الحركة حيث أنه يتطلب توصيل إلكترونيات متعددة للفرد ويجب أن تلاحق الموصلات الفرد لتجميع البيانات بالنظام.

ويؤخذ على نظام الجنيوميتر الإلكتروني بعض التحفظات التى تسبب فى عدم انتشاره حتى الآن إلا فى الأوساط الطبية، هى :

١- نظام الجنيوميتر ثقيل (وبعض الوقت صعب) وصعب تريبج مختلف أحجام الأعضاء (الأطراف).

- ٢- من الصعب التحكم فى المفاصل لأنه يحيط بأكبر مساحة منها (من الأنسجة الناعمة) (مثل المقعدة) أو لأنه يشترك أكبر التركيبات بربط أصغر وصلة بالنقطة (مثل رسغ القدم والمقعدة).
- ٣- هناك تحفظ لانعدام التأثير الخطى ومشاكل عصا الانزلاق، الركزل الخلفى، فى نظام الوصلة الميكانيكية.
- ٤- يجب أن تطور المقاومات الخاصة بالمفاصل المختلفة (مثل جنيوميتر الأطراف السفلية لاستخدام الأطراف العلوية (الظهر أو الرقبة).
- لأسباب السابقة استخدمت نظم الجنيوميتر فى البداية من أجل الحصول على دوران بعض المفاصل بصعوبة (غالى الثمن) تقريباً أو من أجل الدراسات التفصيلية لأحد المفاصل بالتحكم فى الجلوس فى المعمل.

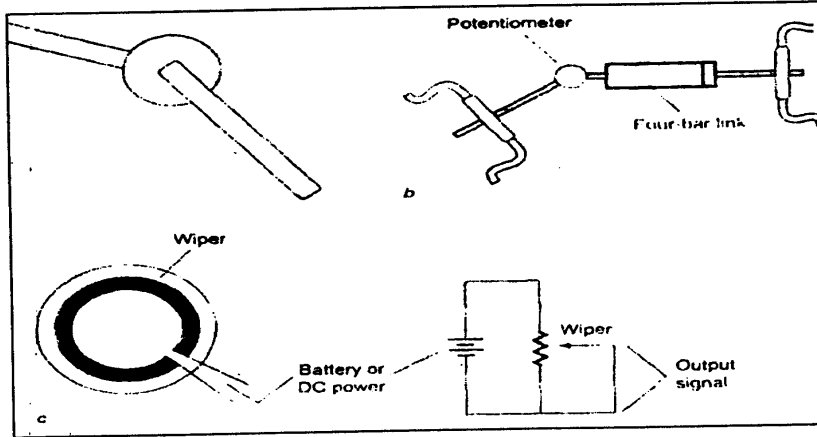
#### خامساً : تمثيل بيانات الحركة الزاوية :

##### Angular Kinematic Data Presentation

تشابه تمثيل بيانات الحركة الزاوية بما أتيح فى تمثيل بيانات الحركة الخطية، مع استخدام الرموز العامة الخاصة بالحركة الزاوية وهى  $\theta$ ،  $\omega$  أو  $\alpha$  كدالة بالنسبة للزمن عند التمثيل البيانى للحركة. تفيد هذه الرموز فى حالة مقارنة المؤشرات الكينماتيكية والديناميكية التى يؤدى لحظياً، وبخاصة عند محاولة ربط الملاحظات الكينماتيكية لسيطرة على القوى والعزم- يظهر رمز آخر خاص بالحركات الزاوية وهو الرسم البيانى لزاوية- زاوية، والذى يعرض إحداثى الحركة لعضوين أو مفصلين بواسطة توقيع أحدهما مقابل للآخر. يجب أن يكون الوصف البيانى بعناية ودقة لأن الإحساس بالزمن هنا مفقود، ولكن يمكن التغلب على ذلك عن طريق وضع علامة خاصة على عناصر الحركة على زاوية- زاوية الموقعة ووضع أسهم صغيرة التى تشير إلى التوالى النسبى للزمن.



الرمز الاستثنائي الآخر لعرض النتائج الزاوية يعرف كمرحلة المقطع الزاوي Phase Plote أو مرحلة الوصف Phase Portrait أو مرحلة الرسم البياني. وهنا تصور العلاقة بين الزاوية ( $\theta$ ) والسرعة الزاوية ( $\omega$ ) للعضو الخاص أو المفصل، بحيث يمثل  $\theta$  المحور الأفقي،  $\omega$  المحور الرأسى. أصبح هذا العرض منتشراً فى دراسات المتخصصين فى الميكانيكا الحيوية للحركات الكينماتيكية الزاوية، وتوضح الأشكال (a، b، c) لكل من الكينماتيكا الزاوية- الزمن، الرسم البينى للزاوية- زاوية، ومرحلة الوصف. تذكر أن: عرض بيانات الكينماتيكية الزاوية لمجموعات لا لمحاولات أو لأشخاص يمكن جعلها تستخدم مجموعات متوسطات التكتيكات التى سبق وضعها فى عرض المتغيرات الكينماتيكية الخطية.



شكل (٧-٥)

(a) مجموعة أزمنة زاوية الركبة، (b) مقطع زاوية- زاوية المقعدة مقابل زاوية الركبة، (c) مقطع مرحلة السرعة الزاوية للركبة مقابل الوضع

## المخلص : Summary

تستخدم اصطلاحات لتقدير الكمي لزوايا الأعضاء المقياس الأول للزوايا يسمح بمدى زاوى من صفر إلى ٣٦٠ درجة، بينما يسمح المقياس الثانى بمدى من ١٨٠+ درجة إلى ١٨٠- درجة.

بالنسبة لتحليل الحركة المستوية غالباً تحدد زوايا العضو كزاوية العضو بالنسبة للخط الأفقى الأيمن المتجه من النهاية القريبة للعضو. يتطلب التقدير الكمي لزوايا المفصل كحد أدنى ثلاث إحداثيات أو زاويتين مطلقتين.

تحدد الإزاحة الزاوية كتغير للوضع الزاوى. وتحدد السرعة الزاوية كمعدل التغير للإزاحة الزاوية بالنسبة للزمن، والعجلة الزاوية كمعدل التغير فى السرعة الزاوية بالنسبة للزمن.

جهاز مقياس زوايا المفصل الإلكتروني يمكن استخدامه فى تجميع البيانات ورؤيتها فوراً ولكن لسوء الحظ هذا الجهاز محدود الحركة حيث أنه يتطلب توصيل إلكترونيات متعددة للفرد ويصعب ملاحقة الموصلات بالفرد لتجميع البيانات بالنظام.

يمكن إجراء التمثيل البياني لمتغيرات الكينماتيكية الزاوية كما فى الكينماتيكا الخطية.

**اختبر معلوماتك :**

- ١- اشرح كيف تحدد زوايا العضو عند تحليل الحركة المستوية؟
- ٢- أكمل ما يلي :
- ٣- أ- تستخدم ..... لتقدير الكمى ..... الأعضاء.
- ٤- ب- يسمح المقياس ..... للزوايا بمدى من ..... إلى .....
- ج- يسمح المقياس الثانى للزوايا ..... من ..... إلى .....
- د- الدوران عكس عقرب ..... موجب.
- هـ- ..... مع عقرب ..... سالب.
- ٥- اشرح كيف يتم التحويل الزاوى للخطى؟
- ٦- يؤخذ على نظام الجنيوميتر الإلكتروني بعض التحفظات التى تسببت فى عدم انتشاره ما هى هذه التحفظات؟

## المراجع

- ١- عادل عبد البصير على: (٢٠٠٥م)، التحليل البيوميكانيكي لحركات جسم الإنسان (أسس وتطبيقاته)، المكتبة المصرية للطباعة والنشر والتوزيع، الإسكندرية، ص(٢٠٤-٢٤٠)
- 2- Beer, E.P., and E.R. Johnston, Jr.: (1977), Vector mechanics for engineers: Statics and dynamics, 3<sup>rd</sup> ed., Montreal: McGraw- Hill.
- 3- Zatsiorsky, V.M.: (1998), Kinematics of human motion, Champaign, IL.: Human Kinetics.

## **الباب الثاني**

### **كيناتيكا جسم الإنسان**

الفصل الأول : بارامترات أعضاء الجسم

الفصل الثاني : القوى وقياساتها

الفصل الثالث : الديناميكا المعكوسة للبعدين

الفصل الرابع : الطاقة، الشغل، القدرة

الفصل الخامس : كيناتيكا الثلاث أبعاد



## الفصل الأول

### باراميترات أعضاء الجسم Body Segments Parameters

الأهداف

تمهيد

أولاً : طرق حساب وتقدير باراميترات عضو الجسم

ثانياً : تكتيكات الجثث

ثالثاً : النماذج الرياضية

رابعاً : نقتيات المسح والتصوير

خامساً : التقتيات الكينماتيكية

الملخص

اختبر معلوماتك

المراجع





## الفصل الأول

### باراميترات أعضاء الجسم Body Segments Parameters

#### الأهداف Objectives

- بعد قراءة هذا الفصل يستطيع القارئ أن يحصل على :
- ١- تحضير مادة كقاعدة للقياس وتقدير باراميترات أعضاء الجسم.
  - ٢- تحديد طرق حساب القياس الكلي لخصائص الجسم والقصور الذاتي العضوي خلال تحليل البعدين للحركة المستوية.
  - ٣- تحديد طرق حساب القياس الكلي لخصائص الجسم والقصور الذاتي لتحليلات الحركات في الفراغات الثلاثة.

#### تمهيد : Review

يهتم علم القياسات الجسمية Anthropology بقياس الخصائص البدنية لجسم الإنسان. عادة الميكانيكا الحيوية تركز على خصائص القصور الذاتي للجسم وأعضائه. يسمى فرع الأنثروبوميتر بباراميترات أعضاء الجسم. قبل التحليل الكينماتيكي لحركة جسم الإنسان المتاح إجراءه، يجب تحديد الخصائص الطبيعية والقصور الذاتي لأعضاء جسم الإنسان. والخصائص المناسبة هي الكتلة العضوية ووضع مراكز النقل العضوية وعزم القصور الذاتي للكتلة العضوية. لدراسة الحركة المستوية فقط، سهل طرق حساب الجزء المسمى الثلاث أبعاد الفضائية من الفصل الدراسي ومن

الملائم إذا كانت التحليلات فقط في الفراغات ثلاثية الأبعاد هي المحددة،  
يسهل طرق حساب جزء عزم القصور الذاتي (٢).

#### **أولاً : طرق حساب وتقدير بارامترات عضو الجسم :**

##### **Methods for Measuring and Estimating Body Segment Parameters**

المفهوم الرئيسي للميكانيكا الحيوية هو التسليم بأن أجزاء الجسم تعامل كأجسام صلبة خلال الحركات. هذه المسلمة السابقة ليست صادقة لأن ثنى العظام، وتدفق الدم، ومد الأوتار وانقباض العضلات هي عامة نموذج لبعض أجزاء الجسم كجسيمات منفردة صلبة بالرغم من حقيقة أنها تتكون من أعضاء مختلفة فمثلاً : تعتبر القدم عادة عضو واحد بينما هي حقيقة يمكن تنثنى عند مفاصل سلاميات القدم Metatarsal- Phalangeal joints، وبالمثل يعامل الجذع كجسم صلب منفرد، ولكن في بعض الأحيان يعامل كجزئين أو ثلاثة. ومع ذلك في الحقيقة يتكون الجذع من مجموعة مترابطة من الجسيمات الصلبة يشتمل على العديد من الفقرات المتصلة، الترقوة، الحوض. ببساطة تلك المسلمات بمعنى آخر نظام هيكل عضلي معقد يهمل التغيرات الكمية المهمة في توزيع الكتلة نتيجة تغيير شكل الأنسجة وحركة الموائع الجسمية.

ويشير عادل عبد البصير (٢٠٠٥م) (٢) أنه عن طريق التسليم أيضاً بأن توزيع الكتل العضوية هي نفس توزيعها في أفراد المجتمع، يمكن تحديد الفروق الفردية لبارامترات الأعضاء بتطبيق بناء معادلات على التي حصلنا عليها من متوسطات العينات المأخوذة من المجتمع. يفضل مصادر متنوعة لمتوسطات تلك البارامترات، ولكن من الأفضل اختيازها من أي مجتمع متماثل أفراده تماماً.

تمت كثيراً من المحاولات لقياس كميات بارامترات أعضاء الجسم وعامة يمكن تقسيمها إلى أربع مجموعات كما يلي :

- ١- دراسات الجثث.
- ٢- دراسات النماذج الرياضية.
- ٣- تكتيكات البحث والتخيل.
- ٤- القياسات الكينماتيكية.

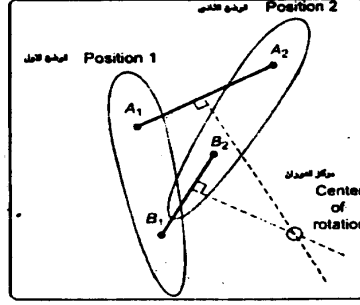
كل من هذه التكتيكات لها محاسنها وعليها مأخذها.

فيما يلي نذكر بعض الدراسات المرتبطة التي حددت إحدى أو أكثر من تلك التطبيقات.

### ثانياً : دراسات الجثث :

تحديد خصائص القصور الذاتي (الكتلة، مركز كتلة الجسم، عزم القصور الذاتي) صعب لأنها أجزاء حية. إذا قسمت كميات تلك الخصائص لرجل آلي، سوف تفصل كل من هذه الأجزاء وتحلل منفردة عن طريق إجراء اختيارات خاصة. حيث أن هذا غير ممكن من أجل الأفراد الأحياء، يجب استخدام طرائق غير مباشرة، على سبيل المثال تستخدم طريقة المعامل جداول نسبية حيث تنتبأ ببارامترات أعضاء الجسم من عينة لا تتعدى قياسات كتلة الجسم كله وطوله وطول أعضائه. ويذكر عادل عبد البصير (١٩٨٣م / ١٩٨٤م) (١) أن المحاولات الأولية التي بذلت لتحضير البيانات قام بها هارليس Harless (١٨٦٠م)، براون وفيشر Braun and Fischer (١٩٨٩م) (٤)، وفيشر (١٩٦٠م)، ولكن العمل الأكثر أهمية الذي قدمه ديمبستر Dempster (١٩٥٥م) عن جنسين Jensen (١٩٩٣م) (٥) والمنشور في إجراءات دراسة الفضاء للعامل القعيد، هذا الأمر الذي أكمله ديمبستر حينما عمل في القوة الجوية الأمريكية، لم يحدد فقط إجراءات قياس بارامترات أعضاء الجسم من مواد

الجثث ولكن أيضاً اشتملت على جداول تحديد البارامترات النسبية لأعضاء الجسم التي تحتاجها الميكانيكا الحيوية لتحليل حركة جسم الإنسان. جمع ديمبستر البيانات من أشخاص أحياء، وعينة تشريحية، الأكثر أهمية (للبايوميكانيكيين) من ثمانية جثث كاملة. أولاً استخدم طريقة ريو ليوكس Reuleaux لتحديد متوسط مراكز الدوران عند كل مفصل شكل (١-١). عند بعض المفاصل وبخاصة الكتف تحديد مركز الدوران صعب، ولذلك يصبح موقعه نهاية نقاط الأعضاء المختلفة. يوضح الجدول (١-١) بارامترات أجزاء الجسم عن كلاوسير.



شكل (١-١)

طريقة ريوليوكس لحساب مركز دوران الجسم، النقطتين A، B ممثلتين على جسم صلب. بعد التحرك من الوضع (١) إلى الوضع (٢)، ارسم الخط المتقطع المنصف للخط A<sub>1</sub>، A<sub>2</sub> والعمودى عليه، الخط المتقطع والمنصف للخط B<sub>1</sub>، B<sub>2</sub> والعمودى عليه ونقطة تلاقيهما هي مركز الدوران

جدول (١-١)

الوزن النسبي لأجزاء الجسم المختلفة بالنسبة لوزن الجسم كله عن كلاوسير

أجزاء الجسم	الرأس	الجذع	الساعدين	المعصدين	اليدين	الفخذين	الساقين	القدمين
الوزن النسبي	٠,٠٧٣	٠,٥٧	٠,٠٢٦	٠,٠١٦	٠,٠٠٧	٠,١٠٣	٠,٠٤٣	٠,٠١٥

كما تمكن كلاوسير من تحديد نسبة أنصاف أقطار CG لكل جزء من أجزاء جسم الإنسان بالنسبة لطول محاورها الطولية كما في جدول (٢-١) التالي :

جدول (٢-١)

نسبة أنصاف أقطار CG لكل جزء من أجزاء جسم الإنسان بالنسبة لطول محاورها الطولية (عن كلاوسير)

أجزاء الجسم	نسبة أنصاف أقطار مراكز ثقل كتلة كل جزء من أجزاء الجسم على المحور الطولى للجزء
الرأس	٤٦,٤% عن قمة الرأس أو ٥٣,٦% عن تقاطع الذقن والرقبة
الجذع	٣٨% عن المدور الكبير للكتف أو ٦٢% عن محور المقعدة
المضد	٥١,٣% عن محور الكتفين أو ٤٨,٧% عن محور المرفقين
الساعد	٣٩% عن محور المرفق أو ٦١% عن محور الرسغ
اليـد	١٨% عن محور الرسغ أو ٨٢% عن السلامة الثالثة
الفخذ	٣٧,٢% عن المقعدة أو ٦٢,٨% عن محور الركبة
الساق	٣٧,١% عن محور الركبة أو ٦٢,٩% عن محور رسغ القدم
القدم	٤٤,٩% عن العقب أو ٥٥,١% عن قمة الإصبع الأطول

ويستخدم نظام التوافق الكرئيزى لتحديد CG بأكمله وتحدده فوق الصور أو الكروكي الذى يمثل الجسم بمقياس رسم محدد ثم توضع العلامات على النقطة المتوسطة للمفصل وبيان المحور الطولى لأجزاء الجسم الذى يوضح أنصاف أقطار الحركة لمركز ثقل كتلة الجسم لكل CG على حدة ثم تقيس القيمتين الإحداثيتين (X, Y) الخاصتين بمراكز الثقل لكل منها على حدة ثم نضع هذه القيم فى صورة جدول ثم نحسب المقدار المستخرج من الوزن النسبى لأجزاء الجسم ويُعد ذلك على المحور الإحداثى (Y) وبالمثل (X) أى تحسب العزم الخاص بمركز ثقل كتلة أجزاء الجسم بارتباطها

بالمحور الإحداثي المعلوم كنقطة دوران وحتى يمكن حساب قيمتي الإحداثيين  $(Y_m)$ ،  $(X_m)$  باستخدام المعادلتين والخاصتين بمراكز الثقل المشترك لجميع أجزاء الجسم توجد قيمة  $(Y)$ ،  $(X)$  منفصلين ونظراً إلى أن الوزن الكلي يكون له قيمة واحدة وعلماً بأن من الضروري وفقاً للمعادلة :

$$r_s = \frac{F_1 r_1 + F_2 r_2 + F_3 r_3 + F_4 r_4}{F_5}$$

قسمة قيمة العزم على الوزن الكلي فإن قيم  $(Y)$ ،  $(X)$  يمثلان بالفعل القيمتين للإحداثيين  $(Y)$ ،  $(X)$  هما خاصتان بمركز ثقل كتلة الجسم المشترك. (٢)

#### مثال لتحديد CG :

حدد CG للاعب في الصورة شكل (٢-١) باستخدام طريقة الأجزاء (التحليلية).

الحل :

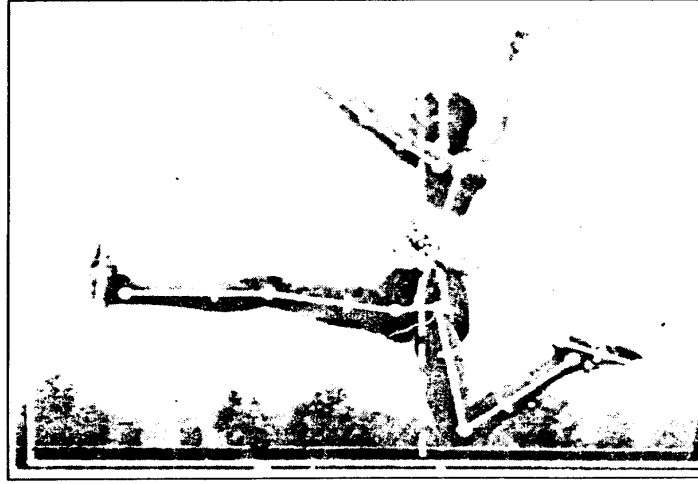
يراعى إتباع ما يلي :

- ١- نضع علامة على كل النقاط الثابتة التشريحية بالجسم في الصورة شكل (٢-١).
- ٢- تصل محاور أعضاء الجسم المختلفة مع ملاحظة أن المحور الطولي للجذع هو الخط الواصل بين منتصف كل من المحور الأفقي الواصل بين مفصلي الكتفين والفخذين.
- ٣- تحدد طول كل محور من المحاور الطولية الخاصة بكل جزء من أجزاء الجسم، وباستخدام نسب أنصاف الأقطار لكلاوسير نحدد موقع CG لكل عضو على حدة.

٤- أوجد بُعد مركز ثقل كتلة كل عضو على المحور السيني (X) والمحور الصادي (Y).

٥- أوجد عزم CG لكل عضو من أعضاء الجسم على حدة حول المحور السيني (G\*X)، حول المحور الصادي (G\*Y) وذلك بضرب بعد CG للعضو عن المحور السيني (X) في الوزن النسبي للعضو (G) عن كلاوسير وبالمثل بضرب بُعد CG للعضو عن المحور الصادي (Y) في الوزن النسبي للعضو (G) عن كلاوسير.

٦- أوجد مجموع نواتج ضرب بعد CG للعضو في وزنه النسبي لكل من المحورين السيني والصادي حيث يصبح ذلك هو بُعد CG للجسم كله عن كل من المحورين السيني والصادي على التوالي (إحداثيا نقطة CG في هذا الوضع).



شكل (٢-١)

النقاط الثابتة التشريحية، إحداثيا نقطة CG في هذا الوضع

ويوضح الجدول (٣-١) تحديد CG كله في الصورة شكل (٢-١) باستخدام طريقة أجزاء الجسم (الطريقة التحليلية).

م	أعضاء الجسم	نسبة لوزان أعضاء الجسم	بعد ΔG عن Y	عزم ΔG حول Y	بعد ΔG عن X	عزم ΔG حول X
١	الرأس	٠,٠٧٣	٦,٨	٠,٤٩٦	٦,٩	٠,٥٠٤
٢	الجذع	٠,٥٠٧	٦,٨	٣,٤٤٨	٤,٧	٢,٣٨٣
٣	العضد الأيمن	٠,٠٢٦	٧,٥	٠,١٩٥	٦,٣	٠,١٦٤
٤	الساعد الأيمن	٠,٠١٦	٧,٨	٠,١٢٥	٧,١	٠,١١٤
٥	اليدين اليمنى	٠,٠٠٧	٨,٢	٠,٠٥٧	٨,٢	٠,٠٥٧
٦	العضد الأيسر	٠,٠٢٦	٦,٢	٠,١٦١	٦,٤	٠,١٦٦
٧	الساعد الأيسر	٠,٠١٦	٥,٢	٠,٠٨٣	٧,٣	٠,١١٧
٨	اليدين اليسرى	٠,٠٠٧	٤,٢	٠,٠٢٩	٨,٣	٠,٠٥٨
٩	الفخذ الأيمن	٠,١٠٣	٥,٣	٠,٥٤٦	٣,٢	٠,٣٣٠
١٠	الساق اليمنى	٠,٠٤٣	٣,١	٠,١٣٣	٣,٤	٠,١٤٦
١١	القدم اليمنى	٠,٠١٥	١,٢	٠,٠١٨	٣,٨	٠,٠٥٧
١٢	الفخذ الأيسر	٠,١٠٣	٦,٩	٠,٧١١	٢,٢	٠,٢٢٧
١٣	الساق اليسرى	٠,٠٤٣	٧,٨	٠,٣٣٥	١,٢	٠,٠٥٢
١٤	القدم اليسرى	٠,٠١٥	٩,٤	٠,١٤١	٢,٢	٠,٠٣٣
	المجموع	١,٠٠		٦,٤٧٨		٤,٤٠٨

ويعتبر فيشر Fescher وبراون Braun أول من حاولا تحديد عزم القصور الذاتي لكتلة أجزاء جسم الإنسان عام (١٨٨٩م) (٤) حيث قاما بتحديد عزم القصور الذاتي لأطراف أجزاء جثث مجمدة واستخدما في ذلك طريقة المرجحة.



وينكر عادل عبد البصير وإيهاب عادل (٢٠٠٥م) (٢) أن دريلز Drilbis وكونتين Continey، بلويشتين Bluestein (١٩٦٤م)، جور فينكل Gur Finkle وسبرونوف Saphronov (١٩٦٩م) اكتشفوا طرق تحديد عزم القصور الذاتي لأطراف جسم الإنسان، أما بوهل Pohl (١٩٣٠م)، هوخموث (١٩٦٠م)، نوبار Nubar (١٩٦٢م)، دي - بوز Du-bois، سانتشي Santschi (١٩٦٢م)، بويست Bouisset، وبيرتوزون Petuzon (١٩٦٧م)، كوزاكوف Korsakov وآخرون (١٩٧٠م)، تمكنوا من تحديد عزم القصور الذاتي لجسم الإنسان بأكمله ونتيجة لهذه التجارب العملية تمكن ويتست Whitest (١٩٦٣م)، من إيجاد قيم عزم القصور الذاتي لأجزاء الجسم البشري كل على حدة حول المحور العرضي إطار بمركز ثقل كتلة كل منها كما في الجدول (١-٤).

#### جدول (١-٤)

عزم القصور الذاتي لأعضاء جسم الإنسان المختلفة كل على حدة حول المحور العرضي المار بمركز ثقل كتلة كل منها

عزم القصور الذاتي (كيلوجرام.متر <sup>٢</sup> )	عزم القصور الذاتي (سلوج.قدم <sup>٢</sup> )	أعضاء الجسم
٠,٠٢٤١	٠,٠١٨٣	الرأس
١,٢٥٥٣	٠,٩٣٠٠	الجذع
٠,٠٢١٢	٠,٠١٥٧	العضد
٠,٠٠٧٦	٠,٠٠٥٦	الساعد
٠,٠٠٠٥	٠,٠٠٠٤	اليدين
٠,١٠٤٨	٠,٠٧٧٦	الفخذ
٠,٠٥٠٢	٠,٠٣٧٢	الساق
٠,٠٠٣٨	٠,٠٠٢٨	القدم

ويمكن استخدام هذه القيم لتحديد عزم القصور الذاتي للجسم كله عن طريق استخدام نظرية المحاور المتوازية والتي تمكن من تحديد عزم القصور الذاتي للجسم حول أى محور يحدد إذا ما حدد عزم القصور الذاتي للجسم حول المحور المار بمركز ثقله والموازي لمحور الدوران، ويمكن التعبير عن ذلك جبرياً بالمعادلة التالية :

$$J_A = \sum I_{CGi} + m_i d_i^2$$

حيث أن  $J_A$  = عزم القصور الذاتي للجسم كله حول المحور الأفقى المار بالنقطة A،  $I_{CGi}$  = عزم القصور الذاتي للعضو حول المحور الموازي لمحور الدوران والمار بمركز ثقل كتلة العضو،  $m_i$  = كتلة العضو،  $d^2$  = مربع البعد بين المحاور المتوازية.

ولايضاح طريقة حساب عزم القصور الذاتي لجسم اللاعب حول محور الدوران، نفترض أننا نرغب فى حساب عزم القصور الذاتي لكتلة جسم لاعب الجمباز حول عارضتى المتوازيين فى الوضع الموضح فى الشكل (٣-١) خلال أداء مهارة كيموتسو.

الخطوة الأولى :

نحدد عزم القصور الذاتي للعضو حول المحور المار بمركز ثقله والموازي لمحور الدوران الموضح فى الجدول (٤-١).

الخطوة الثانية :

نحدد كتلة جسم اللاعب باستخدام المعادلة التالية :

$$m = \frac{G. 8.81}{g}$$

وحيث أن وزن جسم لاعب الجمباز = ٦٩ كجم/م<sup>٢</sup>.

$$\therefore \text{كتلة جسم لاعب الجمباز (m)} = \frac{٦٩ \times ٩,٨١}{٩,٨١} = ٦٩ \text{ كجم}$$

الخطوة الثانية :

نحدد كتلة كل عضو من أعضاء جسم الإنسان باستخدام الوزن النسبى لأجزاء الجسم بالنسبة للجسم كله وسابق ذكرها فى الجدول (١-١) السابق.

الخطوة الثالثة :

نحدد البعد  $d$  بين المحور المار بمركز ثقل كتلة العضو والموازي لمحور الدوران (قبضتى اليدين على عارضتى المتوازيين).

الخطوة الرابعة :

نحسب مربع البعد  $d$ .

الخطوة الخامسة :

نحسب ناتج ضرب كتلة العضو ( $m$ ) فى البعد  $d^2$  فنحصل على عزم القصور الذاتى للعضد حول محور الدوران.

الخطوة السادسة :

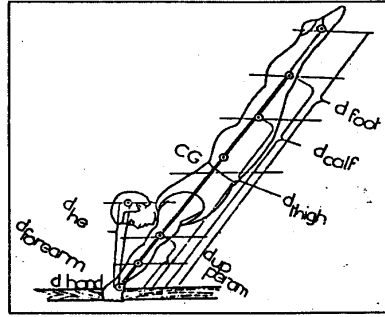
تجمع ناتج عزم القصور الذاتى للعضو حول محور الدوران ( $md^2$ ) عزم القصور الذاتى للعضو حول المحور المار بمركز ثقله والموازي لمحور الدوران ( $I_{CG}$ ) فنحصل على عزم القصور الذاتى الكلى للعضو الواحد.  
الخطوة النهائية تجمع نواتج عزم القصور الذاتى الكلى لعضو فنحصل على عزم القصور الذاتى للجسم كله فى هذا الوضع ويوضح الجدول (١-٥) الخطوات السابقة بتمثيلها جدولياً كما يلى :

جدول (١-٥)

حساب عزم القصور الذاتي لجسم لاعب الجمباز فى الوضع المحدد  
فى الشكل (١-٣) خلال أداء مهارة كيموتسو على

جهاز المتوازيين للرجال

م	العضو	$I_{CG}$ (kg.m <sup>2</sup> )	m (kg)	D (m)	$d^2$ (m <sup>2</sup> )	$d^2m$ (kgm <sup>2</sup> )	$J_A$ (kg.m <sup>2</sup> )
١	الرأس	٠,٠٢٤١	٥,٠٣٧	٠,٥	٠,٢٥	١,٢٥٩٣	١,٢٨٣٤
٢	الذراع	١,٢٥٥٣	٣٤,٩٨٣	٠,٨٥	٠,٧٢٢٥	٢٥,٢٧٥٠	٢٦,٥٣٠٣
٣	العضدين	٠,٠٤٢٤	٣,٥٨٨	٠,٣٩	٠,١٥٢١	٠,٥٤٦٠	٠,٥٨٤
٤	الساعدين	٠,٠١٥٢	٢,٢٠٨	٠,١٣	٠,٠١٦٩	٠,٠٣٧	٠,٠٥٢٢
٥	اليدين	٠,٠٠١٠	٠,٩٦٦	٠,٠٨	٠,٠٠٦٤	٠,٠٠٦٢٠	٠,٠٠٧
٦	الفخذين	٠,٢٠٩٦	١٤,٢١٤	١,١٨	١,٣٩٢٤	١٩,٧٩٢٠	٢٠,٠٠٢
٧	الساقين	٠,١٠٠٤	٥,٩٣٤	١,٦٥	٢,٧٢٣	١٦,١٥٥٠	١٦,٢٥٥
٨	القدمين	٠,٠٠٧٦	٢,٠٧	١,٨٥	٣,٤٢٢٠	٧,٨٤٦٠	٧,٨٥٤
	المجموع		٦٩				٧١,٩٦٦

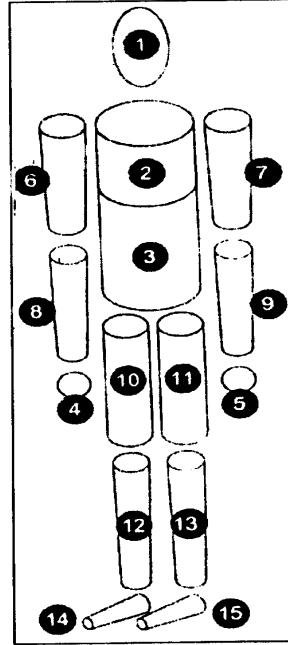


شكل (١-٣)

استخدام نظرية المحاور المتوازية فى تحديد عزم القصور الذاتي لجسم  
لاعب الجمباز حول عارضة المتوازيين

### ثالثاً : النمادج الرياضية : Mathematical Modeling

ويشير جوردون وآخرون. Gordon et al. (٢٠٠٤م) (٦) إلى أن نسب القصور الذاتي لأعضاء جسم الإنسان ظهرت نتيجة لعمل هانافان Hanavan (١٩٦٤م) عندما أصبح من الضروري نمذجة الجسم للتحليل ثلاثي الأبعاد سلم هانافان بأن الكتلة هي شكل غير منتظم يتكون داخلياً من أجزاء وهذه الأجزاء أجسام صلبة والتي يمكن تمثيلها بأشكال هندسية. معظم أجزاء الجسم نمذجت كشكل مخروطي أسطوانى كما فى الشكل (٤-١).



شكل (٤-١)

النموذج الهندسى للجسم لهانافان

#### رابعاً : تقنيات المسح والتصوير :

##### Scanning and Imaging Techniques

المدخل الآخر لتحديد نسب القصور الذاتى ثم تقدير البارامترات لأعضاء الجسم تضمنت مسح الأجسام الحية بتقنيات متنوعة. على سبيل المثال زاتسيورسكى Zatsiorsky وسيلينوف Seluyanov (١٩٨٣م)، (١٩٨٥م) عن زاتسيورسكى (٢٠٠٢م) (١٢) عرضا بيانات من ١٠٠ رجل، من ١٥ امرأة كأشخاص أحياء لحساب توزيع الكتلة استخدم مسح كتلة الغاما لتحديد القيمة الرقمية لتحديد الكثافة النوعية لكل عضو. مكنت هذه الطريقة من تقدير عمل الكتلة ومركز الكتلة وعزم القصور الذاتى الأساس فى الثلاث ابعاد لجميع الخمسة عشر عضو. تضمنت العينة فروق فردية فى العمر أصغر من المستخدمة فى الجثث فى الدراسات السابقة، وأكثر من ذلك طبقا معادلات الانحدار لاستنباط بارامترات أعضاء الجسم.

#### خامساً : التقنيات الكينماتيكية : Kinematics Techniques

التقنيات الكينماتيكية هى طرق لقياس الخصائص الكينماتيكية لتحديد غير المباشر لخصائص القصور الذاتى للأعضاء. طور هاتز Hatze (١٩٧٥م) عن جوردون وآخرون (٢٠٠٤م) (٦) تكنيك التذبذب الذى يقود إلى الكتلة ومركزه الكتلة وعزم القصور الذاتى لأعضاء الأطراف ومعامل تثبيت المفاصل. التكنيك الذى لا يستخدم من أجل أعضاء الجذع يتطلب أن يكون أى جزئ للجسم مجموعة تتذبذب كتركيب زنبركى. يجب تكون العضلات مسترخية لدرجة ألا يكون لها تأثير مثبت لتذبذب نظام الطرف الزنبركى. رياضياً أسست معادلات الاشتقاق على نظرية التذبذب الصغير وتستخدم لتقدير خصائص المفصل والعضو على أساس اختصار إيجابية التثبيت للتذبذبات لنظام الطرف الزنبركى.

التقنية الأخرى لتحديد عزم القصور الذاتي للكتلة تسمى طريقة الانطلاق السريع Quick- release method الذى استخدمها ديريليز وآخرون Drillis et al. (١٩٦٤م) عن جوردون وآخرون (٢٠٠٤م) (٦). هذه التقنية سلمت أيضاً بأن العضلات مسترخية وأن عجلة تسارع العضو تتأثر فقط بواسطة القصور الذاتي الدوراني للعضو. لذا، يمكن اشتقاق عزم القصور الذاتي (I) للعضو عن طريق قياس العجلة الزاوية للعضو بعد انطلاق قوة معلومة (F) أو عزم (M) من العلاقة التالية :

$$I = M/\alpha = (Fd) / \alpha$$

حيث أن M أو (Fd) = عزم القوة الفورية قبل الانطلاق و  $\alpha$  = العجلة الزاوية بعد الانطلاق.

وللايضاح هذه الطريقة يمكن استخدامها فقط للأجزاء الطرفية بسبب صعوبة تطبيقها على الأجزاء الأخرى.

#### الملخص : Summary

تركز الأضواء على طريقتين للحساب للحصول على بارامترات أعضاء الجسم. أسست الطريقة الأولى بصفة مبدئية على التكنيكات والبيانات التى اشتقتها ديمبستر، كلاوسير، ماك كوفيل ويونج، تشاندلير وآخرون وركزت الأضواء للتحليل فى البعدين. أسست هذه الطريقة على النسب والقياسات الأنثروبومترية التى يمكن تقديرها لبارامترات أعضاء الجسم لنماذج الحلقية لأعضاء الجسم. يمكن أيضاً الحصول على النسب من بيانات متنوعة أسست بالاعتماد على المجتمع (رجال/ أنسات، شباب/شيوخ، هكذا) المدروسة.

أسست الطريقة الثانية أساساً على التكنيكات التى حددتها فوغان Vaughan، دافيز Davis، وأوكونور O'Connor (١٩٩٢م) عن ربيرتسون (٢٠٠٤م) (٩) وركزت على تحليل الثلاثة أبعاد للطرف السفلى. تتطلب هذه الطريقة قياس أبعاد أنثروبومترية خاصة حتى يمكن تقدير بارامترات الأبعاد الثلاثة.

#### اختبر معلوماتك :

- ١- أذكر خطوات تحديد مركز ثقل كتلة الجسم خلال أى وضع خلال مراحل أداء مهارة باستخدام طريقة التجزئة؟
- ٢- أذكر خطوات تحديد عزم القصور الذاتى للعضو خلال أداء المهارة الرياضية؟
- ٣- اشرح كيف يمكن تحديد مركز ثقل كتلة الفخذ باستخدام النسب المئوية لأنصاف أقطار مراكز ثقل كتلة العضو لكلاوسير؟
- ٤- لاعب وزنه ٦٥ ثقل كيلوجرام، احسب كتلته وكتلة كل من الجذع، الرأس، والفخذين؟
- ٥- احسب عزم القصور الذاتى للرجلين فى أحد الأوضاع للاعب الجمناز خلال أداء مهارة كيموتسو على جهاز المتوازيين علماً بأن عزم القصور الذاتى لكل من الفخذ، الساق، القدم حول المحور المار بمركز ثقل كل منها والموازي لمحور الدوران على التوالى ١٠٤٨، ٠،٠٣٨ كجم.م<sup>٢</sup>، ٠،٠٥٠٢ كجم.م<sup>٢</sup>، والمسافة بين المحور المار بمركز ثقل كتلة كل من الفخذين، الساقين، القدم والموازي لمحور الدوران ومحور الدوران كانت على التوالى ١،١٨ متر، ١،٦٥ متر، ١،٨٥ متر؟



٦- احسب مركز ثقل كتلة الجذع والرأس، علماً بأن الوزن النسبي لكل من الرأس والجذع بالنسبة لوزن الجسم كله عن كلاوسير على التوالي (٠,٠٧٣، ٠,٠٥٧) وأن نسبة أنصاف أقطار CG لكل من الرأس والجذع بالنسبة لطول محاور كل منهما الطولية لكلاوسير على التوالي (٠,٤٦٠٤ عن قمة الرأس، ٠,٣٨ عن المدور الكبير للكتف)؟

## المراجع

- ١- عادل عبد البصير على: (١٩٨٣م/١٩٨٤م)، الميكانيكا الحيوية، التقييم والقياس التحليلي في الأداء البدني، الجهاز المركزي للكتب الجامعية والمدرسية والوسائل التعليمية، دار فوزي للطباعة، جمهورية مصر العربية، ص(٣٥-٤٠)، (٨٥-٩٠).
- ٢- عادل عبد البصير وإيهاب عادل عبد البصير : (٢٠٠٦م)، التحليل البيوميكانيكي والتكامل بين النظرية والتطبيق في المجال الرياضي، المكتبة المصرية للطباعة والنشر والتوزيع، لوران الاسكندرية، ص(١٢٣-١٣٨).
- 3- Clauser, C.E. et al.: (1969), Weight, volume and center of mass of segments of the human body, AMRL, Technical Report 60-70, Wright- Patterson, Air Force Base, OH.
- 4- Braun, W. & Fischer, O.: (1989), Bestimmung der targheits momente des menschlichen korpers und secner glieder, Ahh, Dkg L.S. Gd W. Bd. Xiii.
- 5- Jensen, R.K.: (1993), Human morphology, its role in the mechanics of motion, Journal of Biomech. 26(Supp. No.1): 81-94.
- 6- Gordon, E. Robertson et al.: (2004), Research methods in biomechanics, (55-70).

- 
- 7- Krogman, W.M. and F.E. Johnston: (1963), Human mechanics: Four monographs Abridged, AMRL, Technical Document Report 63-123, Wright- Patterson, Air Force Base, OH.
  - 8- Miller, D.I. & R.C. Nelson: (1973), Biomechanics of sport. Philadelphia: Lea & Febiger.
  - 9- Nigg, B.M. and W. Herzog: (1994), Biomechanics of musculo-skeletal system, New York: John Wiley & Sons.
  - 10-Plagenghoef, S.: (1971), Patterns of human motion: A cinematographic analysis, Englewood Cliffs: Prentice-Hall.
  - 11-Winter, D.A. (1990): Biomechanics and motor control of human movement, 2<sup>nd</sup> ed., Toronto: John Wiley & Sons.
  - 12-Zatsiorsky, V.M.: (2002), Kinetics of human motion, Champaign, IL.: Human Kinetics.



## الفصل الثانى

### القوى وقياسها

### Forces and Their Measurements

الأهداف

تمهيد

أولاً : القوة

ثانياً : قوانين نيوتن

ثالثاً : التمثيل البياني الحر للجسم

رابعاً : الاحتكاك

خامساً : القصور الذاتى

سادساً : عزم القوة وعزم اللى (اللف)

سابعاً : الدفع وكمية الحركة الخطية

ثامناً : قياس القوة والدفع اللحظى والعزم

تاسعاً : كمية الحركة الخطية لأجزاء الجسم والجسم كله

عاشراً : كمية الحركة الزاوية للعضو

احدى عشر : كمية الحركة الزاوية للجسم كله

اثنى عشر : الدفع الزاوى

ثالث عشر : قياس القوة

الملخص

اختبر معلوماتك

المراجع



## الفصل الثانى

### القوى وقياسها

### Forces and Their Measurements

#### الأهداف Objectives

- بعد قراءة هذا الفصل يستطيع القارئ التعرف على ما يلى :
- ١- مفاهيم القوة المسببة للحركة الخطية وعزم الدوران.
  - ٢- تأثير تطبيق القوى وعزم القوة من خلال التركيز على قوانين المجموعة والمعادلات الأربعة لنيتون وأويلير.
  - ٣- كيفية تكوين واستخدام التمثيل البياني الحر للجسم.
  - ٤- تحديد القوى المتعدد المعكوسة فى أبحاث البيوميكانيكا.
  - ٥- المفاهيم الميكانيكية للدفع وكمية الحركة، التى تميل لتأثير على تغير تطبيق دوام القوة والعزم.
  - ٦- وصف كيف تقيس القوة والعزم لبحث بيوميكانيكا الجسم.

#### تمهيد : Review

الديناميكا هى إحدى فروع الميكانيكا وتشمل دراسة الحركة (الكينماتيكا) ودراسة مسبب الحركة (الكيناتيكا). وتناولنا فى الفصلين السابقين الأول والثانى أهم المفاهيم الكينماتيكية لحركة جسم الإنسان، ونحن نوجه الانتباه فى هذا الفصل لفهم الكيناتيكا. حيث يشمل هذا الفصل على مقدمة لمفاهيم القوة المسببة للحركة الخطية والعزم والمسمى أيضاً عزم القوة

أو ببساطة العزم الذى يسبب الحركة الزاوية، وتفسير تأثير تطبيق القوى وعزم القوة من خلال التركيز على قوانين ومجموعة المعادلات الأربعة لنيوتن وأويلر.

#### أولاً : القوة : Force

أى جسم فى حالة سكون أو حركة يمكن تغير حالته عن طريق فعل جسم آخر. تأثير فعل هذا الجسم الآخر هو الدفع أو الشد والذى يتسبب فى تغيره اصطلاح على تسميته القوة. لذلك أى جسم فى حالة سكون يمكن نجعله فى حالة حركة عندما يبذل جسم آخر عليه بعض القوة. بالمثل، أى جسم فى حالة حركة يمكن إبطاء سرعته أو تبديل اتجاهه إذا بذل جسم آخر قوة عليه. على أية حال، بينما القوة المقدمة يمكن تنتج أو تبدل الحركة، إلا أنها تمتلك قدر كبير من هذا التأثير. نفترض أن دمبلز ثقيل على أرض صالة تدريب رفع الأثقال. أخذ أحد الأفراد فرصتين لرفع الدمبلز بالرغم أنه بذل قوة لرفع الدمبلز من على الأرض إلا أنه أخفق فى ذلك فى المحاولتين. على أية حال عن طريق هذا الجهد أعد لتحرك الدمبلز لأخذه قريب لنقطة التى عندها سوف تتحرك لأعلى حيث سوف يمكنه رفعها لوحده.

ينجح رافع الأثقال القوى فى رفع الدمبلز من الأرض عن طريق تغيير حالته من الثبات على الأرض للحركة. لذلك أيضاً بذلت القوة على الدمبلز فى الاتجاه لأعلى فى كلا الحالتين المختلفتين النتائج توفر قاعدة أكثر تكويناً واستكمالاً لتعريف القوة من المعطاة- القوة التى تبذل أو تميل لتبديل حالة الجسم من الثبات أو شكل الحركة فى خط مستقيم.

نحن فى دراستنا فى البيوميكانيكا نركز على تأثيرين محددين مرتبطان بالقوة. الأول هو التأثير الذى تمتلكه أى قوة على جزء أو جسم



صلب، بينما التأثير الثانى هو التأثير الذى تمتلكه أى قوة لتغيير شكل الجسم أو المادة. تأثير القوى على أجزاء الأجسام الصلبة تكون بمساعدة استخدام قوانين نيوتن وهى معينة لفهم مسببات البيانات الكينماتيكية الموصوفة فى الفصول السابقة. الجسم الصلب هو الجسم الذى أحد أجزائه ثابت بالنسبة للأجزاء الأخرى أى لا يتغير شكله. تأثير القوى على شكل الجسم أو المادة هام جداً عندما نركز على القوى الداخلية من خلال الأنسجة البيولوجية وفى فهم كيفية إمكانية قياس القوى الداخلية المطبقة إلى أو بواسطة الإنسان.

القوة كمية متجهة لها مقدار واتجاه، وتحدد بمقدارها واتجاهها ونقطة تأثيرها بالنسبة للحركة الخطية للأجزاء أو الأجسام الصلبة المهم مقدار القوة واتجاهها. على أية حال نقطة التأثير تكون محددة إذا كان التركيز على الحركة الدورانية. فضلاً عن ذلك أيضاً يقوم مفهوم متجه قوة الفرد باعتبار أن نقطة التطبيق فى الحقيقة هى معظم القوى المولدة عن طريق اتصال المتجه منفصلاً حتى انتهاء المجال أكثر من أى نقطة منفردة. وهذا يوضح مفهوم الضغط وهو توزيع القوة على مساحة الاتصال. من خلال عالم بيوميكانيكا الإنسان، التحليل الكينماتيكي عادة يعتبر من الأفضل تطبيق القوى الخارجية والضغط من خلال الاتصال بالأرض أو أى شئ (مثل الأداة Tool، الآلة Machine، الكرة Ball، الدراجة Bicycle، أو لوحة المفاتيح Keyboard) أو القوى الداخلية من خلال العضلات Muscles، الأوتار Ligaments، العظام Bones، المفاصل Joints. وأيضاً أحياناً يمكن قياس البارامترات الكينماتيكية مباشرة، وغالباً يجب حسابها أو تقديرها على أساس التقيد بالقياس الكينماتيكي.

## ثانياً : قوانين نيوتن : Newton's Laws

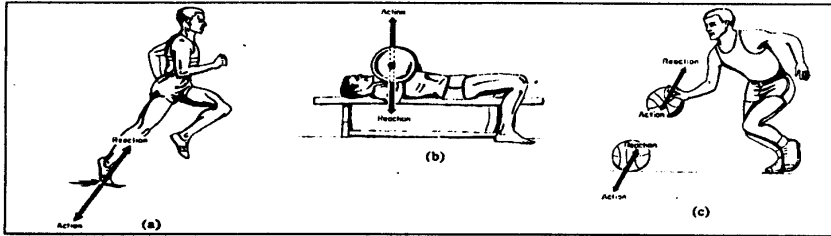
اعتقد قدماء الإغريق أن الجسم يتحرك عندما يكون هناك قوة تعمل عليه والتي توقف الحركة إذا أزيلت القوة. هذا الاعتقاد رفضه العالم العظيم الإيطالي جاليليو Galileo عام (١٥٦٤م - ١٦٤٢م) وأزيل على التوالي بما أصبح يعرف علمياً كقانون نيوتن الأول للحركة، أول استنباط لايذاك نيوتن Issac Newton (١٧٢٧م - ١٦٤٢م). هذا القانون ربما يعبر عنه كما يلي: يظل كل جسم فى حالة سكون أو حركته المنتظمة فى خط مستقيم ما لم تؤثر عليه قوة خارجية تغير من حالته سكونه أو حركته.

أيضاً نظرية النسبية لآينشتاين Einstein (١٩٠٥م) عرضت أن ميكانيكا نيوتن غير تامة، تظل قوانين نيوتن صالحة للجميع ولكن الحركة الجزيئية للجسيمات الأصغر من الذرة والحالات التى فيها تقترب السرعة لسرعة الضوء — تظل أدوات أساسية للميكانيكا الحيوية والهندسية.

القانون الأول لنيوتن هو قانون القصور الذاتى، يشرح كيف يتحرك أى جسم فى غياب القوى الخارجية، وهو الحالة التى فيها يبقى الجسم تحت سيطرة حالة تحركه حتى يقل الفعل عليه بواسطة قوة خارجية. توصف حالة الحركة بواسطة كمية حركة الجسم  $P = mv$ ، وتحدد كنتاج لكتلتها والسرعة الخطية  $(P = mv)$ . التسهيل المطروح، أنه إذا لم تطبق القوة على الجسم، كمية حركته تبقى ثابتة. بالنسبة لحالات كثيرة فى الميكانيكا الحيوية سوف تكون الكتلة مقدار ثابت، حيث يعنى غياب القوة أن الجسم سوف يبقى عند سرعة خطية ثابتة. يوضع الشئ بجانب الآخر لوصف هذه الحالة يكون غياب القوة هو قانون العجلة (القانون الثانى لنيوتن) والذي يصف كيف يتحرك الجسم الصلب عند تطبيق القوة الخارجية وهى حالة "يتناسب تسارع الجسم مع مقدار القوة المسببة له وفى اتجاهها" هذا

التناسب يمكن صياغته كقيمة عددية بتقديم كتلة الجسم والنتيجة فى المعادلة المشهورة لنيوتن  $F = ma$ . الوحدة الدولية للقوة هى النيوتن (N)، تحتاج قوة واحد نيوتن (1N) لتسبب تسارع كتلة واحد كيلوجرام (1K) بعجلة  $1\text{m/s}^2$ . التسهيل المطروح، تتسبب القوة المطبقة فى تسارع الجسم الصلب عن طريق تغيير سرعته وحركته أو كلاهما معاً.

يصف قانون نيوتن الثالث كيفية تفاعل كتلتين كل منهما مع الأخرى. ينص قانون رد الفعل على أنه "عندما تؤثر قوة جسم على جسم آخر يحدث قوة رد فعل من الجسم الآخر على قوة فعل الجسم الأول ومساوية لها فى المقدار ومضادة لها فى الاتجاه"، وبمعنى آخر يمكن القول "لكل فعل رد فعل مساوى له فى المقدار ومضاد له فى الاتجاه". والمثال المنتشر استخدامه فى البيوميكانيكا هو اتصال الإنسان بسطح الأرض، كما فى الجرى شكل (٢-١). عندما تضرب رجل العداء الأرض، يطبق العداء القوة على الأرض: يمكن تمثيل هذه القوة كمتجه له مقدار واتجاه معين. وفى نفس الوقت يحدث رد فعل الأرض بتطبيق قوة مساوية لمقدار قوة فعل العداء على الأرض ومضادة لها فى الاتجاه. مثل آخر اتصال الفرد بالكرة والمضرب والأداة أو أى أجهزة يدوية أخرى.



شكل (٢-١)

أمثلة لتطبيق القانون الثالث لنيوتن: (أ) فى الجرى، (ب) فى أداء الضغط على المقعد، (جـ) فى تنطيط الكرة فى كرة السلة

فى كثير من الحالات تؤثر أكثر من قوة فى نقطة على الجسم فى نفس الوقت. من السهل السيطرة على مثل هذه الحالة من خلال قوانين نيوتن من خلال مفهوم متجه محصلة القوة. حيث أن كل قوة لها مقدار واتجاه، يمكن جمع مجموعة القوى المؤثرة على جسم بمتجه واحد هو محصلة القوى. إذن يمكن تراعى قوانين نيوتن استخدام هذه المحصلة المنفردة للقوة. عند توضيح المشاكل الكيناتيكية تصبح الأداة المفيدة هى التمثيل البيانى الحر للجسم (FBD)، وهو نموذج للجسم حيث يتضمن جميع القوى المؤثرة عليه. رسم FBD يبينه الباحثون بوجود كل قوة ويساعدهم على رؤية اتجاه رد فعل القوى التى تؤثر على الجسم فى المعادلة.

### ثالثاً : التمثيل البيانى الحر للجسم : Free-Body Diagrams

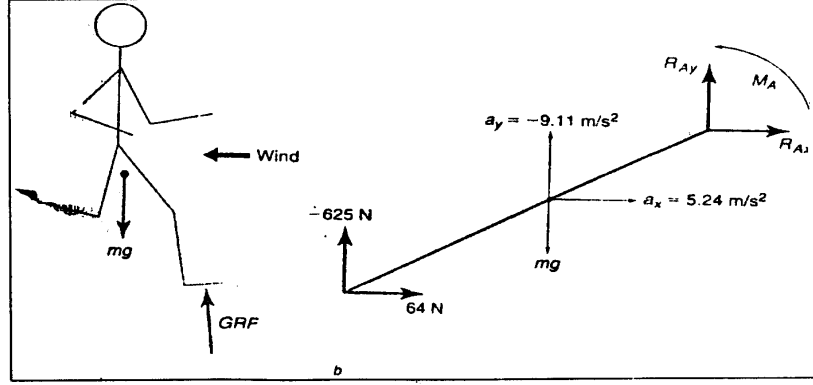
التمثيل البيانى مفيد فى رؤية المشكلة الميكانيكية. يعنى التمثيل البيانى الحر للجسم (FBD) عرض تشكييل القوى، وعزم القوة، ونظم الهندسة الميكانيكية. هذا التمثيل البيانى تكمن أهميته فى : الخطوة الأولى لحل المشكلة الميكانيكية هى رسم التمثيل البيانى الحر للجسم، والخطوة الثانية يستخدم (FBD) لاشتقاق معادلات الحركة للهدف. وأخيراً معرفة القيم العديدة والحالات الفرعية ومعادلات حل الاصطلاحات المجهولة. هناك العديد من الأشكال لتركيب FBD.

- ١- ارسم الهدف بشكل مركز ومختصر (يفضل الخطوط أو بالضبط خط منفرد) لكل من البيئة الخارجية والأجسام الأخرى.
- ٢- نسق كتابة الهدف بخاصة لإتمام وضعه.
- ٣- أشر إلى مركز ثقل كتلة الهدف بعلامة، من هنا حيث ترسم العجلات.

- ٤- ارسم ووضح جميع ردود الفعل القوى الخارجية وعزم القوة. أسس اتجاهات هذه القوى والعزم عن طريق كيفية خبرات الهدف بها. فمثلاً: اتجاه قوى رد فعل الأرض عمودياً لأعلى واتجاه قوة الاحتكاك عكس اتجاه الحركة على أسطح الاتصال.
- ٥- ارسم جميع القوى والعزم المجهول فى الاتجاه الموجب لنظام الإحداثى. يجب تطبيق القوى المجهولة حيث يكون الجسم متصل بالبيئة الخارجية المحيطة به أو بأجسام أخرى (أو أجزاء الجسم).
- ٦- من المرغوب فيه أيضاً رسم وتوضيح محاور النظام الإحداثى الشامل (GCS) لجانب الرسم البيانى الحر للجسم الذى يشير للاتجاهات الموجبة.

يعرض الشكل (٢-١٢) عبور العداء على منصة القوى. فى هذه الحالة، بسبب التعقيد النسبى لشكل الجسم فضلنا الرسم التخطيطى للعداء. يمثل قوة الجاذبية ( $mg$ ) وقوة الهواء عند مركز المساحة الأمامية بخط منقطع. تضمن قوى رد الفعل عند لحظة وضع قدم الشخص. تذكر أن تلك هى قوة رد الفعل المؤثرة على العداء، فضلاً عن ذلك تطبيق قوى العداء على الأرض. يعرض الشكل (٢-٢ب) فى (GBD) لبدال الدراجة قوى الببدال المعلومة. يمثل العمود (Crank) بخط منفرد ويشير النقط إلى مركز كتلته. القوتين الرأسية والأفقية عند نهاية الببدال، نحن قسنا تلك القوى وأوضحنا قيمها. لأن الببدال يملك سطح ارتكاز محورى سلس، نحن سلمنا أن هناك لا يوجد عزم للقوة بذل حول محور عجلة الببدال (الدولاب). عند النهاية القريبة للعمود، نحن وقفنا قوى رد الفعل على محور ارتكاز العمود ( $R_{AX}$ ,  $R_{AY}$ ). تلك هى القوى المجهولة حيث أعطيناها أسماء وتوقيع لمحصلة عزم ( $M_A$ ) حول المحور الارتكازى للعمود، والتي أعطيناها اتجاه عكس عقرب الساعة

موجب لأن قيمها مجهولة. هذا العزم يساوى صفر بسبب مقاومة سلسلة ناقل حركة العجلة.



شكل (٢-٢)

التمثيل البياني الحر للجسم (a) للعداء، (b) عمود الدراجة مع التسليم بعدم وجود عزم قوة عند البدال ولكن هناك عزم عند العمود المحورى ( $M_A$ ) يعمل لحلقة السلسلة

من استعراضنا لقوى الطبيعة نجد أنه يوجد أربعة قوى هى القوة النووية الضعيفة، والقوة النووية القوية والقوى الكهرومغناطيسية، قوة الجاذبية. تضع الميكانيكا الحيوية قوة الجاذبية والقوة الكهرومغناطيسية فى الاعتبار من هذه القوى. جميع القوى جربت بواسطة الجسم وهى تركيبة من بعض تلك القوانين.

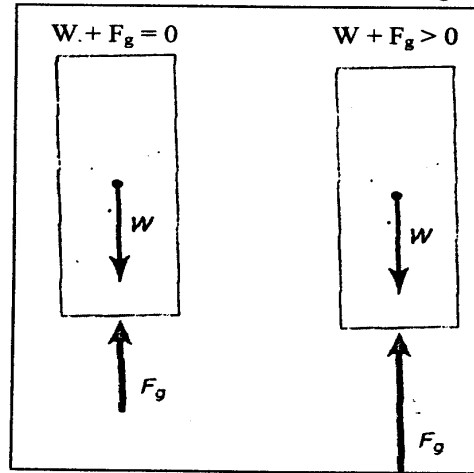
المساهمة الفرعية الأخرى لنيوتن لفهمنا الحركة هى وصفه لكيفية تفاعل الكتلة المتكافئ عندما تكون فى حالة عدم اتصال. قانونه الشامل لحالات الجاذبية التى يجذب جسمين كل منهما الآخر بقوة بحيث تتناسب مع

ناتج كتلتها وتتناسب عكسياً مع مربع المسافة بينهما. مع تقديم شمول ثبات قوة الجاذبية  $G_g$ ، يمكننا تقدير القيمة العددية لقوة الجاذبية :  $F_g = G(m_1 \times m_2)/r^2$  حيث أن  $m_1$  = كتلة الجسم الأولى،  $m_2$  = كتلة الجسم الآخر،  $r$  = المسافة بين مركزي ثقل كتلة كل منهما. بينما وضع نيوتن هذا المفهوم للجاذبية في الاعتبار في معادلته لفهم الحركة الأرضية في عالم البيوميكانيكا هذا المفهوم تطبيقه عظيم الأهمية من أجل التأثير التي يمتلكه الجاذبية الأرضية على الأجسام القريبة من سطحها. في هذه الحالة تصبح  $m_1$  هي كتلة الأرض،  $m_2$  هي كتلة الهدف على سطح الأرض،  $r$  هي المسافة بين مركز كتلة الأرض ومركز كتلة الهدف. إذا اعتبرنا قوة الجاذبية تعمل على الكتلة  $m_2$  توصف تأثير هذه القوة (قوة الجاذبية) عن طريق قانون العجلة  $(F = m_2 \cdot a)$ . بالتعويض في معادلة الجاذبية نجد أن  $a = m_2 \cdot G(m_1 \times m_2)/R^2$ . ظهرت كتلة الجسم  $m_2$  في طرفي المعادلة لذلك سوف تختصر المعادلة لتصبح  $a = G m_1/R^2$ . حيث أن جميع المصطلحات على الجانب الأيمن للمعادلة ثابتة أيضاً العجلة  $a$  تكون ثابتة. هذه هي نتيجة العجلة لجاذبية الأرض. وعادة تسمى  $g$  وهي تقريباً تساوي ٩,٨١ م/ث<sup>٢</sup>.

بالإضافة لذلك، تعطى قوة الجاذبية اسم خاص للوزن، لتصبح المعادلة  $W = mg$  لها شكل خاص أكثر عمومية وهو  $F = m a$ . تذكر أن وزن الجسم قوة لذلك فهو متجه. في مقابل ذلك كتلة الجسم قيمة قياسية Scalar، لذلك في FBD بالنسبة لأي شئ قريب من الأرض أو عليها ترسم تأثير للوزن لأسفل نحو مركز الأرض وعادة يتجه عمودياً لأسفل.

إذا وقف الفرد هادئاً بينما ينتظر الأوتوبيس يتحمل تأثير متجه قوة وزنه لتسارعه لأسفل عند ٩,٨١ م/ث<sup>٢</sup>. وعلى أية حال هذه العجلة لا تظهر كسرعة رأسية للفرد وتظل ثابتة عند الصفر. السبب في هذا النقص للعجلة

هو قانون نيوتن الثالث، والذي يحفظ القوى المرتبطة بالاتصال بين قدمي الفرد والأرض. يطبق الفرد قوة مساوية لوزنه على الأرض، بينما تطبق الأرض قوة رد فعل مساوية ومضادة لقوة وزن الفرد. في التمثيل البياني الحر للجسم في الشكل (٣-٢) رسمنا توقع متجه قوة رد الفعل لأعلى (بعيداً عن مركز الأرض) وسمى رد فعل الأرض ( $F_g$  أو  $GRF$ ). وكذلك هناك قوتان تؤثران على الفرد في الاتجاه الرأسى: قوة وزن الجسم لأسفل (سالبة) وقوة رد فعل الأرض لأعلى (موجبة). تمتلك القوتين في وضع لحظة السكون هذا نفس القيمة. ناتج مجموع المتجهين يساوى صفر ( $W + F_g = 0$ )، وهذا هو سبب بقاء السرعة الرأسية ثابتة.



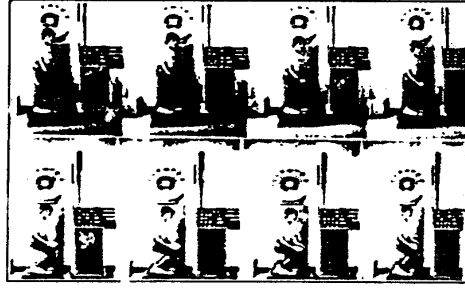
شكل (٣-٢)

قوة الفعل وقوة رد الفعل في حالة الوقوف (a) لحظة السكون مجموع محصلة قوة الفعل ورد الفعل يساوى صفر، (b) لحظة التحرك لأعلى مجموع محصلة الفعل ورد الفعل أكبر من صفر.



يتحرك اللاعب في جميع الأنشطة الرياضية فوق الأرض عن طريق رد فعل الأرض لحظات زمنية خلال الأداء. تؤدي المركبة المماسية لهذه القوة إلى الاحتكاك الضروري من أجل الحركة بينما تكون المركبة العادية مستقلة وهامة في الحصول على الارتفاع اللازم. مثلاً لارتداد كرة السلة، وحائط صد الكرة الطائرة، والوثب لأعلى أو فجوة الرقص. أيضاً منصة القوى هي أفضل نوع أداة لبحث تموج هذه القوة، وأيضاً يمكن استخدام نوعية جيدة من ميزان الوزن لتقدير المركبة الأفقية خلال حصر الحركات، مثل ثني الركبتين أو رفع الذراعين.

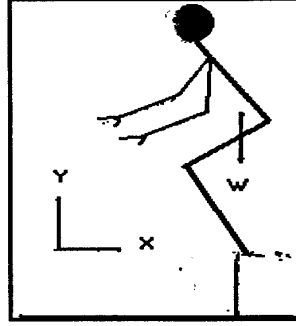
يعرض الشكل (٢-٤) تمرين معمل على الميزان استخدم لتسجيل إزاحة CG للفرد (تقريباً بواسطة نقطة على المقعدة) والمقدار المحدود الرأسى لقوة رد فعل الأرض بينما استخدم كل تمرين لتقديم مفاهيم أساس تتنوع قوة رد الفعل كان جهاز ميزان الوزن غير ملائم لدراسة طبيعة الحركة المميزة بالسرعة (المتفجرة).



شكل (٢-٤)

إجراءات معملية لدراسة عدم الاستقرار في المركبة  
الرأسية لقوة رد فعل الأرض

تمثل الحركة العادية للوثب لأعلى من الوقوف المجموعة العامة لتوليد رد فعل الأرض استجابة لفعل حركة الجذع والأطراف. من أجل التحليل الكيناتيكي لهذه الحركة. يحدد الجسم كنظام للواثب. يهمل في هذه الحالة الدوران بدون أى خطأ حقيقي في الحسابات. ومع ذلك، ربما مثل النظام كجسيم (مركز الكتلة) خلال الكتلة يعادل جسم الفرد. رسم التمثيل البياني الحر للجسم في الشكل (٥-٢) يشير إلى أن وزن الجسم يعمل عمودياً لأسفل من مركز الكتلة. تبذل منصة القوة الواقف عليها الواثب قوة رد الفعل التي يمكن ظهورها لمركبة رأسية (عادية) ومركبة أفقية (مماسية).



شكل (٥-٢)

التمثيل البياني الحر للجسم خلال الارتقاء في الوثب لأعلى (العمودي) بالنسبة لفحص قيم القوى في النقاط المتتالية خلال الارتقاء من الأفضل إتمامها عن طريق تطبيق قانون نيوتن التالي (طريقة القوة- الكتلة- العجلة) عند بذل القوة على مستوى منفرد، تصبح معادلة الحركة كما يلي :

$$\begin{aligned} \Sigma F_x &= m a_x , & \Sigma F_y &= m a_y \\ R_x &= m a_x , & R_y - W &= m a_y \end{aligned}$$

حيث أن  $X, Y$  تمثل متجهات المركبة على التوالي،  $a =$  عجلة مركز ثقل كتلة جسم الواشب،  $m =$  كتلة جسم الواشب التي تظل ثابتة،  $R_x$ ،  $R_y$  تشير إلى المركبتين الأفقية والراسية لقوة رد الفعل،  $w =$  وزن اللاعب. حيث أن الارتفاع هو الهدف الأول في هذا المثال سوف ينصب التركيز التفصيلي على الاتجاه الرأسى للارتفاع. يمكن إعادة صياغة معادلة الحركة لاستخلاص المركبة الرأسية لقوة رد الفعل ( $R_y$ ) كما يلي :

$$\Sigma F_y = m a_y$$

$$R_y - w = m a_y$$

$$R_y = w + m a_y$$

نتيجة للعلاقة الموضحة في الفحص السابق يتضح أن قيمة قوة رد الفعل الرأسية ( $R_y$ ) سوف تكون أقل من وزن الجسم إذا كانت محصلة عجلة الواشب سالبة. وتكون قوة رد الفعل أكبر من وزن اللاعب إذا كانت محصلة عجلة الواشب موجبة. وفي حالة ما إذا كانت محصلة عجلة الواشب صفر، فإن قوة رد فعل الواشب تعادل وزن جسمه. لذا فإن القوة، الكتلة والعجلة تحدد حركة مركز ثقل كتلة الجسم مع البعثة المخصصة بالضبط.

### مثال تطبيقي (١)

\* عندما تكون قوة الفعل الرأسية للواشب مقدارها ١٩٠٠ نيوتن ووزنه ٧٠٠ نيوتن، أثبت أن عجلة مركز ثقل كتلة الواشب عند هذه اللحظة ١,٧ متر/ث<sup>٢</sup>

الحل

المعطيات :

وزن الواشب = ٧٠٠ نيوتن،  $R_y = ١٩٠٠$  نيوتن

$a_y = ١,٧$  م/ث<sup>٢</sup>

المطلوب : إثبات أن  $a_y = 1.7 \text{ م/ث}^2$   
 أولاً : يجب تحويل الوزن بالنيوتن إلى الوزن بالكيلوجرام م/ث<sup>2</sup>

$$= 70 \text{ كجم.م/ث}^2 = \frac{700}{10.0} \therefore 700 \text{ نيوتن} =$$

$$= 70 \text{ كجم} = \frac{9.81 \times 70}{9.81} \therefore \text{كتلة الوائث} =$$

ثانياً : تحول قوة رد الفعل الرأسية من النيوتن إلى كجم.م/ث<sup>2</sup>

$$= 190 \text{ كجم.م/ث}^2 = \frac{1900}{10} \therefore 1900 \text{ نيوتن} =$$

حيث أن :

$$R_y = m a_y + w$$

$$\therefore 190 = 70 a_y + 70$$

$$190 - 70 = 70 a_y$$

$$\therefore 120 = 70 a_y$$

$$\therefore a_y = \frac{120}{70} = 1.7 \text{ m/sec}^2$$

أى أن عجلة جسم الوائث الرأسية  $a_y = 1.7 \text{ م/ث}^2$ .

#### رابعاً : الاحتكاك : Friction

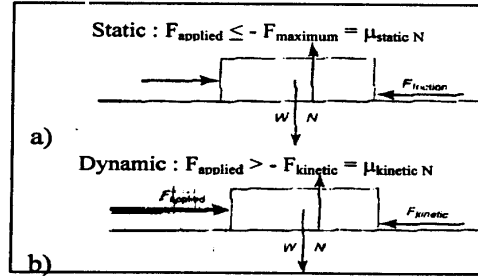
الاحتكاك قوة خاصة تؤثر بينما ينزلق فوق بعض سطحان متصلات بعضهما ببعض. تتجه قوى الاحتكاك موازية للأسطح ودائماً عكس القوة النسبية لكل من السطحين. فى بعض الحالات، تكون قوة الاحتكاك كبيرة لدرجة كافية لمنع الحركة، وهذا يعرف كاحتكاك استاتيكي (ثابت)، فى حالات أخرى تطبيق قوى الاحتكاك يكون عظيم لدرجة تكفى لحدوث الحركة، وعندئذ يؤثر الاحتكاك الكيناتيكي (الحركي) لمقاومة الحركة.

نتصور أن لوح موضوع على سطح مستوٍ بهدف زيادة تطبيق القوة الأفقية ببطء، ( $F_{\text{applied}}$ ) شكل (٦-٢). عندما تطبق قوة صغيرة تستطيع قوة الاحتكاك ( $F_{\text{friction}}$ ) مقاومة الحركة بحيث يبقى اللوح في حالة ثبات ( $F_{\text{applied}} = F_{\text{friction}}$ ) أو ( $F_{\text{applied}} + F_{\text{friction}} = 0$ ). عندما تزيد القوة المطبقة تنمو قوة الاحتكاك باستمرار لتصل إلى مقدار لحفظ حالة الثبات. على أية حال تصل قوة الاحتكاك الثابت إلى نقطة قصوى معينة، وفضلاً عن ذلك الزيادة في القوة المطبقة لا يقابلها زيادة متساوية في قوة الاحتكاك عند هذه النقطة تبدأ حركة اللوح. قيمة الاحتكاك القصوى في حالة الثبات تعرف كتحديد لقوة الاحتكاك الاستاتيكي، وتحسب باستخدام المعادلة التالية :

$$F_{\text{maximum}} = \mu_{\text{static}} N$$

حيث أن  $\mu_{\text{static}}$  = معامل الاحتكاك الاستاتيكي (الثابت)،  $N$  = تأثير القوة العادية عبر السطحين شكل (٦-٢). عند تجاوز القوة المطبقة قوة الاحتكاك القصوى، يصبح اللوح في حالة حركة، مع ميل القوة المطبقة لتسارع اللوح، بينما تكون قوة الاحتكاك الكينماتيكي عكس الحركة (ميل لتباطؤها).

إلى حد ما عندما تكون قيمة القوة المطبقة أقل من قيمة قوة الاحتكاك القصوى وتكون تقريباً ثابتة بالرغم من قيمة القوة المطبقة أو السرعة التي وصل إليها اللوح.



شكل (٦-٢)

حالات قوة الاحتكاك والقوة المطبقة، (أ) الاحتكاك الاستاتيكي، (ب) الاحتكاك الديناميكي

يمكن حساب قوة الاحتكاك الكيناتيكي باستخدام المعادلة التالية :

$$F_{\text{kinetic}} = \mu_{\text{kinetic}} N$$

حيث أن  $\mu_{\text{kinetic}}$  = معامل الاحتكاك الكيناتيكي،  $N$  = القوة العادية القوة العادية هي القوة العمودية على سطح الاتصال لحفظ السطح في حالة اتصال. تذكر أن معامل الاحتكاك الاستاتيكي ( $\mu_{\text{static}}$ ) ومعامل الاحتكاك الديناميكي ( $\mu_{\text{kinetic}}$ ) كلاهما يعتمد على طبيعة السطحين المشتركين والتي دائماً يكون معامل الاحتكاك الثابت أكبر تدريجياً من معامل الاحتكاك الديناميكي.

سوف يصادف القارئ مستويات أخرى من القوة من خلال المنشورات العلمية للميكانيكا الحيوية. عادة القوة الداخلية تعزز تلك القوى المخلقة أو المولدة عن طريق الأنسجة من خلال الجسم، كمثال العضلات Muscles، الأربطة Ligaments، والأوتار Tendons، الغضاريف Cartilage أو العظمة. في مقابل ذلك، القوة الخارجية هي تلك القوة الناتجة من الجسم بواسطة اتصاله بجسم آخر، مثل قوى رد الفعل السابق وصفها.

#### خامساً : القصور الذاتي : Inertia

يعنى القصور الذاتي في الاستخدام العام مقاومة الحركة أى أن الجسم عاجز عن تغيير حالته. فمثلاً : وزن بار حديد ١٥٠ نيوتن، موضوع على الأرض يمتلك الميل ليظل ثابت. المتزحلق على الجليد يميل إلى الاستمرار في الانزلاق في خط مستقيم بسرعة ثابتة.

أيضاً القصور الذاتي ليس له وحدة قياس، وتغير الكتلة القصور الذاتي، الكتلة الأكبر قصورها الذاتي أكبر. اصطلاح ( $-ma$ ) تسمى قوة القصور الذاتي، وهو نموذج مناسب للقوى الأخرى التي تشكل محصلة القوة ( $F$ ) في الطرف الأيسر للمعادلة. هذه القوى تسمى القوة الكاذبة. وهي تسقط عندما تبطل سرعة الرافعة كمدخل لفقدانها الأرض، يرغب القصور للجسم

الذاتى للاستمرار لأعلى وتقل نتائج قوة القصور الذاتى فى قوة رد الفعل بين القدمين والأرض. مثال آخر عجلة الجاذبية تجريبياً خلال العجلة السريعة فى السيارة أو الطائرة، يرغب الجسم البقاء فى حالة الثبات بينما تتحرك المركبة بسرعة للأمام. فى هذه الحالة، يشعر الفرد كأنه يدفع فى المقعد ولكن القوة الحقيقية هى دفع المقعد له للأمام.

نموذج آخر لظهور القوة الكاذبة (Pseudo-force) عندما تعتبر دوران الأشياء حول أى محور وتساعد بتغير الاتجاه الخطى للأجزاء من خلال دوران الجسم الصلب. فى هذه الظروف الخاصة يمثل الاتجاه الخارجى للقوة الطاردة المركزية القصور الذاتى للأجزاء لاستمرار الحركة بعيد عن محور الدوران، بينما الجذب للداخل فى اتجاه نصف القطر أو القوة الجاذبة المركزية تعمل على منع مثل هذا الحادث. بالنسبة للقوة الكاذبة الثالثة لا تحدث قوة كوريوليس Coriolis force عند تغيير الأنظمة المرجعية للدورات ضمن نظام معطى. من أجل الوصف الكامل وحساب هذه القوى يرجع القارئ إلى المراجع العلمية فى الهندسة والطبيعة مثل ( Beer and Johnson ١٩٧٧م).

#### سادساً : عزم القوة أو عزم اللي : Moment of Force or Torque

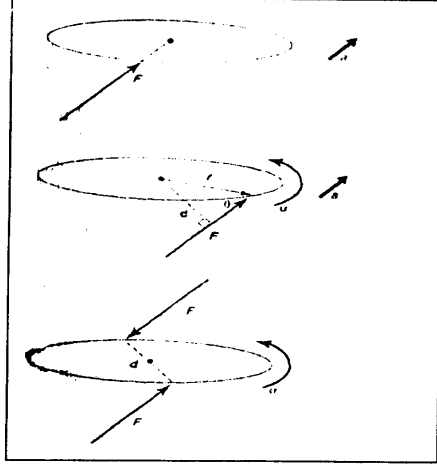
مما سبق أشرنا إلى أن نقطة تطبيق متجه القوة مهمة فقط إذا كانت الحركة الزاوية للجسم الصلب قيد النظر. عن طريق التعريف، نلاحظ الحركة الزاوية حول أى محور. إذا مر خط عمل متجه القوة  $\vec{F}$  بمركز الدوران لا يحدث حركة زاوية شكل (٢-٧). على أى حال إذا تحرك خط عمل متجه القوة  $\vec{F}$  موازى للحركة لدرجة أن خط عمله يحدث مسافة من المحور، تميل القوة لإحداث دوران. القوى التى لا تمر بمحور الدوران

تعرف بالقوة اللامركزية Eccentric (off-center) forces. المسافة العمودية بين متجه خط عمل القوة ومحور الدوران تسمى ذراع العزم ويرمز له بالرمز  $(r)$  وعزم القوة  $\vec{M}$  يساوى ناتج ضرب ذراع العزم  $\times$  القوة  $(\vec{M} = \vec{r} \times \vec{F})$ . وحدة العزم نيوتن. متر (N.m).

يعرض الشكل (٧-٤) أن  $b = r \sin \theta$  حيث  $\theta$  الزاوية المكونة بواسطة عمل متجه الإزاحة  $\vec{r}$ ، خط عمل متجه القوة  $\vec{F}$ . استخدم المسافة العمودية  $(d)$  حيث يمكن حساب قيمة عزم القوة من المعادلة  $M = Fd$ . حقيقة أن نقطة تطبيق متجه القوة تحدد مقدار العزم لأن تبديل نقطة تطبيق قيمة القوة تغير ذراع عزم القوة.

تنتج القوة اللامركزية المنفردة كلا الحركتين الخطية (الانتقالية) والدورانية. القوة نفسها المسببة لتسارع الهدف تتبع قانون العجلة لنيوتن بغض النظر عن كون القوة تتجه خلال محور الدوران من عدمه. يمكن إنتاج حركة الدوران الخالصة بدون عجلة خطية بواسطة عمل القوتين كازدواج. يتضمن الازدواج قوتين ليس على خط عمل واحد ولكن متوازيتين ومتساويتين في المقدار ومتضادتين في الاتجاه. في الشكل (٧-٢)، القوتان المتساويتان المتوازيتان  $(F \text{ و } -F)$  يفصلهما مسافة عمودية  $d$ ، وبذلك يشكل ازدواج القوة التي تطبق عزم يساوى  $F.d$ . ولأن  $F$ ،  $-F$  متضادتين في الاتجاه مجموعهما يساوى صفر، لذلك محصلة القوة المطبقة لشئ تكون صفر.





شكل (٧-٢)

- تأثير القوة : (أ) خط متجه القوة يمر بمركز كتلة الجسم والذي يمر به محور الدوران،  
 (ب) خط متجه القوة لا يمر بمركز ثقل كتلة الجسم والذي يمر به محور الدوران،  
 (ج) ازدواج قوتين متساويتين في المقدار ومتضادتين في الاتجاه

اصطلاح آخر منتشر يستخدم بدلاً من العزم هو عزم اللف torque. تتميز بعض مراجع الهندسة والطبيعة بين اصطلاحين، يوجد عزم اللى مع كل من قوة الازدواج أو حركات اللف حيث أنها صعبة التحديد بمتجه قوة ونقطة تطبيق منفردة. من خلال عالم البيوميكانيك استخدام الاصطلاحين قابل للتبديل ونحن نستخدم كلا الاصطلاحين في هذا المصنف.

تأثير الدوران الكينماتيكي بالضبط لتطبيق عزم اللى يتم بترجمة قوانين الحركة لنيتين، أول الاثنتين التى توضح كمية الحركة الزاوية فى غياب أو حضور اللى. فى غياب تطبيق اللى (Torque) الجسم الدائر يستمر لدوران بكمية حركة زاوية ثابتة، مشابه لقانون القصور الذاتى فى الحركة

الخطية. تحدد كمية الحركة الزاوية ويرمز لها بالرمز  $L$ ، كناتج لعزم قوة القصور الذاتي لكتلة الجسم ويرمز لها بالرمز  $I$ ، وسرعته الزاوية ويرمز لها بالرمز  $\omega$ ، حيث أن  $L = I \omega$ . وحدة كمية الحركة الزاوية هي كجم.م<sup>2</sup>/ث (kg m<sup>2</sup>/s) عندما يطبق عزم القوة على جسم صلب تتغير كمية الحركة الزاوية حيث أن  $M = dL / dt$ ، حيث أن  $dL/dt$  هو مشتقة كمية الحركة الزاوية بالنسبة للزمن. وهذه تعرف بمعادلة أيولير، وهي الزاوية الملائمة للقوة = الكتلة × العجلة ( $F = m a$ )، التي أظهر نيوتن منشأها  $F = dp/dt$  حيث أن  $dp/dt$  مشتقة كمية الحركة الخطية ( $P$ ) بالنسبة للزمن للجزء أو الجسم الصلب. في الحالة الخطية، أى تغير في السرعة (العجلة) محتمل حدوثه فقط لأن كتلة الجسم الصلب ثابتة، في الحالة الزاوية، إذا كان عزم القصور الذاتي للكتلة  $I$  ثابت تصبح معادلة أيولير  $M = I \alpha$  Euler حيث أن  $\alpha$  العجلة الزاوية لدوران الجسم. على أية حال، عند قياس جسم الإنسان، ممكن تغيير شكله وعندئذ يمكن تغيير عزم القصور الذاتي بالإضافة لذلك، يحتم التشكيل الأكثر عمومية لمعادلة أيولير التغير في الحركة الزاوية (أكثر من العجلة) أفيد، إذا فكرنا في أن كتلة الجسم لم تتغير. تذكر أن إتمام معادلات أيولير للحركة ذات الثلاث أبعاد أكثر تعقيداً ولم نوضحها هنا. راجع مراجع الميكانيكا الهندسية مثل Beer and Johnson (١٩٧٧م) للوصف الكامل لحالة الأبعاد الثلاثة.

#### سابعاً : الدفع وكمية الحركة الخطية :

##### Linear Impulse and Momentum

للقانون الثنى لنيوتن ( $F = m a$ ) يمكن تطبيقه لحظياً أو عند الأخذ فى الاعتبار القوة المتوسطة. عندما يرغب الباحث معرفة تأثير القوة التى تنتوع لنهاية تأثيرها، تصبح علاقة الدفع- كمية الحركة أفيد. هذه العلاقة اشتقت مباشرة

من قانون نيوتن الثانى كما ذكرنا سابقاً أنها تعتبر أصلاً كعلاقة بين القوة وكمية الحركة. فى وقت عدم استخدام مصطلح كمية الحركة فضل نيوتن التبديل للكمية القياسية للحركة. بالنسبة للاشتقاق الميكانيكى لعلاقة الدفع- كمية الحركة للقوى بدأت بقانون نيوتن للعجلة :

$$F = m a = m \frac{dv}{dt} \quad (1)$$

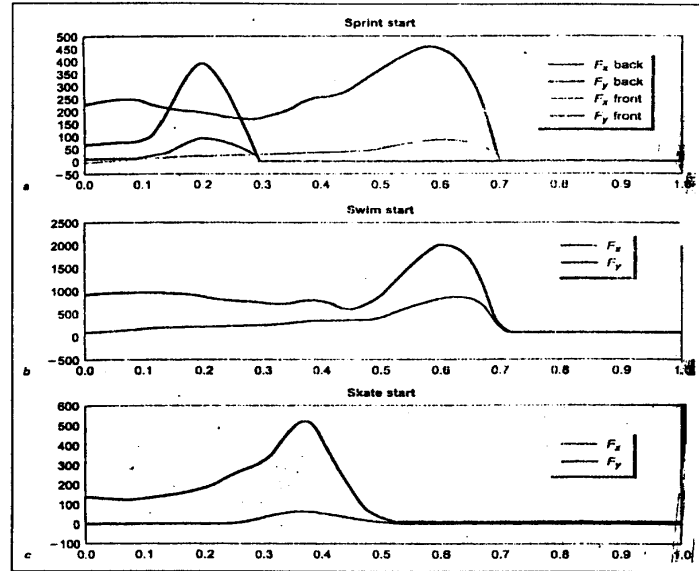
بضرب طرفى المعادلة (1) تصبح المعادلة :

$$F dt = m dv \quad (2)$$

بتكامل طرفى المعادلة (2) تتضح العلاقة بين الدفع - كمية الحركة

$$\int F dt = m dv_{Final} - m dv_{Initial} \quad (3)$$

حيث أن طرف المعادلة الأيسر هو الدفع الخطى لمحصلة القوة  $F$ ، ويمثل الطرف الأيمن للمعادلة التغير فى كمية الحركة الخطية للكتلة  $m$ ،  $m v_{Final}$  - نهاية وبداية كمية الحركة الخطية للجسم على التوالى. وحدة الدفع الخطى نيوتن. ثانية (N.s) التى تتناسب اتجاهياً لوحدة كمية الحركة الخطية كجم.م/ث (kg m/s). لذلك، دفع القوة الخطى يحدد كتكامل للقوة لنهاية زمن تأثيرها، ويغير هذا الدفع كمية حركة الجسم. بيانياً الدفع الخطى هو المساحة تحت مسار القوة. يعرض الشكل (٢-٨) أن (a) زيادة مدى القوة، (b) زيادة زمن القوة، (c) زيادة كلا زمن الدوام والمدى، (d) زيادة رقم الدفع (مثل تكرار الدفع) يزيد الدفع على الجسم.



شكل (٨-٢)

الدفع الأفقى ( $F_x$ ) والدفع الرأسى ( $F_y$ ) للبداية من اللوحات الخلفية المجهزة للوحة البدء بالمضمار (a) من بداية منصة القوة الموضوعة على لوحة البدء فى السباحة، (b) منصة القوة الموضوعة على زحافة التزحلق على الجليد، (c) الإحداثى نسيئى يمثل الزمن بالثانية، الإحداثى الصادى يمثل القوة بالنيوتن.

#### ثامناً : قياس القوة، الدفع الخطى، والعزم :

##### Measured Forces, Linear Impulse, and Moment

يمكن استخدام علاقة الدفع- كمية الحركة لتقييم تأثير القوة فى تبديل كمية الحركة أو سرعة الجسم. على سبيل المثال، أداء الفرد البدء فى العدو Robertson and Lemaire and Robertson (١٩٩٠ اب)، أو السباحة Stewart (١٩٩٧ م) حاولا تطبيق قوى رد الفعل الأفقية لبدء حركة أفقية، أمكن تحديد فعالية البدء بمجسمات قادرة على تسجيل تلك القوى. يعرض

الشكل (٩-٢) الدفع الأفقية للبدء من لوحات البدء المجهزة في المضمار Lemaire and Robertson (١٩٩٠ ب)، ووضعت منصة القوى على لوحة البدء للسياح عن Robertson and Stewart (١٩٩٧ م)، ومنصة القوى المظمورة في سطح زحافة الجليد عن Roy (١٩٧٨ م). كما يعرض الشكل (٩-٢) تكامل المساحة والتقسيم بواسطة كتلة الرياضى لتحديد التغير في السرعة الأفقية للرياضى. لاحظ أنه سلم بأن مع نماذج تلك المهارات أن السرعة الابتدائية تساوى صفر، والتي تتطلب من أجل تلك المهارات، اعتبار البدء الذى يعوق الرياضى من نوع آخر زائف. هذه المتطلبات غير ممكنة في البدايات الحقيقية، حيث تسمح للرياضى امتلاك بدء العدو. يقيس الباحث في كل حالة سرعة الرياضى قبل البدء في تطبيق القوة. وبالتالي من أجل إعطاء الدفع، تكون سرعة الفرد قبل الدفع :

$$V_{Final} = \frac{\int_{t_{Initial}}^{t_{Final}} F_x dt}{m} + V_{Initial}$$

حيث أن  $m$  = كتلة الفرد،  $V_{Initial}$  = السرعة الابتدائية (وتساوى صفر إذا كان البدء من الثبات)، بسط الكسر هو الدفع للقوة الأفقية - وهو المساحة تحت منحنى رد فعل القوة الأفقية - من زمن البداية  $t_{Initial}$  حتى زمن النهاية  $t_{Final}$ .

نفس التطبيق فيما يتعلق ببحث الوثب لأعلى أو الهبوط من الوثب، الذى فيه إشارات منصة القوة الرأسية تتكامل لنهاية الزمن للحصول على التغيرات في كمية الحركة الرأسية للوثاب. في حالة الوثب من الوقوف، تكون السرعة الابتدائية للوثاب صفر، لذلك يمكن قياس سرعة الارتقاء للوثاب مباشرة من إشارات منصة القوة (مثلاً: يكافئ التغير في السرعة لدرجة الارتقاء). هناك اختلاف بسيط جداً في معادلة الدفع الرأسى بسبب

منع الجاذبية الحصول على السرعة الرأسية. وتصبح معادلة السرعة الرأسية كما يلي :

$$V_{Final} = \frac{\int_{t_{initial}}^{t_{Final}} (F_y - 1N)dt}{m} + V_{Initial}$$

حيث أن  $1N$  = وزن الفرد بالنيوتن،  $V_{Initial}$  = السرعة الرأسية الابتدائية (تساوى صفراً إذا بدأت الحركة من الثبات).  $F_y$  = قوة رد فعل الأرض الرأسية (GRF). بالطبع هذه المعادلة تطبق فقط إذا عملت جميع القوى ضد منصة القوة. فمثلاً، إذا أحد قدمي الفرد بعيدة عن منصة القوة، السرعة الرأسية سوف تكون رهن التقدير. بالمثل، من المسلم به أن الجزء من الجسم الذي لا يعمل ضد الأرض أو البيئة الخارجية، إذا حدث ذلك يجب استخدام تجهيزات إضافية للقياس.

تطبيقات أخرى لعلاقة الدفع- كمية الحركة. تتضمن مناشط مثل التجديف Rowing، الجولف Golf، الجمباز الفني، الدراجة Cycling، التي فيها تطبق القوة بواسطة اليدين أو القدمين يمكن تقاس بواسطة عناصر إحساس القوة لقياس كمية دفعها. مرة أخرى، يمكن قياس كمية فعالية القوة مباشرة بتطبيق تكامل القوة لنهاية الزمن. أبسط طريقة لحساب تلك التكاملات هي استخدام تكامل ريمان Riemann Integration في هذه الطريقة، تجمع إشارات القوة من القياس إلى الرقمي (AID) بمحول مضاف للحاسب وبعد ذلك يضرب المجموع بواسطة عينة فترة  $(\Delta t)$ . إذا كان معدل عينة إشارة القوة ١٠٠ هـ.ت (100 Hz)، تكون العينة الفترية ٠,٠١ ث. معادلة التكامل لريمان هي :

$$\text{Impulse} = \Delta t \sum_{i=1}^n F_i$$

حيث أن  $F_i$  = عينة القوى،  $n$  = عدد عينات القوة، لزيادة دقة التكامل يستخدم تكامل شبه المنحرف

$$\text{Impulse} = \Delta t \left( \frac{F_i + F_n}{2} + \sum_{i=2}^{n-1} F_i \right)$$

بالتأكيد يكون ذلك نصف مجموع المجموع الأولى والأخيرة المضافة لمجموع بقاء زمن دوام عينة القوى.

يمكن استخدام مدخل بسيط الاختلاف لملاحظة التغيرات اللحظية في نتائج سرعة التطبيق. نبدأ بتحويل GRFs إلى مسارات العجلة عن طريق تقسيم كتلة الفرد عند كل لحظة في الزمن. قوة رد الفعل الرأسية يجب أن تقل عن طريق طرح وزن الفرد

$$a_y = F_y / m$$

$$a_y = (F_y - W) / m$$

لاحظ أن الوزن يجب أن يكون دقيقاً جداً، ومن جهة أخرى هناك خطأ يستمر لنهاية عملية التكامل. الحل الأفضل هو تسجيل مرحلة خالصة فورية قبل بدأ الدفع من التي يمكن لوزن الفرد تحديدها. وهي تحدث حيث يسجل وزن الجسم عن طريق التنوع المعتمد على منصة القوة حينما توضع القدمين.

تمتلك تلك النماذج للعجلة نفس شكل خصائص القوة بسبب امتلاك كونها مقاسة بواسطة كتلة ثابتة. بعد ذلك يتكامل مسار العجلة للحصول على مسار مسارات السرعة عن طريق تكرار توالي إضافة التغيرات في السرعة. مسارات السرعة تحسب عن طريق تكرار تطبيق المعادلة التكاملية التالية :

$$v_i = v_{i-1} + a_i (\Delta t)$$

حيث أن  $v_i$  = السرعة عند الزمن  $i$ ،  $v_{i-1}$  = زمن السرعة البينية السابقة،  $a_i$  = العجلة،  $\Delta t$  = عينة الزمن البينية. تسمى السرعة الابتدائية الأولى ثابت التكامل في حساب التفاضل والتكامل، يجب أن تكون معلومة. إذا بدأ النشاط استاتيكيًا (بالثبات)، فإن السرعة الابتدائية تكون صفر، ولم يبدأ من الثبات إذن يجب على الباحث حساب أو قياس السرعة الابتدائية بنظام آخر. كمثالاً التصوير بالفيديو Videography. بنفس الأسلوب نظرياً التكامل الثانی للقوة يمكنه توضيح إزاحة الجسم. عملية التكامل تستخدم تكرار حساب السرعة المنفردة للحصول على مسار السرعة، التي تنتج وضع ابتدائي آخر يمثل ثبات الفرد. من أجل التبسيط، نحن يمكن نقرر أن الوضع الابتدائي صفر، وبعد ذلك نحدد الإزاحة ( $S_i$ ) التي تحدث بعد بدأ التكامل. حيث تكون  $S_i = S_{i-1} + v_i (\Delta t)$ ، حيث أن  $v_i$  = السرعة المحسوبة من التفاعل السابق للمعادلة.

لاحظ أن عملية التكامل يمكن أن تصبح غير متاحة إذا ظهرت مشاكل آلية.

#### تاسعاً : كمية الحركة الخطية لأجزاء الجسم والجسم كله :

##### Segmental and Total Body Linear Momentum

عند تحليل حركة جسم الإنسان، يتعذر قياس القوة الخارجية المؤثرة عليه مباشرة. إلا أنه يمكن حساب كمية الحركة بطريقة غير مباشرة من العلامات الكينماتيكية للجسم وحساب مراكز ثقل أعضائه. عند معرفة مركز ثقل العضو تصبح مسألة ضرب متجهات السرعة بواسطة كتل الأعضاء سهلة نسبياً. حيث تصبح :

$$\vec{P} = m \vec{v}$$

$$P_x = m v_x, P_y = m v_y, P_z = m v_z$$



حساب مجموع كمية حركة الجسم يكون أيسر سهر بادخال البيانات الضرورية، لإمكانية جمع كمية الحركة اتجاهياً. لذلك فإن كمية الحركة هي مجموع كميات الحركة لأجزاء الجسم حيث أنها :

$$\vec{P}_{total} = \sum_{S=1}^S m_s \vec{v}_s$$

حيث أن  $m_s$  = كتل العضو،  $\vec{v}$  = متجه سرعة مركز ثقل العضو،  $S$  = مجموع عدد الأعضاء. تكون مصادر القياس :

$$P_{total\ x} = \sum_{S=1}^S m_s V_{sx}$$

$$P_{total\ y} = \sum_{S=1}^S m_s V_{sy}$$

$$P_{total\ z} = \sum_{S=1}^S m_s V_{sz}$$

لا يستخدم غالباً هذا المقياس في الميكانيكا الحيوية لأنه يتطلب تسجيل جميع كينماتيك أعضاء الجسم، التي الحصول عليها بالضبط صعب وبخاصة في الثلاث أبعاد. على أية حال، هذا التكنيك يستخدم لدراسة ديناميكية الجسم في الهواء، كما في الوثب الطويل (Ramey 1973a, b)، الوثب العالي (Dapena 1978)، والغطس (Miller 1970, 1973)، (Miller & Sprigings, 2001). في هذه الحالات، يحدث الاحتفاظ بكمية الحركة في الاتجاه الأفقي ونقل كمية الحركة بالنوعية في الاتجاه الرأسى بسبب الجاذبية.

**الدفع وكمية الحركة الزاوية : Angular Impulse and Momentum**  
 الدفع الزاوى وكمية الحركة الزاوية هى الدوران المرادف للدفع الخطى وكمية الحركة الخطية. وهى تشتق من معادلة أيولير ( $M = I \alpha$ ) وبنفس نمط الخطية  $F = m a$ . حيث يمكن إعادة صياغة معادلة أيولير لتصبح  $M = dL/dt$  حيث أن  $dL/dt =$  مشتقة كمية الحركة الزاوية بالنسبة للزمن ( $L = I\omega$ ) فيما يتعلق بترتيب نتائج معادلة أيولير فى  $M\Delta t = \Delta I\omega$ . تعطى محصلة عزم القوة،  $M_R$  تأثير على أى جسم، لنهاية زمن تكامل توضيح الدفع الزاوى المطبق على الجسم. حيث تكون :

$$\text{Angular impulse} = \int_{t_{\text{initial}}}^{t_{\text{Final}}} M_R dt$$

حيث أن  $t_{\text{Final}}$ ،  $t_{\text{Initial}}$  = تحدد فترة دوام الدفع بالثانية، حيث تعطى كمية الحركة الزاوية بنظام الأعضاء الصلبة  $L$ ، ويمكن كتابة علاقة الدفع- وكمية الحركة الزاوية كما يلى :

$$L_{\text{Final}} = L_{\text{Initial}} + \text{angular impulse}$$

حيث تكون، كمية الحركة الزاوية لنظام قبل الدفع الزاوى معادلة لكمية الحركة الزاوية للنظام بعد الدفع المضاف للدفع الزاوى. لاحظ أن نظام عزم القصور الذاتى ربما يمتلك قيم مختلفة قبل وبعد دوام الدفع، يعتمد على التشكيل العضوى. لا تتشابه الكتلة الثابتة المسلم بها فى الحركة الخطية، العزم الدورانى للقصور الذاتى يمكن يختلف من لحظة لأخرى. كمثال لاعب الغطس أو الجمباز فى وضع استقامة الجسم يمتلك أكثر ١٠ أمثال عزم قصور ذاتى من الوضع المكور. لذلك تتنوع تأثيرات الدفع الزاوى بتغير فى عزم القصور الذاتى للجسم. هذا العامل يؤخذ فى الاعتبار عند حساب مساهمة أجزاء الجسم الصلب فى نظام السلسلة للأجسام الصلبة فى كمية الحركة الزاوية للجسم كله. كل عضو يساهم باصطلاحين فى كمية الحركة

الزاوية للجسم كله، أحد الاصطلاحات أحياناً يسمى كمية الحركة الزاوية الوضعية Local Angular Momentum وأحياناً أخرى يسمى عزم كمية الحركة Moment of Momentum، أو كمية الحركة الزاوية البعيدة Remote Angular Momentum. الاصطلاح الأول يصف دوران العضو حول مركز ثقله، بينما الاصطلاح الثاني عزم كمية الحركة مسئول عن خلق كمية الحركة الزاوية بواسطة دوران مركز ثقل العضو حول مركز ثقل الجسم كله. هذا الاصطلاح سوف يحدد فيما بعد.

#### عاشراً : كمية الحركة الزاوية العضوية :

##### Segmental Angular Momentum

بينما تنتج كتلة وسرعة العضو كمية الحركة الخطية، تكون كمية الحركة الزاوية للعضو ( $L_s$ ) لدوران العضو حول مركزه هي ناتج عزم قصوره الذاتي وسرعته الزاوية :

$$L_s = I_s \omega_s$$

حيث أن  $I_s$  = عزم القصور الذاتي ( $k.m^2$ ) للعضو حول مركز ثقله،  $\omega_s$  = سرعة العضو الزاوية (rad/s). بالطبع نادر دوران الأعضاء ببطء حول مركز ثقلهم. نحتاج لتحديد كمية الحركة الزاوية للعضو حول محور آخر (مثل، مركز ثقل الجسم كله، أو النهاية القريبة للعضو) إلى عزم كمية الحركة ( $L_{mofm}$ ). هذا الاصطلاح يأسس على نظرية المحور المتوازي وهي تحدد كما يلي :

$$L_{mofm} = \left[ \vec{r}_s \times m_s \vec{v}_s \right]_z = m_s (r_x v_y - r_y v_x)$$

حيث أن  $(r_y, r_x)$  = متجه الوضع من محاور الدوران إلى مركز ثقل العضو،  $m_s$  = كتلة العضو،  $(v_y, v_x)$  = السرعة الخطية للعضو ولاحظ أن الرمز  $x$

يعنى أن المتجهين مضروبين بالنقاط أو ناتج متجه والرميز  $\left[ \vec{r}_s \times m_s \vec{v}_s \right]_z$  يعنى أنهما مقياس فقط للمركبة حول المحور z الموضوع فى الاعتبار.

### إحدى عشر : كمية الحركة الزاوية الكلية للجسم :

Total body angular momentum

ربما تتخذ مداخل مختلفة متعددة لنحصل على كمية الحركة الزاوية الكلية للجسم. إذا كان الجسم مصنوع من مجموعة أعضاء متصلة (مثل جسم الإنسان)، عندئذ تكون كمية الحركة الزاوية الكلية للجسم هي مجموع جميع كميات الحركة الزاوية لأعضائه مضافاً عزم كمية حركته المساعد. مثلاً، لحساب كمية الحركة الزاوية للجسم كله ( $L_{total}$ ) حول مركز ثقل الجسم كله لتحليل فى مستوى تطبيق المعادلة التالية :

$$L_{Total} = \sum_{i=1}^s I_s \omega_s + \sum_{i=1}^s \left[ \vec{r}_s \times m_s \vec{v}_s \right]_z$$

حيث أن  $\vec{r}_s$  يمثل متجه الوضع المتصل بمركز ثقل الجسم الكلى ومركز ثقل كتلة العضو، وهو يكون  $(x_s - x_{total}, y_s - y_{total})$ ،  $\vec{v}_s$  = سرعة مركز ثقل العضو،  $S$  = تمثل عدد أعضاء الجسم.

عموماً اصطلاح عزم كمية الحركة أكبر من اصطلاحات كمية الحركة الزاوية للعضو، لأن عزم القصور الذاتى للعضو دائماً اقل من  $I$  ( $kg.m^2$ ) بينما كتلة العضو تكون أكبر من  $I$  ( $kg$ ). أكثر من ذلك متجهات الوضع للأجزاء الثقيلة الأبنى يمكن تكون كبيرة، وتوالى عبورها ينتج سرعة كبيرة نسبياً بمقارنتها بالسرعة الدورانية للعضو.

### اثنى عشر : الدفع الزاوى : Angular Impulse

اختيار طريقة تحديد كمية الحركة الزاوية للجسم كله تتوقف على استخدام تأثير القوى الخارجية وعزم القوة على الجسم والدفع الزاوى المنتج. يوضح الشكل (٢-١٠) أربعة أمثلة للقوى الخارجية التى تنتج الدفع الزاوى وتوالى تأثير كمية الحركة الزاوية على الأجسام.

لاحظ أن فى جميع الحالات خطوط تأثير القوى الخارجية لم تمر من خلال مراكز الأجسام. لتحديد إنتاج كمية حركة زاوية كبيرة، يجب أن يقيس للفرد القوى لنهاية الزمن ومتزامنة لتسجيل مسار المكافئ لمركز ثقل الجسم. بالإضافة إلى، يجب تحديد القوى الخارجية لقياس قيمتها واتجاهها ونقطة تطبيقها على الجسم. القوى التى ليس فى حاجة لقياسها هى قوة الجاذبية لأنها قوة مركزية حيث يمر خط عملها بمركز ثقل الجسم ولا يسبب أى عزم دوران.

لذلك يمكننا القول أن الدفع الزاوى هو تكامل عزم محصلة القوة أو تأثير القوة اللامركزية على الجسم بالنسبة للزمن شكل (٢-١١). بينما كمية الحركة الزاوية هى كمية الحركة الدورانية للجسم. وتشكل حسابياً من :

$$\text{Angular Impulse} = \int_{t_i}^{t_F} M_R dt$$

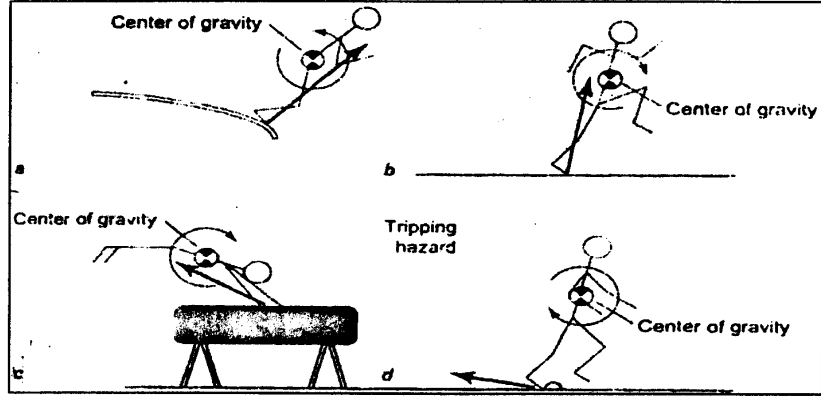
أو إذا عزم القوة  $M_R$  يكون ثابت، إذن :

$$\text{Angular impulse} = M_R \Delta t$$

حيث  $\Delta t$  = فترة دوام الدفع.

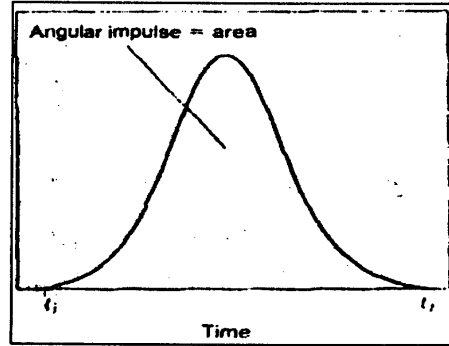
يكون اختيار القياس الكمى للدفع الزاوى إذا كان هناك قوة خارجية منفردة تؤثر على الجسم شكل (٢-١٢) تستخدم المعادلة التالية :

$$\text{Angular impulse} = \int (\vec{r} \times \vec{F}) dt$$



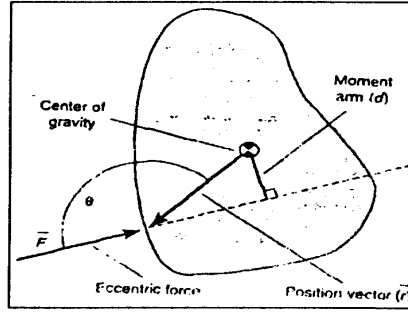
شكل (٩-٢)

أمثلة للقوى التي تسبب دفع زاوى وعزم زاوى، الخط المنحنى يعرض اتجاه تطبيق الدفع الزاوى، المثال (a) للاعب الغطس، و (b) للاعب الوثب الطويل، (c) للاعب الجمباز على حصان القفز، (d) خطوة المشى



شكل (١٠-٢)

تحديد الدفع الزاوية بالمساحة تحت منحنى عزم القوة مقابل الزمن



شكل (١١-٢)

القوة اللامركزية والقدرة على إنتاج الدفع الزاوي

حيث  $\vec{F}$  = القوة المطبقة،  $\vec{r}$  = متجه الوضع من CG لنقطة تأثير القوة.

لاحظ أن  $(\vec{r} \times \vec{F})$  = ناتج تقاطع القوة ومتجه الوضع. في البعدين مقدار هذا الناتج  $r_x F_y - r_y F_x$  (أنظر مرفق D لنواتج متجهات الثلاث أبعاد). إذا كانت القوة مركزية مثل الجاذبية لا يحدث تغيير في كمية الحركة الزاوية للجسم. هذا مبدأ هام يسمى قانون بقاء كمية الحركة الزاوية، ويطبق عندما يكون الجسم في الهواء (الوضع الحر) والقوة المؤثرة عليه هي فقط قوة الجاذبية (مع إهمال قوة مقاومة الهواء).

حالات أخرى تنتج هذا القانون إذا أهملنا أى احتكاك دوراني كمثال الوقوف على منصدة دوران عديمة الاحتكاك أو الوثب على أى سطح ثلجي. لذلك يسلم الفرد للـف بكمية حركة زاوية ثابتة، لكن بدون ضرورة ثبات السرعة الزاوية. معدل لف الفرد (السرعة الزاوية) ربما تزيد أو تقل، على التوالي، بواسطة اقلال أو زيادة عزم القصور الذاتي الكلى للجسم خلال

حركات الأعضاء. ينص قانون بقاء كمية الحركة الزاوية على بقاء كمية الحركة الزاوية للجسم كله ( $L_{total}$ ) ثابتة حول أى محور بينما العزم المطبق يساوى صفر وتكون محصلة القوة قوة جاذبة مركزية :

$$L_{total} = \text{Constant}$$

أغلبية الباحثين الذين حاولوا قياس قيمة كمية الحركة الزاوية ركزوا على دراسة حركات الرياضى فى الهواء، مثل الغطس عن (1970, 1973) Miller (2001)، Murtaguh & Miller، شكل الانزلاق عن Albert Lemaire & Robertson and Miller (1996)، الوثب الطويل عن Gervais & Tally (1990a)، Ramey (1973a, 1973b)، الجمباز عن Kwan (1996)، والترامبولين عن Yeadon (1990a, 1990b).

### الثالث عشر : قياس القوة : Measurement of Force

هناك أدوات كثيرة متعددة متاحة لقياس القوة وعزم القوة. تسمى جميع هذه الأدوات بالمحولات Transducers نحن قسمناها إلى منصة القوة Force platform، مجسات توزيع الضغط Pressure Distribution، مجسات تطبيق القوة الداخلية Internally Applied Force، Sensors، اكتشافات الأيزوكينتيك Isokinetic devices.

#### أ- محولات القوة : Force Transducers

تعاملنا فى معظم مناقشتنا مع التأثيرات التى سببتها القوى قدمت لجزء أو لجسم صلب، حقيقة عرض أى عضو أو الجسم الصلب فى حضور قوة مطبقة عليه يكون تقريباً. لأن جميع الأشياء تشوه إلى حد معين، عرفنا الجسم الصلب (بعد كل الجزئيات) موقعها ثابت نسبة إلى بعضها البعض)

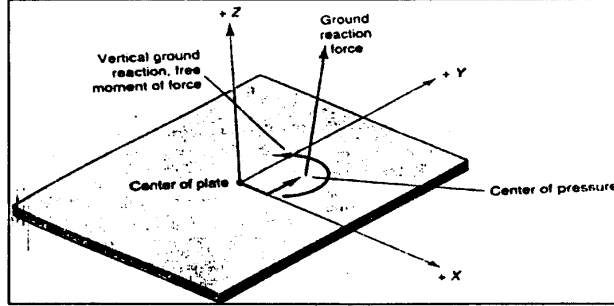


ليس صحيح تماماً. فى العديد من الحالات يرتبط خطأ تغير الصلابة بتغير الشكل.

علاوة على ذلك هذا التغير فى الشكل (التشويه) يمكن أن يكون مفيداً للميكانيكيين لأنه يسمح لهم بقياس القوى التطبيقية التى تستخدم محاولات القوة. إحساس عناصر الأنواع المختلفة يمكن أن تلتزم به للوصول إلى مواد مشوهة. عند تطبيق قوة، تسجل عناصر الإحساس الكمية المشوهة للمادة. نموذجياً عناصر الإحساس لها خصائص كهربية على سبيل المثال عناصر المقاومة يمكن أن تعمل كالمقاومات ضمن دائرة مثل جسر Wheatstone. بسبب تشويه (تغيير شكل) التغيرات الهيكلية والهندسية فى المقاومات تعدل مقاومتها الكهربائية. وهذا التغيير فى تعديل المقاومة يتناسب مع هبوط الفولطية فى الدائرة الكهربائية. عناصر Piezoresistive مستند على مواد شبه الموصلة مثل السليكون وأكثر حساسية من مواد المقاومة العادية. لأن القوة، التشويه، والمقاومة، والفولطية ترتبط مباشرة بمعرفة تلك العلاقة وتسمح للفرد لحساب القوة المطبقة بقياس تغير الفولت فى مثل هذه الدائرة. وبالرغم من إمكانية استخدام هذه الطرق باختلاف أنواعها فى تصميم أجهزة قياس القوة فى المجال الرياضى إلا أن الأجهزة التى تعتبر أكثر انتشاراً فى الوقت الحالى تلك الأجهزة التى تسير على أساس التوتر (طرق القياس بالاستطالة) وتسمى بمنصات القوى. وفيما يلى سوف نستعرض بعض هذه الأنواع الشائعة الاستخدام، من منصات القوى فى مجال دراسة المهارات الحركية فى مجال البيوميكانيك.

#### ب- منصة قياس القوة : Force Platform

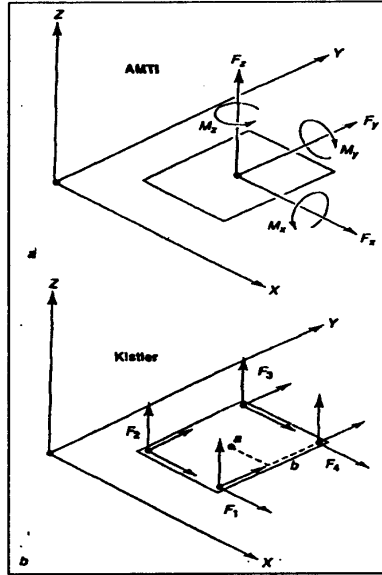
النوع الأكثر انتشاراً لمحاولات القوة في البيوميكانيك هو منصة القوة المستخدمة لدراسة حركة المشي وهي مصممة لقياس القوة المؤثرة على جسم الإنسان في كلا الاتجاهين الرأسى والأفقى خلال حركة المشي، وتتركب من لوح المشي وهو مرتكز على أربع أعمدة مثبتة في القاعدة الثابتة للمنصة، ومثبت ١٢ مقياس اجهاد لقياس مقادير الاجهادات الناجمة من القوى المختلفة التأثير على المنصة على كل عمود من الأعمدة الأربعة كما فى شكل (٢-١٢).



شكل (٢-١٢)

- (أ) منصة القوى المستخدمة فى تحليل حركة المشي، (ب) هندسة القوى ووحدات القياس المستخدمة فى تسجيل القوى ووحدات القياس المستخدمتين فى تسجيل القوى المسببة لحركة الإنسان (د) الدوائر الكهربائية المختلفة المستخدمة فى قياس خواص حركة جسم الإنسان على منصة القوى

والنوع الثانى الأكثر انتشاراً لقياس القوى هو منصات القوى ثلاثية الأبعاد، وهى عبارة عن ثلاث منصات مرتبة فوق بعضها البعض، المنصتان السفلية والمتوسطة مثلثتا الشكل بينما المنصة العليا مستطيلة الشكل كما فى شكل (٢-١٣ أ، ب).



شكل (١٣-٢)  
تركيب منصة القوى الثلاثية

ولكل من المنصتين المثلثتين إمكانية الدوران حول محور منطبق على أحد جوانبها الثلاثة بحيث أن محور الدوران (أ، أ) للمنصة السفلى، (ب، ب) للمنصة المتوسطة متعامدان.

ويتضح في شكل (١٣-٢ب) أن المنصة السفلى محملة على مقياس القوى المثبت عند رأسها المواجه لمحور دورانها (أ، أ)، بينما المنصة المتوسطة فمحملة على المقياس المثبت في مقابل المحور (ب، ب) أما المنصة العليا فهي مثبتة على المنصة المتوسطة بواسطة مقاييس القوى

الأربعة م<sup>٢</sup>، بحيث أن مجموع قراءات هذه المقاييس تعطى مقدار أى قوة رأسية ق ص مؤثرة على المنصة العليا.

ولتحديد نقطة تأثير القوى الرأسية ق<sub>ص</sub> (F<sub>y</sub>) يستخدم المقياسين م<sub>١</sub> (m<sub>1</sub>)، م<sub>٢</sub> (m<sub>2</sub>) حيث أنهما يقيسان عزم هذه القوى حول المحوران (أ، أ')، (ب، ب') وذلك وفق العلاقات التالية :

$$ق١ = ٢د ق٢ / ل (١)$$

$$ق٢ = ١د ق١ / ل (٢)$$

حيث أن ق<sub>١</sub>، ق<sub>٢</sub> = ردود الفعل المؤثرة على المنصات الكلية واللتان يوازيان عزمهما عزم القوة، د<sub>١</sub>، د<sub>٢</sub> = إحداثيات نقطة تأثير القوة ق<sub>ص</sub> متماسان بالنسبة للمحاور (أ، أ')، (ب، ب')، ل<sub>١</sub>، ل<sub>٢</sub> = أبعاد نقطة تأثير لقوى ق<sub>١</sub>، ق<sub>٢</sub> من محاور الدوران (أ، أ')، (ب، ب').

وبمعلومية مقدار القوة الرأسية ق<sub>ص</sub> ومقدار ردود الأفعال ق<sub>١</sub>، ق<sub>٢</sub> من محاور الدوران (أ، أ')، (ب، ب').

وبمعلومية مقدار القوة الرأسية ق<sub>ص</sub> ومقدار ردود الأفعال ق<sub>١</sub>، ق<sub>٢</sub> فإنه يمكن عن طريق المعادلتين (١)، (٢) حساب إحداثى نقطة تأثير القوة ق<sub>ص</sub> وهما د<sub>١</sub>، د<sub>٢</sub>.

#### الملخص : Summary

فى هذا الفصل عرضنا قواعد مفاهيم فهم قوانين نيوتن للحركة وكيفية استخدامها فى دراسة حركة جسم الإنسان، وبالنسبة لأهمية مفهوم تطبيق القوة على الأجزاء وعزم القوى المطبقة على الأجسام الصلبة وتأثيرات الحركة الخطية والزاوية. وتقديم التمثيل البياني الحر للجسم كطريقة لرؤية نظم فعل القوى. وشرح قياس القوى واشتمل على محولات

الغرض الأكثر انتشاراً المسحمة في البيوميكانيك ويستطيع الفرض فهم كيف نفس القوى في بحث البيوميكانيك وقدرته على السيطرة على قياس القوة و عزم القوة إذا كان أعداد أجهزتها متاح.

### اختبر معلوماتك

- ١ - اشرح كيف يمكن الاستفادة من تطبيق القانون الأول لنيوتن في أداء المهارات الرياضية؟
- ٢ - اشرح كيف يمكن الاستفادة من تطبيق القانون الثاني لنيوتن في أداء المهارات الرياضية؟
- ٣ - اشرح كيف يمكن الاستفادة من تطبيق القانون الثالث لنيوتن في أداء المهارات الرياضية؟
- ٤ - "تعتبر التمثيل البياني الحر للجسم مفيد في رؤية المشكلة الميكانيكية". ناقش العبارة السابقة في إطار ما يلي :  
- الأشكال العديدة لتكوين التمثيل البياني الحر للجسم.
- ٥ - عندما تكون قوة الفعل رأسية للواثب مقدارها ١٩٠٠ نيوتن وورنه ٧٠٠ نيوتن، أثبت أن عجلة مركز ثقل كتلة الواثب عند هذه اللحظة ١,٧٠ م/ث<sup>٢</sup>
- ٦ - اشرح كيف يمكن الاستفادة من الاحتكاك وأداء المهارات الرياضية؟
- ٧ - اشرح كيف يمكن حساب القوة والدفع الخطي والعزم؟
- ٨ - اشرح كيف يمكن قياس القوة؟

## المراجع

- ١- إيهاب عادل عبد البصير على: (٢٠٠٥م)، تطبيقات عملية في الميكانيكا الحيوية للمهارات الرياضية، المتحدة للطباعة والتصوير، ص(٣٢-٦١).
- ٢- عادل عبد البصير على: (١٩٩٨م)، الميكانيكا الحيوية والتكامل بين النظرية والتطبيق في المجال الرياضي، ط٢، مزودة ومنقحة، مركز الكتاب للنشر، ص(١٦٤-١٧١).
- ٣- عادل عبد البصير على: (٢٠٠٤م)، التحليل البيوميكانيكي لحركات جسم الإنسان (أسسه وتطبيقاته)، المكتبة المصرية للطباعة والنشر والتوزيع، الإسكندرية، ص(١٣٩-١٥٠).
- ٤- عادل عبد البصير وإيهاب عادل عبد البصير : (٢٠٠٦م)، التحليل البيوميكانيكي والتكامل بين النظرية والتطبيق في المجال الرياضي، المكتبة المصرية للطباعة والنشر والتوزيع، لوران الاسكندرية، ص(٨٤-١١٧)، (١٢١-١٣١).
- 5- Beer, E.P., and E.R. Johnston, Jr.: (1977), Vector mechanics for engineers: Statics and dynamics, 3<sup>rd</sup> ed., Montreal: McGraw- Hill.
- 6- Hamill, J., & K.M. Knutzen: (1995), Biomechanical basis of human movement. Baltimore: Williams & Wilkins.
- 7- Hay, J.G.: (1978), The biomechanics of sports techniques, second ed., U.S.A, P (66-78).

- 
- 8- Miller, D.I. & Nelson, R.C.: (1973), Biomechanics of sport. A Research Approach, Lea & Febiger, Philadelphia, P(39-85).
  - 9- Plagenghoef, S.: (1971), Patterns of human motion: A cinematographic analysis, Englewood Cliffs: Prentice-Hall.
  - 10-Robertson, E., D.G. Graham, E.C., Joseph, H. Gary, Kamen, Saunders, N.W. (2004), Research Methods in Biomechanics, Human Kinetics, U.S.A., P(9-11), (73-80).
  - 11-Winter, D.A. (1990): Biomechanics and motor control of human movement, 2<sup>nd</sup> ed., Toronto: John Wiley & Sons.
  - 12-Zatsiorsky Vladimir M.: (1998), Kinematics of human motion, Champaign, IL.: Human Kinetics, U.S.A.





## الفصل الثالث

### الديناميكا المعكوسة للبعدين Two- dimensional Inverse Dynamics

الأهداف

تمهيد

أولاً : ماهية الديناميكا المعكوسة

ثانياً : تحليل الحركة المستوية

ثالثاً : الصيغة العددية

رابعاً : طريقة الأجزاء

خامساً : التحليل العضوي المنفرد

سادساً : التحليل العضوي المتعدد

سابعاً : كيناتيكا مفصل الإنسان

ثامناً : طريقة الحركة النسبية مقابل طريقة الحركة المطلقة

تاسعاً : المشى

الملخص

اختبر معلوماتك

المراجع



## الفصل الثالث

### الديناميكا المعكوسة للمبعدة

### Two- dimensional Inverse Dynamics

#### الأهداف Objectives

بعد قراءة هذا الفصل يصبح القارئ قادراً على معرفة :

- ١- ماهية الديناميكا المعكوسة للمبعدة.
- ٢- عملية الديناميكا المعكوسة لتحليل الحركة المستوية.
- ٣- الطريقة القياسية للحساب الرقمي للكيناتيكا الداخلية للحركات المستوية لجسم الإنسان.
- ٤- مفاهيم الحركة المستوية العامة.
- ٥- الطريقة الجزئية لتحليل الفروق الفردية لمركبات أى نظام أو لأعضاء جسم الإنسان.
- ٦- كيف تساعد الديناميكا المعكوسة بحث ميكانيكا المفصل.
- ٧- فحص تطبيقات الديناميكا المعكوسة فى دراسة الميكانيكا الحيوية.

#### تمهيد : Review

بدأ العمل فى استخدام الديناميكا المعكوسة لحركة جسم الإنسان منذ عام (١٨٨٥م) واستمر حتى عام (١٩٠٤م)، عن طريق ويلهيلم وبراون Wilhelm & Braun وأوتو فيشر Oto Fischer وعدل هذا العمل Herbert Elftmen فى دراسته لحركة المشى عام (١٩٣٩م)، (١٩٣٩-١٩٣٩)

ب)، والجرى فى عام (١٩٤٠م) وتبع ذلك أبحاث تحليلية حتى بريرنر وفرانكيل (Bresler & Frankel ١٩٥٠م) (٥) وكانت أفصل هذه الدراسات دراسة حركة المشى فى الثلاث أبعاد.

وفى عام (١٩٥١م) وسع Berry & Bresler هذا المدخل ليشمل إنتاج القدرات عن طريق رسغ القدم والركبة، وعزم الفخذ خلال المشى العادى ومستوى المشى. ولأن مدخل مقياس عزم القوة لبيررلير وفرانكيل كان ضد قوانين نيوتن أو الكادر المرجعى المطلق، لم يمكنه تحديد مساهمة ثنى المفصل ومده مقابل التقريب والتبعيد.

وتواصلت دراسات قليلة للديناميكا المعكوسة لحركة جسم الإنسان حتى عام (١٩٧٠م) حيث ظهر إنتاج منصات القوى لقياس قوى رد فعل الأرض (GRFs) خلال خطوة المشى والحاسب الآلى غالى الثمن لتجهيز عملية القدرة الضرورية لمساندة البحث الجديد.

والتطور الآخر المهم الذى حدث حديثاً هو البرامج الأوتوماتيكية وتصف الأوتوماتيكية لنظم تحليل الحركة المبنية على تكنولوجيا كاميرات التصوير بالفيديو أو الأشعة فوق الحمراء، التى اختصرت زمن عمليات الحصول على بيانات الحركة بصورة مذهلة.

وقد تمت دراسات الميكانيكا المعكوسة على سبيل المثال على الحركات المختلفة مثل الرفع McGill & Mora Lifting (١٩٨٥م)، الانزلاق Koning, deGroot & Van Ingen Skating (١٩٩١م)، مسابقة الجرى White & Winter (١٩٨٥م)، والعدو Sprinting Lemawe & Robertson (١٩٨٩م)، الوثب Stefany Shyn Jumping (١٩٩٨م)، التجديف Robertson & Fortin Rowing (١٩٩٨م)، (١٩٩٤م) Smith (١٩٩٦م).

وأود التنويه إلى أن الديناميكا المعكوسة لا تطبق على كثير من الحركات الأساسية مثل السباحة والانزلاق على الجليد بسبب القوى الخارجية المجهولة للماء والجليد وربما في المستقبل البحث يمكنه حل هذه الصعوبات. لذلك سوف يركز هذا الفصل على توضيح ماهية الديناميكا المعكوسة، وعملية الديناميكا المعكوسة لتحليل الحركة المستوية، وعرض الطريقة القياسية للحساب الرقمي للكيناتيكا الداخلية للحركات المستوية لجسم الإنسان ووصف مفاهيم الحركة المستوية والقاء الضوء على طريقة التحليل الجزئية للفروق الفردية لمركبات أى نظام أو لأعضاء جسم الإنسان، والتركيز على كيف تساعد الديناميكا المعكوسة دراسة ميكانيكا المفصل، وفحص تطبيقات الديناميكا المعكوسة في دراسات الميكانيكا الحيوية.

### أولاً : ماهية الديناميكا المعكوسة :

الديناميكا المعكوسة هي نوع خاص من الميكانيكا الذى يصل مجالات الكينماتيكا والكيناتيكا. وهى العمليات التى بواسطتها يتم التحديد غير المباشر للقوى وعزم القوى من الخصائص الكينماتيكية والقصور الذاتى لحركات الأجسام. وتطبق أساساً الديناميكا المعكوسة أيضاً على الأجسام الثابتة، ولكن عادة تطبق على الأجسام المتحركة. وهى تشتق من القانون الثانى لنيوتن حيث محصلة القوة جزئياً معلومة والقوى مجهولة. وتأخذ القوى المجهولة مركب شكلى فردى للقوة الخالصة حيث يمكن عندئذ حلها. وتحدث نفس العملية لعزم القوى لدرجة أنه يمكن حساب أى عزم خالص منفرداً للقوة. الخطوة الأولى لتسهيل الحالة المعقدة شكل (٣-١) هى استبدال كل قوة حيث تعمل عبر رسغ القدم مع القوة المكافئة لها وعزم القوة حول

المحور المشترك. يوضح شكل (٣-١) هذه الحالة. تذكر أن القوى التى تعمل على خط واحد حيث تمر من خلال مركز مفصل رسغ القدم لا تنتج عزم لها حول المفصل. لذلك، التركيبات الرئيسية التى تساهم فى عزم القوى قوى العضلة. مساهمة قوى الوتر والعظمة على العظمة عادة فى القوة الخالصة تجريبياً عن طريق رسغ القدم تأتى فى عزم قوة رسغ القدم عندما يكون رسغ القدم عند نهاية مداها الحركى.

اتصال العضلات فى مثل حالة تأثير دورانها حول المفصل يكون مدعم، ومعظمها تمتلك ميزة الرافعة من النوع الثالث لرفع سرعة الحركة. لذلك اتصال العضلات الحقيقى لدرجة أنها تعبر مباشرة فوق محور دوران المفصل يتسبب فى إزالة قدرتها على توليد عزم حول المفصل. وبمعنى آخر الأوتار غالباً تعبر محاور المفصل لأن دورها الرئيسى تثبتت المفاصل ببعضها أكثر من توليد دوران الأعضاء المتصلة. على أية حال هى تعمل على توليد عزم القوة عندما تقترب أو يصل مدى حركة المفصل من حدوده. فمثلاً: عند الركبة الأوتار الرابطة تمنع دوران التقوس واستدارة الأوتار لإعاقة المد الزائد. غالباً الأوتار والتمعظم تنتج أساساً قوة مزدوجة لمنع المغالاة فى الدوران كما فى عملية طرف المرفق وضع أوتار المرفق من المد الزائد Hyperextension.

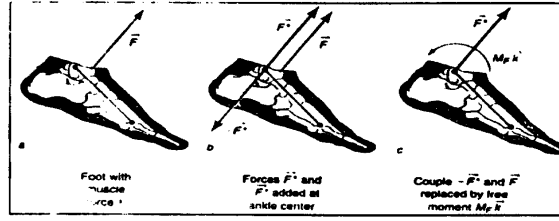
لإتمام عملية الديناميكا المعكوسة للقدم، كل قوة تشريحية، تشتمل على الوتر والعظمة على العظمة (فى الواضح الغضاريف) والقوى يجب تحويلها إلى المحور المشترك عند رسغ القدم. تذكر أن القوى التى تعمل عبر رسغ القدم تشملها هذه العملية. هذه القوى الداخلية المولدة والمتزايدة من خلال القدم تمنع تدخل مثل القوى الخارجية فى الاتصال مع باطن القدم.

يعرض الشكل (٢-٣) الحالة بعد تحليل جميع القوى لرسع القدم. فى هذا الشكل (٢-٣) جمعت القوى وعزم القوى لإنتاج قوة وعزم قوة منفرد، سمي القوة والعزم الخالص على التوالي. أيضاً فى بعض الأحيان يسمى قوة المفصل وعزم قوة المفصل، ولكن هذا متناقض لأن هناك قوى مختلفة للمفصل يشتمل عليها هذا الجمع، كمثل تلك التى المتسببة بواسطة كبسولة المفصل، والأوتار، والأسطح المفصالية (الغضاريف). والتناقض الآخر للاصطلاح هو محصلة قوة المفصل ومحصلة عزم قوة المفصل لأن تلك الاصطلاحات ربما تتعارض مع محصلة القوة، ومحصلة عزم القوة لعضو القدم نفسه. تذكر أن محصلة القوة ومحصلة عزم القوة للجسم الصلب هى مجموع جميع القوى والعزم التى تعمل على هذا الجسم. هذا المجموع ليس نفس القوة والعزم الخالص بالضبط المحدد. تتعلق محصلة القوة وعزم القوة بالقانون الأول والثانى لنيوتن.

غالباً اصطلاح العزم moment يسمى torque فى المنشورات العلمية. فى الهندسة، العزم torque عادة يعتبر عزم القوة التى تسبب دوران حول المحور الطولى لأى شئ. فمثلاً : العزم يقيس لى العزم المحورى للقوة عندما تربط الصمولة أو عمود المزلاج وعزم عمود الموتور لتوليد اللف حول محور ماكينة اللف. على أية حال فى منشورات الميكانيكا الحيوية العزم torque وعزم القوة moment force استخدم فى هذا المصنف بالتبادل.

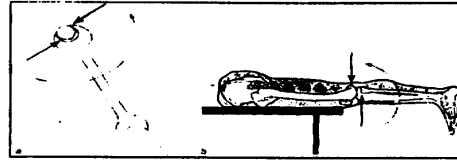
الاصطلاح الآخر المرتبط بعزم القوة هو قوة الازدواج Force couple. تحدث قوة الازدواج عند قوتان متوازيتان متساويتان فى المقدار ومتضامنتان فى الاتجاه تعمل على الجسم. تأثير قوة الازدواج خاصة لأن القوتان متساويتان ولكن مختلفتا الاتجاه لا يحدث انتقال لتأثيرهما عندما

يعملان على الجسم. وعلى أية حال هما يعملان على محاوله إنباح دوران خالص أو عزم (Torque) الجسم فمثلاً : شكل (٣-٣) ينسبب اللف عندما تطبق القوتان المتوازيتان على رأس الصمولة.



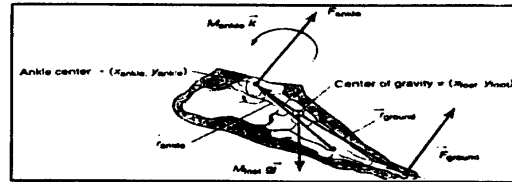
شكل (١-٣)

الرسم البياني الحر (FBD) للقدم يعرض استبدال قوى العضلة بدتها وعزمها المتكافئ حول راس القدم.



شكل (٢-٣)

عرض تقليل للرسم البياني الحر للقوة وعزم القوة الخالصة



شكل (٣-٣)

قوى الازدواج المولدة بواسطة الصمولة وأوتار الركبة



الاهتمام الآخر بخصائص قوة الازدواج، أو باختصار الازدواج، هي أنه عندما يطبق الازدواج على جسم صلب، لا يعتمد تأثيره على نقطة تطبيقه. وهذا مما يجعله عزم حر. ويعنى هذا أن تجريبياً ازدواج الجسم سوف يؤثر بنفس الطريقة حينما طبق الازدواج على طول خط المحور للقوى المتوازية.

الشغل المبذول بواسطة عزم كمية القوة الخالصة يقاس ميكانيكياً الشغل المبذول بواسطة الأنسجة المتباينة التي تعمل عبر وتساهم في تأثير اللف عند المفصل الخاص.

جميع القوى الأخرى، وتشمل قوة الجاذبية تمنع من المسافة في القوة وعزم القوة الخالص.

القوى وعزم القوى الخالص حقيقة غير موجودة. وهى مفاهيم ميكانيكية ولذلك لا يمكن ابدأ قياسها مباشرة. وعلى أية حال هى تمثل مجموع أو التأثير الكلى للمركبات التى تنتج القوى أو عزم القوى عبر أى مفصل. بعض الباحثين مثل ميلر Miller ونيلسون Nelson (١٩٧٤م) سمى مصدر عزم القوة الخالص بالمكافئ الفردى للعضلة " Single Equivalent muscle". وأعتبروا كل منهم أن كل مفصل يمتلك مصدرين لعزم القوة الخالص الذين ينتجا عزم القوة حول كل مفصل - مثل واحد للثنى والآخر للمد- ويعتمد على تشريح المفصل. وباحثين آخرين سموا العزم الخالص للقوة بعزم العضلة (Muscle moments)، ولكن هذه التسمية نتجنبها لأن كل من العضلات الرئيسية تساهم فى العزم الخالص، أيضاً تركيبات أخرى تساهم بخاصة عند نهايات مدى الحركة. يمثل هذه الحالة عندما يصل ثنى مفصل الركبة لأقصاه خلال مرحلة المرجحة فى الوثب. وعرض كل من Lemwaire and Robertson (١٩٨٩م) وآخرون أن

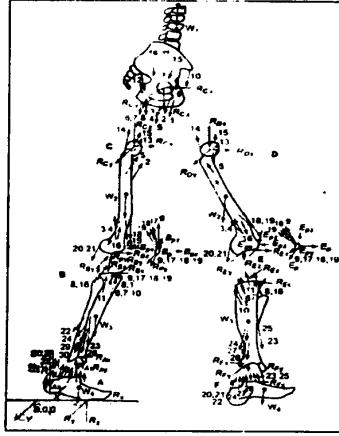
عزم القوة الكبير جداً الذى يتسبب فى حدوث عدم انقباض لامركزى للعضلات المادة: وهذه الحالة تنتج تضاد عمل كل من عضلة الساق والخذ حيث يلقى كل منهما الأخرى.

### ثانياً : تحليل الحركة المستوية : Planar Motion Analysis

الهدف الرئيسى لبحوث الميكانيكا الحيوية هو تحديد الكمية النموذجية للقوة الناتجة عن طريق العضلات، والأوتار والعظام. ولسوء الحظ، يتطلب تسجيل هذه القوى مباشرة (تسمى عملية القياس الديناموميترية) غزو ومخاطر وضع التجهيزات التى حتمياً تعوق ملاحظة الحركة. بعض التكنولوجيا التى تقيس القوى الداخلية تشتمل على إجراء عملية جراحية لقوى العظام. Rolf et al. (١٩٩٧م) ومقاومات الزئبق Brown et al. (١٩٨٦م)، Lamontagne et al. (١٩٨٥م)، وقوة ثنى المحولات من أجل القوى فى العضلة والأوتار والأربطة Komi (١٩٩٠م) بينما هذه الاكتشافات تمكن من قياس المباشر للقوى الداخلية، فقد استخدمت فقط لقياس القوى فى أنسجة مفردة وهى ليست قياسية لتحليل التداخل المعقد لانقباضات العضلة عبر التابع المختلف للمفاصل. يعرض Seureg and Arvikar (١٩٧٥م) فى شكل (٣-٤) تعقيد القوى التى يجب على متخصصى البيوميكانيكا مراعاتها عندما يحاول تحليل ميكانيكا الطرف السفلى. فى الشكل (٣-٥) خطوات العضلات الرئيسية للطرف السفلى عرض رسمها البيانى عن Pierrynowski (١٩٨٢م). من السهل تخيل صعوبة وخطورة المساعدة مع محاولة وصل أى مقياس لكل من تلك الأوتار.

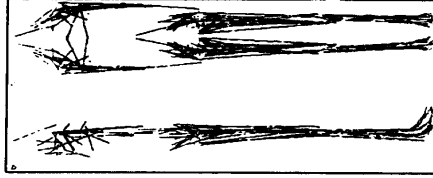
الديناميكا المعكوسة أيضاً عاجزة عن القياس الكمي للقوى فى التركيبات التشريحية المتخصصة وهى قادرة على قياس القوة الخالصة لجميع القوى الداخلية وعزم فعل القوة عبر المفاصل المختلفة. بهذه الطريقة يمكن للباحث

تحمير ما هي القوى الكلية وعزم القوى الضروري لتوليد الحركة والكمية القياسية للشغل الداخلي والخارجي الحادث عند كل مفصل. مجموعة الخطوات التالية التي يجب الاهتمام بها بعناية فائقة هي عملية اقلال التركيبات التشريحية المعقدة لحل مجموعات معادلات القياس الكمي الكينماتيكي غير المباشر لحركات الإنسان أو الحيوانات.



شكل (٣-٤)

الرسم البياني الحر لأعضاء الطرف السفلي خلال المشي



شكل (٣-٥)

خطوط فعل قوى العضلة في الطرف السفلي والجذع،  
(a) منظر أمامي، (b) المنظر الجانبي



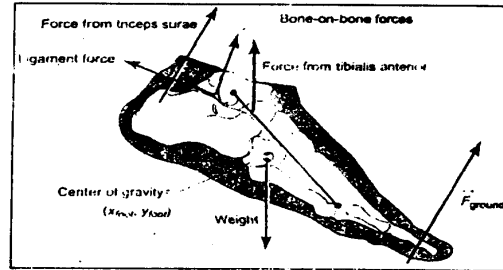
شكل (٦-٣)

(a) المكان. (b) الرسم البياني الحر للجسم على  
(b) القدم خلال الدفع خلال الجرى

يعرض الشكل (٦-٣) المكان والرسم البياني الحر للجسم للطرف السفلى خلال مرحلة الدفع خلال الجرى. يمكن كتابة ثلاث معادلات للحركة لكل عضو في التحليل ذو البعدين، بالنسبة للقدم يمكن حل ثلاث مجاهيل شكل (٧-٣). لسوء الحظ بسبب أن هناك أكثر من ثلاث مجاهيل، تسمى الحالة لانتهائية Indeterminate. يحدث اللانتهائية عندما يكون هناك مجاهيل مستقلة أكثر من الموجودة بالمعادلات. لاقبال عدد المجاهيل يمكن تحليل كل قوة إلى قوتها المكافئة وعزم القوة عند نقطة نهاية العضو تبدأ العملية عند العضو النهائي، مثل القدم أو اليد. حيث أن القوى عند أحد نهاية العضو معلومة أو تساوى صفر. القوة عند أحد نهاية العضو تساوى صفر عندما يكون العضو غير متصل بالبيئة المحيطة به أو بشئ آخر. على سبيل المثال: تجريبياً القدم خلال مرحلة المرجحة خلال خطوة المشى لا توجد قوة عند نهايتها البعيدة، عندما نتصل بالأرض، يجب قياس قوة رد فعل الأرض (GRF) بواسطة منصة القوى مثلاً.

يعرض الشكل (٧-٣) تفاصيل الرسم البياني الحر للجسم (FBD) للقدم في الاتصال مع الأرض. تذكر أن العديد من أنواع القوى العابرة على مفصل القدم تشتمل على قوى العضلة والوتر وقوى العظمة على العظمة، وقوى أخرى تهملها (مثل القوى من الجلد، الكيس، وكبسولة المفصل)، أكثر من ذلك سلم بأن القدم جسم صلب، أيضاً بعض الباحثين تتمذجه على أنه جزئين Cronun and Robertson (٢٠٠٠م)، Stefanyshyn and Nigg (١٩٩٨م). الجسم الصلب هو الشيء الذي لا يتغير شكله بمعنى لا تتحرك أجزائه ويتغير تركيبه. هذه الحالة تتضمن أن خاصية قصوره الذاتي قيمها ثابتة (مثل كتلته، مركز ثقله، توزيع الكتلة ثابت).

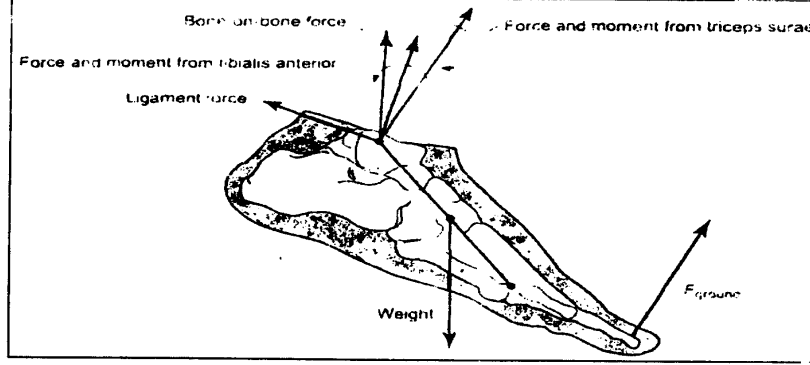
يعرض الشكل (٨-٣) كيفية استبدال قوة العضلة المنفردة بالقوة المكافئة لها وعزم القوة حول المحور المشترك. في هذا المثال، تُبدل القوة العضلية بواسطة العضلة الكبرى للساق الأمامية tibialis anterior muscle على عضو القدم واستبدلت بواسطة قوة مكافئة لها وعزم قوة عند مركز دوران رسغ القدم. بالتسليم بأن القدم جسم صلب القوة  $(\vec{F})$  تعادل في الاتجاه والمقدار لقوة العضلة  $(\vec{F})$  الموقعة عند رسغ القدم.



شكل (٧-٣)

الرسم البياني الحر لجسم القدم يعرض القوى التشريحية

تسبب هذه القوة ( $\vec{F}^*$ ) بعدم اتزان الجسم الحر لذلك نضاف القوة الثابتة ( $-\vec{F}^*$ ) لحدوث التوازن شكل (3-8b). بعد ذلك. اردواج القوة ( $-\vec{F}^*$ ,  $\vec{F}^*$ ) يستبدل بواسطة عزم القوة ( $M_{FK}$ ). القوة وعزم القوة الناتج في شكل (3-8c) يمتلك نفس التأثير الميكانيكي مثل قوة العضلة المنفردة في شكل (3-8a) مع التسليم بأن القدم جسم صلب.



شكل (3-8)

استبدال قوة العضلة بواسطة القوة والعزم المكافئ لها عند محور دوران رسغ القدم.

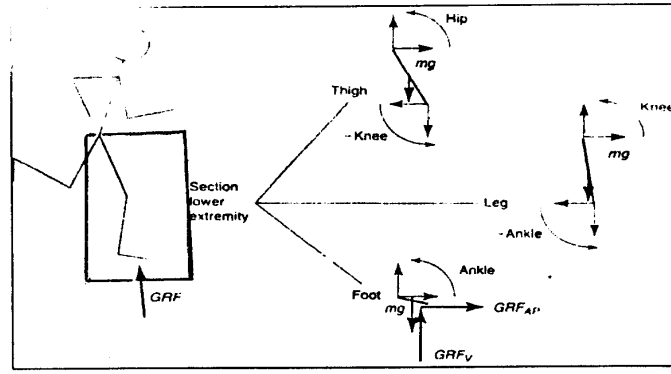
### ثالثاً : الصيغة العددية . Numerical Formulation

يعرض هذا الفصل الطريقة المعيارية في الميكانيكا الحيوية للحساب الرقمي للكيناتيكا الداخلية لحركة جسم الإنسان المستوية. في هذه العمليات، نحن نستخدم البارامترات الأنثروبومترية والكينماتيكية لحساب القوى وعزم القوى الخالص عند المفاصل نوظف هذه العملية ثلاث مبادئ هامة هي:

القانون الثانى لنيوتن ( $\vec{F} = m \vec{a}$ )، مبدأ الأجزاء المتماثلة،  
Superposition Method والتكنيك الهندسى المعروف كطريقة الأجزاء  
.of sections

يتقيد نظام الأجزاء المتماثلة بعوامل متعدد (مثل القوى والعزم)، فى حالات معينة، نحن يمكننا إما جمع تأثير العوامل المتعددة أو نعالجها مستقلة. فى طريقة الأجزاء الفكرة الأساسية هى تخيل تجزئ نظام ميكانيكى إلى مركبات وتحديد التفاعل بينها. على سبيل المثال: عادة نحن نقسم الطرف العلوى لجسم الإنسان إلى الجذع، الرجل، والقدم. عن طريق القانون الثانى لنيوتن، نحن يمكننا تحديد فعل القوى عند المفاصل بواسطة استخدام القيم المقاسة لنظام رد فعل الأرض (GRFs) وعجلة وكتلة كل عضو. هذه العملية تسمى ترابط العضو Linked-segment أو طريقة تفاعل نيوتن-ايولير Interactive Newton- Euler Method وهى موضحة بيانياً فى شكل (١٠-٣). وفيما يلى سوف نشرح كيف تعمل هذه الطريقة. وسوف نبدأ بالتحليل الكينماتيكى للأشياء المنفردة فى البعدين، وعندئذ نفرض أمثلة لتحليل الكينماتيكى للمفصل وفقاً لطريقة الأجزاء، وأخيراً شرح الإجراءات العامة البيانية شكل (١٠-٣) للطرف السفلى الداخلى.

تذكر أننا اتفقنا على التخطيط البيانى فيما يلى هو رسم الباراميترات الخطية بأسهم مستقيمة والباراميترات الزاوية بأسهم منحنية. والبيانات الكينماتيكية المعلومة (العجلات الخطية والزاوية) ترسم بأسهم متقطعة. والقوى المعلومة والعزم يرسم بأسهم سوداء، والقوى المجهولة والعزم يرسم بأسهم منقطعة هذا الاتفاق سوف يساعدك فى رؤية العمليات المحللة.



شكل (٩-٣)

الرسم البياني للطرف السفلي الداخلي للعداء في مرحلة لحظة الارتكاز لنظام الرسم البياني الحر للجسم بثلاث أجزاء

### الحركة المستوية العامة : General plane motion

الحركة المستوية العامة هي اصطلاح هندسي للحركة ذات البعدين. في هذه الحالة، يمتلك أى شئ ثلاث درجات حرية (DOF): وضعين خطيين ووضع زاوى، عادة، نحن نرسمها كانتقال على طول المحورين (Y, X) ودوران حول المحور (Z). كما تم شرحه فيما سبق، يمكن حل كثير من حركات الطرف السفلي باستخدام هذه الأمثلة الممثلة، وتشمل Walking المشى، Running، الوثب Jumping، الضرب Kicking، والرفع Lifting. وعلى أية حال، بالرغم من تبسيط التحليل ذو البعدين، يمكن أن تبقى النتائج معقدة. على سبيل المثال، يمتلك ضرب كرة القدم ثلاث أعضاء في الطرف السفلي وهي تمرجح للأمام كثيراً كالكراباج لركل الكرة ورفعها. تعتبر حركة الكرة معقدة بعض الشيء، حيث أنها تنتقل وتدور فى كلا

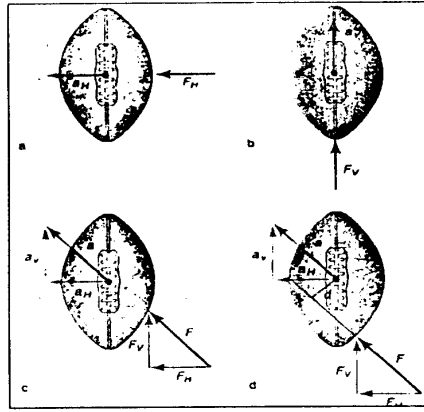


الاتجاهين الأفقي والرأسي. ولتحديد كيناتيكا كل حالة، المبدأ الأساسي هو معاملتها بثلاث درجات حرية مستقلة. لذلك نحن نستغل حقيقة أن أى شئ يتسارع رأسياً فقط عندما يتأثر فقط بالقوة الرأسية ويتسارع فى الاتجاه الأفقى عندما يتأثر بالقوة الأفقية. بالمثل الجسم لا يدور حتى يطبق عليه العزم (Torque) Moment، فى حالات مبدأ الأجزاء المتماثلة عندما يحدث فعل تأثير واحد أو أكثر من تلك التأثيرات يمكننا تحليلها منفصلة. لذلك نحن نفصل كل القوى والعزم إلى ثلاث إحداثيات وتحلل كل منها منفصلة لتمثيل ذلك دعنا نعتبر مثال كرة القدم فى الشكل (٣-١٠) أن هدف ضرب الكرة هو قوة قدم الضارب. تنتقل وتدور الكرة رأسياً وأفقياً. هدفنا هو تحديد القوة التى ضربت بها الكرة لا يمكننا قياس القوة مباشرة بتجهيز الكرة أو القدم. على أية حال يمكننا تصوير حركة الكرة وقياس كتلتها وعزم قصورها الذاتى. بالحصول على هذه البيانات يمكننا استنباط حالات التحليل التالية: القوة المنفردة للقدم المتسببة لتغير جميع الإحداثيات. وعلى أية حال تصبح الحالة أسهل عندما تستخدم الأجزاء المتماثلة. يجب أن تتناسب عجلة مركز ثقل كتلة الكرة فى الاتجاهين الرأسي والأفقى مع القوة المحدث لها. ويجب أن تتناسب العجلة الزاوية مع العزم المحدث لها. بالتأمل فى الأمثلة فى شكل (٣-١٠) (a, b) ليس فقط السابقة بل أيضاً المعروضة كنموذج. فى شكل (٣-١٠) (a) تطبق القوة الأفقية على الكرة خلال مركز كتلتها. وسوف تتسارع الكرة أفقياً ولن تتسارع رأسياً بسبب عدم وجود قوة رأسية. بالمثل فى الشكل (٣-١٠) (b) الكرة سوف تتسارع رأسياً فقط بسبب وجود القوة الرأسية فقط وعدم وجود القوة الأفقية. فى الشكل (٣-١٠) (c) تعمل القوة عند زاوية ٤٥°. هذه بالضبط هى حالات التماثل فى شكل (٣-١٠)

١٠ـ (a)، (٣-١٠b). نحن لن نبحث القوة عند هذه الزاوية، وبالأحرى سوف نقيس العجلة في الاتجاهين الرأسى والأفقى وبعد ذلك يمكننا تحديد القوتين في الاتجاهين الرأسى والأفقى. وفي الشكل (٣-١٠d) تطبيق القوة لا يتجه خلال مركز ثقل الكتلة. في هذه الحالة القوة تكون كما في الشكل (٣-١٠c) حيث عجلة مركز ثقل كتلة الكرة هو نفسه كما في الشكل (٣-١٠c)، وعلى أى حال هناك يوجد أيضاً عجلة زاوية تتناسب مع ناتج ضرب القوة ( $F_i$ ) في المسافة (d) بين خط عملها ومركز ثقل الكتلة. في هذه الحالة العجلة (a) هي نفسها كما في الشكل (٣-١٠c) على أية حال سوف تدور الكرة أيضاً.

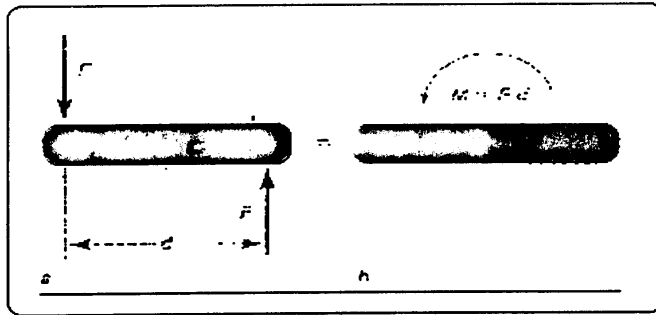
بتكرار القوة المسببة في تسارع مركز ثقل كتلة الجسم فى نفس الاتجاه مثل هذه القوى لا تتسبب في دوران الجسم لأن عزم القوة فقط هو الذى يسبب دوران الجسم. هذه المبادئ مشتقة من القانونين الأول والثانى لنيوتن. إذا ضربت الكرة، نتيجة القوة هي التأثير على الكرة. هذا التأثير هو فعل تسارع الكرة، على أى حال إذا ضربت الكرة خارج مركز كتلتها، يتسبب ذلك في دورانها. تأثير الدوران يتناسب مع المسافة بين خط عمل القوة ومركز ثقل الكتلة.

دعنا نوضح العزم أكثر. لو نظرنا في الشكل (٣-١٠a) يمكن تحديد العزم كتأثير لنظام ازدواج القوة وهو قيمة القوتين المتساويتين والمتضادتين في الاتجاه وعلى خط واحد شكل (٣-١٠a).



شكل (١٠-٣)

أربعة نظم لرسم البياني الحر للجسم (FBDs) لأربعة  
تجارب للقوى الخارجية للكرة



شكل (١١-٣)

(a) قوة الازدواج، (b) الرسم البياني الحر المكافئ له

على أية حال مجموع القوى فى هذا النظام يساوى صفر، ويسبب عدم تواجد القوى على خط واحد، يتسبب ذلك فى دوران الجسم. ويرسم هذا بيانياً بالسهم المنحنى شكل (٣-١١b).

نعود إلى الكرة فى شكل (٣-١٠) هناك يوجد قوة ازدواج فى جميع الأربعة رسوم البيانية الحرة، القوة المطبقة  $F$ ، رد الفعل،  $a$   $m$ ، فى الشكل (٣-١١a) خلال  $c$  قوة الازدواج هذه واقعة على نفس الخط حيث لا يوجد عزم. وعلى أية حال فى الشكل (٣-١١d) القوة ورد الفعل ليس على خط واحد. لذلك يوجد هناك مسافة عمودية بين خط عمل كل من القوة ورد فعل مركز الكتلة، والنتيجة هى العزم الذى يدور الكرة.

دعنا نشكل ما عرضناه من مناقشة. نفترض عملية الرسم البيانى الحر فى البعدي، توظيف القانون الثانى لنيوتن فى الاتجاه الدورانى الأفقى والرأسى وفق المعادلات التالية :

$$\Sigma F_x = m a_x, \Sigma F_y = m a_y, \Sigma M = I \alpha$$

حيث أن  $m$  = الكتلة،  $I$  = عزم القصور الذاتى للشئ فى المعادلة المحدد سلفاً.  $\alpha$  = العجلة الزاوية وتحدد من بيانات التصوير.  $\Sigma$  = مجموع القوى أو العزم.

وأود أن أنوه إلى أن القوى أو العزم يحتوى على مجهول واحد فقط - القوة الخالصة أو العزم - ليحل. لهذا السبب، عادة يجب حل القوتين قبل حل العزم المجهول.

عندما تجمع مجموع القوى والعزم معاً يكون من المهم مراعاة الإشارات المتفق عليها كأساس فى الرسم البيانى الحر للجسم. غالباً تتطلب مشاكل الديناميكا المعكوسة العناية بمراعاة الإشارات السالبة الموجبة وكمثال عرض فى هذا الفصل الأخذ فى الاعتبار الإشارات المتفق عليها عند الرسم.

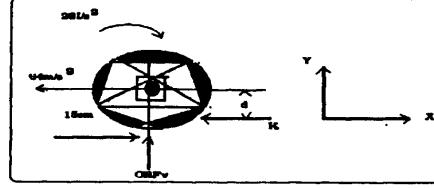
والإشارات ليست مشكلة نظام الرسم البياني الحر للجسم. نحن عادة نرسم القوة أو العزم بمساعدة الاتجاه. في الحقيقة إذا كانت نقاط القوة في الاتجاه العكسي ببساطة نرجع حساباتنا إلى القيم الرقمية السالبة. يجب عند جمع العزم بحسب طول النقطة المنفردة على الشيء في المعادلة. لا يوجد نقطة صحيحة أو خطأ التي حولها نحسب: على أية حال تكون بعض النقاط أسهل من غيرها. إذا جمعنا عزم حول نقطة حيث تعمل قوة واحدة أو أكثر عندئذ عزم تلك القوى يساوى صفر لأن ذراع عزمها يساوى صفر. ومع ذلك في بعض الأحيان في حركة جسم الإنسان، اتفق على الحساب حول مركز المفصل. وعلى أية حال في معظم الحالات نحن نحسب العزم حول مركز الكتلة، وهنا نتجاهل قوة رد الفعل ( $ma$ ) واصطلاح الجاذبية لأن ذراع عزم كل منها يساوى صفر. نحن في هذا المصنف اتفقنا على استخدام أن العزم مع عكس عقرب الساعة Counterclock يكون موجب Positive وأيضاً يسمى قاعدة اليد اليمنى Right hand rule. يؤسس القوة الموجبة اتجاهات النظام الإحداثي لرسم البياني الحر للجسم. عندما نحل أى مشكلة من الرسم البياني الحر للجسم، التكنيك المناسب هو كتابة المعادلات أولاً في صيغة جبرية ومراعاة الإشارات المتفق عليها وبعد ذلك تستبدل القيم الرقمية المجهولة بإشاراتها وتعالج جبرياً. تُعلم هذه الإجراءات فقط عن طريق الأمثلة. لذلك سوف نعرض بعضاً منها فيما يلي :

### أمثلة تطبيقية

المثال الأول :

١- نفترض أن في مثلنا السابق لضرب كرة القدم بالقدم أن مركز كتلتها تحرك أفقياً وكانت عجلته الأفقية - ٨٠ م/ث<sup>٢</sup>، وكانت عجلته الزاوية - ٣٢ زاوية نصف قطرية /ث<sup>٢</sup>، إذا علمت أن كتلة الكرة ٠,٢٦ كجم، وعزم قصورها الذاتي ٠,٠٥ كجم.م<sup>٢</sup>. ما هي قيمة قوة ضربها؟ وما ذراع عزمها؟

الحل



المعطيات :

القوة الرأسية لرد فعل الأرض  $GRF_y = ?$

القوة  $K = ?$

$m = 0.26$  كجم

ذراع القوة  $d = ?$

العجلة الزاوية  $\alpha = -32$  /ث<sup>٢</sup>

$I = 0.05$  كجم.م<sup>٢</sup>

العجلة الخطية  $a = -70$  م/ث<sup>٢</sup>

الحل : سوف نبدأ بحل القوى في الاتجاه الرأسى لأنها سهلة في هذه الحالة

$$\Sigma F_y = m a_y$$

$$GRF_y - mg = ma$$

$$GRF - (0.25 \text{ kg}) (9.81 \text{ m/s}^2) = 0$$

$$GRF_y = 2.45 \text{ kg m/s}^2$$

بنحويل القوة إلى وحدة النيوتن (N)

$$\therefore GRF_y = 24.5$$

رد فعل الأرض = ٢٤,٥ نيوتن.

وهذه نتيجة استثنائية عندما يرتكز وزن الكرة على الأرض. عندما تحل القوة الأفقية K تذكر أن FDB يستخدم لتحديد القوة K حيث إشارتها سالبة لأن نقطتها على الشمال (-x). لذلك نحن نحسب القوة K الموجبة ونعني أن القوة تعمل في اتجاه الرسم في FBD.

$$\Sigma F_x = m a_x$$

$$- K = m a_x$$

$$-k = 0.25 \text{ kg } (-70 \text{ m/s}^2)$$

$$k = 17.5 \text{ kg m/s}^2$$

$$k = 175 \text{ N}$$

كمعيار في مشاكل حركة جسم الإنسان، نحن نحسب العزم حول كتلة الكرة. يعرض نظام الرسم البياني الحر للجسم أن هناك قوة واحدة فقط K التي تعمل بعيداً عن مركز ثقل كتلة الكرة ويساوي عزمها الناتج Kd. نحن نكتب هذا الاصطلاح أسفل ثم نضع الإشارة السالبة أمامه لأن هذا العزم يسبب تأثير عكسي عقرب الساعة (سالب) تخيل أن نقطة مركز الكتلة ثابتة وتدور حولها القوة K في اتجاه عقرب الساعة

$$\Sigma M = I \alpha$$

$$-k (d) = I \alpha$$

$$(-175 * d) = 0.05 * 32$$

$$d = \frac{0.05 * 32}{175} = 0.010 \text{ m.}$$

هذه المسافة سالبة تعني أن الكرة ضربت من أسفل مركز ثقلها. غالباً FBD هو نفسه كما في المثال السابق، فيما عدا إضافة القوة الأفقية (قوة المشط). تذكر أن قوة المشط إشارتها سالبة بسبب أن نقاطها

شمال (-x).

لذلك نحن نحسب القوة K الموجبة ويعنى ذلك أن القوة تعمل فى الاتجاه المرسوم فى FBD<sub>1</sub>.

$$\Sigma F_x = m a_x$$

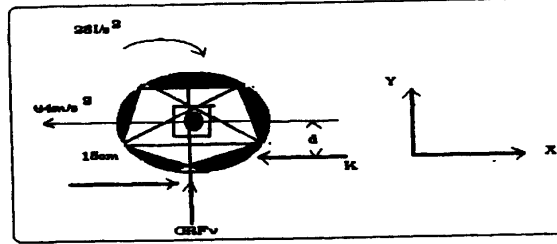
$$-k + F_T = m a_x$$

$$-k + 0.4 = (0.25\text{kg}) (-70\text{m/s}^2) = 17.5 \text{ kg m/s}^2$$

$$k = 0.4 + 17.5 = 17.9 \text{ kg m/s}^2$$

$$k = 179 \text{ N}$$

وهذه نتيجة منطقية : قوة الضربة كانت مجموع قوة مشط الرجل ورد فعل الكرة.



عند جميع العزم حول مركز الكتلة، تذكر أن عزم القوة K كان سالباً، كما من قبل، ولكن عزم القوة F<sub>T</sub> كان موجباً.

$$\Sigma M = I \alpha$$

$$-k(d) + F_T (0.15\text{m}) = I \alpha$$

$$d = \frac{(0.05\text{kg m}^2)(-32\text{rad/s}^2) - 0.4(0.15\text{m})}{17.5\text{kg m/s}^2}$$

$$= -0.0770 \text{ m}$$

هذه القوة كانت أسفل الكرة فى هذه اللحظة.



#### رابعاً : طريقة الأجزاء : Method of sections

عادة يركز التحليل الهندسى لصيغ الميكانيكية المعيبة الاحتواء على العدد المحدد لمفاتيح التركيب. فمثلاً: لتثبيت قضبان السكة الحديد نحن ندرس عادة النقاط التى تربط القطع المختلفة ببعضها البعض. هذه الحقيقة تتبعها عندما تحلل كيناتيكا حركة جسم الإنسان بينما نحن لا نشغل أنفسنا بالرسم التفصيلى الكامل للقوى والعزم خلال الجسم، إلا أننا نفضل دراسة النقاط الخاصة للجسم- المفاصل أكثر انتشاراً. لذلك نحن نقسم الجسم عند المفاصل ونحسب ردود الفعل بين الأعضاء المتجاورة التى تحفظها من الطيران كأجزاء. تلك القوى والعزم عند المفاصل المقسمة مجهولة. لذلك، عند تركيب رسمنا البيانى الحر (FBD)، يجب علينا رسم رد فعل كل من درجات الحرية (DOF)- وهى كالقوة الأفقية، وكالقوة الرأسية وكالعزم. فى بعض الحسابات من الممكن أن تكون واحدة أو اثنين منها مقدارها صفر، ولكن طريقة الأجزاء تتطلب أن يكون كل منها رسم وحل لأنها مجهولة.

وتوضح طريقة التجزئة فيما يلى :

- ١- نتصور فصل الجسم عند المفصل قيد الدراسة.
- ٢- نرسم النظام البيانى الحر للقطعة المقسمة.
- ٣- نرسم عند النقطة المقسمة لكل قطعة رد الفعل المجهول الرأسى والأفقى والعزم الخالص والاتجاهات الموجبة المميزة للنظام الإحداثى الشامل (GCS).
- ٤- نرسم عند النقطة المقسمة لكل قطعة القوى والعزم المجهول فى الاتجاهات السالبة للنظام الإحداثى الشامل (GCS). وهذا هو القانون الثالث لنيوتن.
- ٥- حل الثلاث معادلات للحركة لكل قسم من الأقسام.

### خامساً تحليل العنصر المنفرد . Single segment analysis

فى جميع الحالات، ربما ركزنا على أحد القطع المقسمة. دعنا نبدأ بأى مثل وبعد ذلك نتبعه بالمثل الكامل.

#### أمثلة تطبيقية

المثال الرابع :

اعتبر أن الذراع ثبت أفقياً. ما هو رد فعل قوى وعزم مفصل الكتف؟ مع التسليم بأن الذراع صلب وثابت. وزن العضلة، والساعد واليد على التوالي ٤ ثقل كجم، ٣ ثقل كجم، ١ ثقل كجم. وبعد مركز ثقل كتلتهم عن الكتف على التوالي ١٠ سم، ٣٠ سم، ٤٢ سم.

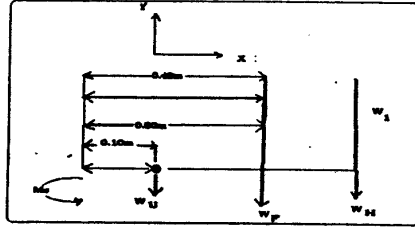
المعطيات :

وزن العضد = ٤ كجم.م/ث<sup>٢</sup> ، ووزن الساعد = ٣ كجم.م/ث<sup>٢</sup> ،  
وزن اليد = ١ كجم.م/ث<sup>٢</sup> ، ذراع العضد = ١٠ سم، ذراع الساعد = ٣٠ سم،  
ذراع اليد = ٤٢ سم.

المطلوب : رد فعل قوى وعزم مفصل الكتف

الحل

فى هذه الحالة الذراع ثابت لا يتحرك وهى حالة استاتيكية (ثابتة) لذا نحن فى حاجة إلى تقسيم الذراع عند الكتف ونحلله لقطعة واحدة. وحيث أن هذه الحالة هى حالة ثابتة إذن اصطلاح كل من  $\alpha$ ،  $ma$ ،  $I\alpha$  تساوى صفر. لتركيب الرسم البياني الحر (FDB)، تقسم الذراع ونرسم الثلاث مجاهيل عند مفصل الكتف وترسم أيضاً وزن كل من العضد والساعد واليد كما يلى :



لحل الثلاث مجاهيل تستخدم المعادلات التالية :

$$\Sigma F_x = m a_x$$

$$S_x = 0 \text{ N}$$

$$\Sigma F_y = m a_y$$

$$S_y - W_u - W_F - W_H = 0$$

$$S_y = W_u + W_F + W_H$$

$$S_y = (4\text{kg}) (9.81\text{kg m/sec}^2) + (3\text{kg}) + (9.81\text{ kg m/sec}^2) + (1\text{kg}) (9.91\text{ kg m/sec}^2)$$

$$S_y = 78.5 \text{ N}$$

تتفق في هذا المثال لحساب العزم حول الكتف. مرة أخرى، أول

إجراء تكتب نواتج القوى والمسافات وعندئذ ننشأ إشارة كل عزم.

$$\Sigma M_z = 0$$

$$M_s - W_u (0.10\text{m}) - W_F (0.30\text{m}) - W_H (0.42\text{m}) = 0$$

$$M_s = W_u (0.10\text{m}) - W_F (0.30\text{m}) - W_H (0.42\text{m})$$

$$M_s = (4\text{kg}) (9.81) (0.10\text{m}) + (3\text{kg}) (9.81) (0.30\text{m}) + (1\text{kg}) (9.81) (0.42\text{m}) = 16.9\text{N}$$

المثال الخامس :

تفترض أن اليد تحمل وزن ٢ كجم، ما هو رد فعل قوى مفصل

الكتف والعزم؟

المعطيات :

وزن اليد  $W_H = ١ \text{ كجم م/ث}^٢$  ، وزن الساعد  $W_F = ٣ \text{ كجم م/ث}^٢$

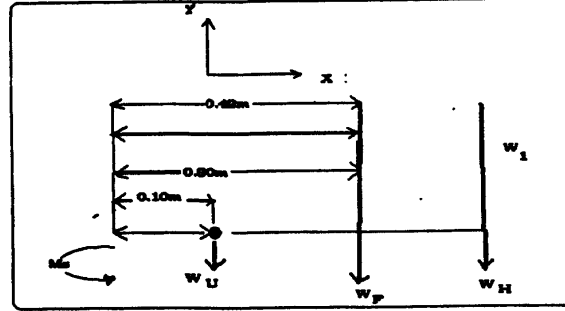
وزن العضد  $W_u = ٤ \text{ كجم م/ث}^٢$

ذراع اليد = ٤٢سم، ذراع الساعد = ٣٠سم، ذراع الصد = ١٠سم

المطلوب : رد فعل قوى وعزم مفصل الكتف؟

الحل

ترسم نفس الرسم البياني الحر للجسم في المثال الرابع مع مراعاة أن تضيف الوزن التي تحمله اليد  $W_1$ .



نحل الثلاث مجاهيل :

$$\Sigma F_x = m a_x$$

$$S_x = 0.0 \text{ N}$$

$$\Sigma F_y = m a_y,$$

$$S_y - W_u - W_F - W_H - W_1 = 0$$

$$S_y = W_u + W_F + W_H + W_1$$

$$S_y = (4\text{kg})(9.81 \text{ m/sec}^2) + (3\text{kg})(9.81 \text{ m/sec}^2) + (1\text{kg})(9.81 \text{ m/sec}^2) + (2\text{kg})(9.81 \text{ m/sec}^2)$$

$$S_y = 9.81 \text{ N}$$

ذلك هو تغير الحساب (بالمقارنة بالمثال الرابع) بحوالى ٢٠ نيوتن.

مرة أخرى إذا جمعنا العزم، نحن أولاً نكتب أسفل كل عزم، إنشاء

إشارته.

$$\Sigma M = 0$$

$$M_s - W_u(0.10\text{m}) - W_F(0.30\text{m}) - (W_H + W_1)(0.42\text{m}) = 0$$

$$\begin{aligned}
M_s &= (n_1) (0.10m) + W_F (0.30m) + (W_H + W_1) \\
&\quad (0.42m) \\
M_s &= (4kg) (9.81m/s^2) (0.10m) + 3kg (9.81 m/s^2) \\
&\quad (0.30m) + (1kg + 2kg) (9.81m/s^2) (0.42m) \\
&= 25.1 N.m
\end{aligned}$$

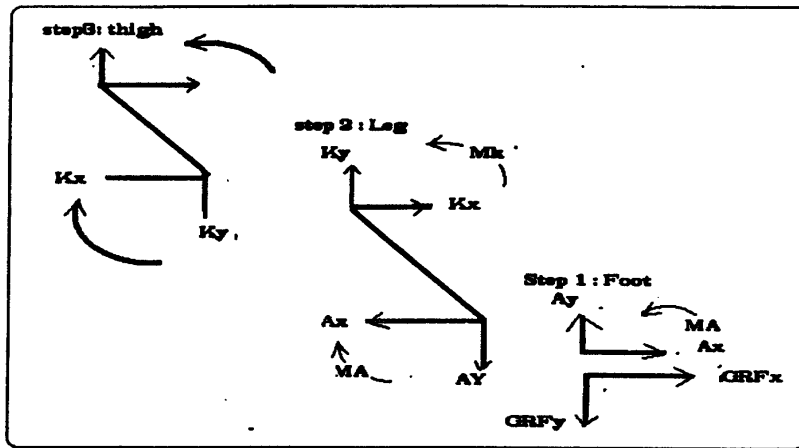
#### سادساً : التحليل العضوى المتعدد : Mutlisegmental analysis

لإتمام تحليل عضو جسم الإنسان اتبعت إجراءات استخدمت فى الأمثلة السابقة. نحن بسهولة صغنا عمليات الحل. هذه العمليات امتلكت ترتيبات خاصة: بدأنا عند معظم الأعضاء البعيدة واستمررنا فى التقريب. السبب فى ذلك لأننا امتلكننا فقط ثلاث معادلات لتطبيق لكل عضو، حيث يعنى ذلك أن لدينا ثلاث مجاهيل فقط لكل عضو. قوة أفقية واحد، وقوة رأسية واحد وعزم واحد. على أى حال، يمكن رؤية ذلك (إذا رجعنا للشكل ٣ - ١٠ إذا كان ضرورياً) إذا أردنا أن نقسم وتحليل كلا الفخذ أو الرجل، حيث سيكون لدينا ست مجاهيل - قوتان وعزم لكل مفصل. يكون الحل هو البدء بالعضو الذى يمتلك مفصلاً واحداً (مثل الأكثر بعداً) ومن هناك نواصل للعضو المجاور. من أجل ذلك نستخدم قانون نيوتن الثالث، تطبق ردود الفعل السالبة للعضو والتى حلت بالضبط، كما هو فى الطرف السفلى فى شكل (٣-١٢). بالنسبة لأعضاء الطرف السفلى القم أساساً تمتلك ثلاث مجاهيل فقط، حيث تحلل هذا العضو أولاً. تذكر كيف تمتلك الأفعال على رسغ القدم ردود أفعال متساوية وعكسية على الرجل. حيث يمكننا حساب ردود الأفعال المجهولة عند الركبة. ترسم تلك فى عكس فى الرسم البيانى الحر للجسم بالنسبة للفخذ. وعندئذ تحل من أجل ردود فعل المقعدة.

وآخر الايضاحات الهامة الأخيرة حول هذه العملية هى أن إشارة كل قيمة عددية لا تتغير من عضو إلى آخر. وفقاً لقانون نيوتن الثالث لكل فعل

رد فعل مساوى فى المقدار ومضاد فى الاتجاه. عند ذلك، عند المفاصل يجب أن تكون القوى عند نهاية العضو البعيدة مساوية ومضادة لتلك القوى على النهاية القريبة للعضو المجاور. على أية حال نحن لا نغير الإشارات أبداً للقيم العددية. يؤخذ فى الاعتبار هذا فى نظام الرسم البيانى الحر للجسم (FBDs) تذكر أنه فى الشكل (٣-١٢) يكون رسم قوى وعزم الركبة فى اتجاهات عكسية. تتبع الإجراءات السابق عرضها، أولاً بناء المعادلات من أجل أى عضو من الرسم البيانى الحر للجسم بدون الوضع فى الاعتبار القيم العددية. بعد بناء المعادلات، تستبدل القيم العددية بإشارتها فى تلك المعادلات. تذكر كيف تتم هذه العملية فى الأمثلة التالية.

نحن نجهز مثال لحسابات كل مراحل واضحة لحركة جسم الإنسان، المرجحة والوضع. عندما تحل كيناتيكا مرجحة العضو، تكون دائما العملية بالضبط هى نفسها كما فى الوضع. والاختلاف الوحيد فى ذلك هو أن (GRFs) يساوى صفر، ولذلك يمكننا تجاهل اصطلاحاتها فى معادلات الحركة. الإجراءات التالية تشير حقيقة للحسابات التى تحصل عليها فى قواعد الحاسب الآلى من أجل بيانات الكادر الواحد.



شكل (١٢-٣)  
FBDs لأعضاء الطرف السفلى

### أمثلة تطبيقية

حدد رد فعل القوى والعزم عند رسغ القدم، الركبة، والمقعدة  
المأخوذة من البيانات التالية للأداء خلال مرحلة المرجحة للمشي حيث أن  
GRFs يساوى صفر.

نراع العزم	العجلة الزاوية (°/ث)	العجلة الرأسية (°/ث/م)	العجلة الأفقية (°/ث/م)	القصور الذاتى (كجم.م/ث)	الكتلة (كجم)	
(م)						
(٠,١١٧, ٠,٣٧٣)	٥,١٢	٦,٧٧	٤,٣٩-	٠,٠١١	١,٢	القدم
(٠,٣٢٠, ٠,٤٤٣٧)	٢,٧٥	٢,٧٥	٤,٠١-	٠,٠٦٤	٢,٤	الرجل
(٠,٦١٦, ٠,٥٧٣)	١,٢١-	١,٢١-	٦,٥٨	٠,١٣٠	٦,٠	الفخذ

رسغ القدم عند (٠,٣٠٣, ٤٠,١٨٩ متر، الركبة عند (٠,٥٣٩, ٠,٤٢٠  
متر)، المقعدة عند (٠,٦٠٠, ٠,٧٦٠ متر).

المعطيات :

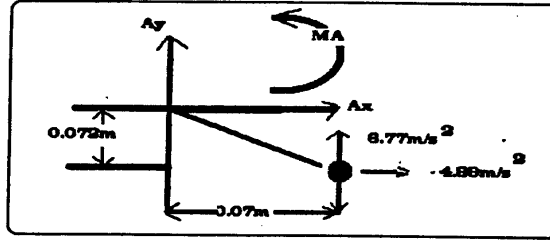
كتلة القدم = ١,٢ (كجم)، كتلة الرجل ٢,٤ كجم، كتلة الفخذ ٦,٠ كجم،  
القصور الذاتى للقدم = ٠,٠١١ كجم.م، القصور الذاتى للرجل = ٠,٠٦٤  
كجم.م، القصور الذاتى للفخذ (المقعدة) = ٠,١٣٠ كجم.م، عجلة القدم  
الأفقية = -٤,٣٩ م/ث، عجلة الرجل الأفقية = -٤,٠١ م/ث، عجلة الفخذ  
الأفقية = ٦,٥٨ م/ث، عجلة القدم الرأسية = ٦,٧٧ م/ث، عجلة الرجل  
الرأسية = ٢,٧٥ م/ث، عجلة الفخذ الرأسية = ١,٢١ م/ث، العجلة  
الزاوية للقدم = ٥,١٢ °/ث، العجلة الزاوية للرجل = ٢,٧٥ °/ث، العجلة  
الزاوية للفخذ = ١,٢١ °/ث، إحداثيات C.m للقدم = (٠,٣٧٣, ٠,١١٧)  
متر، إحداثيات C.m للرجل = (٠,٤٤٣٧, ٠,٣٢٠) متر، إحداثيات  
C.m للفخذ = (٠,٥٧٣, ٠,٦١٦) متر.



المطلوب : رد فعل القوى والعزم عند رسغ القدم، الركبة، والمقعدة (الفخذ)؟

الحل

FBD للقدم :



الحل لقوى رد الفعل :

$$\Sigma F_x = m a_x :$$

$$A_x = m_F a_F$$

$$A_x = (1.2\text{kg}) (-4.39 \text{ m/s}^2) = -5.27\text{N}$$

$$\Sigma F_y = m_y :$$

$$A_y - m_F g_F = m_F a_F$$

$$A_y = m_F g_F + m_F a_F$$

$$A_y = (1.2\text{kg}) (9.8\text{m/s}^2) + (1.2\text{kg}) (6.77\text{m/s}^2) = 19.9\text{N}$$

بسبب صغر كتلة القدم، تكون ردود الفعل صغيرة.

من اجل حل عزم مفصل القدم، نحن نجمع العزم حول مركز الكتلة. هناك

ثلاث عزم، عزم القدم  $M_A$  وهو موجب. عزم قوى رد الفعل كلاهما سالب

لدورانها مع عقرب الساعة حول مركز الكتلة

$$\Sigma M = I \alpha.$$

$$M_A - A_x (0.072\text{m}) - A_y (0.070\text{m}) = I_F \alpha_F$$

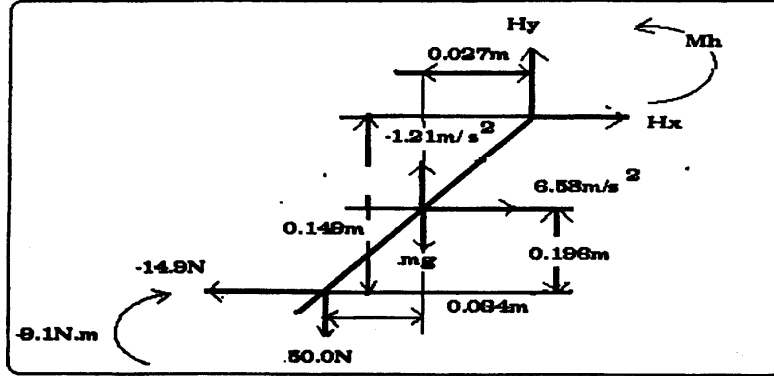
$$M_A = A_x (0.072\text{m}) - A_y (0.070\text{m}) + I_F \alpha_F$$

نحن الآن نبذل القيم العددية لرد فعل القوى  $A_x$  و  $A_y$  بين قوسين حيث أننا

نراعى إشاراتها.

$$M_A = (-5.27\text{N})(0.072\text{m}) + (19.9\text{N})(0.07\text{m}) \\ + (0.011\text{ kg}\cdot\text{m}^2)(5.12\text{ rad/s}^2) \\ M_A = 1.1\text{ N}\cdot\text{m}.$$

هذا عزم صغير جداً للمفصل. أيضاً جوهرياً هو صفر، لأنه موجب فهو عزم تثنى بعيد عن المحور بالتسليم بأن الشخص مواجه لليمين. الرسم البياني الحر للرجل كما يلي : تذكر أننا نوضح القيمة العددية لردود فعل القدم في هذا الرسم مع استبقاء إشاراتها الأصلية.



$$\Sigma F_x = m a_x \\ k_x - A_x = m_F a_F \\ k_x = A_x + m_F a_F \\ k_x = -5.3\text{N} + (2.4\text{kg})(-4.01\text{m/s}^2) = -14.9\text{N} \\ \Sigma F_y = m a_y \\ k_y - A_y - m_F g = m_F a_F \\ k_y = A_y + m_F g + m_F a_F \\ k_y = 19.9\text{N} + (2.4\text{kg})(9.81\text{m/s}^2) + (2.4\text{kg})(2.75\text{m/s}^2) \\ = 50.0\text{N}$$

عند تجمع عزم الرجل ننكر أن عزم القوى الرأسى (Y) موجب، بينما عزم القوى الأفقى (X) سالب.

$$\Sigma M = I \alpha$$

$$M_k - M_A - k_x (0.100m) + k_y (0.102m) - A_x (0.131m) + A_x (0.131m) + A_y (0.134m) = I_F \alpha_F$$

$$M_k = M_A + k_x (0.100m) - k_y (0.102m) + A_x (0.131m) + A_x (0.131m) - A_y (0.134m) + I_F \alpha_F$$

تذكر أننا نستبدل مرة أخرى القيم العددية لقوى رد الفعل بين القوسين لتوضيح إشارتها :

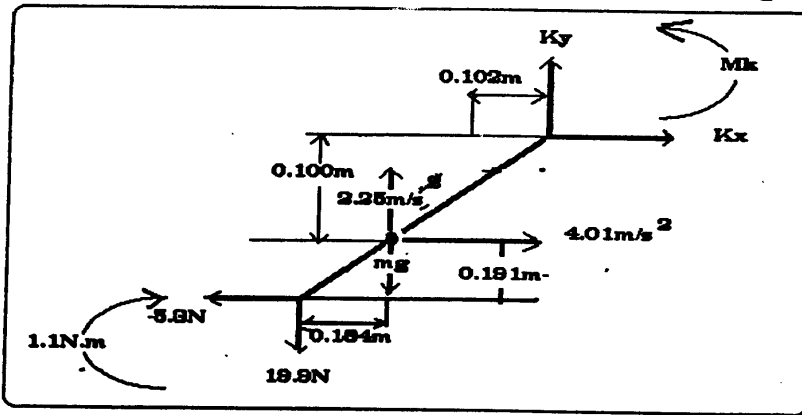
$$M_k = 1.1N.m + (-14.9N) (0.100m) - (50.0N) (0.102m) + (-5.3N) (0.131m) - (19.9N) (0.131m) + (0.064 \text{ kg/m}^2) (-3.08\text{rad/s}^2)$$

$$M_k = -9.1 \text{ N.m}$$

هذا عزم صغير لثنى الركبة، بالتسليم بأن الشخص مواجه لليمين.

الرسم البياني الحر للفخذ كما يلي :

تذكر مرة أخرى توقيع القيم العددية لردود فعل الركبة في هذا الرسم البياني بنفس إشاراتها التي حسبت بها.



$$\Sigma F_x = m a_x$$

$$H_x - k_x = m_t a_t$$

$$H_x = k_x + m_t a_t$$

$$M_x = -14.9N + (6.0kg) (6.58m/s^2) = 24.6N$$

$$\Sigma F_y = m a_y$$

$$H_y - k_y - m_t g = m_t a_t$$

$$H_y = k_y + m_t g + m_t a_t$$

$$H_y = 50.0N + (6.0kg) (9.81m/s^2) + (6.0kg) (-1.21m/s^2) = 101.6N$$

$$\Sigma M = I \alpha$$

$$M_H - M_k - H_x (0.149m) + H_y (0.027m) - k_x (0.196m) + k_y (0.034m) = I_t (\alpha_t)$$

$$M_H = M_k + H_x (0.149m) + H_y (0.027m) - k_x (0.196m) + k_y (0.034m) = I_t (\alpha_t)$$

$$M_H = -9.1N.m + (24.6N) (0.149m) - (101.6N) (0.027m) + (-14.9N) (0.196m) - (50.0N) (0.034m) + (0.130kg/m^2) (8.62rad/s^2)$$

$$M_H = -11.7 N.m$$

حيث أن النتيجة سالبة، هي عزم المادة للمقعدة (الفخذ)، مع التسليم بأن الفرد مواجه لليمين.

### سابعاً : كيناتيكا مفصل الإنسان : Human Joint Kinetics

ما حقيقة تلك القوى والعزم التي تحسبها بالضبط؟ الإجابة التي أعطيناها مبكراً في هذا الفصل تستحق أن تراجعها: تمثل القوى والعزم مجموع ردود فعل كل تركيبات المفصل. انتشار الأخطاء جعلتنا نفكر في رد فعل قوى المفصل كقوة على الأسطح المتمفصلة للعظمة وعزم المفصل كتأثير للعضلة المنفردة. وترجمة ذلك يكون خطأ بسبب أن أكثر استخلاص رد فعل القوى والعزم هي مجموع التأثيرات الخالصة. ونحن حسبناها في المثليين السابقين بالقياس النسبي بالمقارنة لجهود الثلاث مفاصل للأطراف

السفلى فى ناتج الحركة والقوى التى قيسـت. وليس لنا أى تقديرات لأنشطة العضلة ذات الثلاث رؤوس الفخذية، وفوق ذات الرأسين الفخذية أو أى عضلة أخرى. وليس لنا أى تقديرات للقوى على الأسطح المفصالية أو أى تركيب تشريحي آخر. دعنا نشرح هذا تفصيلياً.

كما أشار الشكل (٣- ٢ ١) إلى أن الكثير من تعقيد وتر العضلة، الأربطة Ligaments، والدعمات الأخرى لتركيبات كل مفصل. نحن لا نغالى فى التأكيد بأنه لا يمكن مناقشة رد فعل القوى والعزم بدون الرجوع لتركيبات التشريحية. هناك أسباب متعددة لذلك. ردود فعل المفصل المتساوية ربما تُحمل عن طريق التركيبات المختلفة تماماً. بدراسة مفصل مرفق لاعب الجماز كمثال : عندما يتعلق على الحلق، يهدف المرفق لشد القوة التى يجب أن تولد عن طريق الأوتار، الأربطة، والتركيبات الأخرى المقاطعة للمرفق. وعلى عكس ذلك عندما يؤدى لاعب الجماز وضع الوقوف على اليدين، يمكن أن تكون الكثير من هذه التركيبات مسترخية لأن كثير من التحميل يتبدل على التمثيل الغضروفي.

من التحليل الجزئي السابق عرضه فى هذا الفصل، يمكننا حساب رد فعل قوى المفصل المضاد والمتعادل فى كل حالة- كلاهما سوف يساوى نصف وزن الجسم ناقص وزن الساعدين. على أى حالة، توزيع القوة حول تركيبات المفصل تأمة الاختلاف فى تلك الحالات.

فى حالة وجود قوى أكثر من التى فى المعادلات يطلق على هذه الحالة غير محددة استاتيكيًا. بلغة المستوى، هى الحالة التى فيها نعرف الحل الكلى على أى نظام، ولكن لا نستطيع تحديد مساهمة الحمل بدون إعتبار الخصائص الخاصة لتحميل حمل التركيبات. وهذا مشابه لأى هدف صعب. لتحريك مجموعة أشياء مثل البيانو Piano: نحن نعلم أننا نحمل الوزن الكلى

على البيانو، ولكن بدون منصة القوة تحت كل رقيقة منفردة، لا يمكننا معرفة كم الوزن الذي يولده كل شخص.

مثل آخر نضعه في الاعتبار، وقفة الإنسان مع استقامة الأطراف السفلية. نحن نحسب أى رد فعل لقوة المفصل عند الركبة. مع التسليم بأن مساهمة وزن الأطراف متساوية، يعادل رد فعل قوة الركبة نصف وزن الجسم ناقص وزن الرجل والقدم. إذا سألنا الفرد تثبيت مسار عضلاته بقدر المستطاع، لا يتغير رد فعل قوى المفصل. وعلى أية حال سوف يزيد التوتر في الأوتار كقوى ضغط على العظام. يتعادل التغير ولكنه متضاد، لذلك لا يظهر نفسه كقوة خارجية ويتقرر رد فعل قوة المفصل.

قبل مناقشة نماذج عزم المفصل خلال حركات جسم الإنسان، وضحت حدود تلك القياسات. وكان الهدف في المناقشة السابقة تبسيط رسم الخطوط لحدود كرات المفصل. وقد حدث ذلك، ونوقشت تلك البيانات بطريقة مناسبة.

#### التقييد : Limitations

علاوة على التقييد الجوهري لمناقشة كينماتيكا البعدين في الفصل الثاني، هناك تقييدات أخرى عديدة في تحليلنا السابق لكينماتيكا البعدين. لم يوضع في الاعتبار تأثير الاحتكاك وتركيبات المفصل. أصبحت توترات الأربطة مرتبطة جداً لتحديد مدى المفاصل، وكذلك العزم الممكن حدوثه عندما تنشط العضلات. أيضاً بينما يكون احتكاك العضلات في مفاصل الأشخاص صغار السن صغير جداً، لا يحدث ذلك غالباً في المفاصل المرضية كحالة خاصة يفضل الاطلاع على Mansor and Audu (١٩٨٦م)، Audu and Davy (١٨٨م)، أو McFaull and

Lamontagne (١٩٩٣م)، (١٩٩٨م). تم التسليم بأن الأعضاء صلبة. وعندما لا يكون العضو صلب فهو يضغط القوى التي تنطبق عليه. هذه هي قاعدة نظم التعطيل المؤقت للسيارة: قوى اللباد بواسطة الماسك تكون أقل من تلك اللباد بواسطة الإطارات على الطريق. أعضاء جسم الإنسان على الأقل لها طول عظمة كامل واحد مثل الفخذ والرجل وهي صلبة وتنقل القوى جيداً. وعلى أية حال تكون القدم والجذع مرنة وهي دليل جيد على أن الحسابات العزم المعروضة لتركيبها غير دقيقة. مثال: في القدم الأربطة المتباينة عند لتحقق GRFs. وهي من أجل هذا السبب أن المشى حافى القدمين على أرض صلبة يميل إلى المشى على مقدمة القدم : تركيب عظم العقب- الكاحل أكثر صلابة من مقدمة القدم.

الموديل المعروض حساس لمداخلته. تؤثر على بيانات عزم المفصل الأخطاء في GRFs، وأوضاع العلامات، وخصائص القصور الذاتي للعضو، وتقدير مركز المفصل، وعجلة العضو. بعض هذه المشاكل أقل دلالة إحصائية من الأخرى. على سبيل المثال: يميل خلال الحركة GRFs لمجال مرحلة الوضع الكيناتيكي وقياسه بدقة لمنع فاعلية مشاكل الدقة. على أية حال خلال مرحلة المرجحة للحركة، تكتيكات المعالجة وتقديرات القياسات الجسمية تكون معنية. اطلع على Pezzack et al. (١٩٧٧م)، Wood (١٩٨٢م)، أو Wittlesey & Hamill (١٩٩٦م) للحصول على معلومات أكثر. حقيقة مقارنات اختلاف دراسات العزم غير مناسبة، نحن نوصى بالمساح كحد أدنى نسبة خطأ ١٠%.

لا يمكن تحديد الفروق الفردية لنشاط العضلة من عرض النموذج. نحن حتى الآن لا نعرف التبسيط في أي عضلة لأن فعل العضلة يمثلها العزم. أكثر من ذلك نحن حتى الآن لا نعرف عزم العضلة المنفرد لأن

العديد من العضلات والأربطة وتركيبات أخرى تعبر كل مفصل. تقدر قوى العضلة باستخدام تكتيكات الهيكل العضلي تناقش فيما بعد. فيما يتعلق بأهمية ذلك أن انقباض العضلات يحدث بالضرورة في جميع حركات جسم الإنسان. كمثال لذلك، إذا انخفضت حركات المد تحت أى ظرف معين، نحن لا نعرف أين يحدث الانخفاض بسبب انخفاض نشاط العضلة الرباعية أو زيادة نشاط مجموعة أوتار الركبة. وكمثال آخر، طلب من الفرد أن يثبت في الوقوف مستقيماً، سوف تمتلك عضلات طرفه السفلى عزم مساوى للصفر تماماً حتى يفكر في تنشيط عضلاته كلياً، تعمل أفعاله بعضها ضد البعض. لم تمثل عضلات المفصلين جيداً عن طريق النموذج المعروض. بالرغم أن حسابات عزم المفصل اشتملت على عزم عضلات المفصلين، سلم بأن حساب الفعالية للعضلات العابرة للمفصل فقط. مرة أخرى، هذه هي المشكلة التي عنوانت فيما بعد تحت عنوان نماذج الهيكل العضلي.

يتطلب الشخص المعتبر تفسير مختلف عن الأشخاص الآخرين. فمثلاً، يمكن قياس عزم الأعضاء التعويضية عندما تكون الرجل والقدم مفردة، كقطعة صلبة صغيرة. تمتلك الركبة التعويضية إيقاف لمنع المد الزائد والمكونات الأخرى. كما في الوثبات واحتكاك العناصر، للتحكم في حركتها ذلك يتسبب في أن عزم الركبة الصناعية يختلف كلياً عنه في الفرد العادى. أيضاً لمثل التركيز على التطبيق للأفراد بالدعامات. كان شعور لاختيار أجزاء هذا المصنف لعرض تفسير عزم المفاصل بعد هذه المناقشة للمتقيدات.

ليس بيانات متقيدات النموذج غير متاح ولكنها تحدد اتساع التفسير. نذكر في المناقشة التالية حيث لا مراجعة جعلت للعضلات الخاصة أو



مجموعات العضلة والتي اختلفت قمم فيها مرجعيتها لا ترجع لأقل من ٠.١ لكل نيوتن.متر.

#### ثامناً : طريقة الحركة النسبية مقابل طريقة الحركة المطلقة :

Relative motion method vs. absolute motion method

عرضت المعادلات السابقة طريقة حساب القوى الخالصة والعزم  
سمى بلاجنهوف Plagenhoef (١٩٦٨م)، (١٩٧١). هذا المدخل طريقة  
القوة المطلقة لديناميكا المعكوسة لأن البيانات الجزئية الكينماتيكية أسست  
على الرجوع لكادر مطلق أو ثابت. المدخل البديل المختصر عن طريق  
بلاجنهوف هو طريقة الحركة النسبية هذه الطريقة تقيس كمياً حركة العضو  
الأول للسلسلة الكينماتيكية من الرجوع للكادر المطلق، ولكن ترجح جميع  
الأعضاء لمحاوَر التحرك التى تدور مع العضو. لذلك، يتحرك كل محور  
عضو بالنسبة للعضو السابق باستثناء العضو الأول من ذلك. تمتلك هذه  
الطريقة عرض تقدمى لكيفية أن عزم قوة أحد المفاصل تساهم فى قوة  
المفاصل الأخرى فى السلسلة الكينماتيكية.

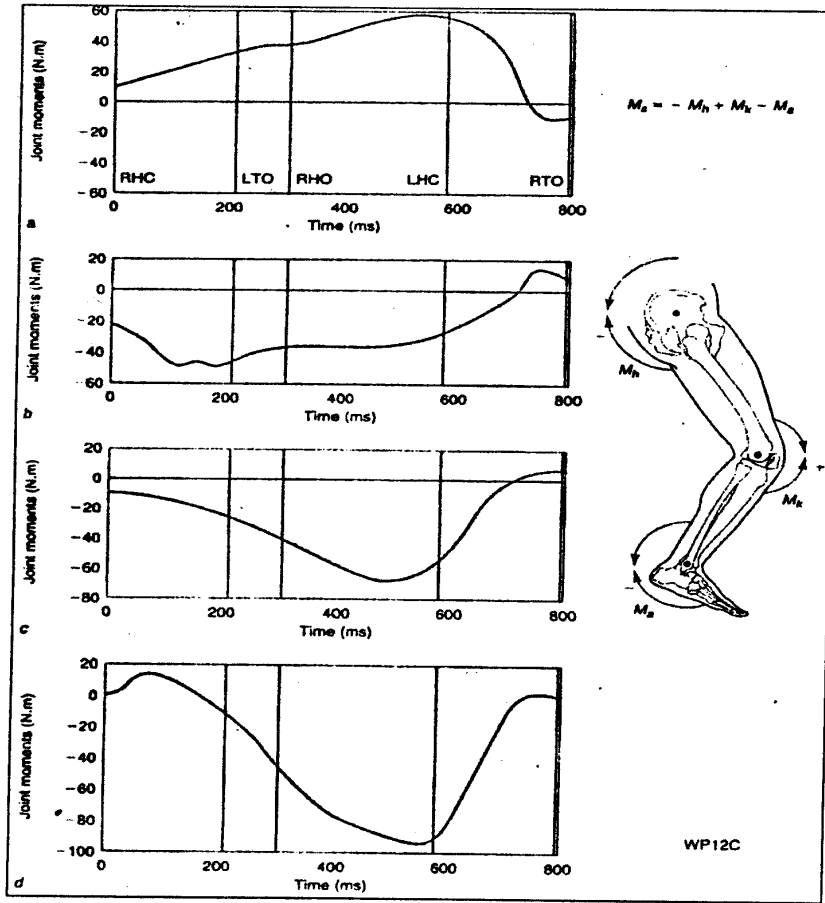
ذكرنا فيما سبق أن مستوى التعقيد فى التحليل يزيد بإضافة كل  
وصلة للسلسلة الكينماتيكية. أكثر من ذلك، تتطلب الطريقة تضمين القوى  
المركزية حيث هى القوى التى تظهر عندما يدور الشئ من خلال الرجوع  
لكادر الدوران، تلك القوى الزائفة Fictitious forces- تسمى أحياناً قوى  
كاذبة Pseudo forces- تحفظ فقط بسبب الرجوع لكادر الدوران. وهى لا  
تحفظ من الرجوع لكواذر قصورها الذاتى (مثل للثابت أو المطلق). عرض  
Winter, D.A. (١٩٨٠م)، فى دراسته جميع مبادئ ارتكاز الطرف السفلى  
خلال لحظة الاستناد للمشى. طريقة خاصة لتجميع عزم قوة الطرف السفلى  
خلال مرحلة وضع القدم لخطوة المشى. تجمع ثلاثة عزوم قوى- رسغ

القدم، الركبة، والمقعدة. (الفخذ) - لمساعدة الجسم وعدم فقدانه القوة. وجد الباحث أنه عن طريق إضافة الثلاثة عزوم كطريقة حيث عزم العضلات المادة قيمته موجبة، ونتيجة "عزم الارتكاز" تبعث شكل خاص. حدد عزم الارتكاز ( $M_{support}$ ) رياضياً كما يلي :

$$M_{support} = - M_{hip} + M_{knee} - M_{ankle}$$

تذكر أن الإشارات السالبة لعزمى المقعدة ورسغ القدم تغير اتجاههما لدرجة أن عزم العضلات المادة لتلك المفصلين يجعل المساهمة موجبة لعزم الارتكاز. أى عزم ثنى عند أى مفصل يقلل مدى عزم الارتكاز. يوضح شكل (٣-١٣) متوسط عزم الارتكاز لأشخاص عاديين وعزم الارتكاز وعزم كل من المقعدة، والركبة، ورسغ القدم لمن ٧٣ سنة رجال.

تسمح هذه الأدوات للباحث الإكلينيكي (الطبيب) للتحكم فى فعالية المريض خلال تأهيل خطوة المشى. عندما يصبح المريض قوى أو التوافق بين الثلاث مفاصل نو فعالية عزم الارتكاز يكون أكبر. أن الأشخاص نوى مفصل أو مفصلين لطرف لا يقدرّون على المساهمة المناسبة فى عزم الارتكاز بالبقاء بالارتكاز بواسطة هذا الطرف. إذا ظل عزم المفصل كبير كفاية أنتج عزم ارتكاز موجب.



شكل (٣-١٣)

عزم الارتكاز وعزم مفاصل المقعدة والركبة ورسغ القدم للرجال في سن ٧٣ سنة خلال تبديل مفصل المقعدة في مرحلة الاستعداد لخطوة المشي

حقيقة حاول الباحثون مقارنة الطريقتين على أية حال بيزاك Pezzack (١٩٧٦م) قارن الطريقتين باستخدام نفس البيانات الإحداثية ووجد أن طريقة الحركة النسبية كانت أقل دقة بخاصة عندما تكون السلسلة الكينماتيكية أطول (تمتلك وصلات أكبر)، أوضحت كلا الطريقتين نفس النتائج. يختار أكثر الباحثين طريقة الحركة المطلقة لأن معظم نظم جمع البيانات تقيس كينماتيكا الأعضاء فيما يتعلق بثبات المحاور على الأرض أو أرض المعمل.

#### التطبيقات : Applications

هناك استخدامات عديدة لنتائج تحليل الديناميكا المعكوسة. أحد التطبيقات جمع عزم العضلات المادة لطرف السفلى خلال مرحلة الاستعداد Stance Phase لخطوة المشي أو الدحجة لإيجاد نماذج مميزة والتنبؤ بكفاية العضو الصناعي وحماية عزم الارتكاز.

الاستخدامات الأخرى كانت لحساب القوى الخالصة والعزم في نموذج الهيكل العضلي لحساب التحميل على قاعدة العمود الفقري لبحث الدفع وآلام أسفل الظهر (مثل McGill & Norman ١٩٨٥) كان اتساع هذا المدخل هو حساب انضغاط وجز القوة عند المفصل. لعمل هذا، يجب أن يعرف الباحث نقطة اندغام فعل العضلة النشطة عبر أى مفصل ويسلم بأن هناك لا يوجد نشاط للعضلات الأخرى.

يتطلب حساب القوة في العضلة العديد من المسلمات لمنع عدم التحديد (مثل، اقلل المعادلات أكثر من اللازم وأيضاً كثرة المجاهيل). كمثال: إذا سلمنا بأن الإشارة العضلية تعمل عبر المفصل، إذن، إذا عرفت

نقطة اندغام وخط عمل العضلة (من رسم نصف القطر أو التقدير)، تحدد قوة العضلة ( $F_{\text{muscle}}$ ) باستخدام المعادلة التالية :

$$F_{\text{muscle}} = M / (r \sin \theta)$$

حيث أن  $M$  = عزم القوة عند المفصل،  $r$  = المسافة من مركز المفصل إلى نقطة اندغام العضلة،  $\theta$  = الزاوية بين خط عمل العضلة ومتجه الوضع بين مركز المفصل ونقطة اندغام العضلة. بالطبع مثل هذه الحالة نادر حدوثها لأن معظم المفاصل تمتلك عضلات متعاونة مختلفة الاندغامات وخطوط عملها مثل العضلات المضادة التي تعمل غالباً ضد الانقباض. بواسطة التحكم فى النشاط الكهربى (بجهاز الرسم النشاط الكهربى EMG) لكلا العضلات العاملة Agonists والمضادة Antagonists، يمكن للفرد تقليل تلك المشاكل، ولكن العضلة غير العاملة يمكن أن تولد قوى مكافئ، بخاصة إذا مدت رغباً عنها. يمكن تقليل مساهمة الأنسجة الأخرى فى عزم القوة الخالص على طول الحركة بعدم تضمين التحليل نهايات مدى الحركة، عندما تلك التركيبات تصبح دالة.

عند تقدير الباحثون القوة فى العضلة، يمكن حساب ضغط العضلة بواسطة تحديد المساحة العرضية Cross-sectional area. يمكن تقسيم المساحة العرضية لعضلات معينة من التقارير المنشورة أو القياس المباشر من بحث MRI أو الرسومات الإشعاعية Radiographs. الضغط المحورى ( $\sigma$ ) Axial strss يوجد بتقسيم القوة المحورية بواسطة المساحة العرضية. بالنسبة للعضلات الريشية التى فيها نسلم بأن القوة تعمل طول خط العضلة، يحدد الضغط حيث أن  $\sigma = F_{\text{muscle}} / A$ ، حيث أن  $F_{\text{muscle}}$  - قوة العضلة بالنيوتن،  $A$  = المساحة العرضية بالمتر المربع. وحدات قياس الضغط هى باسكال Pascal (Pa)، ولكن بسبب كبر القيم يستخدم وحدة الكيلوباسكال

Kilo pascals (kpa) بالطبع أن الطبع الحقيقى على العضلة لا يمكن قياسه كميأ بسبب صعوبة القياس المباشر لفعالية قوة العضلة. يعرض هذا الفصل مناقشة نماذج عزم الحركة المستوى لمفصل الطرف السفلى خلال حركة المشى والجرى. اتفق بالنسبة لعرض تلك الأشكال أن يكون عرض عزم العضلات المادة موجب وعرض العضلات المثنية سالب. يتفق هذا مع القياس الهندسى التى فيه أفعال نظام أى مد يكون موجب (إطالة موجبة) وأفعال نظام التقصير يكون سالب (إطالة سالبة). فى الشكل (٧-٣) عزم المثنية للمعدة والمقربة البعيدة حسب بإشارة موجبة. لذلك، تلك العزمين عادة عرضت سالبة عند حسابها.

#### تاسعاً : المشى : Walking

بعد أكثر من ١٠٠ عام فى تطوير تكنيك المشى أصبح تحليل المشى يمتلك وسائل إكلينيكية نافعة الآن. يمكن أن يؤدى التحليل الكينماتيكي والكيناتيكي لتكنيك الأبعاد الثلاثة وصف التعديلات البيوميكانيكية العياريّة والعلاجية Pathological للمشى، ولكن تظل الأجهزة والأدوات باهظة التكاليف. حيث أن مثل هذه التجهيزات غير ممكنة يبقى استخدام أبسط الطرق للحصول على المعلومات عن المتغير الإكلينيكي قائماً جامعة نيويورك New York Univ (١٩٨٠م) نشرت مراجع لتحليل المشى عن طريق فيوجان Vaughan، بيزير Besser، سوزمان Sussman، باوشير Bowsher (١٩٩٢م) (٣٦)، وهينيتل Whitle (١٩٩١م) (٤٢) أكثر من مؤلفاً عن نفس الموضوع.

### المشية العادية : Normal gait

المنشورات التي تناولت دراسة المشية العادية كانت أكثر من المنشورات التي تناولت المشية المرضية أو الباثولوجية الجدية بالاهتمام الشديد. ومع ذلك، فإن هناك سببين مناسبين لدراسة المشية العادية، هما إيجاد أساس لفهم المشية المرضية وتوفير بيانات معيارية يمكن في مقابلها الحكم على البيانات المرضية. وبالرغم من احتواء المصنفات العلمية على الكثير من البيانات عن الأشخاص العاديين إلا أنها في الغالب تتعلق بالإجراءات الأكثر بساطة مثل المعايير العامة للمشية، وتوقيت دورة المشية، وزوايا المفصل المستوية السهمية. Murray (١٩٦٧م) (١٩)، Perry (١٩٧٤م) (٢٦)

ولم يتم تحديد المعدلات المعيارية بالكامل بعد بالنسبة لبعض القياسات الأكثر تعقيداً والتي لا يمكن الحصول عليها مباشرة مثل زوايا المفاصل التي تتحرك محاورها بالتناسب مع مستوى التدرج في المشية أو عزم المفصل أو تحميلات الجهد على الطرف. ولأن كثير من المعايير القياسية تتنوع حسب نوع وعمر وطول الشخص. وحسب سرعة المشى فقد يلزم قياس المئات من الأشخاص لتحديد المعدل العادى والطبيعى بشكل ملائم.

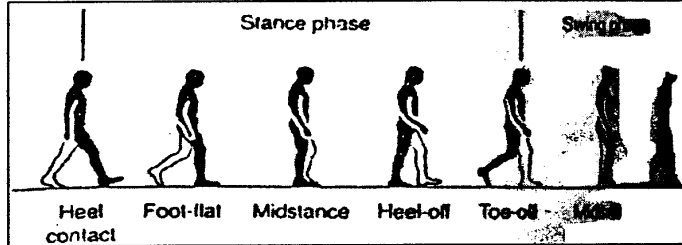
### وصف نمط المشية : Gait Pattern Description

بدأت التحليلات العلمية للمشية بالقياسات الفوتوغرافية التي أجراها كل من Marey & Muybridge عام (١٨٧٠م)، وقد سيطر التصوير السينمائي على هذا الموضوع لمدة مائة عام حتى تم تقديم الأنظمة العلمية للأجهزة الإلكترونية البصرية لأول مرة في السبعينات، وبالرغم من ارتفاع

أسعار أنظمة الحاسبات المرئية الحديثة، إلا أن دقتها وسرعتها وملاءمتها جعلت منها الآن أداة القياس المعيارية في معظم جهات تحليل المشية. وتشتمل الدراسات العلمية للمشية لتحديد عدد من الأحداث التي تقع أثناء دورة المشية والتي تعرف بأنها الفترة الزمنية الفاصلة بين أى من الأحداث التكرارية للمشي، وبتحديد أكثر بين ملامسة إحدى القدمين للأرض وملامسة نفس القدم للأرض مرة أخرى. وتنقسم دورة المشي لكل قدم إلى مرحلة الاستناد- عندما تكون القدم على الأرض- ومرحلة المرجحة- عندما لا تكون القدم على الأرض- أنظر شكل (٣-١٤). حيث تبدأ مرحلة الاستناد في الشخص العادي عندما يلامس الكعب الأرض. ويتبع ذلك انبساط القدم عندما تنزل بقية القدم على الأرض. والوقت الذي تجتاز فيه القدم مرحلة المرجحة Swing phase قد مرحلة الاستناد Stance phase ويسمى منتصف الاستناد Mid stance. ويتبع هذا رفع الكعب عندما يرتفع الكعب عن الأرض وتتلقى القدم الأمامية وزن الجسم. وتنتهي مرحلة الاستناد عند رفع أصابع القدم عن الأرض عندما تترك بقية القدم الأرض. وتنقسم مرحلة المرجحة إلى مرحلة اسراع ومرحلة إبطاء مع أرجحة وسط توازي الاستناد الوسطى وهي الوقت الذي تكون فيه القدمين جنباً إلى جنب شكل (٣-١٤). والوصف الأشمل للمشي العادي هو الذي أقره كل من Tood, Ralston, Inman (١٩٨١م) (١٩٩١م) (١٩٩١م) Perry (١٩٩٢م) (٢٧). ولأن القدم تكون على الأرض لفترة أطول منها في الهواء يكون هناك تداخل بين مراحل الاستناد على الناحيتين- وقف الارتكاز المزدوج عندما يكون كلا القدمين على الأرض في نفس الوقت شكل (٣-١٦)، ووقت الارتكاز الفردي لقدم واحدة وهو الوقت الذي تكون فيه هذه القدم فقط على الأرض- أثناء مرحلة المرجحة للقدم الأخرى.



ويرتبط التغيرات في طول ومسافة الخطوة وإيقاعها بمراحل النمو حيث يبدأ نضج المشي سريعاً من العمر الذي يبدأ فيه ثم يزداد ببطء حتى يتم الوصول إلى نمط البلوغ في عمر الأربع سنوات. أما في سن الكبر فيكون هناك إبطاء في المشية. ولكن معظم التغيرات الملحوظة تكون مرتبطة بسرعة المشي أكثر من ارتباطها بأي حالات شاذة محددة للشيخوخة. وعموماً، فإن حدوث الأمراض المؤثرة في المشية تصبح أعلى كثيراً مع تقدم السن، ومن ثم يمشي كثير من الأشخاص المسنين بطريقة غير عادية.



شكل (٣-١٤)

وضع الرجلين خلال دورة المشي مفردة من اتصال الكعب الأيمن إلى اتصال الكعب الأيمن

المعايير العامة للمشية وزوايا المفاصل :

General gait parameters and joint angles

تحدد الأوضاع المتتالية للقدم على الأرض عدداً من معايير المشية

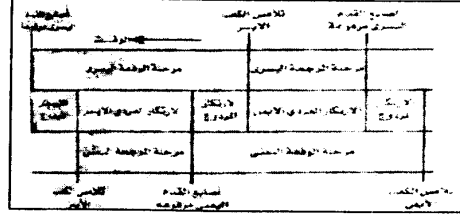
شكل (٣-١٦). وتسمى عدد الخطوات المنفصلة التي تؤدي في فترة زمنية

معينة (نموذجياً دقيقة واحدة) بالإيقاع أو إيقاع الخطوة. والمسافة التي

يتحركها الجسم ككل للأمام في زمن محدد يمكن استخدامها لحساب سرعة

المشي Walking velocity.

طول الخطوة هي المسافة التي تتقدم بها كل قدم على التعاقب أمام القدم الأخرى وإضافة طول خطوتين معاً يحدد طول اتساع الخطوة وهي المسافة التي تتحرك بها إحدى القدمين للأمام أثناء دورة المشية. أما المعايير الأخرى لوضع القدم فهي قاعدة المشى وهي المسافة جنباً إلى جنب بين خط القدمين وزاوية أصابع القدم للخارج (أو أقل شيوفاً، أصابع القدم للداخل)، والتي تقاس بين خط الوسط للقدم واتجاه المشى.



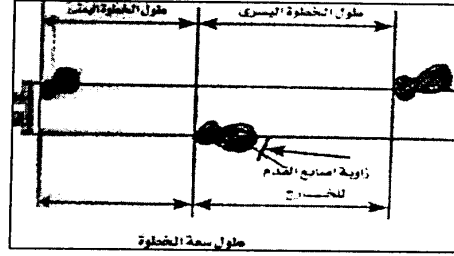
شكل (٣-١٥)

توقيت الارتكاز الفردي والزوجي أثناء دورة واحدة للمشية من ملامسة الكعب الأيمن حتى ملامسة الكعب الأيمن مرة أخرى

إذا تم استعمال مسجل علامات مناسب للقدمين وتوفرت برامج الحاسب الآلى اللازمة فإن الأنظمة الكينماتيكية يمكنها قياس العديد من خواص دورة المشية بمتتبع حركات الجذع والقدمين، ويتضمن مثل هذا القياس المعايير العامة للمشية (الايقاع، طول سعة الخطوة، والسرعة، وقاعدة المشى، وزاوية أصابع القدم للخارج، وتوقيت مراحل الارتكاز الفردية والزوجية، وتوقيت إحداث انبساط القدم والكعب).

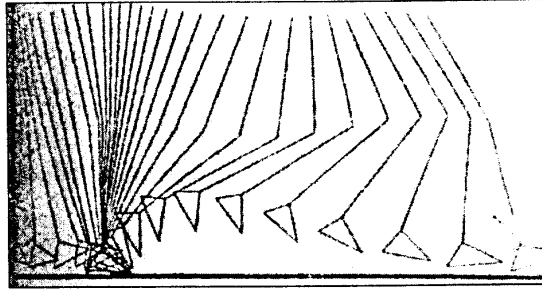
بداية تم استخدام الأنظمة الكينماتيكية ثلاثية الأبعاد أساساً لإنتاج رسوم تخطيطية شكلية لأوضاع الأطراف أثناء المشى شكل (٣-١٧). ورغم

أنه مناسب بصرياً، إلا أن هذا النوع من العرض يعد ذو فوائد محدودة فى تفسير نتائج تحليل خطوة المشى. والأكثر استخداماً هو تحديد مواقع المفاصل والمعايير الأخرى المرتبطة بوظيفة العضلات والمفاصل وقياسها قياساً ثلاثى الأبعاد عن طريق الأنظمة الكينماتيكية ثلاثية الأبعاد وكذا قياس زوايا الحركة. ويحدث المعدل الأكثر للحركة فى المستوى السهمى، وتكون البيانات الناتجة من هذا المستوى هى الأكثر استخداماً شكل (٣-١٨) ولكن كل من المستويين الجبهى والعرضى قد تكون لحركتهما أهمية خاصة فى دراسة المشية المرضية. ومن سوء الحظ أن تعريفات حركات المفصل ثلاثية الأبعاد (الثنى والمد، والابتعاد، والاقتراب عن المركز، والدوران الداخلى والخارجى) تعد غير دقيقة كمصطلح علمى ومن ثم يصعب أو يستحيل التوفيق التام بينها وبين دورانات المفاصل المقاسة بالقياس ثلاثى الأبعاد. وبالرغم من العديد من المحاولات لابتكار أنظمة للمحاور تتفق مع الاصطلاحات الإكلينيكية فإن هناك اتفاق قليل على كيفية تحقق ذلك على الوجه الأمثل.



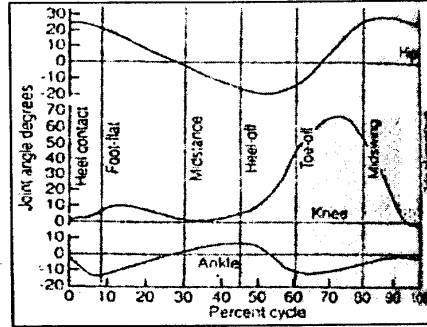
شكل (٣-١٦)

المصطلحات المستخدمة لوصف وضع القدم على الأرض -



شكل (١٧-٣)

وضع الرجل اليمنى عند فترات ٤٠م ث خلال أكثر من دورة خطوة



شكل (١٨-٣)

زوايا مفصل الفخذين (التنى الإيجابى)، الركبة (التنى الإيجابى)،  
لقدم التباعد والتنى الإيجابى خلال دورة خطوة منفردة

محصلة قوى العضلات الداخلية العضوية وعزومها :

Inner segmental resultant forces and moments

يعطى النظام الكينماتيكي فقط جزء من البيانات المطلوبة للتحليل  
البيوميكانيكي التفصيلي لحركة الإنسان، أما المعلومات المطلوبة الأخرى

لقياس القوى العضلية فتوافرها الأنظمة الحركية (الكينماتيكية). عموماً يتكون ذلك من درجة أو أكثر للقوة تقيس قوة رد الفعل الأرض أثناء المشي والأنشطة الأخرى. فإذا تم استخدام كل من الأنظمة الكينماتيكية والكينماتيكية فإن البيانات ثلاثية الأبعاد المحصلة يمكنها توفير مادة ادخال للنماذج الرياضية لاستنتاج عزم المفصل وقوى المصل وتفاصيل انتقال الطاقة بين أجزاء الطرف، وقد ثبت أن قياسات القوى والعزم والطاقة ذات قيمة كأدوات للبحث كما أظهرت أيضاً قيمتها في ظروف إكلينيكية عديدة.

ويوضح الشكل (٣-١٩) العزم الداخلى للقوة المولدة حول مفاصل الفخذ والركبة والكاحل فى المستوى للسهمى أثناء المشى. ولا يتضمن بالضرورة وجود عزم داخلى تقلصاً عضلياً لأن العزم الداخلى قد يتولد أيضاً عن طريق أبنية غير فعالة كالأربطة وعموماً فإن مضاعفة عزم القوة بالسرعة الزاوية حول المفصل يعطى الجهد المتولد أو الممتص والذي يرتبط مباشرة بشكل أكثر بالنشاط العضلى ونقص الطاقة.

إن الصياغة الرياضية يمكن أن تعطى تقيماً لقوى المفصل، ولكن فى معظم الحالات يوجد عدم تحديد إلى حد استحالة استنتاج حل دقيق للعدد الكبير من المعادلات المتزامنة المستخدمة، ومن ثم يكون من الضروري وضع افتراضات توضيحية قد تكون أو لا تكون صحيحة. فعلى سبيل المثال: قد يفترض أن هناك وضع مثالى أو عدم وجود تقلص للعضلات المقاومة، ففى بعض الحالات يمكن أن يقل عدم التأكد من هذا بشأن أنشطة العضلات على سبيل المثال عن طريق التسجيل الكهربى للانقباضات والاسترخاءات العضلية لتحديد ما إذا كانت عضلة معينة تنقبض.

وبالرغم من تركيز دراسة ميكانيكيات الأطراف على المستوى السهمى إلا أنه يوجد الآن تأكيد متزايد بأنه من أجل عمق تصو كامل فإنه

لابد من إجراءات قياسات ثلاثية الأبعاد ففى الركبة مثلاً يوجد تحميل تفاضلى بين الأجزاء الوسطى والأجزاء الجانبية التى تعتمد إلى حد كبير عزم الركبة فى المستوى الجبهى. كما أن مدى إمكانية تحقيق أعراض الالتهاب الشريانى عن طريق استئصال جزء من عظم الساق يمكن التنبؤ به الآن عن طريق أجزاء القياسات ثلاثية الأبعاد الزاوية وعزم المفصل.

#### Muscles Activity : نشاط العضلات

بالرغم من أن نشاط العضلات ليس قياساً ثلاثى الأبعاد، إلا أن هناك جانب هام من جوانب تحليل المشية، خاصة من الناحية الإكلينيكية، وهو قياس النشاط الكهربى للعضلات بواسطة التسجيل الكهربائى للانقباضات والاسترخاءات (EMG). ويوضح الشكل (٣-٢٠) النشاط النموذجى لست مجموعات عضلية أثناء دورة المشى تم تسجيلها كهربائياً. وتستطيع معظم أجهزة تحليل المشية ثلاثية الأبعاد تسجيل بيانات التسجيل الكهربائى للانقباضات والاسترخاءات العضلية عن طريق محول يحو البيانات المتناظرة إلى بيانات رقمية. ويتم تطبيقه الحال تسجيل بيانات التسجيل الكهربائى للانقباضات والاسترخاءات العضلية بتردد اختياري أعلى من البيانات الكينماتيكية. كما يجب أن تكون برامج الحاسب الآلى التحليلية قادرة على التعامل مع هذا ومزامنة كلا النوعين من البيانات.

ويتطلب أكثر أشكال التسجيل الكهربائى العضلى الدقيق ادخال سلك رفيع داخل العضلة لقياسها مما يستبعد فى الغالب التدخل من أى مصادر أخرى للنشاط الكهربائى. ومع ذلك فإن هذا يعد شيئاً غير مريح خاصة عند وجود كثير من الحركات العضلية كما هو الحال فى المشى. ومن ثم فإنه يكون الأكثر اعتياداً لتحليل المشية استخدام الأقطاب الكهربائية السطحية

الأقل دقة ولكن أكثرها راحة، إلا إذا كانت هناك ضرورة معينة للتفاصيل التي يوفرها مقاييس السلك الرفيع.

أحد عيوب التسجيل الكهربائي للانقباضات والانبساطات العضلية هي أنه شبه كمي فقط. فالعضلات قادرة على إحداث التوتر عندما تقصر (انقباض متركز) أو تحتفظ بطولها (انقباض ثابت أو أيزوميترى) أو تطول (انقباض بوليوميترى) وتختلف العلاقة بين النشاط الكهربائي والتوتر العضلي بالنسبة لهذه الأنواع الثلاثة من الانقباضات كما أنها لا تتمشى خطياً مع النزعة المغناطيسية التخلفية المحددة بعلامات وتتفاوت مع تاريخ انقباض العضلة الحديث. ولقد أجريت عدة محاولات على مدى السنوات لتحديد علاقة قوة التسجيل الكهربائي للانقباضات والانبساطات العضلية ولكن ثبت استحالتها إلا تحت ظروف عملية صناعية شديدة. من ناحية أخرى يفيد التسجيل الكهربائي للانقباضات والانبساطات العضلية في تحليل المشية لتقديم تفسير لهذه الحالات غير السوية في المشية والتي يتم ملاحظتها بالأنظمة الكينماتيكية. وفي نهاية الأمر تكون العضلات هي المسئولة عن المشية، كما أن فحص التسجيل الكهربائي للانقباضات والانبساطات العضلية يجعل من الممكن تحديد "الأنماط الحركية المدانة" في المشية المرضية Winter (١٩٩٠م) (٤٣).

#### الحمل، الطاقة، القدرة : Work, Energy and Power

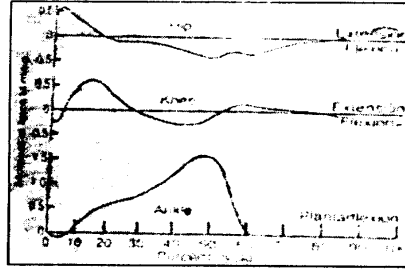
أحد السمات الكبرى لكثير من المشيات المرضية هي أنها غير كافية بخصوص استهلاك الطاقة وتسبب تعب سريع للمريض، ويعتبر تحليل استهلاك الطاقة المشمول في المشى هو قياس معتاد في كثير من معامل

المشى، ونقصه يستخدم كمؤشر للعلاج الناجح (واترز، لانسفور، بيرى، بيرد  
(Waters, Lunsford, Perry & Byrd) (١٩٨٨م) (٣٩).

الوسائل المعتادة لقياس استهلاك الطاقة هي بتجميع هواء الزفير.  
باستخدام قناع وجه أو قطعة فم، وحساب الأكسجين المستخدم وثانى أكسيد  
الكربون خلال نشاط مفترض. ونظرياً يمكن عمل نوع من القياس باستخدام  
تجميع لنظام كينماتيكي - كيناتيكي، وحساب التغيرات فى الطاقة فى كل جزء  
من الجسم خلال دورة مشى. هذه الحسابات (العمل الخارجى المحسوب)  
أيضاً يتطلب مركز الجاذبية، وعزمن القصور الذاتى لأجزاء الجسم. مع ذلك  
ليس هناك تناسب مباشر بين النشاط الأيضى والبدنى. وتستخدم العضلات  
طاقة أيضية حتى عند أداء انقباض لامركزي، والمصطلح البدنى له عمل  
سلبى. ولهذا السبب فنتائج التحليل من غير المحتمل أن تتناسب بدقة مع  
قياسات الغاز فى الزفير، ولكنه يعطى بيانات إكلينيكية مفيدة (جاج، فابيان،  
هيكس، مان (Gage, Fabian, Hicks, Man) (١٩٨٤م) (٩).

ربما تكون القيمة الأكبر لتحليل التغيرات فى الطاقة للأطراف خلال  
المشى. دورة المشى الطبيعية كافية جداً فى استخدام الطاقة، بسبب أن عدد  
الأمثليات وتبادل الطاقة بين الأجزاء. فى المشية غير الطبيعية، هذه العمليات  
تبطىء، والسبب فى زيادة استهلاك الطاقة الكلية يمكن أن يعود للتغيرات التى  
تحدث فى الأطراف.



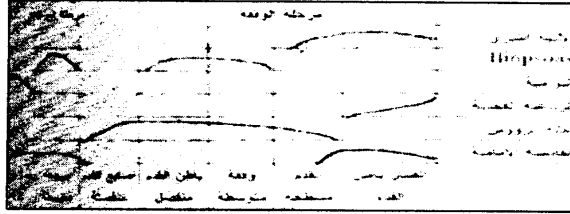


شكل (٣-١٩)

العزم الداخلى فى الحوض، الركبة، ومفصل الكاحل بالنيوتن كجم من وزن الجسم. العزم الإيجابى المولد من باسطات الحوض، باسطات الركبة وثانيات الكاحل لبطن القدم

#### المشية المرضية : Pathological gait

دراسة المشية المرضية تتم لعدد من الأسباب والأهم منها هو صنع القرار، التقييم والبحث العلمى.



شكل (٣-٢٠)

النشاط المثالى لمجموعة العضلات الكبرى خلال دورة المشى

#### صنع القرار الإكلينيكي : Clinical Decision Making

كل صناعة القرارات الإكلينيكية أياً كانت تشمل اضطراب فى المشى أولاً، تعتمد على ٣ أنواع من المعلومات- وصف لطبيعة وتاريخ المشكلة

(من مقابلة مع المريض أو راعية)، فحص إكلينيكي يركز على مناطق (محتمل تأثرها) وعمل اختبارات معملية أو بحوث خاصة. في هذا النص، تحليل المشية يجب أن يفكر فيه على أنه بحث خاص، والنتائج تعتبر مع التاريخ والفحص بالإضافة لأي نوع بحثي آخر تم عمله مثل أشعة اكس أو كيمياء الدم روز Rose (١٩٨٣م) (٣٠)، تحليل المشية ممكن خصوصاً في عمل قرارات العلاج، بسبب أن يعطى معلومات عن العيب الحركي الذي يقع تحته العيب في المشية المرئي.

#### الشلل المخي : Cerebral palsy

أحد أكثر التطبيقات الإكلينيكية لتحليل المشي في الحاضر في تخطيط العلاج للأطفال المتأثرين بالشلل المخي.

#### الضربة المخية : Stroke

المنظومة الإكلينيكية التي تسمى ضربة تنتج عن ضرر بالمخ يحدث بعد قطع توصيل الدم للمخ. غالباً يشمل صعوبة مع المشي بيرى Perry (١٩٦٩م) (٢٥)، نتيجة شلل على جانب من الجسم (شلل نصفي أو ضعف نصفي). بالرغم من أن تحليل المشية لم يظهر بوضوح فائدة في علاج الضربة، عدد الدراسات البحثية يقترح تقييم دقيق لاضطراب المشي ربما يحسن عملية صنع القرار ويؤدي إلى تحسن في نتائج العلاج.

#### التعب الزائد : Excessive fatigue

يستخدم الجسم في المشية الطبيعية ٦ طرق مختلفة (محددات المشية) لتقليل استهلاك الطاقة لينمان وآخرون Inman et al. (١٩٨١م) (١٣)، ساوندر وآخرون Sounder et al. (١٩٥٣م) (٣١) وهذه الطرق هي :

- ١- دوران الحوض Pelvic rotation.
  - ٢- ثنى الحوض Pelvic tilt.
  - ٣- ثنى الركبة فى مرحلة الوقفة Knee flexion in stance phase.
  - ٤- طريقة الكاحل Ankle mechanism.
  - ٥- طريقة القدم Foot mechanism.
  - ٦- إزاحة جانبية للجسم Lateral displacement of the body.
- هذه الطرق تنكسر فى المشية المرضية، مؤدية إلى زيادة استهلاك الطاقة وتعب أكثر سرعة. تحليل المشية ربما تكتشف الفقد لهذه الطرق، وتدريب المشية ربما يحاول استعادتها.

#### حالات تقييم الأعضاء : Orthopaedic conditions

ربما يكون مفيد فى حالات تقييم الأعضاء تحليل المشية. عندما يكون المريض عنده التهاب بالمفصل يؤثر على عدة مفاصل من المفروض حدوث عدة تغيرات للمفاصل فليس من الواضح أى مفصل نبدأ به. بسبب الألم أو نقص وظيفة المفصل غالباً تغيير فى نمط المشية، والتي بدورها تضع التعب على المفصل الثانى. لو تم استبدال المفصل الثانى قبل المفصل الأول غير العامل، ربما تؤدى إلى فشل مبكر. نتيجة العكس فى البيئة الميكانيكية. يستخدم تحليل المشية لاكتشاف هذا النوع من التأثير وتشير إلى الترتيب الأمثل لاستبدال المفصل روز (١٩٨٣م) (٣٠). حالات أخرى مثل تقويم التهاب المفصل بدون مضاعفات فى الركبة ربما تستفيد من التقويم قبل إجراء العملية بتحليل المشية. إعادة تركيب المفصل بوسائل تنظيف عالية للقصبة يعطى راحة للأعراض وربما يؤخر لسنوات الحاجة لاستبدال المفصل. تحليل المشية الذى يركز على زاوية الركبة والعزم حول المحور

الرأسى يعطى مؤشر جيد للنتائج المحتملة للعملية بوردر موز وآخرون (١٩٨٥م) (٢٩)، وانج وآخرون (١٩٩٠م) (٣٨).

#### التقييم والتوثيق : Assessment and Documentation

يستخدم تحليل المشية غالباً فى تقويم وتوثيق الحالة الحالية للمريض، حتى عندما تكون البيانات لا تستخدم مباشرة كجزء من القرار الإكلينيكي، مثل هذا التقويم ربما يؤدي فقط مرة واحدة أو يؤدي بتكرار لمراقبة التغيرات بعد فترة من الزمن.

التقييم لمرة واحدة ربما يفيد لتأكيد وظيفة. كمثال ربما يستخدم للتمييز بين نشاط غير كافى وزيادة نشاط فى الرؤوس الثلاثة للعضلات الكعبية فى طفل يمشى مع قدم موجه للأرض. ربما تراقب قوة ونشاط هذه العضلات خلال المشى من حالتها عندما تختبر يدوياً وتحليل المشية ربما يتم لعمل تشخيص دقيق. القياس لقدرة العضلة مفيد خصوصاً فى هذا النوع من الدراسة. ربما يستخدم أيضاً تحليل المشية لمرة واحدة لتأكيد أنه لا يوجد عيوب أخرى بالمشية التى ربما تفقد فى خلال فحص إكلينيكي آخر.

تحليل المشية المتكرر لنهاية فترة من الزمن ربما يكون ذو قيمة فى طريقتين- إما توثيق المسار الطبيعى لمرض أو مراقبة تأثيرات العلاج أيضاً كانت حالة المريض تتحسن أو تسوء.

#### المخلص : The Summary

تحليل المشية باستخدام نظم قياس كينماتيكي وكينماتيكي، الآن تضع طرق لها أهمية كبرى فى العلاج الطبى لظروف خاصة، خصوصاً الشلل المخي. كل من تحليل المشية وأنواع أخرى من القياس ثلاثى الأبعاد ظهرت

كأداة قيمة لكل من البحث الطبى والأساس على تنوع من الاضطرابات العضلية الهيكلية.

#### اختبر معلوماتك :

- ١- اشرح كيف يمكنك الاستفادة من البيانات الكينماتيكية فى حل المشاكل الديناميكية لحركات جسم الإنسان.
- ٢- الهدف الرئيسى لبحوث الميكانيكا الحيوية هو تحديد الكمية النموذجية للقوة الناتجة عن طريق العضلات، والأوتار، والعظام. ولسوء الحظ القياس المباشر لهذه القوى يتطلب عزو ومخاطرة وضع التجهيزات التى حتمياً تعوق ملاحظة الحركة. ناقش العبارة السابقة فى إطار ما يلى: قدرة الديناميكا المعكوسة على قياس القوة الخالصة لجميع القوى الداخلية وعم فعل القوة عبر المفاصل المختلفة.
- ٣- اشرح كيف يمكن استخدام البارامترات الأنثروبومترية والكينماتيكية لحساب القوى وعزم القوى الخالص عند المفاصل.
- ٤- ضرب حارس مرمى كرة القدم، كرة القدم مما أدى إلى تحريك مركز ثقلها أفقياً لعجلة أفقية -٧٠م/ث، وكانت عجلته الزاوية -٣٢ زاوية نصف قطرية/ثانية، إذا علمت أن كتلة الكرة ٠,٢٦ كجم، وعزم قصورها الذاتى ٠,٠٠٥ كجم.م<sup>٢</sup>، ما هى قيمة قوة ضربها؟ وما ذراع عزمها؟
- ٥- مرجح لاعب التنس المضرب فى المستوى الأفقى. وكانت عجلة مركز ثقل كتلة المضرب ٣٢م/ث<sup>٢</sup>، وعجلته الزاوية ١٠ I/ث<sup>٢</sup>. وكانت كتلته ٠,٠٥ كجم وعزم ثقل كتلة المضرب عند قاعدة المضرب ٧سم، ٣٢سم على التوالى. ما هى القوة والعزم الخالص المؤثر على المضرب؟ إذا

- كانت اليد تبعد حوالى ٦سم، وفسر معنى العزم الخالص (مثلاً، ما هو الازدواج الحقيقى عند اليد؟، مع اهمال قوة الجاذبية؟
- ٦- احسب ردود فعل  $R_x$ ،  $R_y$ ،  $M_z$  عند النهاية المجهولة فى الرسم البيانى الحر للجسم التالى، علماً بأن كتلة الشخص هى ٨٠ كجم، وعزم قصوره الذاتى ٢,٠ كجم.م<sup>٢</sup> طول مركز الكتلة؟
- ٧- اعتب أن الذراع ثبت أفقياً. ما هو رد فعل قوى وعزم مفصل الكتف؟ مع التسليم بأن الذراع صلب وثابت ووزن العضد، الساعد واليد على التوالى ٤ ثقل كجم، ٣ ثقل كجم، ١ ثقل كجم. وبعد مركز ثقل كتلتهم عن الكتف على التوالى ١٠ سم، ٣٠ سم، ٤٢ سم؟
- ٨- اشرح المعايير العامة للمشية وزوايا المفاصل؟
- ٩- احسب القوى وعزم القوى المبذول على كل من حلقتى جهاز الحلق من لاعب الجمباز للثبات فى وضع الارتكاز التصالبى إذا علمت أن وزن جسم اللاعب ٦٤ ثقل كيلوجرام، المسافة بين الحلقتين ٦سم وزاوية قبل تأثير محلة القوى على كل من الحلقتين على الخط الأفقى الواصل بين نقطتى الارتكاز على الحلقتين والمار بعظم القص للاعب الجمباز مقدارها ٧٥°؟

## المراجع

- ١- عادل عبد البصير على: (٢٠٠٤م)، التحليل البيوميكانيكي لحركات جسم الإنسان (أسسه وتطبيقاته)، المكتبة المصرية للطباعة والنشر والتوزيع، الإسكندرية، ص (١٣٩-١٦٠).
- 2- Basmajian JV: (1974). Muscles alive: their function revealed by electromyography, Baltimore, Williams & Wilkins.
- 3- Bernstein, N.C.: (1967): Coordination and regulation of movements, London: Pergamon Press.
- 4- Boone, D.A. & Burgess, E.M.: (1989), Automated fabrication mobility aids: clinical demonstrations of the UCL computer-aided socket design system, Journal of Prosthetics and Orthotics, 1, 187-190.
- 5- Bresler, B. & Frankel, J.P.: (1950), The forces and moments in the leg during level walking. American Society of Mechanical Engineers Transactions, 72, 27-36.
- 6- Cavagna, G.A. & Margaria, R.: (1966), Mechanical of walking. Journal of Applied Physiology, 21, 271-278.
- 7- Cunha, U.V. (1988), Differential diagnosis of gait disorders in the elderly, Geriatrics, 43, 33-42.
- 8- Engin, A.E. & Peindl, R.D.: (1987), On the biomechanics of the human shoulder complex-1:

Kinematics for determination of the shoulder complex sinus. *Journal of Biomechanics*, 20, 103-117.

- 9- Gagem, J.R., Fabian, D. Hicks, R. & Tashman, S.: (1984), Pre- and post- operative gait paralysis in patients with spastic diplegia: A preliminary report. *Journal of Pediatric Orthopedis*, 4, 715-725.
- 10-Goodfellow, J. & O'Connor, J.: (1978), The mechanics of the knee and prothesis design. *Journal of bone and joint surgery*, 60B, 358, 369.
- 11-Gregerson, G.G. & Lucas, D.B.: (1967), An in vivo study of the axial rotation of the humans thoracolumbar spine. *Journal of bone and joint surgery*, 49A, 247, 262.
- 12-Grew, N.D. & Harris, J.D.: (1979): A method of studying human body shape and movement- The "vector stereograph". *Engineering in Medicine*, 8, 116-118.
- 13-Inman, V.T., Ralson, H.J. & Todd, F.: (1981), *Human walking*, Baltimore, Willame and Wilkins.
- 14-Jefferson, R.J. & Whittle, M.W.: (1989), Biomechanical assessment of unicompartmental knee arthroplasty, total condylar arthroplasty and tibial osteotomy, *Clinical Biomechanics*, 4, 232, 242.
- 15-Klenerman, I., Dobbs, R.J., Weller, C., Leeman, A.L. & Nicholson, P.W.: (1988), Bringing gait analysis out of



- the laboratory and into the clinic, *Age & Ageing*, 77, 397-400.
- 16-Lafortune, M.A. & Cavanagh, P.R.: (1985), The measurement of normal knee joint motion during walking using international pins, in M. Whittle & D. Harris (Eds), *Biomechanical measurement in orthopaedic practice*. PP. (224-243), Oxford, Clarendon Press.
- 17-Lehman, J.F., Condon, S.M., Price, R. & Delateur, B.J.: (1987), Gait abnormalities in hemiplegia: their correction by ankle foot orthoses, *Archives of Physical Medicine & Rehabilitation*, 68, 763-771.
- 18-Miller, D.I & R.C. Nelson: (1973), *Biomechanics of sport*. Lea & Febiger, Philadelphia.
- 19-Murray, M.P.: (1967), Gait as a total pattern of movement, *American Journal of Physical Medicine*, 46, 290, 333.
- 20-Murray, M.P., Kary, C. & Clarkson, B.H.: (1969), Walking patterns in healthy old men, *Journal of Gerontology*, 24, 169-178.
- 21-Murray, M.P., Mollinger, L.A., Sepic, S.B., Gardner, G.M. & Linder, M.T.: (1983), Gait patterns in above knee amputee patients: Hydraulic swing control vs.

- constant friction knee components, Archives of Physical Medicine & Rehabilitation, 64, 339-345.
- 22-Ozkaya, N. and M. Nodrin: (1991), Fundamentals of biomechanics, New York: Van Nostrand Reinhold.
- 23-Pamianpour, M., Nordin, M. & Khanovits, N.: (1986), The triaxial coupling of torque generation of trunk muscles during isometric exertions and the effect of fatiguing isoinertial movements on the motor output and movement patterns, Spine, 13, 982-992.
- 24-Paul, J.P.: (1966), Forces transmitted by joints in the human body, Proceedings of the Institute of Mechanical Engineers, 181, 8-15.
- 25-Perry, J.: (1969), The mechanics of walking in hemiplegia, Clinical Orthopaedics & Related research, 63, 23-31.
- 26-Perry, J.: (1974), Kinesiology of lower extremity, bracing, Clinical orthopaedics and related research, 102, 18-31.
- 27-Perry, J.: (1992), Gait analysis: Normal and pathological function, Thorofare, NJ: Slack.
- 28-Plagenhoef, S.: (1971), Pattern of human motion: A cinematographic analysis, Englewood Cliffs, NJ.: Prentice Hall.

- 29-Prodromos, C.C., Andriach, T.P. & Galante, J.O.: (1985), A relationship between gait and clinical change following high tibial osteotomy, *Journal of Bone & Joint Surgery*, 67A, 1188-1194.
- 30-Rose, G.K.: (1983), Clinical gait assessment: A personal view, *Journal of Medical Engineering & Technology*, 7, 277-279.
- 31-Saunders, J.B.D.M., Inman, V.T. & Eberhart, H.S.: (1953), The major determinants in normal and pathological gait, *Journal of bone and joint surgery*, 35A, 543-558.
- 32-Shiavi, R.: (1985), Electromyographic pattern in adult locomotion: A comprehensive review, *Journal of rehabilitative research and development*, 22, 85-98.
- 33-Steiner, M.E., Brown, C. & Zarins, B.: (1990), Measurement of the knee: A comparison of the results with instrumented devices and clinical examination, *Journal of Bone & Joint Surgery*, 72A, 1307-1315.
- 34-Sutherland, D.H., Olshen, R.A.; Biden, E.N. & Wyatt, M.P.: (1988), *The development of mature walking*, London: McKeith Press.
- 35-Thurston, A.J.; Wittle, M.W.; Stokes, L.A.E.: (1991), Spinal and pelvic movement during walking. A new method of study, *Engineering in Medicine*, 10, 219-222.

- 36-Vaughan, C.L., Besser, M.P., Sussman, M.D. & Bowsher, K.A.: (1992), Biomechanics of human gait: An electronic bibliography, Champaign, IL: Human Kinetics.
- 37-Wagner, J., Sienko, S. & Susan, T.L.: (1987), Motion analysis of SACH Vs flex foot in moderate and orthotics, 11, 55-62.
- 38-Wang, J.W., Kuo, K.N., T.P. & Galante, J.O.: (1990), The influence of walking mechanics and proximal surgery, 72A, 905-909.
- 39-Waters, R.L., Lunsford, B.R., Perry, J. & Byrd, R.: (1988), Energy- speed relationship of walking: standard tables, Journal of orthopaedic research, 6, 215-222.
- 40-Whittle, M.W.: (1982), Calibration and performance of a three-dimensional television system for kinematic analysis, Journal of biomechanics, 15, 185-196.
- 41-Whittle, M.W.: (1987), Gait analysis. Its usefulness or otherwise. British Journal of Rheumatology, 26, (Abs), 86.
- 42-Whittle, M.W.: (1991), Gait analysis: an introduction, Oxford: Butterworth- Heineman.
- 43-Winter, D.A. (1990): Biomechanics and motor control of human movement, 2<sup>nd</sup> ed., Toronto: John Wiley & Sons.
- 44-Zatsiorsky, V.M.: (2001), Kinetics of human motion, Champaign, IL: Human Kinetics.

## الفصل الرابع

### الطاقة، الشغل، القدرة Energy, Work, Power

الأهداف

تمهيد

أولاً : الطاقة، والشغل، وقوانين الديناميكا الحرارية

ثانياً : بقاء الطاقة الميكانيكية

ثالثاً : الإرجوميترى : الطرق المباشرة

رابعاً : الأرجوميترى : الطرق غير المباشرة

خامساً : طرائق الأجزاء

سادساً : الكفاية (الفعالية) الميكانيكية

الملخص

اختبر معلوماتك

المراجع



## الفصل الرابع

### الطاقة، الشغل، القدرة

### Energy, Work, Power

#### الأهداف Objectives

بعد قراءة هذا الفصل سوف يتعرف القارئ على ما يلي :

- ١- فحص مفاهيم كل من الطاقة والشغل وقوانين الديناميكا الحرارية.
- ٢- المدخل لمفاهيم بقاء الطاقة الميكانيكية.
- ٣- الطرائق المباشرة لقياس الشغل الميكانيكى.
- ٤- الطرائق غير المباشرة لتقدير الكمى لشغل الميكانيكى.
- ٥- فحص الكفاية الميكانيكية.

#### تمهيد : Review

يشير روبيرتسون وآخرون Robertson et al. (٢٠٠٤م) (٣) إلى أن الطاقة تعرف فيزيائياً كمقدار كمى على الرغم من شهرتها غير المفهومة جيداً. فمثلاً: حتى الآن حدد الفيزيائيون أى ذرة أو جزء من الذرة أنه يطابق الوحدة الأساسية أو أصغر مقدار من الطاقة. أحد المصاعب لفهم الطاقة هى أنها تأخذ أشكال كثيرة. ونفس المشكلة فى شكل الطاقة التى تمكن انشتاين Einstein من قياسها بمعادلته الشهيرة وهى ( $E = m c^2$ ) ولكن تظهر هذه الطاقة عندما يأخذ العصر مكانته فى نفس الموضوع. وتشتمل الأشكال الأخرى على الطاقات النووية Nuclear، والكهربية Electrical، الحرارية

Thermal (Heat)، الشمسية Solar والضوئية (Light)، والكيميائية Chemical، الميكانيكية Mechanical. وهي محور اهتمام متخصصوا الميكانيكا الحيوية. وفي هذا الفصل سوف نركز في المقام الأول على الطاقة الميكانيكية.

### أولاً : الطاقة، والشغل، وقوانين الديناميكا الحرارية :

Energy, Work, laws of thermodynamics

يمكن تحديد الطاقة كمقدرة لأداء الشغل، وبمعنى آخر القدرة على التأثير على حالة المادة. الطاقة كإحساس هي حركة الجزيئات أو الوضع لتوليد الحركة. فمثلاً كما سبق ذكره أن الحرارة شكل من أشكال الطاقة وهي اهتزاز للجزيئات. كلما زادت الإثارة كلما زادت الحرارة أو الطاقة الحرارية Thermal energy. يقاس المقدار الكمي للحرارة بدرجة حرارتها. جميع اهتزازات المادة لها مدى خاص: عند اقل درجة حرارة هذا الاهتزاز نقول أنها مبردة.

تسمى أقل درجة حرارة الصفر المطلق Absolute zero، وفقاً للغياب الكامل للاهتزاز (الإثارة) والتي تطابق مع القانون الثالث لديناميكا الحرارية، ولا يمكن إنجازها حيث أنه لا توجد مادة أقل من الصفر المطلق (صفر كيلفين Kilven zero).

الديناميكا الحرارية هي مجال يركز على دراسة الطاقة وهو يقدر مقدار، وتحويل والتغير من شكل إلى آخر من أشكال الطاقة. إذا فكرنا مرة أن الطاقة هي كسائل الذي يتدفق من شئ إلى آخر. في ظل ذلك تفهم أن الطاقة هي خاصية للمادة. طبقاً للقانون الأول لديناميكا الحرارية، وايضاً يسمى قانون بقاء الطاقة، في الاستخدام كمية ثابتة. ببساطة يمكننا القول أن في النظام المغلق، كمية الطاقة في النظام كمية ثابتة. لا يمكن خروج أو

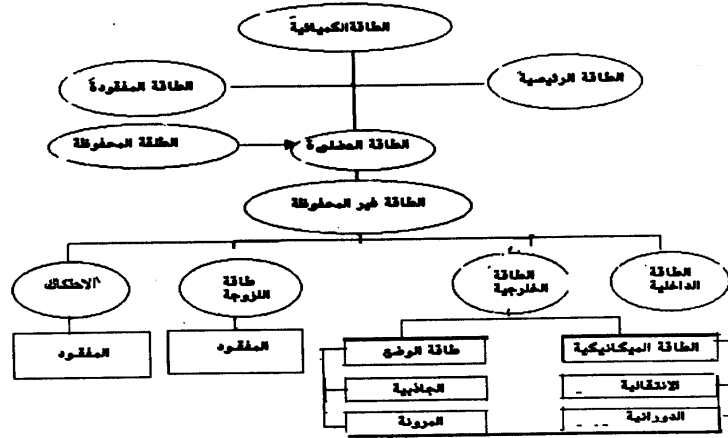


دخول أى قيمة فى النظام المغلق للطاقة. يمكن تغيير شكل الطاقة من خلال النظام، ولكن على المدى الطويل لا تدخل ولا تخرج أى قيمة لطاقة. وتظل القيمة الداخلية لها كمية ثابتة. بالطبع، ليس مسألة سهلة تقدير الكمية الكلية لمصادر الطاقة من خلال النظام.

ويشير جوردون وآخرون (٢٠٠٤م) (٣) أن رودولف Rudolph أول من وضع القانون الثانى للديناميكا الحرارية سنة (١٩٨٥م)، وقرر أنه عندما تحول الطاقة من شكل إلى شكل آخر - مثل عندما تنتج الكهرباء الضوء، وتنتج قدرة الماء الكهرباء، أو إنتاج الانقباض العضلى للطاقة البيوميكانيكية - يُفقد بعض هذه الطاقة وعلى المدى الطويل لا يمكن تحوله لشكل طاقة نافعة. أطلق رودولف على هذه الطاقة غير الصالحة للاستخدام اينتروپى Entropy: وهو عامل رياضى يعتبر مقياس للطاقة غير المستفادة فى نظام ديناميكي حرارى.

يمكن اعتبار الشغل Work كتنغير الطاقة إلى شكل طاقة أخرى نافعة، ويسمى أيضاً التحول. فمثلاً عندما ترفع النار حرارة قدرة الماء أو توليد قوة التيار حركة فى المكبس (غطاء القدرة)، أو عندما يمر تيار الكهرباء فى سلك لمبة المصباح لتوليد الضوء، تتحول الطاقة هنا من شكل إلى شكل آخر. فى كل مرة تتحول فيها الطاقة من شكل إلى آخر بعض هذه الطاقة لا يستخدم فى العمل، معظم هذه الطاقة المفقودة تتحول لشكل طاقة حرارية. تعتبر حرارة الملابس gears، والزنبوك sprine، والأسطح Surfaces، والهواء عادة طاقة مفقودة. يمكن فى بعض الحالات حساب هذه الطاقة الحرارية أو المفقودة وإعادة استعمالها : ولكن أيضاً بعضها دائماً يتسرب حول البيئة المحيطة ولا يمكن تغطيته. تصبح هذه الطاقة انتروپى Entrophy.

ويجب على متخصصي الميكانيكا الحيوية أن يفهموا أن هناك تكلفة لتحويل الطاقة من شكل إلى آخر، هذه التكلفة تظهر في شكل ارتفاع درجة حرارة الماكينات والعضلات وطول البيئة المحيطة. يعرض الشكل (١-٤) رسم تخطيطي لتدفق الطاقة خلال جسم الإنسان والمناطق المتعددة حيث تحدث فيها الانتروفي.



شكل (١-٤)

تدفق الطاقة من خلال جسم الإنسان إلى البيئة الخارجية المحيطة به، الطاقة الرئيسية تشمل طاقة جميع الأنسجة وتتضمن الهيكل العضلي. وتشمل الطاقة المفقودة جميع الطاقة التي يمكن على طول المدى الاستفادة منها نتيجة لحرارة البيئة المحيطة أو خلق تيار في السوائل في البيئة المحيطة (الهواء والماء). الطاقة المحفوظة هي الطاقة التي تعاد دورتها عن طريق تغيير الشكل من خلال الأعضاء أو بين الأعضاء كمثال، تُفقد بعض الطاقة في الاحتفاظ بالطاقة الكيميائية تظهر في رفع درجة حرارة الجلد أو الملابس بالنسبة للبيئة الخارجية وهناك وسيلتين أخرتين لفقد الطاقة الميكانيكية عن طريق الاحتكاك والزوجة. يحدث الفقد الاحتكاكي حيثما يحتك الجسم بالبيئة المحيطة به أو احتكاك الأنسجة داخل

الجسم والمعرضة للاحتكاك الداخلى. ويحدث الفقد عن طريق اللزوجة بسبب قوى المقاومة الناتجة عن التحرك خلال وسط مائع كمثل الهواء أو الماء، أو كنتيجة لخصائص لزوجة الأنسجة الداخلية المختلفة للجسم.

يحدث الشغل الميكانيكى عندما تتغير جميع الطاقة الميكانيكية للجسم. هذا المبدأ يسمى العلاقة بين الشغل - الطاقة وأسست على القانون الثانى لنيوتن. ومن الملائم وفقاً للقانون الثانى لنيوتن استخلاص العلاقة التالية :

الشغل الميكانيكى = التغير فى الطاقة الميكانيكية

↓ ↓

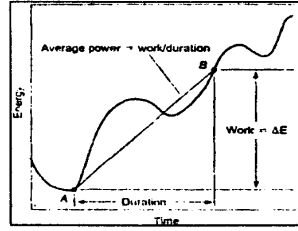
$$E_0 - E_1 = \Delta E = W$$

حيث أن الطاقة الميكانيكية الكلية لأى جسم (E) حددت كمجموع لطاقتى الحركة والوضع للجسم. حدد هذا النوع من الطاقة فيما بعد فى هذا الفصل. يعرض الشكل (٢-٤) العلاقة بين الشغل والطاقة. تذكر أنه بين النقطة A، والنقطة B، تغيرت الطاقة الميكانيكية للجسم. يمثل هذا التغير فى الطاقة الشغل الذى حدث على الجسم. إذا عرفت فترة دوام الشغل، يمكن حساب متوسط القدرة من العلاقة التالية :

$$\bar{P} = \Delta E / \Delta t = \text{work} / \text{duration} = W / \Delta t$$

يمكن حساب أى قدرة لحظية عند أى لحظة جزئية فى الزمن بواسطة تفاضل الزمن لمسار الطاقة. كما يلى :

$$P = d E / d t$$



شكل (٤-٢)

#### العلاقة بين الشغل والطاقة والقدرة المتوسطة

تذكر أنه يجب أن تكون وحدة كل من الشغل والطاقة متكافئة. وفقاً للاتفاق الدولي وحدة كلا الشغل والطاقة تسمى جول Joule، الجول هو الشغل المبذول بواسطة قوة واحد نيوتن التي تحرك أى شئ خلال مسافة متر فى اتجاه القوة. يكافئ الجول بعدياً للوحدات المستخدمة لعزم القوة وهى نيوتن. متر (N.m). مع ذلك يعطى الفيزيائيون الشغل والطاقة وحدات مختلفة تسمى Joule (J) - فى دليل جيمس بريزكوت James Prescott جول Joule. أسس الجول العلاقة الرقمية بين الشغل والطاقة الحرارية للمحركات الكهربائية. الجول نظام دولى للوحدات (SI) وحدة للشغل أو الطاقة (الميكانيكية، الكهربائية، الشمسية وهكذا) والنيوتن متر هى الوحدة (SI) لعزم القوة أو اللي Torque. وحدة (SI) للقدرة هى الوات Watt (يرمز له بالرمز W) والذي يعرف بأنه كمعدل لتوليد الشغل عند واحد جول خلال الثانية. سمى الوات بدليل جيمس وات Watt وهو الذى يصمم القوة الدافعة لرفع كفاءة قدرة الآلات الصناعية.

عندما يحدث الشغل بواسطة العضلات، ربما تستخدم بعض الطاقة الناتجة لتحريك التركيبات الداخلية والبعض ربما يستخدم لتوليد شغل على البيئة الخارجية المحيطة يسمى الشغل فى الحالة الأولى طاقة داخلية

Internal energy، وفى الحالة الثانية يسمى الشغل External energy (أنظر شكل ٤-١). ربما تعاد دورة توليد بعض الشغل بواسطة بقاء القوى. يتضمن الشكل (٤-١) أيضاً سلوك هذه الطريقة. نقل كمية عمل العضلة والطاقة الكيميائية المكتسبة عن طريق النظام فى إعادة دورة الطاقة. الشغل المبذول على البيئة المحيطة يمكن ببذل ضد قوى الاحتكاك أو للزوجة (المقاومة) أو يمكن استهلاكه فى تغيير طاقة الوضع و/أو طاقة الحركة للأشياء فى البيئة المحيطة. كمثال، عندما يرفع الشئ لارتفاع، تزيد طاقته الوضعية. تزيد طاقة وضع الاستطالة Elastic Potential Energy عن طريق الضغط لأسفل على الشئ المشابه للزنبرك مثل سلم القفز المتحرك فى الغطس أو سلم القفز ذو الذبذبة العالية فى القفز على حصان القفز فى الجمباز أو الزانة فى القفز بالزانة فى ألعاب القوى.

عندما ترمى الكرة تتولد الطاقة الخارجية بواسطة الجسم وتظهر فى شكل طاقة حركية انتقالية و/أو دورانية للكرة. تظهر الطاقة الحركية الانتقالية على شكل سرعة خطية بينما الطاقة الحركية الدورانية تظهر نفسها فى لف الكرة.

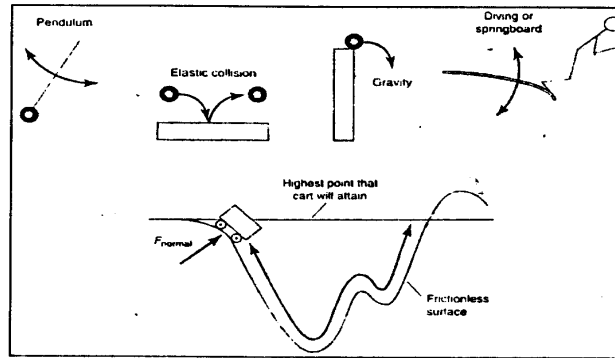
الطاقة الداخلية المختارة فى الشكل (٤-١) تظهر طاقتى وضع وحركة، ولكن فى حالة استخدامها لعمل شغل على شئ خارجى، تستخدم لتحريك التركيبات الداخلية. وتلك تظهر كحركات للأطراف العليا والسفلى وتعتبر المكلفة لأداء المهمة. تتطلب بعض المهام كمثال مستوى المشى، الجرى والتبديل فى الدراجة كميات صغيرة للشغل الخارجى للحصول الفرد على رفع السرعة ولكن عندئذ يتطلب شغل داخلى أساسى للحصول على السرعة. فى حين تتطلب بعض المهام الأخرى كمثال الرفع لأعلى والوثب لأعلى كمية صغيرة من الشغل الداخلى، ولكن نسبياً كميات كبيرة من الشغل

الخارجى. الفصول التالية سوف تركز الاحتواء على طرق حساب تلك الكميات المتنوعة للحركات المتسعة لتنوع حركات جسم الإنسان.

### ثانياً : بقاء كمية الطاقة الميكانيكية :

#### Conservation of mechanical energy

يجب حدوث إجراءات خاصة لبقاء الطاقة الميكانيكية. يحدث بقاء الطاقة الميكانيكية عندما يبقى حمل جميع القوى وعزمها على أى جسم أو عضو منفرد. حيث تبقى محصلة القوة المبذولة على الجسم هى القوة المتبقية. تبقى القوة أو عزم القوى عندما يتولد شغل لتحرك الجسم من نقطة إلى أخرى. ولا يعتمد على المسار المأخوذ، ويكون ذلك عندما يتولد الشغل معتمداً فقط على وضع كلا النقطتين. يشتمل بقاء القوى الجاذبية، والقوى النموذجية للزنبرك، ومرونة التصادم، وقوة الشد النموذجية للبندول، والقوة العادية للسطح غير الاحتك. يعرض الشكل (٣-٤) ظهور بقاء تلك القوى.



شكل (٣-٤)

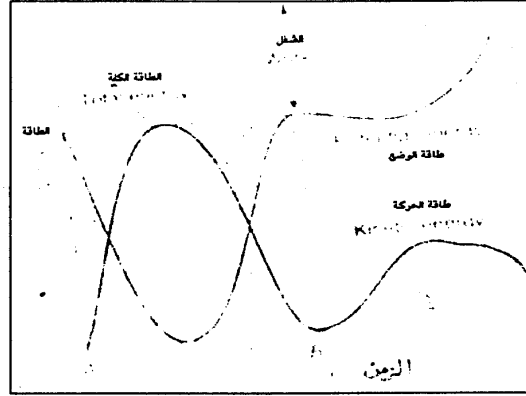
أمثلة لبقاء القوى

النتيجة الطبيعية التابعة لتعريف بقاء القوة هي أنه عدم توليد شغل بعد الفعل خلال المسار المغلق. كمثال، إذا اتصل الوزن بزنبرك مستقيم وانطلق حيث يعود الزنبرك لطوله المستقيم الأصلي بدون مساعدة من قوى أخرى، حيث لا يتولد شغل وتعتبر قوة الزنبرك باقية.

يتأثر الشغل المبذول بواسطة القوة غير المحفوظة (الباقية) عن طريق المسار الذي يأخذه عندما يتحرك الشيء من النقطة إلى نقطة أخرى. تشتمل القوى غير الباقية على قوى الاحتكاك، اللزوجة (مثل احتكاك الموائع)، وقوى مرونة اللزوجة Viscoelastic (مثل العضلة والوتر) وقوى تغيير شكل المرونة. قوى الاحتكاك قوى غير باقية لأنها كمية الشغل المبذول الذي يزيد بطول المسار بين النقطتين. يتطلب المسار الأكبر بذل شغل أكثر. نفس الحقيقة بالنسبة لقوى اللزوجة، يعتمد زيادة الشغل المبذول على قوى اللزوجة لزيادة سرعة المسار المأخوذ- كلما زادت سرعة الحركة خلال الوسط للزج كلما زاد الشغل المبذول. عموماً المقاومة القليلة لقوى اللزوجة تزيد مع مربع السرعة.

معظم بقاء القوى نماذج حيث لا يمكن تحولها فيزيائياً. فمثلاً الزنبركى النموذجى يستعيد جميع طاقته حيث ينتقل من الاستطالة أو الضغط إلى وضعه الأصلي. فى الحقيقة جميع الزنبركات تخضع للقانون الثانى لنيوتن للديناميكا الحرارية وفقدان بعض الطاقة فى شكل حرارة. بالمثل لا تحدث مرونة الشد الخالصة فى الطبيعة. تحدث مرونة الشد عندما يسقط الجسم من ارتفاع معين ويرتد لنفس الارتفاع. فى الحقيقة جميع نتائج الشد هى انخفاض فى ارتفاع الارتداد و/أو بعض حرارة تغيير شكل السطح. تحدث مرونة الشد عندما الجسم لا يرتد إطلاقاً.

قوى الجاذبية حقيقة باقية بسبب غياب القوى غير الباقية أى تغير فى طاقة الوضع يسبب تبعاً له تغير فى طاقة الحركة. فمثلاً إذا سمح الشئ بالسقوط تزيد طاقة حركته بنفس كمية اقلال طاقة وضعه لذلك يظل مجموعة طاقة الجسم ثابتة (هكذا تبقى طاقته). تعتبر قوى شد البندول أيضاً باقية وترتبط نموذجية الشغل بقوة الجاذبية. يعرض الشكل (٤-٤) البندول البسيط عند الزمن A، البندول أو الجسم عديم الحركية عند ارتفاع خاص جميع طاقته فى شكل طاقة وضع للجاذبية ولكن فى حال انطلاق الجسم يقل ارتفاعه وطاقة وضعه وفى نفس اللحظة تتحول إلى زيادة الطاقة الحركية بنفس الكمية التى قلها طاقة وضعه حتى يصل إلى قاع المرجحة. عند تلك النقطة (وسط المسار بين A، B) لا يمتلك الجسم طاقة وضع وفى هذه الحالة، جميع طاقته تكون فى شكل طاقة حركية.



شكل (٤-٤)

طاقة البندول. يبقى البندول من الزمن A إلى الزمن B. بين الزمنين B، C شغل مبذول لرفع البندول إلى أعلى مستوى طاقة. يعرض أيضاً كميات الطاقة الانتقالية والوضع



تجهز طاقة الحركة المصاحبة الضرورية لمرجحة الجسم للخلف إلى ارتفاعه الأصلي عند الزمن B. من الزمن B إلى الزمن C تعمل القوة غير الباقية لرفع الجسم إلى ارتفاع جديد ومستوى طاقة جديد- ذلك هو فعل الشغل. إذا سمح للجسم عندئذ للمرجحة تحت تأثير بقاء القوى (الجاذبية وقوة شد سلك البندول)، الجسم سوف يدور للخلف بقوة عند مستوى الطاقة الجديد، التغيير الداخلى لطاقة الوضع وطاقة الحركة بدون كلفة للنظام.

بالنسبة لجسم الإنسان وبخاصة خلال المشى بعض الطاقة تحفظ بواسطة الأجزاء الأولية للجسم لتعمل كبندولات بسيطة. وعلى أية حال هناك تكون طريقة أخرى للبقاء يمكن أن تأخذ مكانتها. وهى تكون ممكنة لتحويل الطاقة أولاً بين الأعضاء المجاورة، كما فى حالة تجميع البندولات. بالنسبة لحدوث هذا يجب أن تتصل، الأعضاء بالتقريب بالمفاصل عديمة الاحتكاك والعضلات التى تعمل عبر المفاصل يجب تكون إيجابية أو تعمل بإمكانيّة تحويل الطاقة عرض كل من ايلفتمان (Elftman، ١٩٣٩، أ، ب) (٦، ٧)، وينتير وروبيرتسون Winter & Robertson (١٩٧٩م) (١٦) وآخرون إن كل الحالات تحدث خلال مرحلة المرجحة فى الخطوة. عرضوا أن الطاقة الأصلية فى الرجل والقدم تتحول لمساعدة الفخذ من خلال المرجحة لأعلى أكثر من ذلك، نفس هذه الطاقة تتحول لخلف الرجل والقدم مباشرة قبل ضرب الكعب، حيث يصل الفخذ لأقصى ثنى عندما يقل الميكانيزم يحتاج تكلفة الطاقة الكيميائية، تنتج طاقة كيميائية وميكانيكية أكثر لمساعدة الشغل الضرورى لتجهيز الأعضاء. فمثلاً، خلال العدو أشار كل من ليمير وربيرستون Lemaire & Roberston (١٩٨٩م) (١٣)، فارداكسيز وهوسيزاكي Vardaxis & Hasizaki (١٩٨٩م) (١٤) إن هناك زمن كاف لفعل حركات البندول البسيطة أو المركبة خلال مرحلة الرجل. هؤلاء الباحثين أوضحوا أن فى بعض الرياضيين الطاقة المطبقة عند معدل ٤٠٠٠ وات/ث (Watts) لمرجحة الفخذ لأعلى أن حوالى ٣٦٠٠ وات يقودها

للخلف ولأسفل قبل اللمس لأسفل على المضمار. لا ينتظر اللاعبون لمساعدة بقاء الطاقة الضرورية لدورة الطرف السفلى خلال الجرى والعدو : تكتسب القوى غير الباقية عوضاً عن بقاء القوى يسمى مقياس الشغل المبذول بواسطة القوى غير الباقية إيرجوميتري Ergometry.

### ثالثاً : الايرجوميتري : الطرق المباشرة :

#### Ergometry : Direct Methods

في الحقيقة أن الايرجوميتري مقياس للشغل. تجريبياً، الايرجوميتري أى نظام أو تكنولوجيا التي تقدر القيمة العديدة للشغل المبذول خلال النشاط. يستخدم المتخصصون في علم الحركة والتربية الرياضية كثير من الايرجوميترات التجارية ولكن الأكثر انتشاراً هو ربما يكون الدراجة الايرجوميترية. والاكتشافات الأكثر انتشاراً الموجودة في معامل الأبحاث وحجرات التمرين تشتمل على ماكينات التجديف Rowing machines. على أية حال بعض هذه الاكتشافات تفتقر معايرتها لدقة القياس بالنسبة لنوعية الايرجوميتري، هذا الاكتشاف يجب بقياس كحد أدنى شيتين- القوة والإزاحة أو عزم القوة والإزاحة الزاوية. ذلك لأن الشغل يحدد كنتائج لأزمة القوة والإزاحة أو المسافة الانتقالية.

لأكثر دقة، يحدد الشغل كمقياس Scalar أو نقطة إنتاج القوة والإزاحة.

لذلك يحدث الشغل عن طريق نقل محصلة القوة على أى جسم كما يلي :

$$W = \vec{F} \cdot \vec{S} = F_x S_x + F_y S_y = F S \cos \phi$$

حيث أن  $W$  = الشغل المبذول،  $\vec{F} = (F_x, F_y)$  = محصلة القوى،  $\vec{S}$

و  $(S_x, S_y)$  = الإزاحة،  $\phi$  = الزاوية بين القوة ومتجهات الإزاحة. عندما

يستخدم عزم القوة الشغل المبذول تقدر مقداره كما يلي :

$$W = M \theta$$

حيث أن  $M =$  محصلة عزم القوة،  $\theta =$  الإزاحة الزاوية للشئ، إذا امتلك الجسم محصلة قوة لا تساوى صفر وعزم قوة لا يساوى صفر، إذن الشغل المبذول يكون مجموع المعادلتين السابقتين. تذكر أن لإضافة الشغل المبذول بواسطة محصلة القوة ومحصلة عزم القوة، وحدات القياس يجب أن تكون هي نفسها. وحدات شغل القوة تظهر لتكون نيوتن.متر (N.m) ولكن تلك الوحدات تكافئ بعدياً للجول. يظهر الشغل المبذول بواسطة محصلة عزم القوة كوحدة نيوتن. متر. زاوية نصف قطرية، ولكن لأن النيوتن ميترات تكافئ الجولات وزوايا النصف قطرية هي بدون أبعاد، تلك الوحدات تكافئ بعدياً لوحدة الشغل الناتج بواسطة القوة والمسمى بجولات.

يمكن قياس الشغل المبذول في كثير من الحالات باستخدام القوى أو عزم القوة. فمثلاً على دراجة ارجوميتر مونارك Monark Bicycle Ergometer، يمكن قياس الشغل المبذول بواسطة عزم القوة الناتج بواسطة أزمنة نظام فرملة العجلة الطائرة وعدد دورانات العجلة الطائرة (أزمنة Mt لتحويل دورانات العجلة الطائرة إلى زاوية نصف قطرية). يجب أن يكون عزم القوة بوحدة نيوتن. ميترات ويعتمد على وضع تحميل ذراع الأرجوميتر. معايرة معظم الأرجوميترات تستخدم الوحدة المطلقة للكيلوبوند Kilopond، التي تكافئ لوزن (قوة) كتلة لواحد كيلوجرام. لتحويل حمل الكيلوبوند إلى القوة المكافئة له بالنيوتن، تضرب الحمل في قيمة عجلة الجاذبية الأرضية  $9.81 \text{ م/ث}^2$ . وذلك كما يلي :

$$F(\text{newtons}) = \text{Load (kilopond)} \times 9.81 (\text{newtons/kilopond})$$

للحصول على عزم القوة المولد بواسطة الحمل، تضرب أزمنة القوة في الزاوية النصف قطرية للعجلة الطائرة. هذه المسافة هي  $20.46 \text{ م}$  (محيط الدائرة -  $160 \text{ سم}$ ) بالنسبة لدراجة ارجوميتر مونارك. لذلك، الشغل المبذول (W) يستخدم عزم قوة يضاهى ما يلي :

$$W = M \theta = Fr \theta$$

حيث أن  $F$  = الحمل بالنيوتن،  $r$  = نصف قطر الدوران للعجلة  
الطائرة،  $\theta$  = الإزاحة الزاوية للعجلة الطائرة. في الواقع القوة أو الحمل  
لحزام الايقاف يولد احتكاك دوراني يكافئ للاحتكاك الخطي لفعل قوة المماس  
للعجلة الطائرة. لذلك :

$$W = F(N) \times \text{radius (m)} \times \text{rotations (revolutions} \times 2 \pi \text{ radians/ revolution)}$$

عادة يقاس الشغل لدراجة ارجوميتر مونارك تستخدم عدد دورانات  
الكرنك كبديل لعدد دورات العجلة الطائرة. في الارجوميتير المعايير دورات  
(لا عجلة طائرة) كل كرنك تكافئ ازاحة ٦ متر لنقطة على إطار العجلة  
الطائرة. لذلك :

$$W = \text{load (kilopond)} \times 9.81 \times \text{carank rotations} \times 6 \text{ (m/revolution)}$$

في كل حالة وحدة الشغل هي الجولات.

يمكن استخدام المشاية أيضاً Treadmill كارجوميتر يجرى الفرد  
عند سرعة ثابتة ويميل لاجداث كمية شغل تكافئ لرفع وزن الجسم لأعلى  
لارتفاع معين. بحسب الارتفاع عن طريق ضرب سرعة المشاية في الزمن  
المستغرق للجري بالثوان في جا زاوية الميل. كما يلي :

$$W = \text{body weight (N)} \times \text{speed (m/s)} \times \text{duration (s)} \times \sin \gamma$$

حيث أن  $\gamma$  = زاوية الميل على المشاية، تذكر أن التركيز على لا  
يعطى لمسافة الانتقال الدافعية ولكن فقط لتفضيل ارتفاع الشخص الذي سوف  
يرتفعه للارتفاع المكافئ وتسلم أيضاً أن لا شغل بذل ضد خدام المشاية كنتاج  
لامتطاط أو احتكاك وحيث السرعة هي ثابتة من خلال الجرى.

#### رابعاً : الأرجوميترى : الطرق غير المباشرة :

##### Ergometry : Indirect methods

فى الحقيقة أن جميع طرق تحديد الطاقة الميكانيكية لأى نظام هى غير مباشرة لعدم وجود طريقة مباشرة لقياس تدفق الطاقة فى النظام أينما تكون. مثال لذلك عداد الكهرباء فى المنزل. عندما تعزز القياس غير المباشر لطاقة الميكانيكية، نحن نشير إلى طريقتين حيث تحدد القيمة العددية لحركة الأجسام، وتسمى طاقتها الحركية Kinetic energies، ووضع الأجسام فيما يتعلق بثبات الكادر المرجعى، وتسمى طاقتها وضعية Potential energy. ويوضح مجموعة طاقتى الوضع والحركة الطاقة الميكانيكية الكلية.

لتسهيل تحليل بعض النظم، يمكن اختصار وضع وحركة النظام بالتركيز فقط على نظام مركز الجاذبية عند الكتلة كنقطة. عندما تحلل الكتلة كنقطة تعرض فقط نوعين من الطاقة طاقة الحركة الانتقالية Translation Kinetics Energy، طاقة وضع الجاذبية Gravitational potential energy. نسلم بأن أفضل نموذج لجسم الإنسان حيث يعتبر جسم الإنسان نظام مركب داخلياً من أجسام صلبة أو أعضاء. فى هذه الحالة، يشتمل كل عضو على نوع إضافى من الطاقة يسمى الطاقة الحركية الدورانية Rotational kinetic energy. وحتى الآن من النادر محاولة نمذجة كل عضو كجسم متغير الشكل، بينما فى حالة طاقة الوضع المرنة Elastic potential energy تكون ضمن المركب الكلى لطاقة الميكانيكية.

يمكن تحديد القيمة العديدة لكل من تلك الطاقات بمعرفة كينماتيكا الجسم أو أجزائه. وسوف نتناول طرق تحديد الطاقة لكل نقطة وكنظم للأجسام الصلبة. المدخل المتاح يستخدم علاقة الشغل - الطاقة. توازن هذه العلاقة الشغل المبذول على الجسم لتغيير الطاقة الميكانيكية للجسم. بالإضافة لذلك يمكن حساب الطاقة الميكانيكية بتحديد الشغل المبذول على الجسم

بواسطة كلا القوى الداخلية والخارجية. هذا المدخل وصف فى الفصل المسمى طرق الديناميكا المعكوسة.

#### طرق نقطة الكتلة : Point mass methods

سبق وأشرنا إلى أنه يمكن دراسة جسم الإنسان عن طريق دراسة مسار مركز ثقل كتلته الممثل فى نقطة تكون فيها مجموع القوى وعزومها المؤثرة فيها تساوى صفر. وفى هذه الحالة يمكن دراسة الطاقة الميكانيكية لهذه النقطة وتحديد مقدارها رقمياً من الحركة الانتقالية لها. أكثر الطرائق المنتشرة للحصول على الحركة الانتقالية (الخطية) هى ترقيم إحداثيات العلامات المتصلة بالجسم وبعد ذلك حساب التفاضل للحصول على السرعات الخطية. المدخل الأسهل ولكن الأقل دقة هو تحديد وضع مركز كتلة الوضع وتحديد المسار. كذلك أسلوب، الطاقة الكلية للكتلة كنقطة هى مجموع طاقة وضع الجاذبية مضافاً إليها طاقتها الحركية الانتقالية كما يلى :

Gravitational potential energy :

$$E_{gpe} = m g y$$

Translational kinetic energy :

$$E_{tke} = \frac{1}{2} m v^2 = \frac{1}{2} m (v_x^2 + v_y^2)$$

Total mechanical energy :

$$E_{tme} = E_{gpe} + E_{tke}$$

حيث أن  $m$  = كتلة الجسم،  $g$  = عجلة الجاذبية الأرضية وهى  $9.81 \text{ م/ث}^2$ ،  $y$  = ارتفاع الجسم فوق المحور المرجعى الأفقى،  $(v_x, v_y)$  = سرعة النقطة فيما يتعلق بالمحاور المرجعية الثابتة. يستخدم العديد من الباحثين هذا المدخل لتحديد المقدار الرقمى للشغل المبذول خلال المشى، والجرى، والعدو.

### خامساً : طرائق الأجزاء : Segmental methods

عادة تحسب طاقة وضع الجاذبية، وكلا الطائقتين الانتقالية والدورانية الميكانيكية لحساب الطاقة الميكانيكية الكلية للعضو. هذه المعادلة صحيحة بالنسبة لأي جسم صلب ولكن الجسم متغير الشكل، تشتمل المعادلة أيضاً على طاقة الوضع المرنة. في معظم الدراسات البيوميكانيكية، لا يمكن حساب طاقة الوضع المرنة لأن كمية التشوه تكون صغيرة لدرجة يصعب معها قياسها للحصول عليها. أيضاً إذا أمكن تحديد تلك العوامل تخزن كمية الطاقة في هذه الطريقة غير مكفول التكلفة.

تحدد المعادلات التالية كيف تحسب الطاقة الميكانيكية الكلية ( $E_{tme}$ )

للأعضاء (الأجزاء).

Gravitational potential energy :

$$E_{gpe} = m g y$$

Translational kinetics energy :

$$E_{tke} = \frac{1}{2} m v^2 = \frac{1}{2} m (v_x^2 + v_y^2)$$

Rotational kinetic energy :

$$E_{rke} = \frac{1}{2} I \omega^2$$

Total mechanical energy :

$$E_{tme} = E_{gpe} + E_{tke} + E_{rke}$$

حيث أن  $m$  = كتلة العضو،  $g = 9.81$  م/ث<sup>2</sup>،  $y$  = ارتفاع العضو أعلى المحور المرجعي الأفقي.  $(v_x, v_y)$  = سرعة مركز ثقل كتلة العضو في كلا الاتجاهين  $(x, y)$ ،  $I$  = عزم القصور الذاتي للعضو حول مركز ثقله،  $\omega$  = السرعة الزاوية للعضو. للحصول على الطاقة الميكانيكية الكلية للعضو تجمع الطاقات الفردية للأعضاء كما يلي :

### Total body mechanical energy

$$E_{tb} = \sum_{s=1}^S E_{tmeis}$$

حيث أن S = عدد الأعضاء في نموذج جسم الإنسان،  $E_{tmeis}$  = الطاقة الكلية الميكانيكية للأعضاء.  
يختلف عدد الأعضاء من دراسة إلى أخرى ويعتمد على الحركة والتسليم بأى الجانبين متجانس.

### سادساً : الكفاءة (الفعالية) الميكانيكية : Mechanical efficiency

عموماً الكفاءة الميكانيكية أو الفعالية الميكانيكية والتي يرمز لها بالرمز (ME) تحدد إما بالشغل المبذول بواسطة نظام يقسم بواسطة تكلفة الطاقة لنظام الجرى (الزمن ١٠٠%) أو ناتج القدرة لنهاية مدخل القدرة وتكون كما يلي :

$$ME = 100\% \times W_{output} / W_{input} \\ = 100\% \times P_{output} / P_{input}$$

نسبياً قياس المدخل والناتج لكل من الشغل والقدرة فى النظم الميكانيكية والكهربائية سهل. على سبيل المثال، قيس تكلفة المدخل لآلة بواسطة كمية الوقود المستهلك أو الكهرباء المستخدمة. مخرج الشغل أو القدرة تحديده صعب ولكن يعتمد على من أجل ماذا تستخدم الآلة. هى قيست بواسطة الشغل النافع المبذول. بالطبع، لا توجد آلة يمكن إنجازها إن يكون بكفاءة ١٠٠%. بعض الطاقة تفقد كحرارة احتكاك أو مقاومة للزوجة، للباس ميكانيكى لأجزاء النظام. النظم الميكانيكية النموذجية فى الحقيقة إنجازها بكفاءة تزيد عن ٣٠%، والنظم الكهربائية تزيد أكثر من ٤٠%.



تحدد الكفاية الميكانيكية بالنسبة لنظام البيولوجي كشغل ميكانيكي بذل  
لنهاية زمن التكلفة ١٠٠%. عموماً يعتبر الشغل الميكانيكي هو الشغل  
الخارجي المبذول بواسطة الجسم على البيئة الخارجية. هذه القيمة الرقمية  
للشغل حددت فيما سبق. على أية حال حديثاً حدد الشغل المبذول كشغل  
ميكانيكي كلى بذل بواسطة الجسم- وبمعنى آخر، الشغل الخارجي يضاف  
للشغل الداخلي المبذول. سبق تحديد هذين الاصطلاحين فى هذا الفصل.  
والسبب فى حدوث استرجاع التحديد هو صفر شغل بارادوكس Zero-work  
paradox.

يحدث صفر شغل بارادوكس عندما الفرد أو الماكينة تنتقل (المشى،  
الجرى، التبديل، أو حركات أخرى)، وبمتوسط سرعة ثابتة على طول  
مستوى السطح. يمكن قياس الناتج بواسطة حساب تكلفة الطاقة للنشاط. فى  
حالة جسم الإنسان تقاس تكلفة الطاقة من الاستخدام البيولوجي الغذائى، كمث  
ثلاثى فوسفات أدينوسين (ATP) Adenosine triphosphate، أو فوسفات  
الكرياتين (CP) Creatine phosphate، أو بصورة غير مباشرة بواسطة  
كمية استهلاك الأكسجين بواسطة النشاط. على أية حال فى جميع تلك  
الحالات يكون الشغل الميكانيكي المبذول صفر لأن هناك لا يوجد تغير فى  
الطاقة الميكانيكية للجسم. لأن تحرك الجسم على طول سطح مستو، وليس  
هناك تغير فى طاقة وضع الجاذبية ولأن الجسم يمتلك سرعة ثابتة، وليس  
هناك تغير فى الطاقة الحركية (مع وضع فى الاعتبار أن تكلفة الاحتكاك  
مهملة).

للايضاح، يمكن تنتقل الماكينة أو الشخص لمسافة بكفاية أو بدون  
كفاية. كمثال، نفترض أن أحد الأشخاص يسير بسرعة فى خط مستقيم من  
النقطة (أ) إلى النقطة (ب) أو يتسكع بين نقطتين أو يحجل على رجل ويعرج

على الأخرى. فى جميع الحالات السابقة إذ بدأ الفرد بنفس السرعة التى انتهى إليها فليس هناك أى شغل مبذول يمكن قياسه إذا قيس فقط الشغل الخارجى.

بالطبع التكلفة الفسيولوجية انعكاس لأى حركات غير عادية وبدون فعالية خلال المهام الحركية، لذلك معظم نماذج فعالية المشى تمتلك تكلفة أقل. وهى تشبه اختيار نفس خطوة المشى فى المثال التى تناقش الخطوة الأكثر كفاية. ولكن القياسات الفسيولوجية لا تخبر الباحثين أين خط عدم الكفاية. لحل تلك المشكلة، العديد من الباحثين تضمن الشغل المبذول الداخلى فى صورة كسر لدرجة أن الكفاية الميكانيكية حددت كما يلى :

$$ME = \frac{100\% \times (\text{external work} + \text{internal work})}{\text{physiological cost}}$$

بسط الكسر (الشغل الداخلى + الشغل الخارجى) هو أيضاً المسمى الشغل الميكانيكى الكلى وهو أفضل قياس عن طريق مجموع تكامل القدرة المكلفة المنتجة بواسطة عزم القوة الخاص، ولكن هى ربما أيضاً تقدر بواسطة مجموع القيم المطلقة لتغيرات فى الطاقة الميكانيكية الكلية للجسم. هذه المقاييس بالإضافة إلى تقييمها للكفاية كنماذج الحركية تساعد أيضاً فى مطابقة أين أنتجت الطاقة الميكانيكية وأهدرت. ويمكن مطابقة خروج وضعيتهم. بالرغم من أن حساب تكلفة الطاقة الميكانيكية بهذه الطريقة غير تام، على الأقل يمكن للفرد التبصر بالفوز بكيفية أداء عامل فى أى نشاط. على أية حال تحدد صعوبة المصدر الآخر القيمة الكمية للكفاية الميكانيكية فى النظام البيولوجى بالضبط فى كيفية حساب التكاليف الفسيولوجية. يستخدم كلا متخصصى الفسيولوجى والميكانيكا الحيوية فى تقدير تكاليف الطاقة

طريقة غير مباشرة هي الكالوريميتري Calorimetry. وهذه الطريقة تسلم بأن استهلاك الأكسجين يتكافئ مع تكاليف الطاقة Energetic costs. مازال البحث جارى فى الأنشطة الفرعية، باستثناء الأنشطة التى تتجاوز نتائج العتبة الفارقة، اللاهوائية Anaerobic threshold تراكم حامض اللاكتيك والدين الأكسجيني. الدين الأكسجيني هو كمية الأكسجين المستهلكة التى يحتاجها الجسم لإعادة الاحتفاظ بتوازن حالته. هذه التكلفة يجب أن تتضمن جزء من التكلفة الفسيولوجية للحركة ولكنها لا تتضمن ذلك إذا المختبر أوقف قياس تكلفة الأكسجين فى نهاية النشاط. لاختصاع التكلفة الفسيولوجية للتصحيح، سوف يقدر الباحثون القيمة الرقمية لتكلفة الأكسجين حتى يعوض الدين الأكسجيني. تظهر الصعوبة فى التحديد بالضبط عندما يحدث هذا ولمدة طويلة لاسترجاع توازنه.

#### المخلص : Summary

تناول هذا الفصل تفاصيل كيفية حساب أو قياس كل من الطاقة الميكانيكية والشغل والقدرة للحركات المستوية لجسم الإنسان. عرضت طرق حساب الشغل للجسم كله وكل جزء من أجزائه والشغل المبذول بواسطة عزم القوة عند كل مفصل. سلطت الأضواء على أكثر الوسائل النافعة فى الميكانيكا الحيوية- تحليل قدرة المفصل، التى تخبر الباحث بالطاقة الميكانيكية المستهلكة وأين تتحول من خلال الجسم وأين تنتج.

## أختبر معلوماتك :

### تطبيقات

#### مشكلة حركية (١)

احسب الشغل المبذول على دراجة الارجوميتير إذا بدل الفرد ضد مقاومة ٢,٥ حمل شغل كيلوبوند لمدة ٢٠ ثانية عند معدل ٦٠ دورة / ثانية. علماً بأن كل دورة تكافئ ٦ متر من الحركة الخطية للحداقة؟  
أولاً : تحول الشغل لنيوتن :

$$24,53 = 9,91 \times 2,5 \text{ نيوتن}$$

ثانياً : تحسب عدد الدورات للكرنك :

$$\text{عدد الدورات} = 20 \times 60 = 1200 \text{ دورة / ثانية}$$

أخيراً - تحسب الشغل :

$$\text{الشغل (W)} = 24,53 \times 1200 \times 6 = 176,616 \text{ جول}$$

$$= 176,60 \text{ جول}$$

#### مشكلة حركية (٢)

احسب الشغل المبذول والقدرة الناتجة عندما يتحرك لاعب ألعاب القوى كتلته ١٨٠ كيلوجرام للبدء من الوقوف لإنجاز سرعة ٦م/ث في ٤,٠٠ ثوان. علماً بأن اللاعب جرى على سطح مستوى وأهملت طاقته الدورانية؟

#### الحل

$$W = \Delta E = E_{\text{final}} - E_{\text{initial}}$$

تفترض أن التغير في الطاقة نتيجة للتغير في السرعة

$$W = \frac{1}{2} m v^2 - 0 = \frac{1}{2} \times 180 \times 6^2 = 3240 \text{ J}$$

$$\text{Power} = \text{Work} / \text{duration} = 3240 / 4 = 810 \text{ W}$$

مشكلة حركية (٣) :

احسب الطاقة الميكانيكية لفخذ كتلته ١٨,٠ كجم وسرعته الخطية ٨,٠٠ م/ث وسرعته الدورانية ٢٠,٠ زاوية نصف قطرية/ث وارتفاع مركز ثقله ١,٢٠ متر، علماً بأن عزم القصور الذاتي للفخذ كان ٠,٥ كجم.م<sup>٢</sup> ؟

الحل

أولاً : نحسب طاقة الوضع :

$$\text{طاقة الوضع} = ١٨,٠ \times ٩,٨١ \times ١,٢٠ = ٢١٢,٩ \text{ جول}$$

ثانياً : نحسب طاقة الحركة الانتقالية :

$$\text{طاقة الحركة الانتقالية} = \frac{1}{2} \times ١٨,٠ \times ٨^2 = ٥٧٦ \text{ جول.}$$

ثالثاً : نحسب طاقة الحركة الدورانية :

$$\text{طاقة الحركة الدورانية} = \frac{1}{2} \times ٠,٥ \times ٢٠,٠^2 = ١٠٠,٠ \text{ جول}$$

أخيراً : نحسب الطاقة الميكانيكية الكلية :

$$\text{الطاقة الميكانيكية الكلية} = ١٠٠ + ٥٧٦ + ٢١٢,٩ = ٨٨٩ \text{ جول}$$

## المراجع

- ١- عادل عبد البصير على: (١٩٩٨م)، الميكانيكا الحيوية والتكامل بين النظرية والتطبيق فى المجال الرياضى، الطبعة الثانية، مركز الكتاب للنشر، ص(٨١-٩٠).
- ٢- ليف لفسون: (١٩٦٨م)، ترجمة دار مير للطباعة والنشر، الاتحاد السوفيتى، موسكو، ص(٢٠٣-٢٣٢).
- 3- Alexander, R.M. and Galdspink: (1977), Mechanical and energetics of animal locomotion, London Champ & Hall.
- 4- Cappozzo, A. et al.: (1976), The interplay of muscular and external forces in human ambulation, Journal of Biomechanics, 9: 35-43.
- 5- Dempster, W.T.: (1955), Space requirements of the seated operator: Geometrical kinematic and mechanical aspects of the body with special reference of the limbs, WADC Technical Report, 55-159, Wright- Patterson Air Force Base, OH.
- 6- Elftman, H. (1939a): Forces and energy changes in leg during walking. American Journal of Physiology, 125: (339-395).
- 7- Elftman, H. (1939b): The function of muscles in locomotion, American Journal of Physiology, 12: (359-413).

- 8- Fischer, D., and W., Brown: (1989), Über shwerpunk der menschlichen korperes, mit rucksicht auf die ausrüstung des deutschen infanteristen, ad handlum gen mathematisch- physuschen classe der kanigl, sachsichen gesellschaft wissenschaften 26: (561-672).
- 9- Fischer, D. (1906): theoretische grundlagen eine mechanic der lebenden korper mit speziellen an wendungen den menschen, sowie auf enige bewegungs- vorange an maschine (theoretical fundamentals for mechanics of living bodies with special applications to man as to some processes of motion in machines), Leipzig: BG. Tuebner.
- 10-Gordon, E. Robertson et al.: (2004), Research methods in biomechanics, Human Kinetics, U.S.A, P.(125-144).
- 11-Harless, E. (1860): The static moments of component masses of the human body, treatises of the mathematics physics class, Royal Bavarian Academy of Sciences, 61-295, Wright Patterson Air Forces Base, OH< 1962.
- 12-Ingen Schenau, G.J., et al.: (1990), Power equations in endurance sports. Journal of biomechanics, 23: 865-881.
- 13-Lémaire, E.D. and D.G.E. Robertson: (1989), Power in sprinting. Track & field Journal, 35: (13-20).

- 14-Reuleux, F.: (1876), The kinematics of machinery: outlines of a theory of machines, London: MacMillan.
- 15-Vardaxis, V.G. and T.B. Hoshizaki: (1989), Power patterns of the lower limb during the recovery phase of the sprinting stride of advanced and intermediate sprinters. International Journal of sport Biomechanics 5: (332-381).
- 16-Winter, D.A. (1987): The biomechanics and motor control of human movement, Waterloo, On: Waterloo Biomechanics, Movement 2<sup>nd</sup> ed., Toronto: John Wiley & Sons.
- 17-Winter, D.A., and D.G.E., Roberston: (1979), Joint torque and energy patterns in normal gait, Biological Cybernetics, 29: (137-179).



## الفصل الخامس

### كيناتيكا الثلاث أبعاد Three Dimensional Kinetics

الأهداف

تمهيد

أولاً : تجهيز العمل

ثانياً : البيانات المطلوبة لتحليل ثلاثي الأبعاد

ثالثاً : البيانات الكينماتيكية

رابعاً : الحسابات المستخدمة بيانات المعايرة

خامساً : الكيناتيكا

الخص

اختبر معلوماتك

المراجع



## الفصل الخامس

### كيناتيكا الثلاث أبعاد

### Three Dimensional Kinetics

#### الأهداف Objectives

- بعد قراءة هذا الفصل يصبح القارئ قادراً على ما يلي :
- ١- عرض أحد طرق حساب الثلاث أبعاد لعزم وقدره المفصل.
  - ٢- تتبع المدخل لحساب كيناتيكا الأبعاد الثلاثة خطوة بخطوة.
  - ٣- عرض نماذج البيانات التي تتم حساب الأبعاد الثلاثة.
  - ٤- عرض مجموعات العلامات المرجعية المستخدمة في الأبحاث.

#### تمهيد : Review

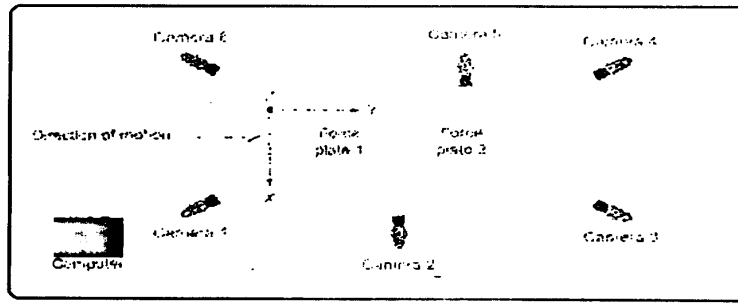
بالتأكيد أن تحديث التطبيق العلمي للبيانات التي يمتلكها، أتاح الفرصة وشجع دراسة الأبعاد الثلاثة، ومع ذلك قدرة قياس الأبعاد الثلاثة للحركة لم تعطينا آلياً القدرة على التحليل أو أى رؤية لصلاحية القياسات. يسهل التحليل في مستويين Biplanar analysis تسلسل التحليل في اتجاهين لأهداف الحركة في مستويات متنوعة (المستوى السهمي Sagittal planar، المستوى الأمامي Frontal planar... وهكذا)، ولكن في الحقيقة تحليل الأبعاد الثلاثة يضع في الحسبان جميع مورفولوجية وعدم انتظام جسم الإنسان وحركاته المعقدة والمتعددة الاتجاهات.

وهدفنا الأساسي في هذا الفصل هو عرض نحين الأبعاد الثلاثة للدين يعملون في مجال دراسة حركة جسم الإنسان وبخاصة الباحثون في مجال الأنشطة الرياضية والذين يرغبون في فهم مفاهيم خطوط هذا النوع من التحليل، وبخاصة المدرس والمدرّب وطلاب الدراسات العليا، ومرحلة البكالوريوس في مجال التربية الرياضية والرياضة.

ونود الإشارة إلى أننا في هذا الفصل سوف نتناول تحليل الأبعاد الثلاثة من خلال دراسة كيناتيكا حركة جسم الإنسان في الأنشطة الرياضية والرياضة، وعرض أكثر الطرق انتشاراً كحساب الأبعاد الثلاثة لعزم وقدره المفصل، وتتبع المدخل لحساب كيناتيكا الأبعاد الثلاثة خطوة خطوة، وعرض نماذج البيانات التي تتم حساب الأبعاد الثلاثة، وعرض مجموعات العلامات المرجعية المستخدمة في الأبحاث.

#### أولاً : تجهيز المعمل : Laboratory setup

توظف كثير من المعامل ربط تحليل الثلاثة الأبعاد لحركة جسم الإنسان بالكاميرات المتعددة ومنصة لقياس القوى أو أكثر. نظام تعدد كاميرا التصوير ضروري وصحيح لإعادة تركيب مكان العلامات على الفرد. بالنسبة لكل حالة يحدد الحد الأدنى لعدد كاميرات التصوير. على أية حال معظم المعامل الإكلينيكية تعمل جراحة الخطوة بست كاميرات تصوير على الأقل. منصة واحدة لقياس القوى ضرورية لتجميع البيانات الخاصة بها ولكن تجهيز منصات لقياس القوى المتعددة تسمح للباحث بتجميع بيانات مزدوجة جميع نظم جمع البيانات التجارية توظف الأقراص المدمجة حيث تتزامن القوة مع البيانات الكينماتيكية. يعرض الشكل (٥-١) تجهيز كاميرات التصوير بالفيديو في المعمل الإكلينيكي لجراحة الخطوة.



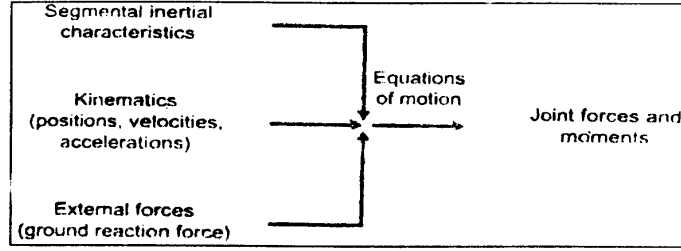
شكل (١-٥)

التجهيز التجريبي النموذجي للكاميرا للتحليل  
ثلاثي الأبعاد المركب لخطوة المشي

### ثانياً : البيانات المطلوبة لتحليل ثلاثي الأبعاد :

Data required for three-dimension analysis

أن أنواع البيانات ضرورية لأن مصادر الخطأ الممكنة في الأبعاد الثلاثة لعزم وقوى المفصل هي نفسها لتلك المحسوبة في البعدين. فيما يتعلق بالمدخل المستخدم في الحساب، تتضمن معادلات الحركة بارامترات للقصور الذاتي للعضو وتشتمل على كتلة العضو ومركز الكتلة، وعزم للقصور الذاتي، وتشمل البيانات الكينماتيكية سرعات وعجلات أوضاع للمفصل، وتتضمن القوى والعزم قوى رد فعل الأرض (GRF). كما في شكل (٢-٥). تستخدم تلك البيانات في معادلات الحركة. وتكون المجاهيل في هذه المعادلات هي القوى وعزم المفصل بينما المعطيات الكمية المعلومة هي قوى رد فعل الأرض، والكينماتيكا العضوية، وبارامترات القصور الذاتي للعضو.



شكل (٢-٥)

تدفق خريطة المدخل للميكانيكا المعكوسة

#### الأنثروبومتري : Anthropometry

الأنثروبومتري فرع من الأنثروبولوجيا يبحث في قياس أبعاد الجسم البشرى وعلاقة تلك القياسات بأدائه. ويمكن تحديد أنثروبومترية الأعضاء التي تقيس كتل العضو Segment masses، وأطوال العضو Segment lengths، ومواقع مركز ثقل كتلة العضو Segment center-of-mass، وعزم القصور الذاتي للعضو حول المحور الأساسى locations، و Segment moments of inertia about the principal axes وبطرائق عديدة مختلفة. يمكن اشتقاقها من الجثث كما فى كل من ديمبستر Dempster (١٩٥٥م) (٩)، تشاندلر وآخرون Chander et al. (١٩٧٥م) (٦)، وكلاوسير وآخرون (١٩٦٩م) (٧)، ومن قياس مباشر كما فى بروكز وجالويز Brooks & Jacobs (١٩٧٥م) (٥)، وزاتسيورسكى وسيلويانوف Zatsiorsky & Seluyanov (١٩٨٥م) (٢٢)، ومن معادلات الانحدار كما فى فوغان وآخرون Vaughan et al. (١٩٩٢م) (٢٠)، ومن النموذج الرياضى كما فى هانافان Hanavan (١٩٦٤م) (١٠)، هاتز Hatze (١٩٩٨م) (١٣). ولا واحد من تلك المداخل لتحديد تلك البارامترات أكثر

صحة من الآخر. يجب أن يتم الاختيار بين استخدام أحد هذه الطرق في تحديد البارامترات الأنثروبومترية لجسم الإنسان على أساس مجتمع الدراسة ومستوى الدقة التي يفكر فيها الباحث.

وضع مركز المفصل هو العامل المعياري لتحليل كينماتيكا المفصل ويمكن حساب مراكز المفصل في لحظات معينة من مكان العلامات الإستراتيجية على الشخص خلال تحركه في مجال صندوق المعايرة. وعلى أية حال، يستخدم باحثون آخرون تكتيكات أخرى كالاشعاع مثل ديلازيو وآخرون (Deluzio et al. ١٩٩٩م) (٨)، والقياسات التشريحية مثل أندرياشي وآخرون (Andriacchi et al. ١٩٨٠م) (٣)، في أي وقت يعين مركز المفصل ومركز ثقل كتلة كل عضو تستخدم هذه البيانات لتحديد العضو. تشمل هذه البارامترات على السرعة والعجلة الخطية لمركز ثقل كتلة العضو، وتحسب السرعة الزاوية والعجلة الزاوية لكل عضو، وأذرع العزم للعزم.

### ثالثاً : البيانات الكينماتيكية : Kinematic data

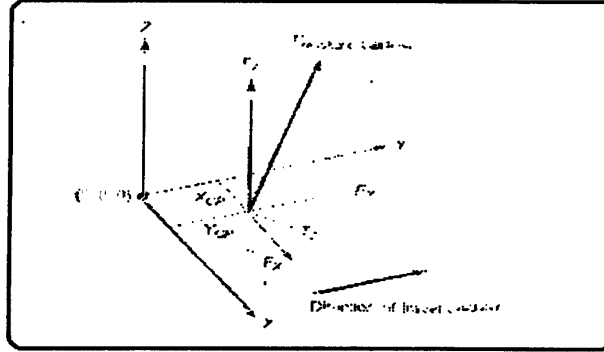
نوع البيانات الثاني المطلوب هو البيانات الكينماتيكية لوصف عجلات العضو (كلا العجلة الخطية والزاوية) وأذرع عزم القوى للطرف القريب والطرف البعيد. تحصل على تلك البيانات بالتوسع في التكتيكات ومجموعة العلامات المستخدمة في فصل كينماتيكا الأبعاد الثلاثة السابق. تستخدم مجموعات من العلامات في المنشورات البيوميكانيكية لحساب كينماتيكا الأبعاد الثلاثة. نحن نركز الأضواء في هذا الفصل على استخدام مجموعة علامة واحدة ونأمل أن يتمكن القارئ من التوسع في مفهوم أي مجموعة علامة بالاطلاع على المدخل لتحليل الأبعاد الثلاثة لحركة جسم الإنسان في المجال الرياضي لعادل عبد البصير (١٩٩٨م) (١). يختار توقيع علامات متعددة على الشخص لتحديد مراكز مفاصل الطرف السفلي. تستخدم

هذه العلامات المختارة فقط خلال التحرك فى صندوق المعايرة ويمكن نزعها عندما يبدأ تجميع البيانات الفعلية. لذلك، نحن نعمل مسار العلامات المتبقية على الشخص فى كلا صندوق المعايرة وعمليات جمع البيانات لمعايرة العلامات التى نزلت بعد إتمام المعايرة. تؤدي بعض العلامات كلا وظيفتي المسار المعاير. تظهر الحاجة إلى هذه العلامات الخارجية فيما بعد. استخدمنا فى البعدين العلامات على الجهة الجانبية للعضو فى المستوى السهمي لتمثيل مركز المفصل ونعلم أنها لا تغير مكانها الجانبى من مركز المفصل الحقيقي. ونحن نسلم بذلك لأننا يمكن أن نحسب القوى فقط على طول المحورين الأفقى والرأسى والعزم فقط حول المحور المتوسط الجانبى Midiolateral axis خلال مركز المفصل. وعلى أية حال، يجب أن نعرف مركز المفصل فى الأبعاد الثلاثة. وتساعدنا هذه العلامات الخارجية لتحديد مركزى المفصل لطرفين القريب Proximal، والبعيد Distal التى يتكون منهما العضو. على سبيل المثال، العلامات على Lateral and medial epicondyles للركبة تساعدنا لتحديد مركز مفصل الركبة، وتلك التى على lateral and medial malleoli تساعدنا على تحديد مركز مفصل رسغ القدم (Ankle). تساعدنا هذه العلامات الخارجية أيضاً على تطوير النظام الإحداثى الموضعى أو العضوى (LCS) الذى يؤثر فى الاتصال نظام العضو. نحن نعتبر نقطة تقاطع محاور إحداثيات الكادر المرجعى لنظام الإحداثى الموضعى يكون عند مركز كتلة العضو. وعلى أية حال نقطة الأصل Origin سوف توقع فى أى مكان على طول الخط بين مركزى المفصل القريب والبعيد.



### القوى الخارجية : External forces

النوع الثالث من البيانات تستخدم فى القياس المباشر للقوى الخارجية. تظهر معظم القوة الخارجية فى حركة جسم الإنسان فى قوى رد فعل الأرض (GRF) والتي تقاس عامة عكس منصة القوى. من الأهمية القصوى أن يتزامن بيانات منصة قياس القوى مع البيانات الكينماتيكية فى كلا الزمان والمكان. تسمح معظم النظم المقدمة لتقسيم الحركة بتجميع كثير من البيانات الكينماتيكية ومنصة قياس القوة عند معدلات بسيطة متناغمة ومنسجمة لذلك، المشكلة الوحيدة للبيانات المجمعة التى يجب أن تركز عليها بأنفسنا هى تزامن الزمان والمكان. ويتم ذلك بواسطة تعيين نقطة الأصل لنظام الإحداثى الشامل بالنسبة لنقطة الأصل لمنصة قياس القوة. الطريقة الوحيدة لعمل ذلك هو جعل نقطة الأصل للنظام الإحداثى الشامل تتزامن مع نقطة أصل النظام الإحداثى لمنصة قياس القوة كما فى شكل (٣-٥).



شكل (٣-٥)

رسم تخطيطى لمنصة القوة بعرض متجه قوة رد فعل الأرض ( $F_{resultant}$ )، مركبات المتجه، ومركز الضغط فى كلا الاتجاهين الأفقى ( $X_{cp}$ )، الرأسى ( $Y_{cp}$ ) لتجميع البيانات والتزامن المكانى لمنصة قياس القوة والبيانات الكينماتيكية، ونقطة أصل النظام الإحداثى الشامل (GCS) ( $X, Y, Z$ ) الموقع عند نقطة الأصل للنظام الإحداثى لمنصة قياس القوة

على أية حال توقيع نقطة أصل النظام الإحداثي الشامل ليس مشكلة ما دام يرتبط بمنصة قياس القوة المعلومة. على سبيل المثال، تعين بعض معامل خطوة المشي نقطة الأصل للنظام الإحداثي الشامل (GCS) عند إحدى أركان منصة قياس القوة. على أية حال، إن النتيجة النهائية لجميع القياسات للنظام الكينماتيكي ومركز الضغط (COP) من منصة قياس القوة يكونوا في النظام الإحداثي الشامل. ويمكن إنشاء ذلك بتكنيكات التحويل السابق شرحها في كينماتيكا الأبعاد الثلاثة.

عندما تجمع بيانات قوة رد فعل الأرض (GRF)، معظم معامل خطوة المشي تسلم بمسلمات متنوعة والتي لا يمكن التسليم بها في حالات أخرى. يجب أن نقدر أن عند جمع بيانات قوة رد فعل الأرض يتطلب الأمر ست إشارات من منصة قياس القوة. تكون هذه الإشارات الستة في شكل تيارات (Voltages) والتي يجب أن تكون مقياس لتمثيل الثلاث قوى المتعامدة ( $F_z$ )، والقوتان الرأسيتان  $F_y$  القوة في اتجاه المحور السهمي أو الداخلي،  $F_x$ ، anteroposterior axis، القوة في اتجاه المحور البعيد عن خط الوسط (mediolateral axis) والثلاث عزم ( $M_z$ )، والعزمان المتعامدان،  $M_y$  حول المحور السهمي أو الداخلي،  $M_x$  حول المحور البعيد عن خط الوسط). على أية حال يتطلب تحليل الكينماتيكي للثلاثة أبعاد تسعة بارامترات تشتمل على ثلاث مركبات للقوة، المركبات (X Y Z) نتيجة مركز الضغط (COP)، والعزم الحر حول كل من المحاور. تجمع ثلاث إشارات للثلاث مركبات للقوة على أية حال، مركبات مركز الضغط والثلاث عزم الحر يجب أما أن تحسب من الست إشارات القياسية التي جمعت أو يجب إضافة المسلمات فيما يتعلق بتلك البارامترات. ويمكن حساب المركبتين (Y, X) باستخدام المعادلتين التاليتين :

$$X_{cp} = \frac{M_y + F_x * d_z}{F_z}$$

$$Y_{cp} = \frac{M_x + F_y * d_z}{F_z}$$

حيث أن  $M_x, M_y$  - قياس العزم حول محوري منصة قياس القوة في اتجاه المحورين (Y, X) وعلى التوالي  $F_z, F_y, F_x$  - قوى رد فعل الأرض في اتجاه المحاور المتعامدة البعيدة عن خط الوسط، والسهمية أو الداخلية، والرأسية،  $d_z$  - المسافة تحت نقطة الأصل للنظام الإحداثي فوق سطح منصة قياس القوة. بالنسبة للمركبة الثالثة لقوة مركز الضغط Z يمكن التسليم بأنها - صفر، بالرغم من أن معظم منصات قياس القوة نقطة أصلها بالضبط فوق سطحها. ولأننا فيما يتعلق بنقطة أصل منصة قياس القوة تكون متزامنة مع النظام الإحداثي الشامل، تكون حسابات قيم مركز الضغط (COP) في النظام الإحداثي الشامل بالنسبة لثلاث عزم الحرة، يمكننا التسليم بأن عزم القص،  $T_x, T_y$  مساويين للصفر. ويحسب العزم الحر كما يلي :

$$T_x = M_z (F_x * Y) - (F_y * X)$$

حيث أن  $M_z$  - قياس العزم حول المحور الرأسى لمنصة القوة،  $F_x, F_y$  - مركبتى القص لقوى رد فعل الأرض،  $X, Y$  - مركبتى مركز الضغط.

يجب تقييم مسلمات البارامترات الثلاثة الضرورية بواسطة كل معمل لخطوة المشى للتأكد من أنها حقيقية. كمثال إذا، لمست الموقع على منصة قياس القوة أو على أنها عائق، وقوة رفع تطبيق ضدها، إذن تلك المسلمات ضرورياتها لا تكون حقيقية. وكمثل هذه الحالات، ابتكارات أخرى للقياس يجب استخدامها للتقدير الرقوى لأحد أو البارامترات التسعة.

#### مصادر الخطأ فى الحسابات ثلاثية الأبعاد :

##### Sources of error in three- dimensional claculations

توجد مصادر متعددة للخطأ فى حسابات قوة وعزم المفصل وذلك بسبب تعقيد قوة رد فعل الأرض، البيانات الكينماتيكية والأنثروبومترية لجسم الإنسان. لذلك ربما تكون بيانات قوة رد فعل الأرض هي الأكثر دقة ووثوقاً فيها. بالرغم من تنوع واتساع البارامترات العضوية الداخلية يثبت على تكتيك يستخدم لاشتقاقها، مساهمتها ليس الأكثر فى النتيجة النهائية. على أية حال البيانات المشتقة من الكينماتيكية تاريخها مختلف، تحتاج المعلومات الكينماتيكية لحساب عزم المفصل تركيز يعتمد على مكان العلامة ومساعدة حركة الجلد. على سبيل المثال حساب مراكز المفصل من تلك العلامات يتأثر بوضع مركز الكتلة، حيث فى اللف، يتأثر حساب أذرع العزم. تتعدد أذرع العزم لقوى المفصل وقوة رد فعل الأرض وبالتبعية تؤثر على النتيجة النهائية.

نفس اصطلاحات عزم المفصل تسيطر على قوى رد فعل الأرض وتشير فى الحساب إلى أن قوى وعزم المفصل البعيد أقل عامل من تلك المفاصل الأكثر اقتراباً. أيضاً العزم حول المحور البعيد عن خط الوسط (مثل المحور السهمي) أكثر دقة من العزم حول المحاور الثانوية.

#### رابعاً : حسابات كيناتيكا الثلاث أبعاد :

##### Three- dimensional kinetics calculations

تصف فى هذا الفصل طريقة عملية لوصف حساب قوة وعزم المفصل فى الثلاث الأبعاد. توجد طرائق أخرى للقيام بنفس المهمة ويمكن للدارسين تطبيق ما يتعلمونه من فهم خطوات هذه الطريقة فى الطرق الأخرى. للإيضاح صممت جميع البارامترات فى النظام الإحداثى الموضعى للعضو برموز الحالة المنخفضة، بينما صممت فى النظام الإحداثى الشامل برموز الحالة العليا.

### الفحص النهائي للطريقة : Overview of the method

يجب إجراء خطوتين منفصلتين للحصول على المعلومات الضرورية للتحليل الكيناتيكي ثلاثي الأبعاد. الخطوة الأولى تسجيل لتحرك داخل صندوق المعايرة مع جميع مسار علامات المعايرة على الشخص. يمكن نزع علامات المعايرة المستخدمة لتحديد الفروق الفردية للأعضاء بعد الجمع المعايير. بالنسبة للمسار المعايير يقف الفرد في مجال رؤية الكاميرات لدرجة أن قنميه توضع في الاتجاه الرأسي الموجب (+Y). يستخدم هذا المسار المعايير في توليد النظام الإحداثي الموضعي (LCS) لكل عضو وتحرك مركزى المفصل القريب والبعيد ومركز الكتلة. بالإضافة إلى، تكوين مصفوفة الانتقال لتحديد أوضاع علامات المعايرة من أوضاع مسار العلامات.

في الخطوة الثانية، تجمع بيانات المسارات داخل صندوق المعايرة. يعرض في تلك المسارات داخل صندوق المعايرة فقط مسار العلامات على الفرد وقوة رد فعل الأرض. تستخدم في التحليل بيانات العضو المحدد في المسار على طول صندوق المعايرة مع قوة رد فعل الأرض، وبيانات كينماتيكا وأنثروبومترية العضو لحساب كيناتيكا المفصل.

### خامساً : الحسابات المستخدمة لبيانات المعايرة :

#### Calculations using the calibration data

عدد من الخطوات المستخدمة لبيانات المسار المعايير يجب أن تتم قبل تمكّنك من التجهيز لحسابات كيناتيكا المفصل. تشمل هذه الإجراءات الخطوات التالية :

- ١- حساب مركز المفصل.
- ٢- تحديد مركز كتلة العضو.
- ٣- حساب وضع العظم المطوق بنظام الإحداثي الوضعي.
- ٤- حساب مصفوفة الانتقال.

مع الاحتفاظ بالبروتوكول المؤسس فى الفصل الثانى، جميع الحالات العليا التالية تمثل بارامترات فى النظام الإحداثى الشامل وتمثل الحالات المنخفضة التالية البارامترات فى النظام الإحداثى الموضعى.

فى الشكل (٤-٥) تمثيل لتوضيح الرجل كعضو بالعلامات القريبة

$\vec{L}_1$  والعزم  $\vec{M}_1$  على حدة الأنسية لعظمة الفخذ اليمنى واليسرى والعلامات البعيدة  $\vec{L}_2$  و  $\vec{M}_2$  على البروز الوحشى الأوسط والجانبى. بعض هذه العلامات المعايرة تتوع بعد الحصول على كادر المعايرة. وضعف عدد من الدراسات طرائق تحديد مراكز المفصل، وبخاصة مركز مفصل المقعدة مثل، أندرياتس وآخرون. Andriacchi et al. (١٩٨٠م) (٣)، ديلازويو وآخرون. Deluzio et al. (١٩٩م) (٨)، وفى هذا الفصل سوف توصف الطريقة الأسهل لتحديد مراكز المفصل. يحدد مركز مفصل الركبة الواقعى ( $\vec{V}_1$ ) كنقطة التى بعد مسافة نسبتها المئوية ( $r$ ) من  $\vec{L}_1$   $\vec{L}_2$  إلى  $\vec{M}_1$ . بالمثل يحدد مفصل رسغ القدم ( $\vec{V}_2$ ) باستخدام  $\vec{L}_2$  و  $\vec{M}_2$ . لذلك عموماً تحدد مراكز المفصل كما يلى :

$$\vec{V}_1 = \vec{L}_1 + r_1 (\vec{M}_1 - \vec{L}_1)$$

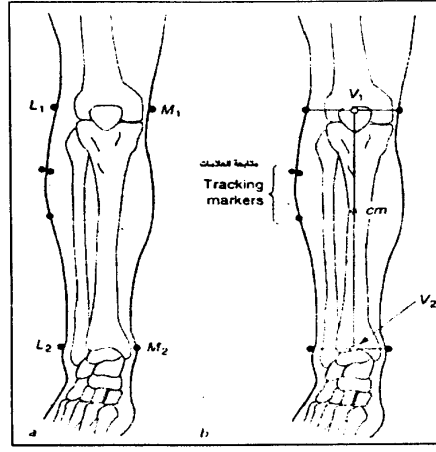
حيث أن  $\vec{L}_1$  = علامة المعايرة لجانب القريب،  $\vec{M}_1$  = العلامة المعايرة للجانب البعيد،  $r$  = النسبة المئوية للمسافة من العلامات المتوسطة والجانبية. بالنسبة لمركز مفصل المقعدة  $r = ٢٥\%$  من المسافة بين علامات الرعدة الأكبر يميناً ويساراً. بالنسبة لمفصل الركبة ورسغ القدم  $r = ٥٠\%$  من طول المسافة بين العلامات كما فى شكل (٤-٥). نذكر أن هذه الحسابات

تحدث بالنظام الإحداثى للعلامات فى النظام الإحداثى الشامل فى وضع صندوق المعايرة.

يمكن التسليم بأن المحور الطولى للعضو يحدد بواسطة الخط بين مراكز المفاصل القريبة والبعيدة للعضو. وتسلم أبعد من ذلك أن خط مركز الكتلة على طول محور العضو. نحصل على المسافة الدقيقة لمركز الكتلة من المركز القريب للمفصل من مجموعة البيانات الأنثروبومترية المنتشرة. كما ذكرنا من قبل، هناك عدد من الطرائق للحصول على المعلومات لكل عضو. فى هذا الفصل سوف نقدر موضع مركز كتلة العضو ( $h_1$ ) كنسبة ٠,٤٣٣ من طول عضو الرجل كقياس من مركز المفصل القريب عن ديمبستر Dempster (١٩٥٥م) ( ). لذلك مركز الكتلة ( $\vec{O}$ ) يمكن حساب الإحداثيات فى النظام الإحداثى الشامل كما يلى :

$$\vec{O} = \vec{V}_1 + h_1 (\vec{V}_2 - \vec{V}_1)$$

حيث  $h_1 = ٠,٤٣٣$  و  $\vec{V}_1$  ،  $\vec{V}_2$  = مركزى المفصل الواقعى شكل (٥-٤ب). يمكن استخدام هذه المعادلة مع أعضاء الجسم الأخرى بواسطة تغيير  $h_i$  تقريباً.



شكل (٥-٤)

(a) استخدام كادر العلامات المعاييرة  $\vec{L}_1$ ,  $\vec{M}_1$ ,  $\vec{L}_2$ ,  $\vec{M}_2$  (b) حسب  
المراكز الواقعية للمفصل من العلامات المتوسطة والجانبية. يوصف الخط  
بين المراكز الواقعية للمفصل ومنحة المحور - Z للعضو. تعطى النسبة  
المثوية على طول المسافة لخط قيمة المحور - Z  
وضع مركز كتلة العضو

تحديد موقع النظام الإحداثي للعضو :

Defining the local coordinate system of segment

يولد النظام الإحداثي الموضعي للعضو (LCS) على الطرف الأيمن

حيث يتجه المحور - Z من القريب إلى البعيد، المحور - Y من الخلف إلى  
الأمام، المحور - X من الوسط إلى الجانب. توقع نقطة الأصل لنظام الإحداثي  
الموضعي على طول الخط المتصل بنهاية العضو (س، المحور - Z) عند  
مركز كتلة العضو. بالنسبة للطرف الأيسر، نحن نحافظ على نفس توجيهه



النظام الإحداثي الموضعي للعضو بواسطة تعدد القوى المتوسطة الجانبية والعزم بواسطة-١.

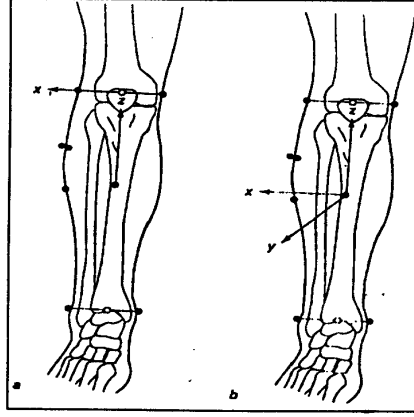
وحدة المتجه  $\vec{k}_1$  خطية مع المتجه من مركز المفصل البعيد إلى مركز المفصل القريب. تحدد وحدة المتجه على طول محور العضو نحو مركز المفصل القريب كما يلي :

$$\vec{k} = \frac{\vec{v}_1 - \vec{O}}{|\vec{v}_1 - \vec{O}|}$$

حيث أن  $\vec{V}_1$  = متجه المركز القريب لمفصل العضو،  $\vec{O}$  = كتلة المركز يمكن تحديد وحدة المتجه  $\vec{i}$  للعضو شكل (٥-٨). يحدد مستوى الأرباع علامات-  $\vec{L}_1$ ،  $\vec{M}_1$ ،  $\vec{L}_2$ ،  $\vec{M}_2$  - كمستوى وسطى جانبي (z-x). عموماً مستوى أقل مربع مناسب للأربعة أهداف حيث مجموع مربعات المسافة بين الأهداف والمستوى الأمامي تقل. يمكن تحديد وحدة المتجه  $\vec{i}$  كما يلي :

$$\vec{i} = \frac{\vec{L}_1 - \vec{V}_i}{|\vec{L}_1 - \vec{V}_i|}$$

حيث أن  $\vec{L}_1$  = متجه العلامة الجانبية للقريب،  $\vec{V}_1$  = مركز المفصل القريب.



شكل (٥-٥)

(a) وحدة متجه لخط ربط مركز الكتلة ومركز المفصل القريب المكون محور-z للعضو. تحدد العلامات الجانبية والمتوسطة المستوى x-y، والذي يحدد من المحور-x، (b) يحدد المحور-y لنظام المحتوى كنتاج لعبور المحاور-x، z،

أخيراً، تحدد وحدة المتجه  $\vec{j}$  شكل (٥-٥ب) لخط عمودي للمستوى y-z بواسطة أخذ الناتج العابر لحسابات وحدتي المتجه  $\vec{i}$ ،  $\vec{k}$  :  

$$\vec{j} = \vec{k} \times \vec{i}$$

حساب مصفوفة الانتقال :

Calculation of the transformation matrix

يمكننا توليد مصفوفة الانتقال ( $T_{global2local}$ ) حيث تنتقل العلامات

من  $\vec{L}_1$ ،  $\vec{L}_2$ ،  $\vec{V}_1$ ،  $\vec{V}_2$  في النظام الإحداثي الشامل إلى  $\vec{I}_1$ ،  $\vec{I}_2$ ،  $\vec{V}_1$ ،

→  
 $V_2$  في النظام الإحداثي الموضعي. مصفوفة الانتقال هذه هي مصفوفة  $4 \times 4$  حيث تتكون من كلا متجهات الوضع والتوجيه. لذا يمكن وصف كل من الوضع والتوجيه في النظام الإحداثي الموضعي بمرجعته إلى الكادر المرجعي الشامل. وصف كل من سيور وفيلدباوز Spoor & Veldpaus (١٩٨٠م) ( ) ، فيلدبوز وآخرون Veldpaus et al. (١٩٨٨م) (١٩) تكتيك تحديد مصفوفة الانتقال ولم تشرح في هذا الفصل. وتذكر أنه إذا وصفت  $T_{global2local}$  الانتقال من الإحداثيات الشاملة إلى الإحداثيات الوضعية، عند ذلك هي تترجم وصف انتقال الإحداثيات الوضعية إلى الإحداثيات الشاملة، وتصمم كمصفوفة  $T_{local2global}$ . تتكون المصفوفة  $T_{local2global}$  من مصفوفة دورانية وانتقالية تأخذ شكلها من :

$$[T_{global2local}] = \begin{bmatrix} 1 & 0 & 0 & 0 \\ D_{21} & R_{22} & R_{23} & R_{24} \\ D_{31} & R_{32} & R_{33} & R_{34} \\ D_{41} & R_{42} & R_{43} & R_{44} \end{bmatrix}$$

حيث أن العمود الأولي (من  $D_{21}$  خلال  $D_{41}$ ) يمثل متجه الوضع وتبقى الأعمدة (من  $R_{22}$  خلال  $R_{44}$ ) لتمثل مصفوفة الدوران. يمكننا الآن توليد مصفوفة انتقال بالمثل لانتقال علامات المسار المعاكسة الموقعة على كل عضو من النظام الإحداثي الشامل  $(P_1, P_2, P_3)$  إلى النظام الإحداثي الموضعي  $(P_1, P_2, P_3)$ . يجب أن نحسب أولاً المسار المعاكس للعلامات في النظام الإحداثي الموضعي. يمكن إتمام ذلك كما يلي :

$$\begin{aligned} \vec{P}_1 &= \vec{P}_1 - \vec{O} \\ \vec{P}_2 &= \vec{P}_2 - \vec{O} \\ \vec{P}_3 &= \vec{P}_3 - \vec{O} \end{aligned}$$

حيث أن  $\vec{P}_1, \vec{P}_2, \vec{P}_3$  = مسارات العلامات في النظام الإحداثي الموضعي،  $\vec{O}$  = نقطة الأصل لنظام الإحداثي الموضعي، ومن تلك القيم، يمكننا توليد مصفوفة الانتقال ( $T_{global2local}$ ) التي تنتقل من  $\vec{P}_3, \vec{P}_2, \vec{P}_1$  في النظام المرجعي الشامل إلى النظام المرجعي الموضعي، مرة أخرى باستخدام تكتيك وصف سبور وفيلدبوز (١٩٨٠م) (١٧). لاختصار هذا الجزء من عملية المعايرة، والحسابات بعمل ثلاث أشياء :

- ١- تحديد مركز المفصل الواقعي لكل عضو من العلامات المعايرة.
- ٢- يمكننا لتحديد النظام الإحداثي الموضعي لكل عضو أن تتمجه في العضو.
- ٣- يمكننا استخدام مسار العلامات وأوضاع مركز المفصل لحساب مصفوفات الانتقال بين النظامين الإحداثيين الموضعي والشامل لكل عضو الذي سوف يستخدم فعلياً في المسار المعاير.

استخدام حسابات بيانات المسار المعاير :

Calculations using the trial data

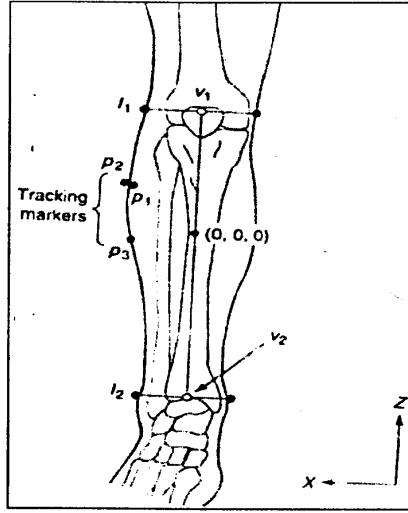
يجب إجراء خطوات متنوعة لنصل نحو هدفنا من حسابات كينماتيكا الثلاث أبعاد للمفصل. تشتمل تلك الخطوات على حساب ما يلي :

- ١- كينماتيكا العضو.
- ٢- كينماتيكا المفصل.
- ٣- قوة وعزم المفصل.
- ٤- قدرة المفصل.
- ١- كينماتيكا العضو :

من أجل كل عضو في كل كادر لبيانات المسار المعايير، ترقم مجموعة العلامات على العضو وتمثل الإحداثيات في النظام الإحداثي الشامل. تنتقل تلك العلامات  $(\vec{P}_3, \vec{P}_2, \vec{P}_1)$  في النظام الإحداثي الوضعي للعضو.

$$\vec{P}_i = T_{\text{global2local}} \vec{P}_i$$

بعد ذلك، فيما بعد علامات المفصل  $\vec{L}_1, \vec{L}_2$ ، ومركز المفصل الواقعية  $(\vec{V}_2, \vec{V}_1)$  تنتقل في النظام الإحداثي الشامل مستخدمة عكس مصفوفة الانتقال السابق ذكرها  $(T_{\text{global2local}})$  أنظر شكل (٥-٥). استخدمت تقنيات متنوعة لحساب كينماتيكا العضو. البارامترات الضرورية هي السرعة والعجلات الخطية لمركز الكتلة والسرعات والعجلات الزاوية لمركزى المفصل القريب والبعيد للعضو وهو سوف توضح أن لا يمكن تحديد السرعة الزاوية وعجلة العضو من خلال التفاضل لتمثيل زاوية أبولير للعضو.



شكل (٥-٥)

علاقة مسارات العلامات  $(P_3, P_2, P_1)$  بالعلامات المعايرة  $L_2, L_1$ ،  
مركزي المفصل الواقعي  $\vec{V}_1$ ، في الكادر الموضعي المرجعي  $\vec{V}_2$

فيما يلي تصف التكنيك الذي يوظف تقدير أقل مربع للالتواء اللحظي للمحور (ISA) والذي أيضاً يرجع إليه كمحور هيليكال اللحظي Instantaneous helical axis عن سومير Sommer (١٩٩٢م) (١٦). الإجراءات معقدة ووصفنا سيكون سريع وللحصول على تفاصيل أكثر على القارئ الرجوع إلى Sommer (١٩٩٢م) (١٦). أول خطوة في الإجراءات هي تحديد المركز المتوسط لمسارات العلامات الثلاثة التي يصنعها العضو. وعن طريق المعادلة التفاضلية التي تمثل الحركة العامة للمركز المتوسط، يمكن تحديد وضع واتجاه تقدير أقل مربع للالتواء اللحظي للمحور (ISA).

تشتمل مدخلات حساب ISA على أربعة مصفوفات ثلاثة منها لوصف الوضع، السرعة الخطية، والعجلة الخطية لمجموعة المسارات الثلاثة للعلامات على العضو. تشكل تلك المصفوفات كما يلي :

$$[P] = \begin{bmatrix} P1_x & P2_x & P3_x \\ P1_y & P2_y & P3_y \\ P1_z & P2_z & P3_z \end{bmatrix}$$

$$[V] = \begin{bmatrix} P1_x^* & P2_x^* & P3_x^* \\ P1_y^* & P2_y^* & P3_y^* \\ P1_z^* & P2_z^* & P3_z^* \end{bmatrix}$$

$$[A] = \begin{bmatrix} P1_x^{**} & P2_x^{**} & P3_x^{**} \\ P1_y^{**} & P2_y^{**} & P3_y^{**} \\ P1_z^{**} & P2_z^{**} & P3_z^{**} \end{bmatrix}$$

المصفوفة الرابعة هي مصفوفة وزن لقياسات العلامة. تستخدم غالباً مصفوفة الوزن للإشارة إلى قيمة الثبات لمسارات العلامات عندما تكون العلامات بتشويش خاص. وعلى أية حال، في معظم حالات مصفوفة التحديد 3×3 تستخدم ولذلك لا يؤخذ الوزن لأى علامات خاصة.

تعطى هذه المصفوفات المخرج من وصفى الرمز الحسابى (algorithm) لومير (١٩٩٢م) (١٦)، ويشتمل على متجه السرعة الزاوية  $(\vec{\omega})$  للعضو، وقيمة العجلة الزاوية  $(\vec{\alpha})$  للعضو تسمح لنا بعض البارامترات المولدة من هذه الإجراءات لحساب السرعة والعجلة الخطية لمركزى المفصل القريب والبعيد الواقعي والسرعة الخطية لمركز كتلة العضو  $(\vec{V}_{CM})$  والعجلة الخطية للعضو  $(\vec{a}_{CM})$ .

## سادساً : الكيناتيكا : Kinetics

تذكر أن المتجهات فى النظام الإحداثى الموضعى (LCS) للعضو صممت لرموز حالة الطرف السفلى، والمتجهات فى النظام الإحداثى الشامل صممت لرموز حالة الطرف العلوى. فيما يتعلق بحساب كينماتيكا عضو القدم، من المهم تذكر أن جميع البارامترات الضرورية- تتضمن قوة رد فعل الأرض، وعزمها، ومركز الضغط، ونتيجة قوة الجاذبية على العضو، وعجلات مركز كتلة العضو، نراعى العزم القريب والبعيد، وحركة مركز المفصل القريب والبعيد- يجب انتقالها فى النظام الإحداثى الموضعى (LCS)

$$\begin{aligned} GCS &\rightarrow LCS_{Foot} \\ (F_{GRF-x}, F_{GRF-y}, F_{GRF-z}) &\rightarrow (F_{GRF-x}, F_{GRF-y}, F_{GRF-z}) \\ (0, 0, T_z) &\rightarrow (0, 0, t_z) \\ (X, Y, 0) &\rightarrow (X, Y, 0) \\ (, 0, -MG) &\rightarrow (mg_z, my_y, -mg_z) \\ (\ddot{X}_{CM}, \ddot{Y}_{CM}, \ddot{Z}_{CM}) &\rightarrow (\ddot{x}_{CM}, \ddot{y}_{CM}, \ddot{z}_{CM}) \\ (D_{1x}, D_{1y}, D_{1z}) &\rightarrow (d_{1x}, d_{1y}, d_{1z}) \\ (D_{2x}, D_{2y}, D_{2z}) &\rightarrow (d_{2x}, d_{2y}, d_{2z}) \\ (V_{1x}, V_{1y}, V_{1z}) &\rightarrow (v_{1x}, v_{1y}, v_{1z}) \\ (V_{2x}, V_{2y}, V_{2z}) &\rightarrow (v_{2x}, v_{2y}, v_{2z}) \end{aligned}$$

كما فى حالة حساب الديناميكا المعكوسة فى البعدين، المجهول فى معادلات الحركة هى القوى وعزومها عند المفصل القريب للعضو. أيضاً كما فى مناقشات البعدين، أولاً نحن نحسب ديناميكية الانتقال (مثل، حل لقوى رد فعل المفصل)، بعد ذلك حساب ديناميكية الدوران (مثل، حل عزم المفصل).



لإتمام فحص طرق الديناميكا المعكوسة في الأبعاد الثلاثة، سوف تستخدم عضو القدم كمثال لحساب فعل قوى وعزمها عند رسغ القدم شكل (٦-٥). تتبع الخطوات التالية عند كل لحظة زمنية (مثل بيانات كل إطار). الخطوة الأولى : حساب الديناميكية الانتقالية لكل عضو أى بمعنى آخر حساب قوى رد فعل مفصل الرسغ القدم باستخدام المعادلة التالية :

$$\vec{r}_{ankle} F_{ankle} = m \vec{a}_{CM} - m \vec{g} - \vec{F}_{GRF}$$

حيث أن  $\vec{r}_{ankle} F_{ankle}$  = متجه وصف قوة رد فعل مفصل رسغ

القدم،  $m$  = كتلة العضو،  $\vec{a}_{CM}$  = متجه العجلة الخطية لمركز الكتلة،

$\vec{g}$  = متجه قوة الجاذبية (تذكر أن مركبتى متجه الجاذبية  $0, 0, mg$  فى

النظام الإحداثى الشامل (GCS)،  $\vec{F}_{GRF}$  = متجه قوة رد فعل الأرض. ويمكن استخلاص ما يلى :

$$j r F_{ankle-x} = m \ddot{x}_{CM} - \vec{F}_{GRF-x} - mg_x$$

$$j r F_{ankle-y} = m \ddot{y}_{CM} - \vec{F}_{GRF-y} - mg_y$$

$$j r F_{ankle-z} = m \ddot{z}_{CM} - \vec{F}_{GRF-z} - mg_z$$

حيث أن  $j r F_{ankle-x}$ ،  $j r F_{ankle-y}$ ،  $j r F_{ankle-z}$  = مركبات رد فعل

قوة مفصل رسغ القدم،  $g$  = عجلة الجاذبية الأرضية،  $m$  = كتلة العضو،

$\ddot{x}_{CM}$ ،  $\ddot{y}_{CM}$ ،  $\ddot{z}_{CM}$  = مركبات عجلة مركز الكتلة،  $\vec{F}_{GRF-x}$ ،  $\vec{F}_{GRF-y}$ ،  $\vec{F}_{GRF-z}$

= المركبات المتعامدة لقوة رد فعل الأرض،  $mg_x$ ،  $mg_y$ ،  $mg_z$  = مركبات وزن العضو فى النظام الإحداثى الموضعى (LCS).

الخطوة الثانية :

حساب الديناميكا الدورانية، التي يأخذها عزم مفصل رسغ القدم حول مركز كتلة العضو، وتشكل معادلة متجه ديناميكا الحركة الدورانية لرسغ القدم هي :

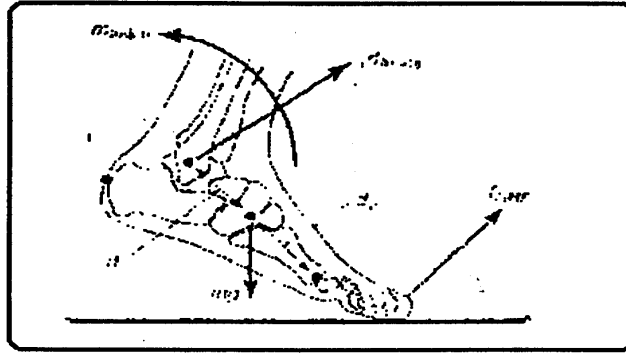
$$\vec{J} \vec{m}_{ankle} = I \alpha - (\vec{d}_1 \times \vec{J} \vec{r} F_{ankle} \times \vec{F}_{GRF}) - \vec{t}$$

حيث أن  $\vec{J} \vec{m}_{ankle}$  وصف متجه عزم مفصل رسغ القدم،  $I$  -

مصفوفة عزم القصور الذاتي،  $\alpha$  - مصفوفة العجلة الزاوية،  $\vec{J} \vec{r} F_{ankle}$  -

$\vec{d}_1$  - وصف نتيجة عزم قوة رد فعل المفصل،  $\vec{d}_2 \times \vec{J} \vec{r} F_{ankle}$  -

وصف نتيجة عزم قوة رد فعل الأرض،  $\vec{t}$  - متجه عزم رد فعل الأرض.



شكل (٥-٦)

التمثيل البياني الحر لعضو القدم. يجب لحساب جميع البارامترات تمثيلها في النظام الإحداثي الموضعي للقدم

لعرض معادلة الديناميكا الدورانية بشكل موسع يجب أن تحسب أولاً المتجه الموضعي للعزم حول طول المحاور X, Y, Z لمركز المفصل القريب ومن القدم، لقوى رد فعل الأرض لعضو القدم، نحن نحسب ناتج متجه العزم من رد فعل قوى المفصل عند رسغ القدم ( $\vec{Jm}_{GRF}$ ) بواسطة ناتج قوى المفصل وعلى التوالي المسافة من مركز كتلة رسغ القدم لخط فعل قوى رد فعل المفصل. يستخدم ذلك لحساب الناتج المتقاطع.

$$\vec{Jm}_{GRF} = \vec{d}_1 \times \vec{JrF}_{ankle}$$

حيث أن  $\vec{d}_1$  = فتحة المسافة X Y Z بين مركز الكتلة، مركز المفصل القريب و  $\vec{JrF}_{ankle}$  متجه مركبات X Y Z لرد فعل قوة المفصل القريب وبالمثل، يحسب قيمة العزم الناتج من GRF،  $\vec{m}_{GRF}$  كناتج مقاطع للمسافة بين مركز الكتلة ومتجهات COP، وقيمة GRF.

$$\vec{m}_{GRF} = \left[ \vec{d}_2 \right] \times \left[ \vec{F}_{GRF} \right]$$

حيث أن  $\left[ \vec{d}_2 \right]$  = فتحة المسافة بين مركز الكتلة و COP

و  $\left[ \vec{F}_{GRF} \right]$  = متجه مركبات X Y Z لقوى رد فعل الأرض (GRF).

يؤخذ العزم المفصل القريب (الرسغ القدم) لعضو القدم حول مركز كتلة العضو ويحسب بعد ذلك كما يلي :

$$\begin{aligned} m_{Ankle} &= I_{xx} \alpha_x + (I_{zz} - I_{yy}) w_{zz} w_{yy} - m_{GRF-x} - m_{JrF-x} - t_x \\ m_{Ankle} &= I_{yy} \alpha_y + (I_{xx} - I_{zz}) w_{xx} w_{zz} - m_{GRF-y} - m_{JrF-y} \\ m_{Ankle} &= I_{zz} \alpha_z + (I_{yy} - I_{xx}) w_{yy} w_{xx} - m_{GRF-z} - m_{JrF-z} - t_z \end{aligned}$$

حيث أن  $I_{xx}, I_{yy}, I_{zz}$  = متجهات مركبات عزم القصور الذاتي،  
 $\alpha_{xx}, \alpha_{yy}, \alpha_{zz}$  = مركبات العجلة الزاوية للعضو،  $w_{xx}, w_{yy}, w_{zz}$  =  
مركبات السرعة الزاوية للعضو،  $m_{GRF-x}, m_{GRF-y}, m_{GRF-z}$  = مركبات  
نتائج عزم GRF،  $m_{JrF-x}, m_{JrF-y}, m_{JrF-z}$  = مركبات نتائج العزم من قوة  
رد فعل المفصل،  $t_x, t_y, t_z$  = عزم رد فعل الأرض. في خطوة المشي،  
نحن عادة نسلم أن  $t_x, t_y$  عادل صفر.

تتم الحسابات من البعيد إلى القريب في إجراءات الأبعاد الثلاث  
لديناميكا المعكوسة (كما بالضبط في البعدين) وتستخدم القيم لحساب العضو  
الأبعد في الحسابات التالية، للعضو الأقرب. تذكر أنه في إجراءات الأبعاد  
الثلاثة، جميع حسابات القوة والعزم في LCS للعضو في المعادلة.

لذا عندما تتم حسابات العضو، يجب انتقال متجهات القوة والعزم

خلال GCS كما يلي :

$$\begin{bmatrix} \vec{J_R F_{Ankle}} \end{bmatrix} = [T_{loc2global}] \begin{bmatrix} \vec{J_r F_{Ankle}} \end{bmatrix}$$

$$\begin{bmatrix} \vec{J_M Ankle} \end{bmatrix} = [T_{loc2global}] \begin{bmatrix} \vec{J_r F_{Ankle}} \end{bmatrix}$$

يعرض الشكل (٧-٥) التمثيل البياني الحر (FBD) لعضو الرجل.  
تتقل جميع البارامترات الضرورية التي تضمنتها حسابات رد فعل قوى  
وعزم القوى لمفصل رشح القدم إلى نظام الإحداثى الموضعى بالنسبة للرجل.  
عندما يحدث ذلك يمكن إنشاء حساب المفصل القريب (مفصل  
الركبة) عندما تتم تلك الحسابات قوة رد فعل وعزم مفصل الركبة يحول إلى  
LCS للفخذ من أجل حساب قوة رد فعل مفصل المقعدة وعزم قوة المقعدة.  
وتبعاً لذلك ينقل قوة رد فعل وعزم المقعدة إلى GCS. تتشابه معادلات  
عضوى الرجل والفخذ نظيرتها لعضو القدم باستثناء أن مركبات GRF

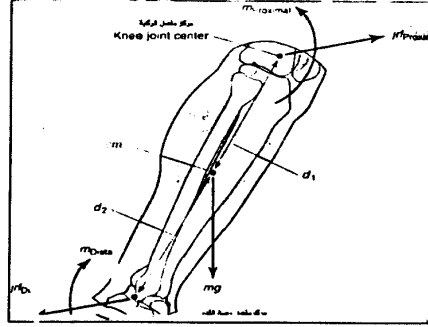
تعمل بواسطة المركبات المناظرة لقوة رد فعل المفصل البعيد. وتكون تلك المعادلات في شكل متجه كما يلي :

$$\vec{J_r F_{proximal}} = m \vec{a_{CM}} - m \vec{g} - \vec{J_r F_{distal}}$$

$$\vec{J_m proximal} = I \alpha - (\vec{d_1} \times \vec{F_{JrF-prox}}) - (\vec{d_2} \times \vec{F_{JrF-distal}}) - \vec{J_m distal}$$

حيث أن بالنسبة للرجل والخذ  $\vec{d_1}$  = متجه مسافة X Y Z بين

مركز كتلة العضو، ومركز المفصل القريب، بينما  $\vec{d_2}$  = متجه مسافة XYZ بين مركز الكتلة ومركز المفصل البعيد.



شكل (٧-٥)

التمثيل البياني الحر لعضو الرجل بحساب الديناميكا المعكوسة جميع البارامترات يجب تمثيل في LCS لقوى الرجل من أجل الركبة. سوف يكون FBD بالمثل بالنسبة للخذ

## الملخص : Summary

يوجد العديد من الطرائق المختلفة لحساب كيناتيكا الأبعاد الثلاثة تم تناول طريقة نيوتن-ايولير بالشرح في هذا الفصل. نفس المسلمات التي سبق التسليم بها في تحليل البعدين يسلم بها في تحليل كيناتيكا الأبعاد الثلاثة لذلك الحدود هي نفسها. يتضمن تحليل الأبعاد الثلاثة ثلاث أنواع من البيانات (١) بيانات القوة الخارجية عادة هي (GRF). (٢) علامات الأبعاد الثلاثة لوصف الفروق الفردية للأعضاء، (٣) البيانات الأنثروبومترية للفروق الفردية للأعضاء. يجب الوضع في الاعتبار أخطاء كل من تلك النماذج. يمكن استخدام أعداد مختلفة من مجموعات العلامات ولكن سوف تصغر إلى ثلاث علامات غير خطية لكل عضو. يتضمن تحديد الثلاث أبعاد جمع المسار المعايير الذي فيه ثم معايرة كلا المسار والعلامات المتصلة به. تظل العلامات على الفرد خلال المسارات الواقعية. ولكن يعزل صندوق معايرة العلامات. يسمح صندوق معايرة العلامات بحساب مراكز المفصل الواقعية والنظام الإحداثي الموضعي للعضو LCS. بالإضافة إلى، تحديد مصفوفة الانتقال بين علامات المسارات للعضو والأوضاع المعايرة التي سوف تحدد العضو. تستخدم هذه المصفوفة لتحديد أوضاع العلامة المعايرة بعد عزل صندوق المعايرة.

## اختبر معلوماتك :

- ١- أذكر طرق تحديد موقع مركز ثقل كتلة الجسم أو أحد أعضائه وتناول إحداها بالشرح المفصل؟
- ٢- اشرح كيف يمكن إجراء الفحص النهائي لطريقة التحليل الكيناتيكي ثلاثي الأبعاد؟
- ٣- أذكر الخطوات التي يجب إجرائها للوصول إلى حسابات كيناتيكا الثلاث أبعاد للمفصل؟
- ٤- اشرح كيف يمكنك حساب فعل القوى وعزم القوى عند رسغ القدم؟

## المراجع

- ١- عادل عبد البصير على: (١٩٩٨م)، المدخل لتحليل الأبعاد الثلاثة لحركة جسم الإنسان في المجال الرياضي، مركز الكتاب للنشر، القاهرة، ص(١٠٠-١٢٠).
- 2- Allard, P.A., et al.: (1998), Three-dimensional analysis of human locomotion. Chichester, U.K., John Willey & Sons..
- 3- Andriacch, T.P. et al.: (1980), A study of lower limits mechanics during stair climbing, Journal of Bone and Joint Surgery, 62: 749-806.
- 4- Braune, W. and O. Fischer: (1989), Liber den scherpunk des menschlichen korpers, mit rucksicht auf die ausrnstung des deutschen infantristen (the center of gravity of the human body as related to the equipment of the german infantry) J. Abhend lung an der mathematisch- physischen klasse der koniglich-Sacchsichen Gesellschaft der Wissenschaften 26: 561-672.
- 5- Brooks, C.B. and A.M. Jacobe: (1975), The gamma máss scaning technique for inertial anthropometric measurement. Medicine and Science in Sports 7: 290-294.

- 6- Chander, R.F. et al.: (1975), Investigation of inertial properties of the human body. AMRL technical report, 74-137, Wright- Patterson Airforce Base, OH.
- 7- Clauser, C.E. et al.: (1969), Weight, volume and center of mass of segments of the human body, AMRL, Technical Report 60-70, Wright- Patterson, Air Force Base, OH.
- 8- Deluzio, K.J. et al.: (1999), Gait assessment in unicompartmental knee arthroplasty patients: principle component modeling of gait waveforms and clinical status, Human Movement Science, 18: 701-712.
- 9- Dempster, W.T.: (1955), Space requirements of the seated operator: Geometrical kinematic and mechanical aspects of the body with special reference of the limbs, WADC Technical Report, 55- 159, Wright- Patterson Air Force Base, OH.
- 10-Hanavan, E.P.: (1964), A mathematical method of the human body. AMRL Technical report 64-102, Wright- Patterson Airforce Base, OH.
- 11-Fischer, D. (1906): theoretische grundlagen eine mechanic der lebenden korper mit speziellen anwendungen den menschen, sowie auf enige bewegungsvorange an maschine (theoretical fundamentals for mechanics of living bodies with special applications to



- man as to some processes of motion in machines),  
Leipzig: BG. Tuebner.
- 12-Harless, E. (1860): The static moments of component masses of the human body, treatises of the mathematics physics class, Royal Bavarian Academy of Sciences, 8L69-96, 257-351, Trans FTD Technical Report 61-295, Wright Patterson Air Forces Base, OH, 1962.
- 13-Hatze, H.: (1998), Validity and reliability methods for testing vertical jumping performance. *Journal of Applied Biomechanics*, 14: 127-167.
- 14-Nigg, B.M. and W. Herzog: (1994), *Biomechanics of musculo-skeletal system*, New York: John Wiley & Sons.
- 15-Reuleux, F.: (1876), *The kinematics of machinery: outlines of a theory of machines*, London: MacMillan.
- 16-Sommer, H.J., et al.: (1992), Determination of first and second order instant screw parameters from landmark trajectories. *ASME Journal of Mechanical Design*, 114: 274-356.
- 17-Spoor, C.W. et al.: (1980), Rigid body motion calculated from spatial coordinates of markers. *Journal of biomechanics*, 13: 391-394.

- 
- 18-Vaughan, C.L., et al.: (1992), Dynamics of human gait, Champaign, IL: Human Kinetics.
- 19-Veldpaus, et al.: (1988), Rigid body motion calculated from spatial coordinates of markers. Journal of Biomechanics, 13: 391-394.
- 20-Zatsiorsky, V.M.: (2002), Kinetics of human motion, Champaign, IL.: Human Kinetics.

## الباب الثالث

### التكنيكات الإضافية Additional Techniques

الفصل الأول: النمذجة العصبية العضلية  
الفصل الثاني: نموذج ميكانيكا العصب عضلي



## الفصل الأول

### النمذجة العظلية العصبية Neuromuscular modeling

الأهداف

تمهيد

أولاً : قواعد للنمذجة العصبية العظلية

ثانياً : احتمالات تركيبية لنماذج عضلية عصبية متقدمة

ثالثاً : نمذجة الجهاز الحسي

ربعاً : النمذجة لأنظمة أمثلية متقدمة وعكسية

الملخص

اختبر معلوماتك

المراجع



## الفصل الأول

### النمذجة العضلية العصبية Neuromuscular modeling

#### الأهداف Objectives

بعد قراءة هذا الفصل سوف يصبح القارئ قادر على التعرف على ما يلي :

- ١- مفاهيم وقواعد النمذجة العصبية العضلية.
- ٢- الاحتمالات التركيبية لنماذج عضلية عصبية متقدمة.
- ٣- نمذجة الجهاز الحسى.
- ٤- تطبيقات على الحركات الواقعية ثلاثية الأبعاد.

#### تمهيد : Review

فى مقالات سابقة، عددنا أوجه النمذجة العضلية العصبية. الآن نمد الإطار النظرى للتركيز على النمذجة العضلية العصبية. هذه المداخل للنمذجة تعطى نظرة إلى الإستراتيجيات العصبية الحركية التى تشمل حركات الإنسان واستخدامها الأساسى. غالباً مثل هذه النماذج تستخدم لتكمل الدراسات التجريبية لحركة الإنسان التى فيها السلوك الداخلى (مثل قوى العضلة) لا يمكن قياسها، وذلك، لو توقعات النموذج مشابهة للبيانات المقاسة فإن السلوك الخاص يمكن افتراضه. النماذج العضلية العصبية أيضاً يمكن استخدامها لاختبار فروض بخصوص الإستراتيجيات الحركية العصبية، فى مثل هذه

الحالات، توقعات النموذج غير الكافية المشار إليها، يمكن أن تؤدي لنماذج جديدة ومفاهيم لتنظيم الحركة. للوصول لأقصى استفادة من دراسات النمذجة، نماذجنا يجب أن تشمل على التوازن بين البساطة والتعقيد. النمذجة هي عملية ثورة، ولقد دخلنا منطقة فيها يتم بحث الحركة ثلاثية الأبعاد، ومشاكل ثلاثية الأبعاد صعبة الفهم. يوجد تقدم حديث في طرق نمذجة العضلة والجهاز العضلي الهيكلي، الشبكات العصبية وطرق الأمثلة، حساب القدرة والسرعة (سمحا لبحث النمذجة ثلاثية الأبعاد المعقدة)، وفهمنا الثوري للعلاقات بين أهداف المهمة- الحركة وسلوك الحركة. كيف يجب أن تتطور طرق النمذجة العصبية العضلية لأخذ ميزة في هذه النظرات والتقدم؟ هذه الدراسة المرجعية تشير لهذا السؤال بمناقشة موضوعين: (١) التطور والتضاد للمداخل الأساسية للنمذجة العصبية العضلية، و(٢) تحديد مجموعات لمهام الحركة التي لها المداخل للنمذجة العضلية العصبية تبدو أكثر مناسبة.

### أولاً : قواعد للنمذجة العصبية العضلية :

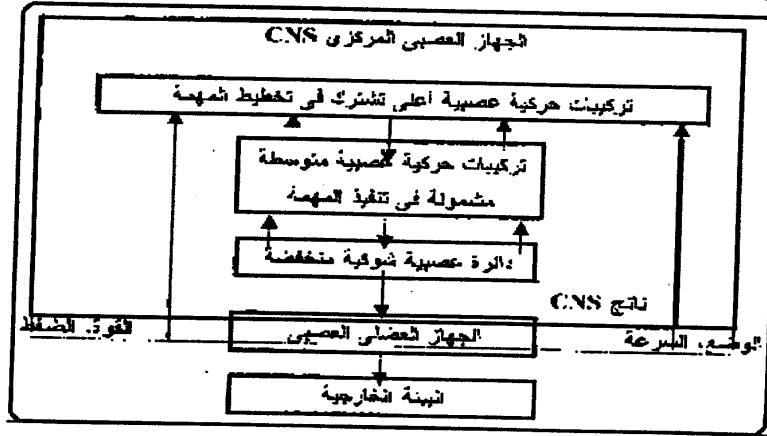
#### Bases of Neuromuscular Modeling

شكل (١-١) يعطي نظرة بسيطة للنظام العضلي الهيكلي العصبى. من هذا المنظور للشكل، تبدو أجزاء الجهاز الهيكلي العضلي التي تبرز أساساً في هذه الدراسة المرجعية، وتكون جزء صغير نسبياً للنظام كله؟ وحركات الإنسان ثلاثية الأبعاد يجب أن تخطط بتراكيب أعلى، ومثل هذا التخطيط- وكل أوجه التنفيذ الحركى العصبى- يعتمد على معلومات حسية خصوصاً بمتغيرات ميكانيكية وتفاعل دقيق بين التراكيب العصبية الميكانيكية.

والاتصال بين الأوجه العصبية والعضلية للنظام يتم من خلال عمليتين: (١) الواقع للنظام، العضلة الهيكلية، التي تأخذ مخرج الجهاز

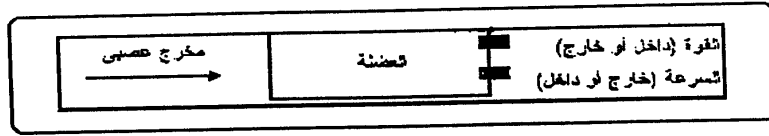


العصبي المركزي وتقود الجهاز الميكانيكي، (٢) المحفزات لنظام الميكانيكي التي تمد المعلومات للجهاز العصبي المركزي بخصوص السلوك الداخلي والأداء الخارجي. هذه الدراسة المرجعية تشير لمداخل النمذجة في هذه التقابلات. سوف نرى أنه لا يوجد بالفعل أفضل نموذج عضلي، أو صياغة أفضل لنمذجة الديناميكية العصبية. وهناك نماذج مختلفة تتطور لتشير إلى أسئلة إستراتيجية مختلفة. الإنسان يؤدي مهام متنوعة - كثير منها موجه لهدف - ولها أنظمة ميكانيكية عصبية تتقح لأداء مهام كثيرة بصورة جيدة وليس بكمال. هذا يتناقض مع مفهوم مبدأ الوحدة الذي يحكم كل الحركات لتشير بفاعلية لاختيارات النمذجة، هذه الدراسة المرجعية تعتبر بعض الدراسات للمهام الحركية وتطور داخل نمذجة تساعد في تحديد إستراتيجيات الحركة.



شكل (١-١)

رسم تخطيطي مبسط يوضح تفاعلات المعلومة من خلال  
نظام الهيكل العصبي عضلي الحركي



شكل (٢-١)

نظرة لمخرج ومدخل اتصال العضلة، يعرض وحدة إثارة عصبية (وحدة الاتجاه) تمتد وتسبب ازدواج في المخرج الميكانيكي لاختيار عضلة منفصلة، تكون فيها إما السرعة أو القوة المخرج والأخرى المدخل

### ثانياً : احتمالات تركيبية لنماذج عضلية عصبية متقدمة :

Structural possibilities for advanced neuromuscular modeling

يوجد عدة مداخل تركيبية لنمذجة الجهاز العضلي العصبي، أحدهم هو نمذجة ميكانيكا العضلة (غالباً هيكلية) لكن ديناميكية عصبية، عادة توصف مداخل التحكم إلى نموذج عضلي هيكل ديناميكي، هذا هو المدخل الأكثر استخداماً (أنظر زاجاك ووينترز Zajac & Winters ١٩٩٠م). وآخر يشمل عناصر ديناميكية عصبية بسيطة وعناصر عضلية على أنها مواضيع منفصل داخل نموذج أكبر (الويس وليفين Leob & Levine ١٩٩٠م). مدخل ثالث هو عدم التمييز بين المساهمات العصبية والعضلية، وبدلاً من استخدام مواضيع عصبية عضلية (مثل فيلدمان، آدموفيش، أوستري، فلانجان Feldman, Adamovich, Ostry & Flanagan ١٩٩٠م). هنا نحن نطور هذه المداخل أولاً مع مراجعة مدخل مخرج موجز لميكانيكا العضلة.

## رؤية مدخل- ومخرج نمذجة العضلة :

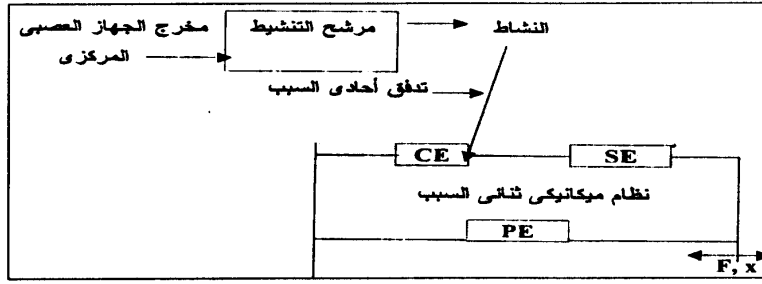
### Input- output view of muscle modeling

معرفة ديناميكية العضلة تأتي من اختبار مدخل- مخرج حريص للعضلات. من مثل هذا المنظور، التجارب مع عضلة منفصلة يتطلب تخصيص مدخلين ومن ثم يخرج مفرد يقاس شكل (١-٢). أحد المدخلين يمثل مدخل عصبى، الآخر إما طول العضلة أو القوى، واحد من الاثنين الآخرين غير مخصص يصبح المخرج. أغلب للتجارب المتحكم فيها لفسولوجيا العضلة يمكن اعتبارها استجابة "نبضة" أو "خطوة" لواحد من المدخلين بينما للثاني يبقى ثابت (وينترز ١٩٩٠م). وبالرغم من أن هذا مبسط لحد ما (مثل المدخل العصبى يمكن أن يكسر فى "إعادة توظيف" ومدخلات "معدل الاحتراق" (هاترى ١٩٧٧م) فهو مثبت أنه مفيد (وينترز ١٩٩٠م).

مرتكزاً على مثل هذا الاختبار المنظم، ظهرت صورة للخواص الديناميكية للعضلة، لتمثيل خواص العضلة فى نموذج، وجهين يجب أن يعتبر: التركيب المفترض للنموذج، وخواص العناصر فى هذا التركيب. الصنف الأول الأكثر شهرة لتركيبات فى ميكانيكا نموذج العضلة طور أولاً عن هيل (Hill ١٩٣٨م) - يشمل عناصر منقبضة فى سلاسل وفى توازى مع عناصر مطاطية. العملية الديناميكية للعضلة التنشيط - الإثارة يجب أيضاً أن تتمذج، مؤدياً إلى الشكل التفرعى لتركيب النموذج الذى يظهر فى شكل (١-٣). التنظيم فى شكل (١-٤/ب) يوضح السمات الغير خطية الأساسية للعناصر الانقباضية فى علاقات القوة - الطول - السرعة وسلاسل التوافق التى تظهر فى الدراسات التجريبية. التعبيرات الحسابية تستخدم لتتناسب مثل هذه البيانات وفى العملية يتم عمل افتراضات، مثل معادلة هيل (السرعة التقصير) أو تناسب امتداد القوة الأسى لسلاسل التوافق (الذى يفترض أن التيبس يزيد خطياً مع القوة). مستوى التنشيط يقيس مستوى عبور الصفر -

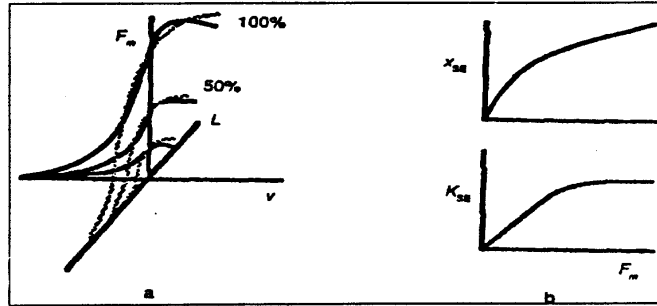
السرعة وفى بعض الصياغات سرعة تقصير العناصر الانقباضية غير محملة القيم، مدخل يفترض إعادة توظيف للوحدات الحركية (وينترز وستارك Stark، ١٩٨٥م).

فى الاستخدام لأكثر من ٥٠ سنة، انتشار مثل هذا الإطار النمذجى يعتمد جزئياً على بساطة المفهوم، لكن أيضاً على قدرته فى توقع السلوك الديناميكى للعضلة لعدة مواقف بدون تطلب معامل تنوع خاص بالمهمة. مع ذلك، فى الشكل البسيط، لا يتوقع بعض الظواهر التى يمكن ظهورها فى التجار على عضلات منفصلة أو ألياف عضلة. هذا يشمل التطوير المؤقت (جويس، راك، ويستبورى Joyce, Rack & Westbury، ١٩٦٩م)، زيادة القوة بعد التطويل المؤقت (ايدمان، الزينجا، نوبل Edman, Elzinga & Noble، ١٩٧٨م)، التأثيرات المؤقتة فى استجابة للتغير المفاجئ فى الطول (ماكماهون McMahon، ١٩٨٤م)، أسئلة بخصوص التنشيط-مقابل القوة-الاعتماد لسلاسل توافق العنصر (راك، ويستبورى، ١٩٧٤م)، اعتماد ديناميكيات التنشيط على ديناميكيات العضلة (زاهالاك Zahalak، ١٩٩٠م)، والخواص المطاطية للسلاسل المطاطية التى هى أكثر تعقيداً عن المعبر عنه بزنبرك مفرد (ايتيما، هويجنج Ettema & Huijing، ١٩٩٠م). هذه التأثيرات يمكن التعامل معها جزئياً داخل إطار نموذج هيل لكن على حساب إضافة تعقيد (وينترز، ١٩٩٠م) لتقييم أعمق.



شكل (٣-١)

رسم تخطيطي يظهر تركيب نموذج هيل المنتشر الاستخدام، المستعمل العلوى الأيسر يمثل ديناميكيات الإثارة، والتي نمذج في نموذج فيما يتعلق بعملية الترشيع أحادي السبب أولاً، وثانياً مع مدخل يمثل مخرج الجهاز المركزي العصبي (إشارة عصبية) ومخرج يمثل التنشيط، من ثم يصبح مدخل للنموذج الميكانيكي للعضلة لهيل. عنصر السلالة (SE) والعنصر المتوازي (PE) يمثل زنبرك سلبي:  $F_m$  هي القوة الانقباضية، (CE) العنصر الانقباضي،  $F$  هي القوة المخرجة،  $x$  هي الطول.



شكل (٤-١)

(أ) يمثل العنصر الانقباضي علاقة بين قوة العضلة، سرعة الانقباض، والطول الذي يعدل بواسطة مستوى نشاط (مستويات متعددة تظهرها)، (ب) امتداد عنصر السلاسل ( $X_{SE}$ ) والتيسر ( $K_{SE}$ ) يظهر في وظيفة غير خطية لقوة العضلة

استخدام إطار نموذج هيل يمكن نقده من وجهتين نظر متناقضتين، البعض، يعتبر غير متوافق مع بعض التجارب الفسيولوجية المعروفة ولا يركز على افتراضات لانقباض العضلة فى المستوى الجزئى (ملخص فى زاهلاك ١٩٩٠م). من هذا المنظور، الإطار الأكثر مناسبة يكون نماذج تستخدم إطار بيولوجى فيزيائى كما افترضه هوكسلى وزملاءه (مثل هوكسلى Hocksly ١٩٥٧م). أخيراً، فى الواقع ربما الأغلبية الذين يدرسوا حركة الإنسان نموذج هيل معقد جداً لترجمة بياناتهم أو تطوير نظريات حركية عصبية موحدة. نظرة البعض للعضلة يعتمد بدرجة كبيرة على خلفيته وعلى الأسئلة البحثية التى يطرحها.

احتمال واحد : التحكم فى مدخلات العضلة (مدخلات رسم العضلة الكهربى)  
One possibility: controlling muscle inputs (EMG inputs)  
أغلب لنماذج التقدمية لديناميكية حركة الإنسان تستخدم فى النماذج العضلية الهيكلية التى يتم التحكم فيها بإشارات إثارة عصبية التى تمثل مخرج الجهاز العصبى المركزى (زاجاك، جوردون Gourdon، ١٩٨٩م). بهذا، الجهاز العصبى مفصول أساساً من النموذج العضلى الهيكلى الميكانيكى، أنظر شكل (١-٥). هذا مقنع لعدة أسباب :

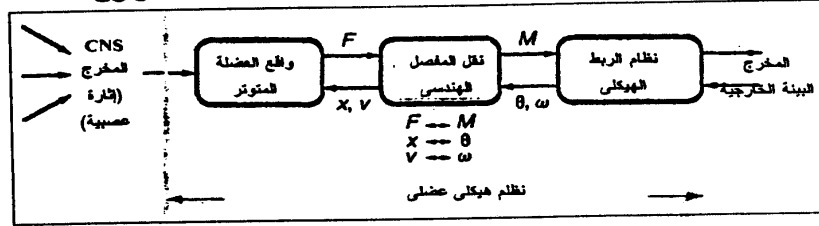
- مخرج الجهاز العصبى المركزى عن طريق الوحدات الحركية فى الواقع هو الطريقة الشهيرة النهائية للجهاز العصبى الذى يشمل مساهمات من مراكز أعلى، دوائر شوكية موضعية وممرات تغذية مرتدة حسية.
- نقل المعلومات فى المستوى العصبى أحادى الاتجاه (مقابل ثنائى الاتجاه فى النظام البيوميكانيكى).
- هذه الإشارة المتوسطة ترتبط بتفكك بنشاط رسم العضلة الكهربى الذى يمكن قياسه تجريبياً.

لذا، النموذج مطلوب لديناميكيات العضلة، وليس لديناميكيات العصب. هذا المدخل الموثق في مكان آخر (مثل زاجاك وجوردون، ١٩٨٩م) يملك محددات داخلية لأنظمة التحديد والتحكم بدوارة مفتوحة، باستخدام تركيب هيل كقاعدة، كل من النماذج الثابتة والديناميكية يمكن تطويرها.

#### نموذج العضلة الثابت : Quasi-static muscle models

لكي يصطلح على كونه ثابت، تأثيرات الكثافة (خصوصاً العنصر الانقباضى القوة- السرعة) وتسارعات الكتلة يجب ان تهمل. بسبب أن الانحدار في علاقة القوة- السرعة للعنصر الانقباضى أعلى لسرعات عنصر انقباضى منخفضة (شكل ١-٤). القوى ربما تتحرف لأكثر من ٢٠% فوق الأيزومتريك للتطوير البطئ وبحوالى ١٠% للتقصير البطئ. علاقة القوة- الطول للعنصر الانقباضى، معدل بواسطة مدخل التنشيط- الاتصال- الحد الحرج غير خطى (شكل ١-٦). مع ذلك، للعديد من التطبيقات، زبركات خطية وثنائية الخط تمد تمثيل مفيد فوق المدى العامل للاهتمام (شكل ١-٦). عدة تقريبات أبسط تفترض أن وظائف العنصر الانقباضى مثل مولد قوة الطول- الاستقلال (شكل ١-٦). عدة تقريبات أبسط تفترض أن وظائف العنصر الانقباضى مثل مولد قوة الطول- الاستقلال (شكل ١-٦) أو مولد وضع القوة- الاستقلال (مثل نماذج راك وبينيون الموصوفة فى هوك ورايمر ١٩٨١م) اتلى فيها خطوط القوة- الطول رأسية). تركيب العنصر الانقباضى. عنصر السلاسل يظهر متصل ببندول مقلوب فى شكل (١-٦) لتوضيح أنه بسبب القوة عبر عنصرى الانقباض والسلاسل متشابه، الإستراتيجية لتثبيت التوازن حساس جداً لعلاقة المفترضة للعنصر

الانقباضى. كمثال، لو مولد القوة الطول- الاستقلال مفترض، هذه اللولبة المفتوحة، نظام الكتلة- الزنبرك غير ثابت ومعرض لاختلال التوازن.



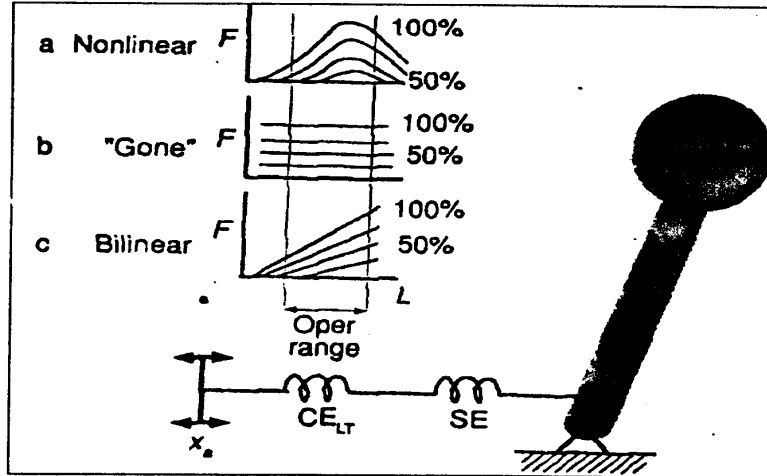
شكل (١-٥)

تخطيط يوضح المدخل الشهير لدراسة حركة الإنسان الذى فيه ديناميكيات النظام الهيكلى العضلى منفصلة عن الديناميكيات العصبية وتوجد فقط ديناميكيات النظام العضلى الهيكلى نموذج. هذه المدخلات إلى النموذج تشمل كل من التى تمثل المخرج للجهاز العصبى المركزى زائد المدخلات من البيئة (أقصى اليمين). لو نظام البيئة المزودج يملك ديناميكياته الخاصة، ومن ثم أسهم المخرج- البيئة فى التواجه الميكانيكى يصبح سئ التحديد والنظام العضلى الهيكلى يزودج ثنائى الأسباب بالنظام الخارجى

فى شكل (١٧-١) مساهمات مثل الزنبرك للعضلة، الغشاء العضلى، والوتر يعتبر منفصلين. الامتداد يساوى شد النسيج مضرب فى الطول النسبى. مفترضاً ترتيب سلاسل، القوى فى كل العناصر متشابهة، وتضاف امتدادات العنصر. ولذلك، أى عنصر مع تيبس نسبى عالى (أعنى توافق منخفض) يمكن اهماله، فى الواقع، التوافقات بنفس الترتيب تقريباً (إيتيما وهويجنج، ١٩٩٠م). خواص مطاطية لعناصر زنبرك عنصر السلاسل يمكن اعتباره غير خطى، خطى أو ثنائى الخط معتمداً على أهداف التحليل وعلى مدى عمل القوة المهمة تحت البحث. عدة محتويات هامة خاصة بالهدف لافتراضات عنصر السلاسل توضح فى شكل (١٧-١ب)، لمهمة مثالية مثل رفع حمل، لو المكون المعتمد على التنشيط لعنصر السلاسل تم تمثيله بزنبرك خطى، حالة الثبات لعلاقة العضلة- عنصر السلاسل تصبح تقريباً

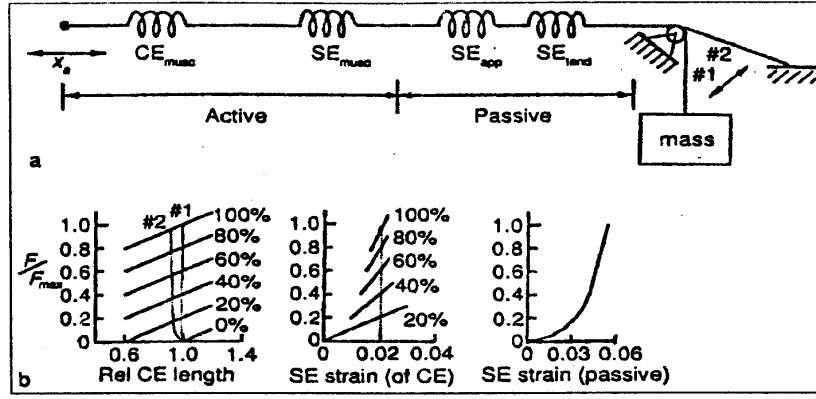


رأسياً، ثابتة في حوالي ٢% ومستقلة نسبياً عن الحمل. بسبب أن القوة عامة تعتمد على الطول والسرعة بالإضافة إلى التنشيط، هذا يقترح مساهمة عنصر السلاسل معتمد على التاريخ الذي فيه العضلات المنشطة وغير المنشطة تتبع مرات قوى- امتداد عنصر سلاسل مختلف. مع ممرات خلال عدم التنشيط لها امتدادات أعلى لقوة مفترضة وتصبح أفضل تمثيلاً بواسطة مقعر قوة- امتداد عن المفترض طبيعياً. لمهمة مثالية لانتقايض أيزومتري، كمية تقصير عنصر الانتقايض تساوى كمية الامتداد الكلى لعنصر السلاسل لكن المساهمات النسبية للتنشيط- الاستقلال والامتدادات السلبية لعنصر السلاسل هو وظيفة التنشيط.



شكل (٦-١)

تخطيط ثابت لنموذج هيل للعضلة متواجه مع بندول بكتلة. ٣ نماذج قوة- طول مفترضة: (أ) غير خطى، (ب) خطى كمنطقة مستوية (مولد قوة طول- استقلال)، (ج- ثنائى الخط



شكل (٧-١)

سلوك عضلة ثابتة مثل الزنبرك. (أ) اتصالات سلاسل تمثل (من اليسار لليمين) القوة-الطول لعنصر الانقباض للعضلة (الطول-الوتر)، عنصر السلاسل للعضلة، مع التيسر وظيفة للتنشيط (أعني عدد الروابط المتصلة)، الغشاء العضلي، والوتر. ٢ أقصى مثالين للتفاعل مع البيئة ممثلة في: ١ قوة العضلة تتحدد بواسطة نظام الشد-الكتلة والوضع يكون حر للتنوع، بينما ٢ طول العضلة مخصص (إيزومتري) والقوة حرة للتنوع، (ب) افتراضات ممثلة للعلاقات المكونات لهذه العناصر الزنبركية، مع ٢ مكون زنبركي سلبي مجعنين، نتيجة معرفة حدود لخواص الغشاء العضلي، هنا انحدار القوة-الطول يفترض أن يكون ثابت، مع الزنبرك المفهومي أو الحد الحرج، الانزلاق لليسار مع زيادة التنشيط (القيم). التنشيط-الاستقلال لعنصر السلاسل للعضلة يفترض زنبركات خطية لهذه الروابط التي تتصل، من ثم الانحدار يزيد مباشرة مع التنشيط (القيم)، يعرض المدى المفهوم فسيولوجياً. الزنبرك السلبي يشمل منطقة أصعب قدم شبه الأس غير خطية متبوعاً بمنطقة خطية

بالرغم من أنه يوجد استثناءات ملحوظة (مثل، النسيج الوتري القليل في بعض العضلات للعمود الفقري)، كل من العضلات والأوتار طبيعياً تمد مساهمات دالة في امتداد عنصر السلاسل الكلي، مع مساهمة العضلة تكون أكثر تعقيداً وبالمثل أكبر من التنشيط المنخفض وخلال عدم التنشيط عن

مساهمة الوتر التي تكون أكبر في التنشيط وقوة أعلى. عندما يرغب في عنصر سلاسل مجمع مفرد علاقة تشبه الأس غير خطية تمثل السلوك الكلي أفضل من الخطية خصوصاً في منطقة التنشيط المنخفض لأهميتها الأساسية في أغلب نشاطات الحياة اليومية (وينترز ١٩٩٠). مع ذلك، المساهمة النسبية للعضلة والوتر يمكن أن تتنوع، الذي يبدو ثابتاً مع الأدوار الوظيفية المفترضة لمختلف الوحدات العضلية الوترية خلال نشاطات الحياة. ألكسندر وكير (١٩٩٠م) أشارا إلى أن المساحة المقطعية النسبية للوتر مقابل العضلات تتنوع ونقترح ثلاث صنوف للوحدات العضلية الوترية (أنظر مونجيول ووينترز، ١٩٩٠م) :

١- وحدات مع أوتار قصيرة قادرة على إنتاج كميات أكبر من العمل العضلي.

٢- وحدات مع أوتار غليظة طويلة تعتاد أن تبقى في منطقة إصبع القدم الخطية (تحت شد ٢-٣%) وبهذا تبدو مثالية للعمل عن بعد والتعديل (مثل العضلات في الساعد).

٣- وحدات مع أوتار أسطوانية طويلة نسبياً تعتاد أن تعمل في مدى خطي خلال الحركة وأفضل تصميماً لتخزين- إطلاق- نقل الطاقة (مثل عضلات الطرف السفلي).

نماذج العضلة الديناميكية : تفاعل ثنائي السبب :

Dynamic muscle models : Bicausal interaction

هل يمكن نمذجة العضلة ببساطة بمرشح تنعيم (تمرير- منخفض)

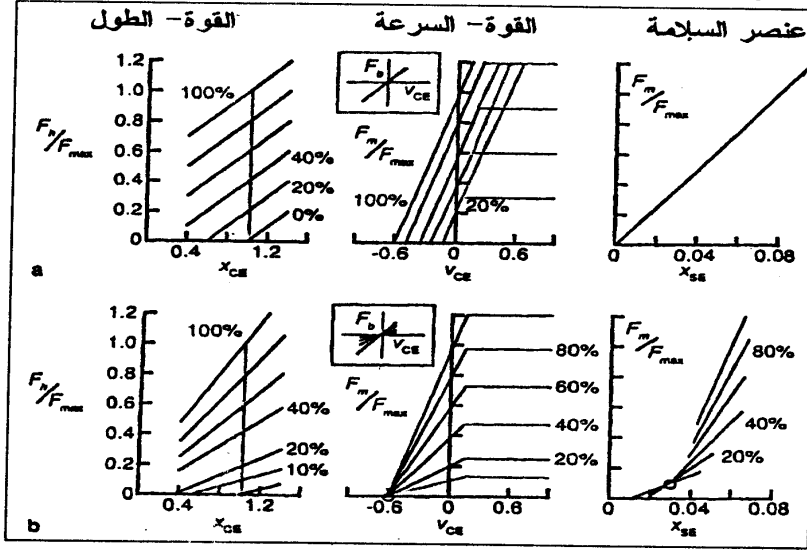
أحادي السبب (طريق واحد)؟ لا يمكن. كما يتضح من شكل (١-٢) إلى (١-٧)، قوة العضلة كثير منها دالة لطول العضلة والسرعة. مع المخرج الميكانيكي يشمل قوة ثنائية السبب (طريقين) ونقل مركز- سرعة. هذا

الأساس المفهومي يحبط استخدام نماذج أحادية الجانب. استثناء ممكن هو الحركات الإرادية غير المحملة (مثل بعض أنواع حركات العين).

هل ترتيب تركيب العنصر الانقباضى - عنصر السلاسل ضرورى؟ فى الواقع دائماً. هانافورد ووينترز (١٩٩٠م) قارنا عضلة هيكلية مع مشغلات كهربية، هيدروليك وهوائية واستخلصا أن التمايزات الأولية هى وجود توافق سلاسل داخلية (وغير خطية) وتفاعل للعنصر الانقباضى - عنصر السلاسل خلال مهام ديناميكية.

هل يمكن لسلوك العضلة أن يكون خطى (مثل شكل ١-١٨) لبعض المهام؟ بسبب بساطة نظرية النظام الخطى، يوجد عادة أن يمثل بخط نموذج هيل فوق بعض مدى التشغيل. وينترز وستارك (١٩٨٧م) وضحا حالات فيها نموذج عضلة - مفصل غير خطى من الدرجة الثامنة متضادة بمد مسارات مخرج لبعض المهام تبدو مثل استجابات نظام خطى منخفض الترتيب. هذا يمكن تفسيره بملاحظة عناصر ثنائية الخط مفهومية لشكل (١-٨ب). لو المدخل العصبى ثابت، النموذج يصبح تقريباً خطى. بالمثل، للمهام التى لا يوجد بها حمل خارجى ومدى صغير من الحركة، عناصر القوة - الطول فى عنصر الانقباض وعنصر السلاسل غالباً يوضع خطى (أو أحياناً يزال). وضع خط لعلاقة القوة - السرعة فى العنصر الانقباضى ليمثل كل من عمل التقصير والتطوير للعضلة يكون أكثر خطورة خصوصاً بسبب أن التضاد غير فعالى فى الاطفاء بسبب أن للزوجة العالية لهم (مقارنة بعلاقة القوة) - السرعة لعنصر الانقباض فى شكل (١-١٨) إلى الموجود (١-٨ب) للتشيط المنخفض). إلى حد ما، المشكلة يمكن تخطيها لحركات اتجاه واحد يجعل المضادات بلزوجة منخفضة عن المؤديات (مثل. ليهمان وستارك،

١٩٧٩م) مع ذلك حتى مع الخطية الخاصة بمهمة، بعض السمات لا يمكن الحصول عليها.



شكل (٨-١)

علاقات مبسطة لعناصر داخل نموذج العضلة الأساسية لهيل. (أ) خطي، مرتكزاً على مدى عمل فسيولوجي مثالي (لاحظ أن علاقة القوة-الطول-السرعة-لعنصر الانقباض هنا مضاف)، (ب) عناصر ثنائية الخط، مع كل عنصر وظيفة تزايدية لمدخل التنشيط (حتى التشبع)، علاقات (القيم) ربما تدمج تزايدياً أو إضافياً مع تأثيرات مختلفة. القوة-السرعة لعنصر الانقباض هو القوة المفرغة (المفقودة)

هذا يمكن رؤيته في تتبع المهمة في شكل (٩-١)، ورغم عدم تنشيط المضادات، مضادات التطويل للنموذج الخطي تنتج عزم مقاومة خلال الفترة بين ٥٠ و ١٠٠ ميلي ثانية. بالإضافة إلى الأنماط الكلية للنموذج الخطي

انعدمت بسبب عدم وجود قدرة داخل النظام لتعديل تكيفى لخواص النظام الديناميكي. هذه المساعدة تفسر النتائج المحصل عليها عندما تقود نموذجين. فى كلا الحالتين إستراتيجية التحكم العصبى متلى بخصوص تقليل خطأ تتبع الوضع (سيف- ناراجى، ١٩٨٩م). لكن خطأ المرجع الأمثل يعتبر أكبر عند استخدام النموذج الخطى، خصوصاً عند محاولة تتبع الهبوط. عامة، التاريخ يقترح أن الخطية هى تقريب منحنى يساهم قليلاً فى الفهم المفهوم للتحكم العضلى العصبى.

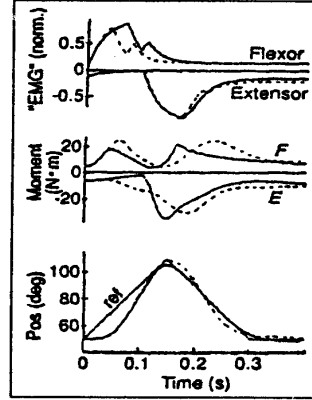
نظرات إلى السلوك غير الخطى عن طريق عناصر نموذج عضلة ثنائى الخط :

Insights into non-linear behavior via bilinear muscle model elements

فى الجزء السابق، نموذج ثنائى الخط للعضلة (شكل ١-٨ب) تم استخدامه لإظهار الظروف المحددة التى تحتها تبدو العضلة خطية. بالرغم من أن هوجان (١٩٨٤م) استخدم علاقة قوة- طول لعنصر الانقباض ثنائية الخط لوضع مبادئ لتعديل التيبس وإلى حد معرفة الباحث، لا يوجد واحد يحاول صياغة ثنائى الخط ديناميكى للعضلة، لماذا نعتبر عناصر ثنائية الخط؟ يوجد سببين أساسيين.

أولاً : كل من العلاقات غير الخطية لطرق العضلة يمكن ضبطها بواسطة علاقات ثنائية الخط (شكل ١-٨ب)، هذا المدخل المبسط يساعدنا فى نظرة واضحة لمحتويات الخواص غير الخطية. كمثال، أعيد اعتبار المحاكاة فى شكل (٩-١) الذى فيه خواص العضلة تم وضعها خطياً مرتكزاً على مدى العمل الذى يحدث فى مسار هذه المهمة التتبعية. التآكل فى الأداء مع النموذج الخطى، حتى عندما تعاد أمثلتها، يحدث بسبب أن لوغاريتم الأمثلة

لا يمكن أخذه كميزة لتباين التنشيط- المعتمد فى خواص التيبس ليمد تغيرات أكثر فى مستويات القوة- العزم للعضلة. هذه المحاكاة أيضاً توضح أنه ربما الجزء الأكثر أهمية لعلاقة القوة- السرعة لعنصر الانقباض: خواص غير خطية تسمح للمضاد أن يكتفى بفعالية ومن ثم يعاد ظهوره اختياريًا. الإستراتيجية منتشرة الاستخدام للتعديل عن طريق تنشيط مشترك للمضادات يمد خلاله مهمة وحلول الأمثلة غالباً تأخذ ميزة هذا (وينترز، ستارك، سيف- ناراجى ١٩٨٨م). على النضاد، لنماذج خطية لا يوجد قيمة فى الحصول على عضلات مشتركة الانقباض، ولا يتوقع فى حلول الأمثلة (سيف-ناراجى، ١٩٨٩، سيف-ناراجى ووينترز، ١٩٨٩م أ، ١٩٩٠م).



شكل (٩-١)

تأثيرات الخطى على حركات تتبع متلى بواسطة نموذج الكوع المفصل- العضلة المتضاد. معيار الأداء يكون الأمثل هو خطأ متوسط المربع بين مسارات (مثلية) الواقع والمرجعية، أطوال وأعراض نبضة الإثارة العصبية هي المتلى، استجابة النموذج الأمثل للنموذج الخطى (خط تقيل) خطى ومن ثم إعادة الأمثلة (خط متقطع)

ثانياً، رغم أنها لم تتطور مثل النظرية الخطية، نظرية النظام ثنائي الخط يقترح بعض أشكال لتكوين التحكم في التغذية المرتجعة العصبية يبدو متوافق مع دوائر عصبية معروفة. في النظام ثنائي الخط، بالإضافة، إلى المصطلحات الخطية في معادلات الحالة، يوجد مصطلحات تزايدية بين متغير الحالة والمدخل (أو حالة أخرى في بعض الحالات). من منظورنا، وبهذا قادر على تعديل الخواص الأساسية للنظام الديناميكي. مثل هذا التباين التركيبي هو علامة لنظام تعديلي. نظرية ثنائي الخطوط أيضاً يظهر أنه لأنظمة مع مدخلات- حالات (كما هنا)، نظام ثنائي الخطوط ربما يكون واقعياً أكثر تحكماً (موهler، ١٩٩١م)، أكثر من هذا، شكل مثل هذه التحكمات في التغذية الراجعة تزايدى، وهو ما يمد تمثيل منطقي لدائرة عصبية شوكية معروفة.

إمكانية أخرى : شاملة عناصر عصبية داخل النموذج :

Another possibility : Including neural elements within the model

يوجد مشكلة أساسية مع إضافة عناصر عصبية لعملية النمذجة: على عكس النظام العضلي الهيكلي أينما نفس الأنسجة تستخدم خلالها والنمذجة للخواص الميكانيكية لكل نسيج ممكنة، ليس من الممكن خلق مسار تتبعى لدائرة عصبية. يوجد البلايين من الخلايا العصبية في الجهاز العصبي المركزي وحتى الوحدات الحركية العصبية المفردة يمكنها استقبال الآلاف من المدخلات. نحن نعرف القليل عن وظيفة أغلب الخلايا العصبية في الجهاز العصبي المركزي. لكن الاتجاه الحالي نحو نمذجة فقط النظام العضلي الهيكلي (مع مخرج جهاز عصبي مركزي يكون مدخل نموذج) ربما لا يكون أفضل مدخل، دمج مستويات منخفضة من عناصر عصبية ربما



يؤثر على إستراتيجية حركة عصبية حركية بمستوى أعلى. الهدف من هذا الجزء هو اقتراح أشكال من العناصر العصبية البسيطة بدرجة كافية لتلائم إطار عملية نمذجة أكثر وبتفصيل كافى لمعرفة اسلوك العصبى العضلى الهيكلى الأساسى.

من منظور نظام التحكم فى التغذية المرتجعة (المرتدة) التقليدى، النظام العضلى الهيكلى يمثل محور التحكم شكل (١-١٠). هذا التركيب الأساسى يمتد فى شكل (١-١١) ليشمل عناصر معروفة لدوائر عصبية فى النخاع الشوكى. يوجد ممرات من جهاز عصبى مركزى أعلى تعدل معاملات التغذية المرتجعة، العلامة لنظام تحكم تكيفى. منخلين نحو بناء دائرة حركية عصبية منخفضة مع ديناميكيات العضلة يمكن أخذها: (١) هذه التى لا تفصل نشاط العضلة ورد الفعل، (٢) وهذه التى تعمل هكذا....

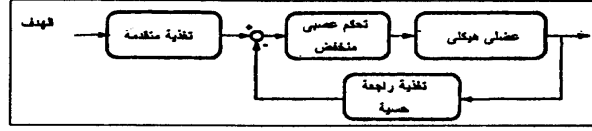
نمذجة جهاز حركى حسى عصبى طرفى أساسى :

Modeling basic peripheral neurosensorimotor apparatus

نمذجة جهاز عصبى حركى : Modeling motor neural apparatus

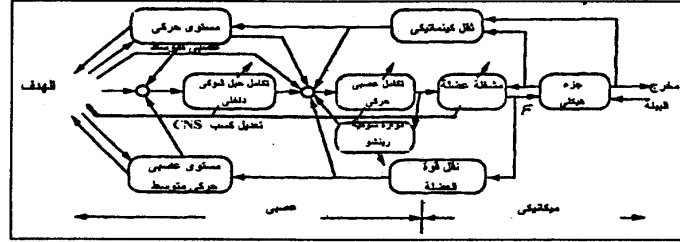
يوجد نوعين أساسيين من الخلايا العصبية الحركية هى ألفا وجاما. للتقريب الأول، ألفا وجاما تستقبل قيادة مركزية، تثير الألياف العضلية التى تكون تركيباً بالتوازي (شكل ١-١٢). كل عضلة تعطى عصبى بواسطة ألفا بتنوع فى الحجم (شكل ١-١٣)، مع أغلب العضلات تملك مدى من تركيب ألياف فردية، من وجهة نظر بيوميكانيكية يمكن أن تصنف إلى أنواع عديدة: سريعة التعب تغذى من ألفا كبيرة، وسريعة تقاوم التعب وبطيئة تصنف إلى أنواع عديدة تغذى بألفا أصغر. لأغلب العضلات يوجد عدد متساوى من ألفا سريعة وبطيئة (وينترز وستارك، ١٩٨٨م). الألفا الكبيرة تعتاد أن تكون آخر من يوظف بواسطة القائد من الجهاز العصبى المركزى للخلاية العصبية الحركية شكل (١-١٣)، تثير ألياف العضلة السريعة الانقباض وتصل لمعدل اشتغال قمتى منخفض. الجاما تعتاد أن تكون من حجم مساوى لألفا وغالباً

تتفصل وظيفياً إلى جاما ثابتة وديناميكية (لويب، ١٩٨٤م). هذا التباين في الأنواع جعل الباحثون يستخدموا تحكم منفصل لمعدل إعادة التوظيف والانشغال (هاتزي ١٩٨١م). آخرين فصلوا عضلة إلى عدة عناصر تركيبية متوازية (غالباً ثلاثة) مع خواص مختلفة (هيمامي، ١٩٨٥م). هذه الاختبارات بالرغم من حيويتها تضيف لتعقيد النموذج الكلي والعدد المطلوب من مدخلات التحكم. إستراتيجية بديلة تدمج كل من هذه الملاحظات وتفترض إعادة توظيف مرتب (ألياف بطيئة أولاً) تشمل مقياس لسرعة أقصى عنصر انقباض بدون حمل كوظيفة لتنشيط، شكل (١-٤).



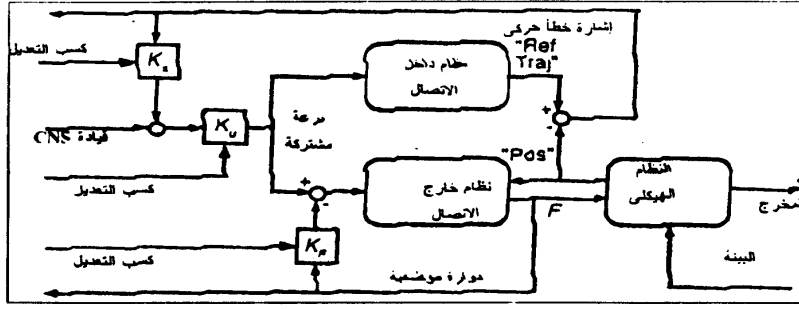
شكل (١-٤)

رسم تخطيطي للتحكم في التغذية الراجعة والتقدمية التقليدية لنظام عضلي هيكل عصبي



شكل (١-١١)

تركيب تغذية راجعة- أمامية التي تشمل توصيلات دوائر عصبية شوكية أساسية وتبرز للتنسيق التجمعي والتفرقي للمعلومات، عدة دورات تغذية مرتجعة، والجهاز العصبي المركزي يحصل على التعديل في مستويات متنوعة (خطوط أخف تعبر خلال المقاطع) كل الإشارات تمثل المتجهات وأغلبها يملك تأخير وقت دال بين المقاطع



شكل (١٢-١)

نموذج عصبي عضلي يحافظ على سمات النموذج المرجعي التقليدية لتركيب التحكم الكيفي مثل (لاندو ١٩٧٩م). هذا الترتيب التركيبي الذي يطبق على جاما الثابتة والصغير - للمتوسط ألفا، أحياناً يسمى رابطة ألفا- جاما أو تنشيط ألفا- جاما. المربعات (كل مع مدخلين) تمثل عناصر تزايدية للدوائر الصغيرة تمثل وصلات إضافية. إشارة المركز خارج الاتصال هي وظيفة لتفاعل ثنائي السبب بين ديناميكيات العضلة والنظام الهيكل

### ثالثاً : نمذجة الجهاز الحسي : Modeling sensory apparatus :

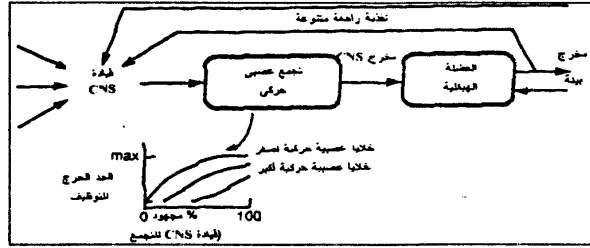
المحسّات الكبرى هي مغازل العضلات، أعضاء وتر جولي، زلوية المفصل ومحسّات تعب الاتصال، ومسحات اتصال بالبيئة (ضغط وحرارة). محسّات بيولوجية تكون حساسة لكل من المدى المطلق لمتغير معين ومعدل تغيره.

المغازل تقيس طول العضلة النسبي مقابل المطلق (شكل ١-٦) إلى (١٤-١). غالباً تظهر زيادة حساسية للإطالة المبدئية (أيزوكينتيك) داخل منطقة معينة، مع إطالة أكثر تحدد المنطقة الأكثر حساسية التي ربما تقرب أفضل بافتراض منتج علاقة تزايدية (هوك واريمر، ١٩٨١م) أو تشكل ديناميكيات درجة أولى غير خطية (هاسان ١٩٨٣م). المصادر لمثل هذا

السلوك لم تحل، لكن تعطى ترتيب سلاسل بين الجهاز الحسى والعنصر الانقباضى وعنصر السلاسل (شكل ١-١٤)، اظهر عنصر الانقباض ربما يساعد فى تفسير النقل من زيادة الحساسية إلى حساسية منخفضة بالتطوير ونقص هذا التأثير مع التقصير.

#### تأخير وقت النقل : Transmission time delays

السرعة التى فيها تنتقل المعلومات بواسطة انتشار نشط عبر الخلايا العصبية يتراوح من ٢ إلى ١٢٠ م/ثانية، السرعة تكون أعلى لمحور عصب أكبر. المسافات من الحبل الشوكى للعضلات تتراوح من ٥ إلى ١٠٠ سم لهذا كل من زمن النقل الحسى والحركى يقترب من أعشار من الميلي ثانية، الذى يكون دال بالنسبة إلى الديناميكيات المؤقتة للجهاز العضلى الهيكلى لعدة مهام. الضخ النشط عبر الأنسجة العضلية (يبدأ من الوصلة العضلية العصبية أو طبقاً للنهائية الحركية) فى ترتيب ١ إلى ٥ م/ث الذى لعضلات أطول ينتج تأثير وقت إضافى يكون دال ومحتمل انقباض عضلى غير موحد.



شكل (١-١٣)

خريطة عصبية حركية أساسية نسبة للنموذج العضلى العصبى، الخلايا العصبية الحركية لعضلة معينة توظف من صغير لكبير مع زيادة الإثارة العصبية بسبب أن العصب الأكبر له حد حرج أعلى (مبدأ الحجم). بالرغم من أنه يمثل هنا بزيادة فى الحجم وقيادة عصبية للتجمع للحركى، فى الواقع يعتاد وجود استمرار فى حجوم المحور وخواص تعب اللقطة العضلية زائد إمكانية عبور نظام الدوال الأولى لبعض أنواع المهام

### رد فعل عضلة أبسط لنماذج عصبية عضلية :

Simpler muscle reflex (motor servo) neuromuscular models

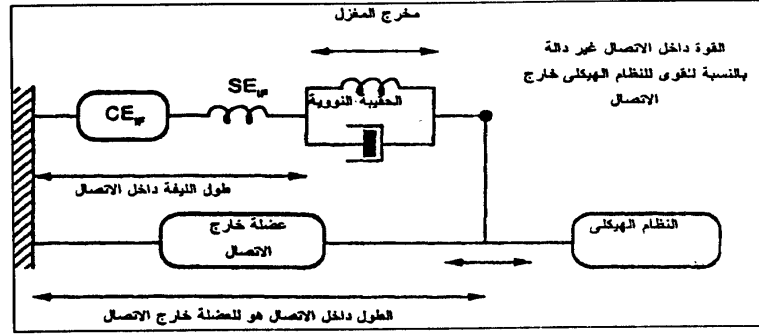
تجميع العضلة والدوائر العصبية الشوكية فى وحدة وظيفية مفردة تطورا ليمثلوا بيانات مدخل- مخرج من تجارب تشمل توابع فى الطول- الزاوية أو القوة- العزم. هذه النماذج يمكن النظر لها من داخل إطار العمل (هوك ورايمر، ١٩٨١م، هاسان، اينوكا وستيورات ١٩٨٥م). بيزى، أكورنيرو، شابل، هوجان (١٩٨٤م) أبرزوا تعديل (انحدار) التيبس. على العكس، فيلدمان (١٩٧٤م) اعتبر جهاز رد فعل- العضلة ليظهر سلوك شبيه بالزنبرك الذى فيه عشوائية الزنبرك أو الحد الحرج، يتنوع مع التغير فى القيادة المركزية بهذا تخلق مجموعة من تنوع منحنيات القوة- الطول، الذى يحدد حالة الوقفة. داخل هذا الإطار، رسم العضل الكهربى يعتبر إشارة داخلية تتنوع كتابع للتغير فى القيادة المركزية والتردد الخارجى (فيلدمان وآخرون، ١٩٩٠م)، من ثم، تذبذب رسم العضلة الكهربى متوقع. هذا يساعد فى تفسير جزئياً كيف أن القياس للتيبس غير المتنوع يعتبر أعلى من المتوقع من علاقات التوتر- الطول للعضلة وغالباً عنصر السلاسل.

هوك (١٩٧٩م) اقترح مصطلح السيرفو الحركى لوحداث رد فعل- عضلة وظيفية وأيضاً استخدم جملة تنظيم التيبس ليقترح أن الإثارة العصبية غير المنتظمة ربما تساعد فى طرق التوتر- الطول للعضلة غير منتظمة لتنتج تقريباً مستويات تيبس خطية لمجموعة حركية معينة، وكيف كسب التغذية المرتجعة من المغازل وأعضاء جولجى ربما تعدل فى توافق لمساعدة المجموعة فى مستويات تيبس ثابتة. هذا العمل تم مده إلى سلوك غير خطى بواسطة وو، هوك، يونج وميلر (١٩٩٠م) الذين لاحظوا أن النظام غير الخطى يبدو ثابت لتتنوع من ظروف الاتصال.

نماذج من عناصر عضلية وعصبية منفصلة :

Models with separate neural and muscular elements

باحثين قلائل حاولوا استخدام عناصر عضلية وعصبية فردية داخل نموذج عضلي عصبى كبير المقياس. لويب وليفين (١٩٩٠م) استخدموا مدخل مع أساس من نظام التحكم التقليدى، مصفوفات كسب تغذية مرتجعة معدلة خلال حركة القطة بمداخل مختلفة للاتصال التى تكون تحت تحكم مولد نمط مركزى يقود التجمع الحركى. مدخل بديل هو استخدام تحكمات قليلة لكل عضلة وتبرز إستراتيجية التغذية المقدمة السائدة التى تأخذ ميزة خواص العضلة غير الخطية وتعديل كسب التغذية المرتجعة.



شكل (١٤-١)

توضيح يظهر عملية النقل الحسية لمغزل العضلة وموضعه التركيبى داخل النظام العضلى الهيكلى

التحديات فى استخدام كل من التغذية المقدمة والمرتجعة :

The challenge of using both feed forward and feedback

نظرية التحكم بالتغذية المرتجعة تركز على مفهوم أن أفضل مدخل تحكم لشيء يجب أن يركز على أكبر معلومات، الذى يشمل معلومات تغذية

مرتجعة بخصوص حالات داخلية وأداء كلى. فى تصميم نظام التحكم بالتغذية المرتجعة، يوجد ثلاث اهتمامات كبرى: (١) الحفاظ على ثبات النظام، (٢) القدرة على التحكم وملاحظة حالات النظام، (٣) أداء ديناميكى مرغوب للنظام.

وجود تأخير زمن دوار فى حوالى ٤٠ ميلى ثانية يقلل الأمثلية لاستخدام تغذية مرتجعة بالوقت خلال الحركات الديناميكية. من وجهة نظر ثابتة، يصبح ضرورى أن كسب التغذية المرتجعة لا يجب أن يكون عالى. فى الواقع هذا هو أحد الأسباب لانتشار المحاكاة التى لها نماذج عضلية هيكلية منفصلة مع مدخل إثارة عصبية (مخرج جهاز عصبى مركزى). مع ذلك سجلات رسم العضل الكهربى تظهر إشارات تعديل تغذية مرتجعة حية بواسطة رد فعل إطالة وردود فعل شرطية. بهذا على الأقل، إستراتيجية التغذية المرتجعة تعدل بتحفيز بواسطة التغذية المرتجعة الحسية.

#### الافتراضات التالية والملاحظات أساسية لأى مدخل تغذية مقدمة :

- ١- أغلب المهام موجهة لهدف، مع سلوك يتم تعلمه من خبرة سابقة.
- ٢- الخارجية العصبية العضلية غير الخطية هى ذات غرض وكتابع مباشر قادرة على أداء ديناميكى رشيق خصوصاً عندما تتفاعل مع البيئة- خواص ميكانيكية للعضلة على الخصوص تعدل بقوة خلال المهام الحركية.
- ٣- مع تردد مفاجئ، خواص العضلة غير الخطية تمد تيبس متوقع حتى يستعيد دوائر عصبية شوكية (تعمل مع معلومات حسية) لتوازن مرغوب.

- ٤- كسب التغذية المرتجعة الكينماتيكية يعتاد أن يزيد مع مستوى تنشيط (لاكوانيتي، ليكانا، سويكتينج، ١٩٨٢م)، بسبب الخواص العضلية الميكانيكية غير الخطية، المحاكاة تظهر أن الحد الحرج الذي فيه مثل هذا التأخير للكسب في التغذية المرتجعة الكينماتيكية يبدأ في تسبب سلوك نظام غير ثابت يزيد خطياً مع التنشيط (وينترز، ١٩٨٥م).
- ٥- هذا التعديل لكسب التغذية المرتجعة عملية تزايدية (أي أن كان النظر لها على أنها إشارة مقدمة تعدل كسب التغذية المرتجعة أو إشارة تغذية مرتجعة تعدل إشارات مقدمة هي موضع وجهة نظر).
- ٦- سلوك التغذية المرتجعة أكثر تحفظاً عن السلوك المقدم وينظر له أفضل على أنه إشارات للتقدم.
- ٧- الاستخدام الأساسي للتغذية المرتجعة الحسية ربما يكون خاص بمهمة للتعلم خارج الخط بواسطة الشبكات العصبية.

#### نماذج عصبية وعملية أمثلة :

#### Neuromuscular models and the optimization process

نظرية الأمثلة هي وسيلة مفيدة لاكتشاف موجه للهدف (هوجان

ووينترز، ١٩٩٠م). يوجد ٤ مكونات لعملية الأمثلة، شكل (١-١٥).

- ١- نظام ديناميكي التحكم فيه.
  - ٢- معيار أداء مقياسي يحدد هدف الحركة.
  - ٣- التحكم الذي عمل على النظام.
  - ٤- اللوغاريتم الذي يحدد التحكم المناسب.
- الحلول الرقمية مطلوبة للحركات ثلاثية الأبعاد. بالرغم من التنوع في الطرق الرقمية المتوفرة، الكثير مطلوب لتحديد الحد العام (غالباً الأدنى) لمعيار الأداء داخل فراغ التحكم المتوفر. من هذا المنظور، ربما يوجد

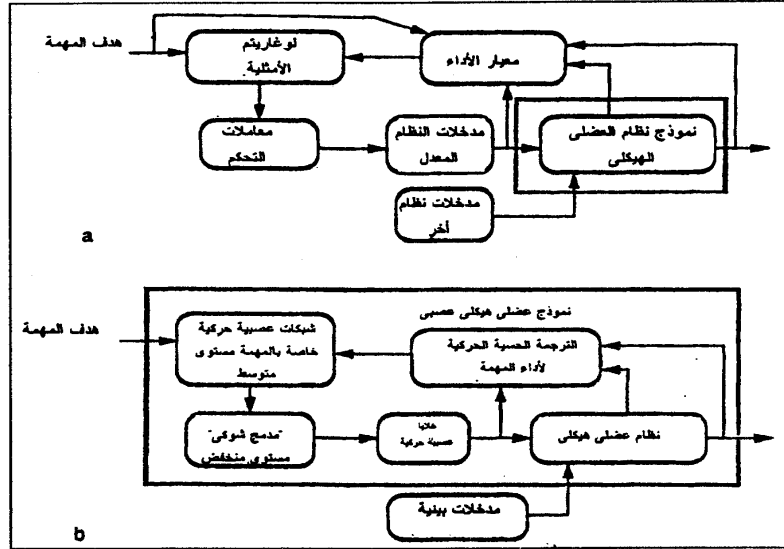


تناسب بين العملية التي بها اللوغاريتم يقترب من الحل والعمليات التي ربما تستخدم بواسطة النظام الحركي العصبي. وجدنا أن لوغاريتم الأمثلة الرقمي المشابه (في حالتنا التي تملك كل من سمات عشوائية ووسطية) (وينترز ١٩٩١م) غالباً تقترب من الحلول أكثر سرعة عندما نستخدم نماذج عضلية غير خطية بدلاً من الخطية (سيف-ناراجي ووينترز، ١٩٩٠م). هذا ربما يرجع إلى المعيار داخل فراغ التحكم، الشبكات العصبية تعتاد أن تعمل أفضل مع الأنظمة غير الخطية.

في شكل (١-١٥ب) لواريتم الأمثلة دمج في عملية النمذجة الحركية العصبية. هنا يقترح أنه خلال عملية التدريب، التركيبات الحركية العصبية متوسطة المستوى التي تشمل في تحديد إستراتيجيات تنفيذ الحركات المناسبة مفترضاً هدف، يمثل شكل متقدم للوغاريتم الأمثلة (وينترز، مولينس، ١٩٩٣م). بما أن الشبكة العصبية المنفصلة لا يجب أن تطلب عندما يوجد تغيرات في المقياس داخل صنف من المهمة (مثل مدى الحركة أو الاتجاه، السرعة المرغوبة أو وزن الأشياء، مثل الأكواب)، شبكة الأمثلة يمكن أن يفكر فيها على أنها عملية مدخل-مخرج تكون خريطة لهدف مهمة في إستراتيجية تنفيذ حركية عصبية تتفرد مع الوقت. هدف المهمة، مخصصاً بمعيار الأداء يفترض أن يأتي من تركيب عصبي أعلى، لاحظ أن المداخل مثل الشبكات العصبية، تحكم المجموعة وأنظمة الخبراء تبدأ في التقارب مع المراجع، والآن المداخل التفرعية تبدو تمثل فرص أفضل لتقريب هذه المستويات العالية المرتبطة مع التخطيط المنظم.

ويجب أن يوجد شبكة عامة ثانية على التوازي مع الشبكات العصبية منخفضة المستوى الخاصة بالهدف مشمولة في التوافق لكل الثبات العام التعديل (بين الأجزاء ومع البيئة). بالفعل، هذه الشبكة يجب أن تقود

الإشارات العصبية خلفاً نحو مستويات قاعدة لحوالي ١٠% من الأقصى. مع ذلك، تركز على أهداف العينة لشبكات عصبية خاصة بالهدف ومعلومات من المحسات يمكن أن تعمل في توازي مع إشارات في ثلاث طرق مرتبطة: (١) مستويات تنشيط مشترك تتنوع مؤقتاً، (٢) كسب تغذية مرتجعة متنوعة لو الإستراتيجية الفعلية لربط مثل هذا الكسب بمستويات التنشيط العضلي ليست مناسبة، (٣) صيانة عامة للثبات الكلي.



شكل (١-١٥)

وجهة نظر مفهومية للعلاقة بين نموذج عضلي هيكل عصبى وعمليات أمثلية. (أ) مشكلة أمثلية ديناميكية تقليدية للنظام العضلي الهيكل، مظهراً العلاقة التركيبية بين المكونات. (ب) مفهوم لوغاريتم الأمثلية يدمج داخل إطار النموذج العضلي الهيكل العصبى كشبكات عصبية خاصة بالمهمة ديناميكية التي تقوم نظام عضلي هيكل منخفض رشيق يستخدم معلومات حسية أساساً من تعديل خارج الخط لأداء مستقبلي

السمات المتقدمة للأنظمة العصبية التي يجب أن تعرف بواسطة  
لوغاريتمات أمثلية حالية تعمل معالجة متوازية ممتدة، قادرة على الاستنباط  
(مثل المقايسة لظروف جديدة أو تغيرات في الأهداف)، وأجهزة الحركة  
العصبية التي تضبط لأى مهمة مفردة لكن بدلاً من ذلك تمكن عدة مهام  
لتؤدى جيداً.

#### رابعاً : النمذجة لأنظمة أمثلية متقدمة وعكسية :

Modeling for inverse and forward optimization schemes

طرق الأمثلية تستخدم لسببين منفصلين فى بيوميكانيكا الحركة  
(زاجاك ووينترز، ١٩٩٠م): (١) لحل مشكلة العضلة (الحمل - المشاركة)،  
(٢) وتوليد حركة من منظور حركى عصبى، وللتمييز بينهما تستخدم  
التصنيفات الثابتة والديناميكية على التوالى (زاجاك وجوردون، ١٩٨٩م).  
ومع ذلك افترض (وينترز ١٩٩١م، وينترز فان دير هيلم، ١٩٩٣م) أمثلية  
معكوسة وتقدمية. أيضاً اقترح أن مصطلحات وظيفة التكلفة أو وظيفة الجراء  
تستخدم لمعيار أمثلية معكوسة مقياسية بينما معيار الأداء يمثل فى حالات  
أمثلية متقدمة.

#### أمثلية معكوسة : Inverse optimization

فى وينترز (١٩٩١م) خمس صنف للأمثلية المعكوسة تم تطويرها  
لحل مشكلة مشاركة الحمل :  
١- مداخل أمثلية (تقليل هيوريستيك معكوسة).  
٢- أمثلية ثابتة معكوسة.  
٣- أمثلية ديناميكية معكوسة.

٤- أمثلة متكاملة معكوسة.

٥- أمثلة ديناميكية معكوسة- متقدمة.

كل هذه المداخل تبدأ مع معرفة كينماتيكية مخصصة، وهي إما مفترضة أو مقاسة تجريبياً (شكل ١-١٦). عادة النموذج للعضلة ببساطة مولد قوة أو منحني قوة- تنشيط ثابت. مع ذلك، النماذج الديناميكية مثل الأشكال البسيطة لنموذج هيل، يمكن حلها عكسياً لتقدير إشارات التنشيط (هابي، ١٩٩٢م).

الأمثلة الثابتة المعكوسة تستخدم قواعد هيوريستيك تركز على الفسيولوجي وتجارب وخبرة لمشاركة الحمل بين الأنسجة. مثالياً، مجموعة من القواعد مفترض أن تكون تطبيقية لتتبع من المهام. الأمثلة الثابتة المعكوسة والأمثلة الديناميكية المعكوسة تحل مشاكل الأمثلة مع وظائف تكلفة في شكل

$$J_{cF} = \left[ \sum_{m=1}^{n_1} K_{1m} |j_{1m}^{pm}| \right] + \sum_{j=1}^{n_1} (k_j + |j_k^{pi}|) \quad (1)$$

حيث أن  $K_m$  هي نوع I لأجزاء معايير التكلفة للعضلة و  $J$  هي أجزاء معيار تكلفة مرتكز على المفصل،  $K$  هي أوزان نسبية (ثابت)، و (القيم) هي القوى ل  $J$  (غالباً مدى ٢ مع المدى نفسه له محتويات، دول، جونسون، شياقي، تاونسيند، ١٩٨٤م). دالة هذه التكلفة المقياسية (أو الأجزاء) هي دال فقط لقوى الأنسجة، التعب، وهكذا وليس الكينماتيكا. توجد غالباً  $J$  منفصل لكل مفصل. الاختلاف بين الأمثلة الثابتة والديناميكية المعكوسة هو أن الأمثلة الثابتة المعكوسة تشمل حل مشاكل فقط لوقف الاستعداد بينما الأمثلة الديناميكية المعكوسة تشمل حلاً جبرياً للمعادلات الديناميكية المعكوسة للحركة (مع مراكز، سرعات وتسارعات تقدر رقمياً) ومن ثم

معيار الدالة فى كل خطوة زمنية. الأمثلة الديناميكية المتكاملة المعكوسة تختلف عن الأمثلة الديناميكية المعكوسة فى أنها مفترضاً تاريخ زمن عزم المفصل المطلوب، إستراتيجية مشاركة الحمل تحدد بدالة التكلفة، (القيمة) هى دالة تاريخ زمن المهمة كلها.

$$J_{cF-I} = \int_{t_0}^{t_{\max}} J_{cF} dt \text{ or } \sum_{i=t_0}^{t_{\max}} J_{cFi} \quad (2)$$

حيث أن للحالة اليمنى (الرقمية) يوجد سلسلة من الخطوات الزمنية بين بدء المهمة واكمالها. معاملات التحكم التى تعدل لتقليل هذه الدالة يمكن أن تكون تحديد مسارات المتغير عبر الزمن (مثل، مسارات قوى العضلة). مدخل مفيد للدمج (نادراً ما يستخدم) الطول والسرعة - المعتمد لنماذج العضلة المعكوسة التى تسمح بتوقيع تنشيط عضلى، تناثر طاقة، تيبس وغيره، مثل هذه القياسات يمكن من ثم دمجها فى معيار الأمثلة المعكوسة. تقدير التيبس الميكانيكى خصوصاً يمد طرق مرتكزة على الأمثلة المعكوسة التى تشير إلى مشكلة ثبات الوقفة، ويمكنها توقع تأثيرات مثل انقباض مشترك مضاد (فان ديرهيلم، ووينترز، ١٩٩٤م). هذه الطريقة فقط فى اعتبار أن صنف الحل الذى يحوى ثبات ميكانيكى حديثاً يسمى أمثلة ثبات باقى معكوس. طرق معالجة رسم العضلة الكهربى - القوة (مثل هوف ١٩٩٠م)، يمكن أيضاً أن يوضع فى إطار الأمثلة المعكوسة. (القيمة) تفترض أن مسار الزمن المتوقع لكينماتيكا المفصل، العزوم الصافية ومن الممكن رسم عضلى كهربى يمكن اعتبارها مسارات إشارة مرجعية (للقيم) الذى لا يمد معرفة تامة - بهذا بعض التراخى مسموح به. معيار التكلفة الكلى من ثم يشكل أجزاء معيار إضافى يضع جزاء على أى انحراف من هذه المسارات المرجعية (وينترز، ١٩٩١م):

$$J_{cF-f} = J_{cF-l} + \sum_{u=1}^{n_l} k_u \left[ \int_{t_0}^{t_{\max}} |(y_u - r_{cF}(t) - Y_u(t)) P_u| dt \right] \quad (3)$$

للتأكد أن السلوك الكينماتيكي يبقى بجوار المسار المرجعي، الأوزان النسبية معاقبة أى انحراف فى قيم مخرج من قيم مرجعية يجب أن تكون عالية ولقوة يجب أن تكون على الأقل ٢ (لاحظ التشابه لمدخل متوسط المربعات)، كلما على K للفرد كلما زاد الثقة فى الإشارة المعطاة. لو فرد من ثم وضع افتراض منطقى أن تغيرات مزدوجة ديناميكية غير دالة، هذا المدخل له أمثلية لتوقع قوة عضلية أنعم ومسارات تنشيط وكفاية حسابية نسبية- بديلة لمداخل الديناميكا المتقدمة التقليدية مثل سيف-نارجى ووينترز (١٩٩٠م)، ياماجوشى (١٩٩٠م)، الذى أيضاً تستخدم نموذج مرجعى كينماتيكي.

يوجد ثلاث أسباب للاستخدام المتسع للطرق الديناميكية المعكوسة: (١) مثالياً، القوى لمواقع الاتصال البعيد بين البيئة والجسم تقاس، بهذه المعادلات التى يمكن حلها فى كفاية، فى تتابع البعيد- للقريب، (٢) مقارنة بطرق الأمثلية المقدمة (التي توصف) فهي كافية (بين، شافين، شولتز، ١٩٨٨م)، (٣) تمد المعلومات المطلوبة بخصوص قوة العضلية وحمل اتصال المفصل (مثل سيريج وأرفيكار، ١٩٨٩م). مع ذلك، كما نوقش فى مكان آخر (زاجاك وجوردون، ١٩٨٩م، زاجاك ووينترز، ١٩٩٠م)، هذه الطرق تمد نظرة محدودة إلى الإستراتيجية الحركية العصبية التى تشملها.

#### أمثلية تقدمية : Forward Optimization

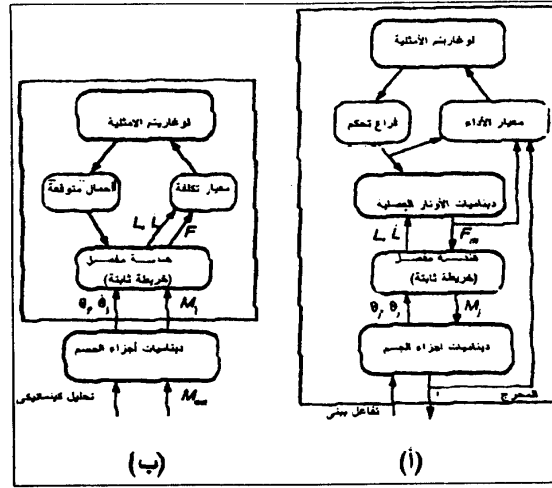
يوجد صنفين للأمثلية التقدمية: أمثلية ثابتة تقدمية ثابتة وأمثلية ديناميكية تقدمية، تختلف الأمثلية التقدمية الثابتة عن الأمثلية الثابتة المعكوسة

فى أن التوليف الموضعى الكينماتيكى لا يفترض أولوية. بهذا، معيار الأداء يأخذ الشمولية (وينترز، ١٩٩١م).

$$J_{pc-S} = J_{cF_-} + K_k J_k \quad (4)$$

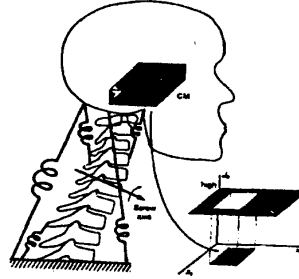
حيث أن (القيمة) ترتكز كينماتيكاً بجزء معيار مرتبط بالمهمة. فى الأمثلة الثابتة المتقدمة، قوى العضلة تحدد كمنتج جانبي لعملية أمثلة مرتكزة على المهمة أكبر مشابه لما يمكن للجهاز العصبى المركزى حله فى اختيار وقفة معينة من بدائل (شكل ١-٦ أب). هذا المدخل له تطبيقات دالة للوقفة ثلاثية الأبعاد والحركة، خصوصاً لأنظمة معقدة كينماتيكاً مثل الجذع، الرقبة، الكتف، الذى يدعم كتلة دالة من الجسم ونقل الحمل. أيضاً له مضامين نظرية بخصوص تحكم الوقفة وتنظيم التيبس (هوجان، ١٩٩٠م)، ومحتويات تطبيقات فى التأهيل والعظام بحث مهام عديدة تكون ثابتة (أندرسون ووينترز، ١٩٩٠م).

لتساعد فى توضيح تطبيقات محتملة، اعتبر نظام الرقبة- الرأس ذو المقياس الكبير فى شكل (١-١٧). مفترضاً أن بعض مراكز الرأس والتوجه مرغوب، دعنا نطور مدخلات مختلفة لوضع الرقبة. مدخل يصف وقفة مرجعية ربما يرتكز على بيانات أشعة. فى هذه الحالة، نحن نجمع أجزاء معيار الذى يعاقب الانحراف من التوليف المثالى والذى يعاقب النشاط العضلى مثل التعب العضلى (أعنى القوة لكل وحدة من المساحة المقطعية الفسيولوجية) فقط يعتبر حلول ثابتة. مدخل آخر يخصص فقط مدى توجه مقبول لأغلب الجزء البعيد وهو الرأس. تخصيص مثل هذا المدى يمكن أن يتم بواسطة استخدام عناصر شرطية (حدود حادة جداً للقيمة كما فى شكل ١-١٧) أو يعاقب أى انحراف موضع لقدرة عالية جداً. هذا الجزء للمعيار المرتكز على المهمة مع كل من قوى العضلة وتوليف الرقبة يحدد كمنتج نهائى لحل مشكلة الأمثلة.



شكل (١-١٦)

تدفق معلومات مثالية لمداخل أمثلية متنوعة. (أ) طرق معكوسة، تظهر كيف لوغاريتم الأمثل لا يؤثر على ديناميكيات أجزاء الجسم، (ب) طرق متقدمة تبرز تفاعل بين عناصر ومعايير أداء وهي دالة المدخل، الحالة، المخرج وتاريخ الزمن كله للمهمة



شكل (١-١٧)

نظرة مفهومية لنظم الرأس- الرقبة أينما توجه الرأس بالهدف يخصص بأجزاء معيار كينماتيكية فيها يوجد جزء عالي للانحراف خارج المدى المقبول للنقطة النهائية (الرأس). الكينماتيكا للرقبة لم يسبق تخصيصه. فقط عدة عضلات تشبه الزنبرك تظهر



مدخل ثالث مرة أخرى يستخدم الحد الحاد الذى يظهر فى شكل (١-١٧)، الآن يجمع مع جزء معيار الذى يشمل ايجاد الطاقة المثلى للنظام الذى يكون أيضاً الأدنى. هذا هو اختيار خاص بسبب أن الحل لمشكلة الأمثلية هو أيضاً حل لمشكلة الميكانيكا، بسبب أن PE يزيد لأى تردد كينماتيكي من موضع التوازن. (للثبات، خصوصاً لأى تردد صغير فى فراغ PE الكينماتيكي، فقد الطاقة المثلى نتيجة هبوط الكتلة يجب أن يعمل له أكثر بزيادة فى الطاقة المطاطية الكلية المخزنة فى العضلات وبدرجة أقل فى الأنسجة السليبية). بسبب أن فراغ PE الكينماتيكي يغير الشكل نتيجة زنبركات مثل العضلة متحكم فيها (الشكل ١-١٦، ١-١٧)، يوجد خريطة معقدة بين فراغ DOF للمعيار الكينماتيكي، وفراغ التحكم الكينماتيكي، بتخصيص واضح (للقيمة) التى فيها جزء معيار (القيمة) غير مستمر، من الممكن حل كل من مشكلة الأمثلية والميكانيكا الخاصة بالمهمة.

رابعاً، حلول  $FO_3$  يمكن أن تعتمد على دمج عدة توليفات وقفة. خلال مهام تتبع الرأس رأسياً وأفقياً فى زيادة ١٠ درجات فى أشخاص أصحاء، محور الدوران للرأس بالنسبة للجذع يذهب عبر مناطق محددة فى الرقبة (وينترز وبيليس ١٩٩٠م، وينترز وآخرون ١٩٩٣م). باستخدام مثل هذا المحور كمرجع، عبر جزء معيار جزاء مثل تعب العضلة، هذا المدخل يصنع توقعات بخصوص توليفات الوقفة للرقبة (دارو، ١٩٨٩م).

$FO_4$  غالباً يسمى أمثلية ديناميكية معيار الأداء يخصص هدف المهمة الحركية. لوغاريتم الأمثلية من ثم يحدد قيم لمعاملات التحكم تقود النموذج الديناميكي إلى حل أمثل. بالمثل، معاملات التحكم مثلت مداخلات تحكم عصبية لدوارة مفتوحة إلى نموذج ديناميكي لنظام عضلى هيكلى (ليهمان وستارك ١٩٧٩م، زاجاك ووينترز ١٩٩٠م). مع ذلك، النموذج

الديناميكي يمكن أن يشمل دوائر عصبية ومعاملات تحكم وكسب تغذية راجعة (لويب وليفين ١٩٩٠م، سيف-ناراجي، ١٩٨٩م، وينترز ومولينس ١٩٩٣م).

معيار أداء عام يمكن صياغته لمشاكل  $FO_d$  التي لها الشكل (زاجاك ووينترز، ١٩٩٠م).

$$J_{pc_d} = J_{pc_k} + J_{pc_{nm}} + J_{pc_{bj}} \quad (5)$$

حيث أن الثلاث مصطلحات على اليمين تمثل جزء معيار كينماتيكي خاص بالمهمة، جزاءات عصبية عضلية متنوعة (تعب العضلة، القوة، قياس الطاقة، الجهد العصبي، الخ) وأي جزاء عظم-مفصل، على التوالي. كل ربما يكون معقد تماماً وربما يشمل مصطلحات تعتمد على ناتج المهمة (مل زمن الوصول للهدف أو أقصى حمل للمفصل) ومصطلحات تدمج مع الوقت خلال المهمة (مثل تعب العضلة).

طريقة  $FO_d$  ذكية في عدة طرق توازي المشكلة التي يجب أن تحل في الجهاز العصبي المركزي خلال حركة إرادية موجهة بهدف. مع ذلك، تكلفة حسابية مطلوبة خصوصاً للحركات ثلاثية الأبعاد التي تشمل عدة وصلات. بهذا، في عدة حالات، النماذج يجب أن تبسط بينما طاقة الحساب تزيد، هذه الطرق تستخدم أكثر للأنظمة العضلية الهيكلية العصبية الواقعية (ياماجوشي، ١٩٩٠م).

كيف يؤثر تركيب النموذج العضلي العصبي على أسئلة البحث :

How neuromuscular model structure influences research questions

نقترح أن عملية تمثيل النظام العضلي العصبي يجب أن يتأثر بأسئلة البحث التي تطرح. مع ذلك، العكس أيضاً صحيح، نماذج معقدة يمكن أن

تكون معيبة بسبب أن الكثير من المعلومات يمكن أن تسبب فقد المبادئ الأساسية أو المصادر للسلوك الأساسي. مع ذلك، استخدام نماذج عصبية عضلية مبسطة يمكن أن تسبب مشاكل أسوأ، (نظرة خطأ نتيجة نماذج ناقصة) أو معلومات تجعل الباحث يركز على ممر بعيد يؤدي إلى نقص فهمه.

كمثال، في بعض الحالات مسارات جزء الطرف التي تحدث كنتيجة لتردد خارجي مثالي من الدرجة الثانية الخطية تقرب منطقياً بنماذج الزنبرك والقصور الذاتي. كما تتغير المدخلات الخارجية (أو المعلومات لشخص)، مجموعة جديدة من المعاملات مطلوبة لتناسب البيانات الجديدة ومثل هذه الدراسات تعتاد أن تصبح تمارين منحني توافق. هذه البؤرة المبكرة على مثل هذه الجهود للأمتة ربما تؤخر فهمنا التالي لدور هام لبعض خواص العضلات في للتأثيرات على إستراتيجيات حركية عصبية التي تقع في العمل بين الحركة الإرادية والتفاعل الديناميكي مع البيئة والتعديل (وينترز وستارك، ١٩٨٧م).

مثال آخر هو الاستخدام المنتشر للتحليل الديناميكي- الثابت المعكوس فقط لتقدير قوى العضلة لكن أيضاً لعمل تطبيقات بخصوص إستراتيجية الحركة. اعتب التضبيب ثلاثي الأبعاد المعقد الثابت في توازن الوقفة المؤدى خلال الوقوف أو الجلوس، الذي يمثل ربما أكبر صنف من الحركات اليومية (هوجان ووينترز، ١٩٩٠م). طريقة IO<sub>s</sub> تبدأ مع توليف كينماتيكي مفترض ورسومات جسم حرة مناسبة. في الواقع، مع ذلك، الأنظمة ثلاثية الأبعاد مع كثرة كينماتيكية تضع مختلفة ممكنة ترضى أغراض المهمة الخاصة. التحدي التنظيمي للجهاز العصبي المركزي هو الاختيار بين هذه الإستراتيجيات الممكنة بينما نحافظ على ثبات الوقفة خلال النظام كله (وليس فقط لجسم

حر). كمثال، الانقباض المشترك لعضلات المتضادة لا يتوقع طبيعياً من نظام  $IO_s$  عادة يعتبر إستراتيجية تحت المثلى. عند استخدام  $FO_s$  الانقباض المشترك ربما يكون ضروري لأسباب ترتبط مع ثبات الوقفة. فى الواقع، السداسى للمجال لاتجاه مقصود للحركة ربما يساعد فى ارشاد الحركة عبر ممر. كملخص، الطرق المعكوسة توثق بكفاءة التغيرات فى حمل الأنسجة لكن يمد نظرة محدودة بخصوص كيف هذه الظروف تسبب تغير فى إستراتيجية المهمة. التنوع الكينماتيكي وثبات الوقفة لا تعنون عن طريق إطار نمذجة  $IO_s$ . مع ذلك كما نرى فى وينترز وفان دير هيلم (١٩٩٤م) من الممكن لحالة لاثبات أن تعتبر فقط حلول الثبات عند حل مشاكل  $IO_s$ .

#### إستراتيجية مقترحة لاختيار نموذج عضلى عصبى :

A suggested strategy for choosing a neuromuscular model

هذا التشوش للمؤلفين يدفع لمنطقة النموذج المعقد عند استخدام تحليل حساس لتقليل النموذج (وينترز ١٩٩٠م، وينترز وستارك ١٩٨٥م). تحليل الحساسية يسمح للفرد بتحديد أى معاملات يكون سلوك النموذج لها غير حساس (ليهمان وستارك، ١٩٨٢م). هذا يسمح لخواص المثال الموصوف يمثل هذه المعاملات أن تزال أو تبسط بنقطة (شكل ١-١٨).

#### تطبيقات على الحركات الواقعية ثلاثية الأبعاد :

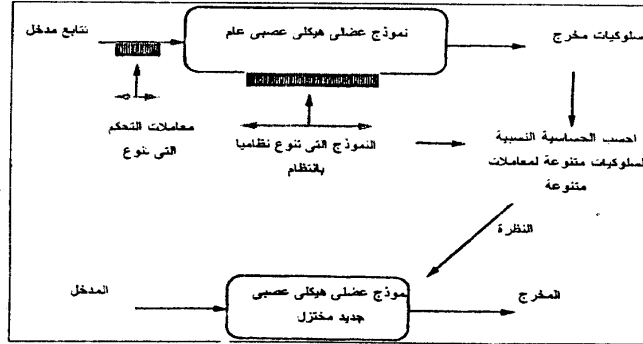
Applications to realistic movements

الإستراتيجيات الحركية العصبية التى تضم حركات الإنسان تتنوع من نوع المهمة. هذا بدوره يؤثر على المفاهيم للأمثلة العضلية العصبية. الأمثلة التالية لصنوف مختلفة من مهام حركة الإنسان توضح إستراتيجيات النمذجة المختلفة.

توافق العين والرأس فى حركات التتبع فى المجال :

Eye-head coordination in spatial tracking movements

السمة الخاصة لهذه الحركات هى نقص القوة المطبقة الخارجية. تبعاً لذلك، الحركات تتوقع نسبياً وحركات العين على الخصوص متنوعة جداً. لحركات العين التتبعية السريعة، نموذج العضلات لهيل مناسب (كلارك وستارك ١٩٧٥م، ليهمان وستارك ١٩٧٩م). للحركات الأبطأ البسيطة نماذج خطية أحادية السبب يمكن أن تستخدم، تحليل الحساسية يظهر خطية لعنصر السلاسل وعنصر الانقباض التوتر- الطول- وعناصر PF أكثر تضيقاً هنا فى أى منطقة أخرى للجسم، عنصر الانقباض القوة- السرعة يمكن أن تكون خطية مع تاييد أعلى للزوجة عنصر الانقباض (ليهمان وستارك ١٩٧٩م، وينترز ١٩٨٥م).



شكل (١-١٨)

نظرة مفهومية إستراتيجية مقترحة للحصول على نماذج عضلية عصبية مناسبة، مهمة مقترضة، ابدأ باستخدام نموذج أكثر واقعية، وافحص الحساسية بحرص للسلوكيات الإستراتيجية لمعاملات النموذج، لنفس المهمة لو النظام غير حساس لبعض معاملات النماذج، النموذج الذى يقلل مرتكزاً على هذه المعرفة يمكن من ثم استخدامه بثقة لهذه المهمة

بالرغم من أن عضلات تدوير الرأس المضادة المجمعة يمكن أن تستخدم لحركات التتبع السريعة (زانجيمستر وستارك، ١٩٨٢)، مثل هذه النماذج تفشل في الحصول على كثير من التراكيب الميكانيكية مع حوالي ٤٠ زوج من العضلات، أغلبها تعبر عدة مفاصل. هذا التركيب يدعم الرأس التي لها كتلة كبيرة (شكل ١-١٧). باستخدام نموذج ثابت أمامي لنظام الرأس-الرقبة الذي يتكون من ثلاث مفاصل (صدرية ٥-٤، وعنقية ٧-٦ وعنقية ٣-١) و ١٢ عضلة فسنددهش أن نجد بعض توجهات الرأس-شاملاً الوضع الرأسي المستقيم-غير ثابت ميكانيكياً (ولا يمكن الوصول إليه) حتى يكون انحدار علاقة القوة-الطول لعنصر الانقباض فوق المدى العامل للتابع (داروا ١٩٨٩م). أيضاً وجدنا تجريبياً أن محور الدوران ثلاثي الأبعاد للرأس خلال حركات التتبع الرأسية، العرضية والقطرية تتنوع في الاتجاه والموضع خلال مناطق الرقبة (مثل وينترز وبيليس ١٩٩٠م). بالرغم من أن نموذج كمبيوتر ١٢ عضلة (دارو ١٩٨٩م، وينترز وفان دير هيلم ١٩٩٤م) والنماذج الأنثروبومترية (ليانج ١٩٨٩م) تزيد مثل هذه الاتجاهات، نجد أن المدى الكامل لحركات الرأس ثلاثية الأبعاد في كل الاتجاهات تتطلب عدد ملحوظ من العضلات وإستراتيجيات حركية عصبية ثابتة معقدة لم تفهم بعد.

يوضح نشاط الرسم الكهربى للرقبة للحركات العرضية السريعة تنشيط مشترك في العضلات التي لا تبدو سطحياً ضرورياً لحركات عرضية. هذا يقرر أن الضخ يزيد في الاتجاه الرأسى ليساعد فى إرشاد الحركات العرضية. هذه الملاحظات تعنى أن نماذج الهيكل العضلى التقدمى وليس المعكوس الثابت والديناميكى لنظام الرقبة والرأس هو الجيد.

ماذا عن الجهاز العصبى؟ عضلات الرقبة تمتد جيداً بالمغازل العضلية، هل تستخدم هى فقط فى تحكم حركة الرأس أو تساعد فى تنظيم

حاجات التحكم فى الوقفة الأكبر للجسم؟ مفترضاً المراجع الفسيولوجية العصبية على أنظمة العين والأذن الداخلية (بيترسون وريشموند، ١٩٨٨م) هذا يبدو نظام مثالى لاستكشاف نماذج عضلية عصبية تشمل شبكات عصبية.

#### قواعد لعضلات الذراع- الجذع فى حركات الذراع :

##### Roles for arm-torso musculature in arm movements

من وجهة نظر بيولوجية، السمة المميزة هى التنوع فى المهام باستخدام الذراع. ربما هذا التنوع يفسر لماذا العديد من التناقض فى مجال حركة الإنسان يشمل إستراتيجيات عصبية حركية لحركات الذراع (هوجان ووينترز، ١٩٩٠م). أبحاث الطرف العلوى تقع فى ثلاث تصنيفات: (١) بسيط موجه للهدف حركات تتبعية سريعة (غالباً نقطة لنقطة) (جوتليب، كوركوس وأجراوال، ١٩٨٩م)، (٢) حركات أبطأ أكثر طبيعية تبحث إستراتيجيات الوقفة، التوازن، الحركة، (٣) البحث لنشاطات تطبيقية لمهام حياة يومية عادة داخل صناعة التأهيل.

لحركات التتبع السريعة، نموذج عضلى هيل غير الخطى عادة مطلوب، خصوصاً لمحاكاة سلوك العضلات المتضادة. بسبب أنه لا يوجد قوة مطبقة خارجياً، عنصر السلاسل غالباً يكون خطى (أو يزال). دور العضلات التى تعبر عدة مفاصل يتطلب بحث أكثر، عدد من النظريات ترتبط باستخدامات هذه العضلات تم افتراضها (جيلين، اينجين شينو، تاكس وثيروين، ١٩٩٠م، هوجان ١٩٨٤م) التى تحتاج أن تختبر لتنوع من المهام وللعضلات مع خواص عضلة تشبه هيل.

لاختبار ومد نظريات الوقفة- التوازن، نماذج غير خطية أو ثنائية الخطوط التى تشمل كل من المكونات العصبية والعضلية موصى بها. متحكمى الجهاز العصبى المركزى لمتل هذه البرامج تتطلب قيادة عصبية

لكل من توليد الحركة الأساسية وتعديل الثبات النسبة (مثل التحكم في التنشيط  
متترك وتعديل كسب التغذية المرتجعة). الشبكات العصبية ربما تولد مثل  
هذه الإشارات للتحكم (كاتايااما وكاواتو، ١٩٩٣م). دينير فان دير جون،  
كولينا إيركيلينس وجونكر (١٩٩٠م) حددوا مداخل فيها الشبكات العصبية  
(١) تخلق تمثيلات داخلية لحركات، (٢) تعلم استجابات رد فعل مناسبة، (٣)  
توليد تتابع لأنماط التنشيط.

الكتف والجذع غالباً يهملوا في نموذج الطرف العلوى، بالرغم من  
أن عضلات الكتف والجذع تنشط خلال حركات الذراع الإرادية. فى الواقع،  
حركات الذراع السريعة خلال الوقوف، عضلات الوقوف خلال الجذع  
والطرف السفلى تنشط قبل الذراع، فى توقع الازدواج الميكانيكى أن الذى  
تسببه هذه الحركات (بويسيت وزاتارا ١٩٩٠م)، خادماً فى تثبيت التراكيب  
القريبة أو خلق قيادة عضلية مناسبة. التوافق بين الطرف العلوى والعضلات  
القريبة عن طريق حرية الكتف من الدرجة الخامسة تمثل أحد الأنظمة  
العصبية الميكانيكية المفهومة للجسم. أيضاً تمت نافذة مثلى لاستكشاف كثير  
من الأسئلة فى التنظيم الحركى العصبى والتحكم مثل العلاقات بين الوقفة  
والحركة، الحفاظ على حفظ الثبات والديناميكية، والتوافق بين مكونات الجسم  
خلال تطور الحركات. كل من طرق IO و FO الآن تطبق بنشاط باستخدام  
نماذج حالة من الفن للكتف، لدراسة مثل هذه العلاقات خلال مهام متنوعة  
الهدف (فان دير هيلم، ١٩٩١م، فان دير هيلم ووينترز ١٩٩٤م، وينترز  
وفان دير هيلم، ١٩٩٣م).



### الحفاظ النشط لثبات الوقفة خلال الحركات :

#### Active maintenance of biped postural stability during movements

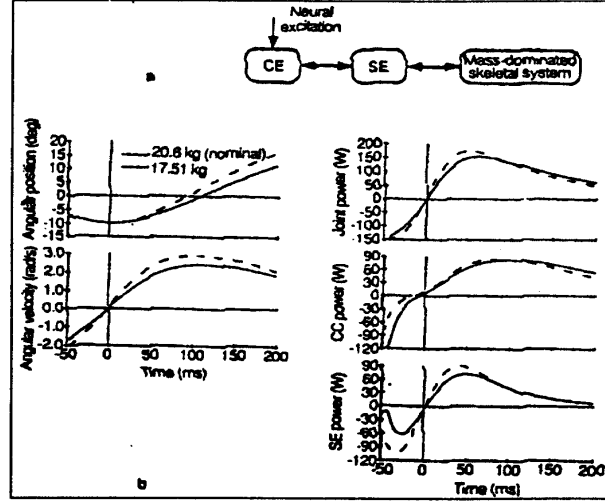
فى الماضى، طرق معكوسة تم استخدامها لتحليل هذه النشاطات. مع ذلك، الطرق الأمامية، كل من الثابتة والديناميكية- حيوية لتطور فهم أعمق وربما كشف لمبادئ تنظيمية جيدة، كمثال، بيرجمارك (١٩٨٧م) وكريسكو وبانجاي (١٩٩٠م) حديثاً أظهروا استخدام مناقشات الطائفة أن متعددى التمثيل هي الأهم للحفاظ على ثبات الطاقة عن مفردى التمثيل.

فى تجارب الجسم كله، العضلات خلال الجسم يمكنها الانقباض فى مساعدة حركة الذراع (بويسين وزاتارا، ١٩٩٠م) أو نتيجة تردد (مثل كرينر وألوم، ١٩٩٠م)، مفترضاً تعقد الازدواج الديناميكي للهيكل، خواص العضلة، الدائرة العصبية النسبية، ٣ تحديات محتملة فى الحفاظ على ثبات الوقفة ثلاثية الأبعاد لمقياس كبير، أنظمة البندول المقلوب خلال أداء مهام حركة متنوعة (بيرجمارك، ١٩٨٧م). مع الدراسات التجريبية محاكاة  $FO_h$  و  $FO_s$  يمد فرصة كبيرة للمساعدة فى تحديد مبادئ أساسية حركية عصبية.

### الحركة والدفع : Locomotion and propulsion

هذه الصنوف من الحركات الدفعية تختلف من ثبات الوقفة فى عدة طرق (هوف ١٩٩٠م، اينجين شينو، بوبرت، سويست ١٩٩٠م، مونجيول ووينترز ١٩٩٠م): (١) أهداف المهمة العامة أسهل فى التحديد، (٢) الحركات تعتاد أن تكون أكثر ظهوراً وسهولة البحث، (٣) الكتلة الكبيرة (أعنى الجسم)، يتحرك، وبهذا حمل المفصل وقوى العضلة عالية، (٤) ديناميكيات بين الأجزاء لها أهمية كبرى، (٥) الحركة تأخذ فرصة تغير العزم فى النظام وأى عدم ثبات مؤقت (مثل عندما أحد أو القدمين معاً يرتفعا

عن الأرض)، (٦) مواضيع مثل استخدام طاقة عنصر السلاسل ونقل قدرة النظام الهيكلي العضلي لها أهمية نسبية كبرى (كافاجنا وكانيكو، ١٩٧٧م). لهذه المهام، تركيب عنصر الانقباض- عنصر السلاسل لنموذج هيل ضرورى. بالإضافة، بسبب أن أغلب العضلات تذهب فى فترات تنشيط عالية ومنخفض وكل من التقصير والتطويل، النماذج العضلية الوترية غير الخطية ضرورية لتمثل سلوك أساسى. يوجد تفاعل ثنائى السبب بين عنصر الانقباض، عنصر السلاسل وكتلة- قصور ذاتى النظام خلال مثل هذه المهام (شكل ١-١٩).



شكل (١-١٩)

تطور المفاهيم فيما يتعلق بأهمية التنظيم التركيبى لـ SE-CE خلال الهدف الديناميكي المباشر للحركات

## المخلص : Summary

يتناول هذا الفصل مفاهيم وقواعد النمذجة العصبية العضلية، إلى جانب التركيز على تلك المدخل للنمذجة التي تعطي نظرة إلى الإستراتيجيات العصبية الحركية التي تشمل حركة جسم الإنسان، استخدامها الأساسي. إلى جانب بحث الحركة ثلاثية الأبعاد، ومشاكل ثلاثية الأبعاد ودراسة التقدم فى طرق نمذجة العضلة والجهاز العضلى الهيكلى، والشبكات العصبية وطرق الأمثلية، وحساب القوة والسرعة. بالإضافة إلى قواعد النمذجة العصبية العضلية ورؤية مدخل- ومخرج نمذجة العضلة، وشرح نمذجة الجهاز الحسى، وذكر أمثلة لنمذجة الأنظمة الأمثلية متقدمة وعكسية.

## اختبر معلوماتك :

- ١- أنكر قواعد النمذجة العصبية الفعلية؟
- ٢- تحدث عن الاحتمالات التركيبية لنماذج عضلية عصبية متقدمة؟
- ٣- اشرح كيف يمكن نمذجة الجهاز الحسى؟
- ٤- أنكر الفرق بين الأمثلة التقدمية الثابتة والأمثلة التقدمية الديناميكية؟

## المراجع

- 1- Alexander, R.M., & Ker, R.F. (1990). The architecture of leg muscles. In J.M. Winters & S.L-Y. Woo (Eds.), Multiple muscle systems (pp. 568-577). New York: Springer-Verlag.
- 2- Andersson, G.B.J., & Winters, J.M. (1990). Role of muscle in postural tasks: Spinal loading and postural stability. In J.M. Winters & S.L-Y. Woo (Eds.), Multiple muscle systems (pp. 377-395). New York: Springer-Verlag.
- 3- Bean, J.C., Chaffin, D.B., & Schultz, A.B. (1988). Biomechanical model calculation of muscle contraction forces: A double linear programming method. *Journal of Biomechanics*, 21, 59-66.
- 4- Bergmark, A. (1987). Mechanical stability of the human lumbar spine. Doctoral dissertation, Lund Institute of Technology, Lund, Sweden.
- 5- Bizzi, E., Accornero, N., Chappie, W., & Hogan, N. (1984). Posture control and trajectory formation during arm movement. *Journal of Neurosciences*, 4, 2738-2744.
- 6- Bouisset, S., & Zattara, M. (1990). Segmental movement as a perturbation to balance? Facts and concepts. In J.M. Winters & S.L-Y. Woo (Eds.), Multiple muscle systems (pp. 498-506). New York: Springer-Verlag.
- 7- Cavagna, G.A., & Kaneko, M. (1977). Mechanical work and efficiency in level walking and running. *Journal of Physiology*, 268, 467-481.
- 8- Chapman, A.E. (1985). The mechanical properties of human muscle. *Exercise and Sport Sciences Reviews*, 13, 443-501.

- 9- Dark, M.R., & Stark, L. (1975). Time optimal behavior of human saccadic eye movements. *IEEE Transactions on Automatic Control*, AC-20, 255-272.
- 10-Crisco, J.J., & Panjabi, M. (1990). Postural biomechanical stability and gross muscle architecture in the spine. In J.M. Winters & S.L-Y. Woo (Eds.), *Multiple muscle systems* (pp. 438-450). New York: Springer-Verlag.
- 11-Daru, K.M. (1989). Computer simulation and static analysis of the human head, neck, and upper torso. Master's thesis, Arizona State University, Tempe.
- 12-Denier van der Gon, J.J., Coolen, A.C.C., Erkelens, C.J., & Jonker, H.J.J. (1990). Self-organizing neural mechanisms possibly responsible for movement coordination. In J.M. Winters & S.E-Y. Woo (Eds.), *Multiple muscle systems* (pp. 335-342). New York: Springer-Verlag.
- 13-Dul, J., Johnson, G.E., Shiavi, R., & Townsend, M.A. (1984). Muscular synergism II: A minimum-fatigue criterion for load-sharing between synergistic muscles. *Journal of Biomechanics*, 9, 674-684.
- 14-Edman, K.A.P., Elzinga, G., & Noble, M.I.M. (1978). Enhancement of mechanical performance by stretch during tetanic contractions of vertebrate skeletal muscle fibres. *Journal of Physiology*, 280, 139-155.
- 15-Ettema, G.J.C., & Huijing, P.A. (1990). Architecture and elastic properties of the series elastic element of muscle-tendon complex. In J.M. Winters & S.L-Y. Woo (Eds.), *Multiple muscle systems* (pp. 57-68). New York: Springer-Verlag.
- 16-Feldman, A.G. (1974). Control of length of a muscle. *Biophysics*, 19, 776-771.

- 17-Feldman, A.G., Adamovich. S.V., Ostry, D.J., & Flanagan, J.R. (1990). The origin of electromyograms—Explanations based on the equilibrium point hypothesis. In J.M. Winters & S.L-Y. Woo (Eds.), Multiple muscle systems (pp. 195-213). New York: Springer-Verlag.
- 18-Gielen, S., Ingen Schenau, G.-J. van. Tax, T., & Theeuwes, M. (1990). The activation of mono- and bi-articular muscles in multi-joint movements. In J.M. Winters & S.L-Y. Woo (Eds.), Multiple muscle systems (pp. 302-311). New York: Springer-Verlag.
- 19-Gottlieb, G.L., Corcos. D.M., & Agarwal, G.C. (1989). Strategies for the control of single mechanical degree of freedom voluntary movements. *Behavior and Brain Science*, 12, 189-210.
- 20-Hannaford, B., & Winters, J.M, (1990). Actuator properties and movement control: Biological and technological models. In J.M. Winters & S.L-Y. Woo J (Eds.), Multiple muscle systems (pp. 101-120). New York: Springer-Verlag.
- 21-Happee, R. (1992). The control of shoulder muscles during goal directed movements. Doctoral thesis, Delft University of Technology, The Netherlands.
- 22-Hasan, Z. (1983). A model of spindle afferent response to muscle stretch. *Journal of Neurophysiology*, 49, 989-1006.
- 23-Hasan, Z., Enoka, R.M., & Stuart, D.G. (1985). The interface between biomechanics and neurophysiology in the study of movement-Some recent approaches. *Exercise and Sport Sciences Reviews*, 13, 169-234.
- 24-Hatze, H. (1977). A myocybematic control model of skeletal muscle. *Biological Cybernetics*, 25, 103-119.

- 25-Hatze, H. (1981). Myocybemetic control models of skeletal muscle. Pretoria: University of South Africa Press.
- Hemami, PI. (1985). Modeling, control, and simulation of human movement. CRC Critical Reviews in Biomedical Engineering, 13, 1-34.
- 26-Hill, A.V. (1938). The heat of shortening and the dynamic constants of muscle. Proceedings of the Royal Society of London, 126B, 136-195.
- 27-Hof, A.L. (1990). Effects of muscle elasticity in walking and running. In J.M. Winters & S.L-Y. Woo (Eds.), Multiple muscle systems (pp. 182-194). New York: Springer-Verlag.
- 28-Hogan, N. (1984). Adaptive control of mechanical impedance by coactivation of antagonistic muscles. IEEE Transactions on Automatic Control, AC-29, 681 - 690.
- 29-Hogan, N. (1990). Mechanical impedance of single- and multiarticular systems. In J.M. Winters & S.L-Y. Woo (Eds.), Multiple muscle systems (pp. 149-164). New York: Springer-Verlag.
- 30-Hogan, N., & Winters, J.M. (1990). Principles underlying movement organization: Upper limb. In J.M. Winters & S.L-Y. Woo (Eds.), Multiple muscle systems (pp. 182-194). New York: Springer-Verlag.
- 31-Houk, J.C. (1979). Regulation of stiffness by skeletomotor reflexes. Annual Review of Physiology, 41, 99-114.
- 32-Houk, J.C., & Rymer, Z.W. (1981). Neural control of muscle length and tension. In V.B. Brooks (Ed.), Handbook of physiology. Sec. 1, Vol. II, The nervous system: Motor control. Part I (pp. 257-323). Baltimore: Williams & Wilkins.

- 33-Huxley, A.F. (1957). Muscle structure and theories of contraction. *Progress in Biophysics and Biophysical Chemistry*, 7, 257-318.
- 34-Ingen Schenau, G.J. van, Bobbert, M.F., & Soest, A.J. van (1990). The unique action of biarticular muscles in leg extensions. In J.M. Winters & S .L-Y. Woo (Eds.), *Multiple muscle systems* (pp. 639-652). New York: Springer-Verlag.
- 35-Joyce, G.C., Rack, R.M.H., & Westbury, D.R. (1969). The mechanical properties of cat soleus muscles during controlled lengthening and shortening movements. *Journal of Physiology*, 204, 461-467.
- 36-Katayama, M., & Kawato, M. (1993). Virtual trajectory and stiffness ellipse during multijoint arm movement predicted by neural inverse models. *Biological Cybernetics*, 69, 353-362.
- 37-Keshner, E.A., & Allum, J.H.J. (1990). Muscle activation patterns coordinating postural stability from head to foot. In J.M. Winters & S.L-Y. Woo (Eds.), *Multiple muscle systems* (pp. 481-497). New York: Springer-Verlag.
- 38-Lacquaniti, F., Licata, F., & Soechting, J.F. (1982). The mechanical behavior of the human forearm in response to transient perturbations. *Biological Cybernetics*, 44, 35-46.
- 39-Landau, Y.D. (1979). *Adaptive control. The model reference approach*. New York: Marcel Dekker.
- 40-Lehman, S., & Stark, L. (1979). Simulation of linear and nonlinear eye movement models: sensitivity analysis and enumeration studies of time optimal control. *Journal of Cybernetics and Information Science*, 2, 21-43.



- 41-Lehman, S., & Stark, L. (1982). Three algorithms for interpreting models consisting of ordinary differential equations: Sensitivity coefficients, sensitivity i functions, global optimization. *Mathematical Biosciences*, 62, 107-122.
- 42-Liang, D. (1989). Mechanical response of an anthropomorphic head-neck system to external loading and muscle contraction. Master's thesis, Arizona State University, Tempe.
- 43-Loeb, G. (1984). The control and responses of mammalian muscle spindles during normally executed motor tasks. *Exercise and Sport Sciences Reviews*, 12, 157-204.
- 44-Loeb, G.E., & Levine, W.S. (1990). Linking musculoskeletal mechanics to senso-rimotor neurophysiology. In J.M. Winters & S.L-Y. Woo (Eds.), *Multiple muscle systems* (pp. 165-181). New York: Springer-Verlag.
- 45-McMahon, T.A. (1984). *Muscles, reflexes, and locomotion*. Princeton, NJ: Princeton University Press.
- Mohler, R.R. (1991). *Nonlinear systems, Vol. 2: Applications to bilinear control*, Englewood Cliffs, NJ: Prentice Hall.
- 46-Mungiole, M. (1991). Factors influencing the mechanical output of the ankle plantar/lexer muscles during concentric action, with and without prior stretching. Doctoral dissertation, Arizona State University, Tempe.
- 47-Mungiole, M., & Winters, J.M. (1990). Overview: Influence of muscle on cyclic and propulsive movements involving the lower limb. In J.M. Winters & S.L-Y. Woo (Eds.), *Multiple muscle systems* (pp. 55.0- 567). New York: Springer-Verlag.

- 48-Peterson, B.W., & Richmond, F.J. (1988). Control of head movement. New York: Oxford University Press.
- 49-Rack, P.M.H., & Westbury, D.R. (1974). The short-range stiffness of active mammalian muscle and its effect on mechanical properties. *Journal of Physiology*, 240, 331-350.
- 50-Seif-Naraghi, A.M. (1989). Predicted optimized neuromuscular control strategies for single-joint goal-directed movements. Doctoral dissertation, Arizona State University, Tempe.
- 51-Seif-Naraghi, A.H., & Winters, J.M. (1989a). Effect of task-specific linearization on musculoskeletal system control strategies. ASME Biomechanics Symposium. AMD-98, 347-350.
- 52-Seif-Naraghi, A.H., & Winters, J.M. (1989b). Changes in musculoskeletal control strategies with loading: Inertial, isotonic, random. ASME Biomechanics Symposium, AMD-98, 351-354.
- 53-Seif-Naraghi, A.H., & Winters, J.M. (1990). Optimized strategies for scaling goal-directed dynamic limb movements. In J.M. Winters & S.L-Y. Woo (Eds.), *Multiple muscle systems* (pp. 312-334). New York: Springer-Verlag.
- 54-Seireg, A., & Arvikar, R.J. (1989). Biomechanical analysis of the musculoskeletal structure for medicine and sport. New York: Hemisphere.
- 55-Van der Helm, F.C.T. (1991). The shoulder mechanism: A dynamic approach. Doctoral thesis, Delft University of Technology, The Netherlands.

- 56-Van der Helm, F.C.T., & Winters, J.M. (1994). Optimized workspace postures for a large-scale upper limb system: neuro-mechanical mapping and "field" possibilities. In Proceedings of the 13th Southern Biomedical Engineering Conference. Washington, D.C.: University of the District of Columbia.
- 57-Winters, J.M. (1985). Generalized analysis and design of antagonistic muscle models: Effect of nonlinear properties on the control of human movement. Doctoral dissertation. University of California, Berkeley.
- 58-Winters, J.M. (1990). Hill-based muscle models: A systems engineering perspective. In J.M. Winters & S.L-Y. Woo (Eds.), Multiple muscle systems (pp. 69-93). New York: Springer-Verlag.
- 59-Winters, J.M. (1991). Optimized strategies for goal-directed human movements. In J. Menon (Ed.), Trends in biological cybernetics (pp. 13-25). Sreekanth-swaram, India: Council of Scientific Research Integration.
- 60-Winters, J.M., & Mullins, P.A. (1993). Synthesized neural/biomechanical models used for realistic 3-D tasks are more likely to provide insights into human movement strategies (commentary). Behavior and Brain Science, 15, 805-807.
- 61-Winters, J.M., Osterbauer, P., Peles, J.D., Derickson, K., Debur, K., & Fuhr, A. (1993). 3-D head axis of rotation during tracking movements: A tool for assessing neuro-mechanical neck function. Spine, 18, 1178-1185.
- 62-Winters, J.M., & Peles, J.D. (1990). Neck muscle activity and 3-D head kinematics during quasi-static and dynamic tracking movements. In J.M. Winters & S.L-Y. Woo (Eds.), Multiple muscle systems (pp. 461 -480). New York: Springer-Verlag.

- 63-Winters, J.M., & Stark, L. (1985). Analysis of fundamental movement patterns through the use of in-depth antagonistic muscle models. *IEEE Transactions on Biomedical Engineering*, BMER-32, 826-839.
- 64-Winters, J.M., & Stark, L. (1987). Muscle models: What is gained and what is lost by varying model complexity. *Biological Cybernetics*, 55, 403-420.
- 65-Winters, J.M., & Stark, L. (1988). Simulated mechanical properties of synergistic muscles involved in movements of a variety of human joints. *Journal of Biomechanics*, 12, 1027-1042.
- 66-Winters, J.M., Stark, E., & Seif-Naraghi, A.H. (1988). An analysis of the sources of muscle-joint system impedance. *Journal of Biomechanics*, 12, 1011 -1025.
- 67-Winters, J.M., & Van der Helm, F.C.T. (1993). Comparing simulation approaches for the shoulder: inverse static, inverse dynamic, forward static, forward dynamic. In *Proceedings of the 15th Annual International Conference of the IEEE Engineering in Medicine and Biology and Society* (pp. 1153-1154). Piscataway, NJ: IEEE.
- 68-Winters, J.M., & Van der Helm, F.C.T. (1994). Relations between stability, redundancy, and optimization for postural neuro-mechanical systems: principles. In *Proceedings of the 13th Southern Biomedical Engineering Conference*. Washington, D.C.: University of the District of Columbia.
- 69-Wu, C-H., Houk, J.C, Young, K-Y, & Miller, L.E. (1990). Nonlinear damping of limb motion. In J.M. Winters & S.L-Y. Woo (Eds.), *Multiple muscle systems* (pp. 214-235). New York: Springer-Verlag.

- 70-Yamaguchi, G.T. (1990). Performing whole-body simulations of gait with 3-D, dynamic musculoskeletal models. In J.M. Winters & S.L-Y. Woo (Eds.), Multiple muscle systems (pp. 663-679). New York: Springer-Verlag.
- 71-Zanlax, G.I. (1990). Modeling muscle mechanics (and energetics). In J.M. Winters & S.L-Y, Woo (Eds.), Multiple muscle systems (pp. 1-23). New York: Springer-Verlag.
- 72-Zajac, F., & Gordon, M.E. (1989). Determining muscle's force and action in multiarticular movement. *Exercise and Sport Sciences Reviews*, 17,187-230.
- 73-Zajac, P., & Winters, J.M. (1990). Modeling musculoskeletal movement systems: Joint and body-segment dynamics, musculotendinous actuation, and neuro-muscular control. In J.M. Winters & S.L-Y. Woo (Eds.), Multiple muscle systems (pp. 121-148). New York: Springer-Verlag.
- 74-Zangemeister, W.H., Lehman, S., & Stark, L. (1982). Simulation of head movement trajectories: Model and fit to main sequence. *Biological Cybernetics*, 41, 19-32.



## الفصل الثاني

### نموذج ميكانيكا العصب عضلي

### Mechanical Neuromuscular modeling

الأهداف

تمهيد

أولاً : نظام الإصابات والتعقيدات

ثانياً : الأسس النظرية

ثالثاً : معادلات أيولير

رابعاً : معادلات لاجرانج

الملخص

اختبر معلوماتك

المراجع





## الفصل الثانى

### نموذج ميكانيكا العصب عضلى

### Mechanical Neuromuscular modeling

#### الأهداف Objectives

بعد قراءة هذا الفصل يصبح القارئ قادراً على التعرف على ما  
يلى:

- ١- نظام النموذج، نظام الإحداثيات والتغيرات.
- ٢- نظام القوة الخارجية والازدواج.
- ٣- معادلات التحكم والأسس النظرية.
- ٤- معادلات إيولير ولاجرانج.

#### تمهيد : Review

غالباً أبحاث الميكانيكا الحيوية تشتمل على نموذج مبسط لميكانيكا أداء الإنسان فى أى نشاط، لاشتقاق وحل المعادلات التى تحكم نموذج السلوك، ومصداقية إعادة تكرار النموذج. أحد النماذج الأكثر استخداماً فى الميكانيكا الحيوية تمثل جسم الإنسان بمجموعة من الأجزاء الصلبة كشيئ مترابط لتطبيق القوى الخارجية والعزم (مثل تأثير قوة الجاذبية Gravity force والعضلات Muscles والمقيدات Constrains الخ)، والمعادلات المتحكم فى حركة الأبعاد الثلاثة فى أكثر النماذج ربما يتم الحصول عليها عن طريق طرائق متنوعة وترجع إلى أسماء مختلفة أو معادة (مثل معادلات كانتى،

ليفينسون وكاني (Kane, Levinson, Kane ١٩٨٥م)، معادلات (لاجرانج Lagrange، جرينود Greenwood، ١٩٨٨م)، ومعادلات ايولير Euler، ماك جيل McGill، وكينج King، (١٩٨٩م)، والمعادلات المكررة المعدلة، هوج Houg (١٩٩٢م) ... الخ).

من أجل التبسيط النسبي في معظم نظم الموديلات البيوميكانيكية والحالات النسبية التي تحتويها معادلات كل من Euler، Lagrange يمكن إنتاج الكثير من النماذج المبسطة، هذه هي المعادلات الموجودة والتي ربما يستمر تكرار استخدامها في الأبحاث البيوميكانيكية، فيما يلي نصنفها وعملية استنباطها من معادلات كل من Euler، وLagrange عن طريق نماذج ميكانيكية جسم الإنسان المشتملة على الأجزاء الصلبة المترابطة بكتلة نهائية حيث يمكن تحديد حركة الثلاث أبعاد للشئ عامة لنظام القوة-العزم الخارجى ونظام المقيدات تماماً.

تقيدات ومسلمات (افتراضات) Restrictions and Assumptions  
تكون قبل العمليات (الإجراءات) من الأفضل إقرار المقيدات والمسلمات التي تطبق للتحليل وهي :

#### نظام النموذج : System model

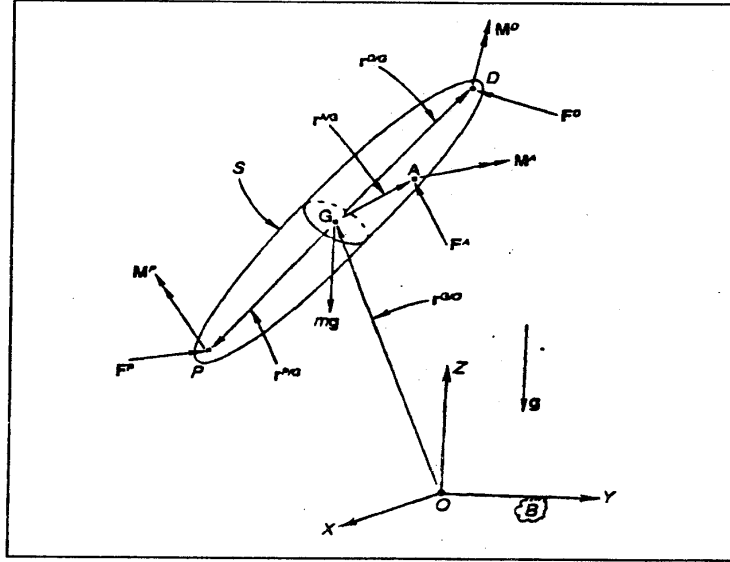
يعاد تمثيل النظام الطبيعي المتخصص (أيما كان داخل جسم الإنسان، أو أجزاء منه) عن طريق تبسيطك نموذج ميكانيكى يتكون من تجميع الأجزاء الصلبة المتماسكة المرتبطة عن طريق الوصلات الملساء والكروية (مثل مفصل الكرة والحق). يتضمن نظام تعديل العناصر وتمثيلها أجزاء المفاصل عن طريق نماذج وصلة أكثر تعقيداً (مثل السماح للاتصال النسبي الجزئى فى الوصلة المجاورة التى تقوم عن طريق الانطلاق، والانتقال) وما خلق القاء الضوء على هذا التحليل.

## أولاً : نظام الإحداثيات والتقييدات :

### System coordinates and constraints

- عامة نموذج نظام حركة الوصلات في الثلاث أبعاد ممكن، وأيضاً غير مشروط. يقيد نظام الحركة مبدئياً عن طريق الأجزاء المتداخلة للوصلات، ولكن أيضاً بما يضاف من فعل المقيدات على النموذج خلال النشاط التخصصي (مثل اتصال القدم بالأرض... الخ). كذلك لوصف شكل المسار (مثل يتغير الموضع والتوجيه) للجزء الصلب "S" بالضبط، يتطلب :
- تخصيص الثلاث إحداثيات المستقلة الخطية مثل الإحداثيات المتعامدة  $(X, Y, Z)$  لخصائص موضع النقطة (S) (مثل مركز ثقل الكتلة  $G$ ) بالنسبة لنقطة الأصل (O) (نقطة تلاقي الإحداثيات المتعامدة الثلاث) لبعض الإحداثيات المتعامدة لنظام شامل Global system أو لإطار مرجعي OXYZ:B (مع اتجاه المحور Z عمودي لأعلى).
  - تخصيص الإحداثيات الثلاثة للزاوية المقررة (مثل Cardan angles  $\phi, \theta, \psi$ ، أنظر المرفق A) لأصل موضع نظام الإحداثيات المتعامدة المطوقة باحكام لـ (S) (مثل الإطار المرجعي، GXYZ:R، مع المنشأ عند G) بالنسبة لنظام الشامل B.
- تعميم الإحداثيات الستة المستقلة  $(X^G, Y^G, Z^G, \phi, \theta, \psi)$  تستخدم لتخصيص متغير الموضع Local، والمتجه Orientation لـ (s) (أو نظام الموضع R المتحكم في S عند G) بالنسبة للنظام الشامل B (شكل ٢-١).





شكل (٢-٢)

عمل مركبات نظام القوة الخارجية عامة- والازدواج على العضو الصلب تماماً

لذلك، يعمل نظام القوة الخارجية- الازدواج على العضو S تماماً

ويشتمل على :

(أ)  $F^P, M^P$  عند P حيث أن P الموضع النسبي من G عن طريق  $r^{P/G}$ .

(ب)  $F^D, M^D$  عند D حيث أن D الموضع النسبي من G عن طريق  $r^{D/G}$ .

(ج)  $mg$  عند G، حيث أن G الموضع النسبي لنقطة الأصل O لنظام  
الشامل B عن طريق  $r^{G/O}$ .

(د)  $F^A, M^A$  عند A حيث أن A الموضع النسبي  $gG$  عن طريق  $r^{A/G}$ .

محصلة القوة F، ومحصلة العزوم  $M^G$  حول G تساعد مع نظام القوة الخارجية. الازدواج كذلك تعطى عن طريق :

$$F = F^P + F^D + F^A + mg \quad (1)$$

$$M^G = (r^{P/G} \times F^P) + (r^{D/G} \times F^D) + (r^{A/G} \times F^A) + M^P + M^D + M^A \quad (2)$$

حيث أن X تشير إلى الاتجاه المنتج.

متجه R : GXYZ في S، Orientation of R : GXYZins.

من أجل التبسيط والملاءمة لكل جزء صلب في نظام النموذج سوف نسلم بأن له محور طولي للتماثل الهندسي للكتلة الذي يمر من خلال P, D, والذي كذلك على خط مركز ثقل كتلتها G. نظام الموضع GXYZ:R في S عند G سوف يكون متجهاً ومثبت في S إلى حد أن محاورها X, Y, Z تكون المحاور الأساسية للقصور الذاتي لـ S عند G، مع تطابق المحور Z مع المحور الطولي الهندسي وتماثل الكتلة.

مشكلة الديناميكا المعكوسة :

المشاكل الميكانيكية التخصصية هنا، واحدة من التي يتكرر مواجهتها في الأبحاث البيوميكانيكية وعممت باسم المشاكل الديناميكية المعكوسة Grownin Shield & Brand (١٩٨١م)، في معظم المشاكل المتداولة، مسار شكل النظام الحلقى يكون معروفاً (مثل، تغير زمن الإحداثيات الستة المستقلة المعممة التي تصف شكل كل نظام للعنصر (S) في النظام الشامل (B) المحدد). استخدمت Eulare أو Lagrange في تحديد المركبات غير المعروفة لنظام القوة الخارجية الازدواج والتي تجمع لإنتاج هذه الحركة المعلومة.

### معادلات التحكم : Governing equations

تدرس هنا فقط العمليات الناتجة من معادلات كل من Euler، و Lagrange من أجل نموذج نظام الحركة، والطرائق الأخرى للحصول على معادلات نظام الحركة (مثل الطرائق المتغيرة) خارج نطاق حدود هذه المقالة.

### ثانياً : الأسس النظرية : Theoretical basis

نفترض أن القارئ متألف على المناهج والإجراءات للتحليل الميكانيكي المستخدمة لوصف حركة الجسم الصلب في البعدين (2-D) (مثلاً، نسبياً تعطى المادة لطلبة الكلية علم الطبيعة (الفيزياء)، الهندسة ومنهج علم الديناميكا (القوة المحركة)، وغالباً تستخدم الكميات المتجهة في الجبر، والكميات المتجهة في حساب التفاضل والتكامل، والتحكم الأولى في المعادلات المختلفة، والمصفوفات... الخ). ومع مثل هذه الخلفية والجهد الإضافي، يمكن للفرد أن يفهم استعمال انتشار منهجية البعدين لتحليل الثلاث أبعاد لحركة الجسم الصلب عامة. ملحوظة : مع ذلك، هذا العرض لا يجب اعتباره معالجة شاملة، حتى من أجل المواقف السهلة جداً والتي يستحق وضعها في الاعتبار.

### مهام تمهيدية (أولية) : Preliminary tasks

من المسلم به أن نظام النموذج، نظم الإحداثيات الشاملة والموضع، والإحداثيات المعممة المختارة للعضو، ضرورية لإتمام بعض الأعمال التمهيدية الإضافية قبل تركيب معادلات Euler، أو معادلات Lagrange لنظام النموذج.

خصائص القصور الذاتي (بارامترات أجزاء الجسم) :

Inertia properties (body segment parameters)

من أجل كل جزء من (S) ضروري التعرف عن طريق التقدير أو القياس المباشر على الكتلة (m)، موضع مركز ثقل كتلة الجسم G، والست مركبات المستقلة  $3 \times 3 = 9$  عناصر، تماثل، مصفوفة القصور الذاتي  $I^G$  لمركز الكتلة، عبر عنها باصطلاحات إحداثيات نظام موضع R، تلك الست عناصر المستقلة لمصفوفة القصور الذاتي للعناصر تشتمل على الثلاث عزوم للقصور الذاتي التي تظهر كعناصر قطرية.

$$\begin{aligned} I_{xx}^G &= \int (y^2 + z^2) dm \\ I_{yy}^G &= \int (x^2 + z^2) dm \\ I_{zz}^G &= \int (x^2 + y^2) dm \end{aligned} \quad (3)$$

تظهر الثلاث نواتج للقصور الذاتي متماثلة كأبعاد قطرية للعناصر، (لاحظ، الإشارة الجبرية السالبة الاصطلاحية في هذه التعريفات) :

$$\begin{aligned} I_{xy}^G &= \int -x y dm = I_{yx}^G \\ I_{yz}^G &= \int -y z dm = I_{zy}^G \\ I_{zx}^G &= \int -z x dm = I_{xz}^G \end{aligned} \quad (4)$$

كذلك مصفوفة القصور الذاتي لمركز الكتلة يمكن تفاضل، في إحداثيات نظام موضع R،

$$r^G = \begin{bmatrix} I_{xx}^G & I_{xy}^G & I_{xz}^G \\ I_{yx}^G & I_{yy}^G & I_{yz}^G \\ I_{zx}^G & I_{zy}^G & I_{zz}^G \end{bmatrix} = (I)^{GT} \quad (5)$$

حيث أن T ترمز إلى تغيير الموضع، وتشير إلى أن  $I^G$  مصفوفة متماثلة.



يلاحظ أنه بسبب كون نظام الموضع R ثبت في (S) عند G، S صلبة، إحداثيات R للقصور الذاتي لمركز الكتلة  $I^G$  تكون ثابتة ولا تتغير عند تحرك (S) في النظام الشامل (B). ويلاحظ أيضاً أنه من أجل اختلاف الاتجاهات R المثبت في S، تأخذ عناصر القصور الذاتي لمركز الكتلة  $I^G$  قيم ثابتة مختلفة، وعن McGill & King (١٩٨٩م) يمكن رؤية أن هناك دائماً يوجد متجه جزئي خاص من أجل محور (R): GXYZ في (S) يسمى المحور الرئيسي لمتجه عزم القصور الذاتي، لدرجة أن (أ) جميع النواتج الثلاثة لعزم القصور الذاتي المستقلة تتلاشى بالتدرج، (ب) تشتمل الثلاث محاور الأساسية المستقلة عن عزم القصور الذاتي على أكبر وأصغر عزوم للقصور الذاتي الممكنة لجميع المحاور المارة خلال G (مركز الكتلة). بالرجوع إلى المسلمات السابقة أنه للجزء S محور طولى Z للتمثيل الهندسي والكتلة والذي يمر خلال P، D، وتحتوى على G ويشير إلى العزم الأساسي للقصور الذاتي عند G عن طريق :

$$I_{xx}^G = I_{yy}^G = I_t^G ; I_{zz}^G = I_t$$

مصفوفة عزم القصور الذاتي لمركز كتلة العضو  $I^G$  يمكن كذلك توضيحها لموضع إحداثيات R :

$$I^G = \begin{bmatrix} I_{xx}^G & 0 & 0 \\ 0 & I_{yy}^G & 0 \\ 0 & 0 & I_{zz}^G \end{bmatrix} + \begin{bmatrix} I_t & 0 & 0 \\ 0 & I_t & 0 \\ 0 & 0 & I_t \end{bmatrix} = (I)^{GT} \quad (6)$$

Kinematics : الكينماتيكا :

Letting : التصغير :

$$q = [X^G, Y^G, Z^G, \phi, \theta, \psi]^T = [q_1 \dots q_6]^T$$

بالإشارة إلى متجه  $1 \times 6$  للإحداثيات المعممة القياسية  $qK$  ( $k=1$  و... و6) للجزء S للنموذج، من الضروري كتابة جميع المعادلات المقيدة المناسبة حيث يجب أن تكون قيم الستة إحداثيات تكفى لكل أجزاء نظام الحركة. وتعتبر هذه المهمة مشكلة خاصة (أنظر المثال التالي) تظهر هنا كنتيجة في مجموعة كتلة مستقلة، قياسية، مشتقة يمكن دائماً توضيحها في صورة :

$$C(q, t) = 0 \quad (7)$$

حيث أن  $m \times t$  للمتجه  $C =$  دالة لنظام الإحداثيات العامة  $qk$  ولأول مرة فرصة لزمن،  $t$  لأجل نموج النظام المكون من أعضاء صلبة عددها  $N$ ، والإحداثيات العامة للمتجه  $q$  في المعادلة (7) تكون متعلقة كست أعضاء صلبة  $7 \times 6$  متجه مركب من جميع  $1 \times 6$ ، و  $N$  المولدة لإحداثيات المتجهات للأجزاء الفردية Nonholomic (مثلها المختلفة ولكن ليست لها القدرة على التكامل) ثابتة، واختلافات الثوابت التي تدخل في التكامل ولكن لم تعثر عليها تترك نسبياً ولا تدخل في هذا التحليل.

تستكمل أعمال الكينماتيكا الأولية باظهار المشتقات لكل سرعة لمركز ثقل كتلة العضو ( $V^G$ ) والسرعة الزاوية للزاوية  $\Omega$  (أوميغا) كدوال لتوليد الست إحداثيات للعضو لمشتقات زمنها. هذه العملية تقود إلى استخلاص السرعة  $V^G$  من العلاقة :

$$V^G = d(r^{G/O}) dt = d \left( \overset{\bullet}{X}_i^G + \overset{\bullet}{Y}_j^G + \overset{\bullet}{Z}_k^G \right) dt = X^G I + Y^G J + Z^G K \quad (8)$$

حيث تشير النقطة على الحرف إلى اشتقاق الزمن، الحروف  $K, J, I$  على التوالي تشير إلى وحدة المتجهات المشتركة الموجبة لكل من  $Z, Y, X$  على التوالي للنظام الشامل  $B$ . متابعة الزوايا والاختلاف في أجزاء

الإحداثيات المستقل أنظر المرفق (A)، السرعة الزاوية  $\Omega$  يمكن التعبير عنها في وضع أجزاء R.

$$\Omega = \Omega_x i + \Omega_y j + \Omega_z k \quad (9)$$

حيث أن :

$$\begin{aligned} \Omega_x &= \dot{\phi} c\theta c\psi + \dot{\theta} s\psi, \\ \Omega_y &= -\dot{\phi} c\theta s\psi + \dot{\theta} c\psi, \\ \Omega_z &= \dot{\phi} s\theta + \dot{\psi}, \end{aligned} \quad (10)$$

مع I, J, K كمتجهات الوحدة يشترك مع محاور X, Y, Z الموجبة نسبياً في وضع نظام R، والرموز "S" و "C" تشير إلى دوال الجيب وجيب التمام على التوالي.

كمية الحركة الزاوية : Angular momentum

تشتمل المهمة التمهيدية الأخيرة كتابة مصطلح لكل كمية حركة زاوية حول مركز ثقلها G. لوحظت كمية المتجه هذه عن طريق  $H^G$ ، ويمكن التعبير عنها في وضع أجزاء R

$$H^G = I_x^G \Omega_x i + I_y^G \Omega_y j + I_z^G \Omega_z k, \quad (11)$$

حيث أن :

$$\begin{aligned} H_x^G &= I_{xx}^G \Omega_x, \\ H_y^G &= I_{yy}^G \Omega_y, \\ H_z^G &= I_{zz}^G \Omega_z, \end{aligned} \quad (12)$$

### ثالثاً : معادلات إيولير : Euler's equations :

تصف معادلات Euler بتوافق حركة جسم صلب منفرد أو حينما يتجمع معاً، الحركة لمجموعة أجسام صلبة متصلة  $N$ . هذه المعادلات تربط القوة الخارجية الناتجة ( $F$ ) واللحظة الخارجية الناتجة عن مركز الكتلة  $G(M^G)$  والتي تمثل كل جسم صلب  $S$  إلى الحركة لـ  $S$  والتي تقدمها هذه الكميات الكينتيكية. تعتبر معادلات Euler امتداد لقانون نيوتن الثاني للحركة ( $F = m a$ ) وتعتبر الترتيب الثاني، معادلات تفاضلية عادية والتي تعبر عن القانونين الأول والثاني لاويلير للحركة للأنظمة متعددة الذرات ماكجيل وكنج (١٩٨٩م)، حينما يكون النظام جسم صلب منفرد مع مركز الكتلة  $G$  هذين القانونين يمكن التعبير عنهما كما يلي :

القانون الأول لإيولير : Euler's first law :

مبدأ حركة مركز الكتلة أو مبدأ كمية الحركة الخطية يأخذ الشكل :

$$F = m a^G \quad (13)$$

حيث أن  $F =$  القوة الخارجية التي تعمل على  $S$  (المعادلة ١)،  $m =$  كتلة العضو،  $a^G =$  عجلة لـ  $G$  (قوة القصور الذاتي شكل (١-٣)ب) كما هو معطى عن طريق الاشتقاق الزمنى لـ  $V^G$  فى المعادلة (٨) وبناء عليه معادلة  $a^G = d(V^G)/dt = d(\dot{x}^G i + \dot{y}^G j + \dot{z}^G k)/dt = (\ddot{x}^G i + \ddot{y}^G j + \ddot{z}^G k)$  (14)  
حيث النقطة فوق الحرف المزدوجة تشير إلى الاشتقاق الثانى بالنسبة للزمن (العجلة).

القانون الثانى لاويلير : Euler's second law :

$$M^G = \dot{H}^G \quad (15)$$

حيث أن  $M =$  محصلة فعل العزم الخارجى على  $S$  حول  $G$  كما فى المعادلة (١)،  $\dot{H}^G =$  كمية الحركة الزاوية كمشتقة بالنسبة للزمن للعضو حول  $G$  كما فى المعادلة (١١). لاحظ أن المعادلة (١١) تعطى  $\dot{H}^G$  فى وضع مركبات  $R$ ، واشتقاق زمنها يمكن التعبير عنه جرين وود (١٩٨٨م).

$$\begin{aligned}\dot{H}^G = & \left[ I_{xx}^G \dot{\Omega}_x - (I_{yy}^G - I_{zz}^G) \Omega_y \Omega_z \right] i \\ & + \left[ I_{yy}^G \dot{\Omega}_y - (I_{zz}^G - I_{xx}^G) \Omega_z \Omega_x \right] j \\ & + \left[ I_{zz}^G \dot{\Omega}_z - (I_{xx}^G - I_{yy}^G) \Omega_x \Omega_y \right] k\end{aligned}\quad (17)$$

وضع مركبات  $R$  لسرعة الزاوية  $\Omega$  فى المعادلة (١٦) تعطى فى المعادلة (١٠) واشتقاق الزمن فى هذه المركبات يمكن التعبير عنها كما يلى:

$$\begin{aligned}\dot{\Omega}_x = & \dot{\phi} \dot{\theta} \cos \psi - \dot{\phi} \dot{\theta} \dot{\psi} \sin \psi - \dot{\phi} \dot{\psi} \dot{\theta} \sin \psi + \dot{\theta} \dot{\psi} \dot{\phi} \cos \psi; \\ \dot{\Omega}_y = & \dot{\phi} \dot{\theta} \sin \psi + \dot{\phi} \dot{\theta} \dot{\psi} \cos \psi - \dot{\phi} \dot{\psi} \dot{\theta} \cos \psi + \dot{\theta} \dot{\psi} \dot{\phi} \sin \psi + \dot{\theta} \dot{\psi} \dot{\phi} \sin \psi\end{aligned}\quad (17)$$

$$\dot{\Omega}_z = \dot{\phi} \dot{\theta} \sin \theta + \dot{\phi} \dot{\theta} \dot{\psi} \cos \theta + \dot{\psi} \dot{\phi} \dot{\theta}$$

وهكذا العضو الصلب الفردى  $S$ ، ومعدلات ايولير تعتبر نظام لمعادلتين مستقلتين المتجه (المعادلتين ١٣، ١٥) أو نظام الست معادلات قياسية مستقلة. تكتب الثلاث معادلات القياسية تبعاً للمعادلة (١٣) فى مركبات  $B$  الشامل، والمعادلات الثلاثة القياسية وفقاً للمعادلة (١٥) فى مركبات الوضع  $R$ ، يمكن التعبير عن المعادلات الستة القياسية لايولير بالنسبة لحركة  $S$  فى المرجع الشامل الشكل  $B$  كما يلى :

$$\begin{aligned} F_x &= m \ddot{X}^G \\ F_y &= m \ddot{y}^G \end{aligned} \quad (18)$$

$$\begin{aligned} F_z &= m \ddot{z}^G \\ M_x^D &= I_{xx}^G \ddot{\Omega} x (I_{yy}^G - I_{zz}^G) \Omega y \Omega z, \\ M_y^D &= I_{yy}^G \ddot{\Omega} y (I_{zz}^G - I_{xx}^G) \Omega z \Omega x, \\ M_z^D &= I_{zz}^G \ddot{\Omega} z (I_{xx}^G - I_{yy}^G) \Omega x \Omega y, \end{aligned} \quad (19)$$

حيث أن  $F$  من المعادلة (١) تعبر عنها في مركبات  $B$  الشاملة كما يلي :

$$F = F_x i + F_y j + F_z k$$

و  $M^G$  من المعادلة (٢) معبر عنها في وضع مركبات  $R$

$$M^G = M_x^G i + M_y^G j + M_z^G k$$

إن استعادة محاور  $X, Y, Z$  هي محاور رئيسية للقصور الذاتي من أجل  $S$  عند  $G$  عن طريق :

$$I_{xx}^G = I_{yy}^G = I_t, \quad I_{zz}^G = I_t,$$

وباستخدام المعادلة (١٠) والمعادلة (١٧) والمعادلة (١٩) يمكن

إعادة الصياغة باصطلاحات الثلاث زوايا لكاردان ومشتقاتها الزمنية.

$$\begin{aligned} M_x^G &= I_t (\ddot{\phi} c\theta c\psi + \ddot{\theta}^2 s\psi + \ddot{\theta}^2 s\theta s\psi - 2\ddot{\phi} \ddot{\theta} s\theta c\psi) - I_t \ddot{\theta}^2 s\theta c\theta s\psi - \\ &\quad \ddot{\phi} \ddot{\theta} s\theta c\psi + \ddot{\phi} \ddot{\psi} c\theta s\psi - \ddot{\theta} \ddot{\psi} c\psi; \\ M_y^G &= I_t (-\ddot{\phi} c\theta s\psi + \ddot{\theta}^2 c\psi + \ddot{\theta}^2 s\theta c\theta c\psi - 2\ddot{\phi} \ddot{\theta} s\theta s\psi) - I_t \ddot{\theta}^2 s\theta c\theta c\psi + \\ &\quad \ddot{\phi} \ddot{\theta} s\theta s\psi + \ddot{\phi} \ddot{\psi} c\theta s\psi - \ddot{\theta} \ddot{\psi} s\psi; \\ M_z^G &= I_t (\ddot{\phi} s\theta + \ddot{\psi} + \ddot{\phi} \ddot{\theta} c\theta) \end{aligned} \quad (20)$$

بالنسبة لجسم فردى صلب، المعادلات التفاضلية المستقلة الستة لا يولير معاً في معادلات تقليدية جبرية مستقلة  $m$  كشكل نظام المعادلات جبرية تفاضلية قياسية  $m+6$  هوج (١٩٩٢م) التي تحكم حركة  $S$  في شكل المشهد الشامل  $B$  عندما ننظر في مصطلحات مشكلة الديناميكا المعكوسة المشتركة، معادلات الحصر  $m$  (معادلة ٧) يمكن استخدامها لتقليل عدد النقاط التي يجب أن تكون أولية لكي تحدد الحركة غير المستقلة لجوانب اليد اليمنى لمعادلات ايولير، وهذه المعادلات حينئذ يمكن حلها للمركبات الستة القياسية غير المعروفة من نظام ازدواج القوى الخارجية المتمثلة في  $S$ .

بالنسبة لنظام النموذج مع أعضاء صلبة متصلة  $N$ ، نجمع معادلات ايولير القياسية المستقلة  $6N$  معاً مع المعادلات القياسية المستقلة  $m$  تشكل نظام من معادلات جبرية تفاضلية قياسية  $6N+m$  والتي تحكم حركة النظام في شكل المشهد الشامل  $B$  عندما ننظر في مصطلحات مشكلة الديناميكي العكسية المشتركة، معادلات الحصر  $m$  (معادلة ٧) يمكن استخدامها لتقليل النقاط التي يجب أن تكون أولية لكي تحدد الحركة غير المستقلة لجوانب اليد اليمنى لتجميع معادلات ايولير وهذا التجميع لمعادلات قياسية  $6N$  يمكن حينئذ أن تحل لمعظم المركبات القياسية  $6N$  لنظام ازدواج القوى الخارجية المشتركة المتحدة.

#### رابعاً : معادلات لاجرانج : Lagrange's equation

من المحتمل أن تستخدم معادلات لاجرانج لوصف حركة جسم صلب فردى أو حركة النظام لمركبات صلبة متصلة هذه المعادلات التي يمكن أن تشتق من معادلات ايولير لأنظمة متعددة الأجزاء جرين وود (١٩٩٢م).

تنسب حركة المجموعة إلى عزم القوى الخارجية التي تؤدي إلى عمل مؤثر على النظام أثناء إزاحة مؤثرة مقبولة مختصة بالكينماتيكا (إزاحة من الدرجة الأولى أو لا نهائية الصغر الذي تكفي كل المقيدات على إحداثيات مطلقة للنظام).

لنلاحظ هذا لأن القوى الناتجة المتحدّة تؤثر على إتمام عمل الأجزاء المجاورة، عمل مؤثر غير محبّك على أجسام متعدّدة (فعل العمل المؤثر على جزء واحد متحد مشترك يكون مساو في الأهمية لكن العكس في إشارة جبرية للعمل المؤثر التام على الجزء المتحد المشترك الآخر). هذه القوى التقليدية غير عاملة لا تظهر في معادلات لاجرانج.

من هنا معادلات لاجرانج لا يمكن أن تستخدم من خلال العلاقة لمشكلة الديناميكي المعكوسة المشتركة، لكي تحدد القوى الناتجة المشتركة المؤثرة على الأجزاء المجاورة في أنظمة الأجسام المتعدّدة.

قبل استنباط معادلات لاجرانج بعض المهام التمهيدية الإضافية يجب أن تكتمل، وهذه تشمل المصطلحات مشتقة للطاقة المحركة للنظام (T) وطاقة جهدها التجاذبية V ونظام لاجرانج L وقوتها المطلقة الفعالة G.

طاقة الحركة : Kinetic energy

لكل عضو صلب S طاقة حركية  $T^S$  يمكن التعبير عنها كما يلي :

$$T^S = T^S v = T^S \Omega \quad (21)$$

حيث أن :

$$T^S v = (1/2)m (V^G)^T V^G = (1/2)m \left[ \left( \dot{x}^G \right)^2 + \left( \dot{y}^G \right)^2 + \left( \dot{z}^G \right)^2 \right] \quad (22)$$



تكون طاقة الحركة الانتقالية :

$$T^s \Omega = (1/2) \Omega^T H^G = (1/2) \left[ I_{xx}^G (\Omega_x)^2 + I_{yy}^G (\Omega_y)^2 + I_{zz}^G (\Omega_z)^2 \right] \quad (23)$$

تكون طاقة الحركة الدورانية لنظام مكون من N الأعضاء الصلبة المنفصلة، ونظام طاقة الحركة T ببساطة جبرياً مجموع الطاقات الحركية العضوية

$$T = \Sigma (T^s) \quad (24)$$

طاقة وضع الجاذبية : Gravitational potential energy

لكل عضو S، طاقة وضع الجاذبية  $V^s$  يمكن التعبير عنها كما يلي:

$$V^s = m g z^G \quad (25)$$

حيث أن m هي كتلة العضو، وهي عجلة الجاذبية الأرضية،  $z^G$  تركز إلى الإحداثى العمودى لـ G فوق المستوى الأفقى X، Y للنظام الشامل B. من أجل أى نظام للأجزاء الصلبة المتصلة، يكون نظام طاقة وضع الجاذبية V هو ببساطة حاصل الجمع الجبرى لطاقات وضع الجاذبية العضوية

$$V = \Sigma (V^s) \quad (26)$$

اللاجرانىة : Lagranian

من أجل ميكانيكية النظام المركب من عضو صلب أو أكثر، تحدد الإجرائية المشتركة L كما يلي :

$$L = T - V \quad (27)$$

حيث أن T، V معطاة فى المعادلتين (٢٤، ٢٦) على التوالى.

المبدأ العام من تفاصيل مختلفة للقوة : Generalized force

المبدأ العام من تفاصيل مختلفة للقوة  $Q$  لميكانيكية أى نظام حيث أن  $nx1$  للمبدأ العام من تفاصيل مختلفة للمتجه الإحداثى  $q$  يكون المتجه  $nx1$  المتحصل عليها عن طريق عمل فعلى. يحدث  $\delta IN$  لميكانيكية النظام عن طريق اشتراك نظام ازدواج الحركة الكينماتيكية. وبالرغم من الوصف التفصيلي لمفهوم الشغل الفعلى يكون وراء مجال هذه المقدمة تلخيص وجيز للعملية المطلوب لبناء نشاط المبدأ العام من تفاصيل مختلفة للقوة  $Q$  تظهر فى معادلات لاجرانج عرضت فى الملحق B.

$$Q = \Sigma [(D^A)^T F^A] + \Sigma (J^T M^A) - K^T U \quad (28)$$

بمطابقة المعادلة (٢٨) مقدار الجانب الأيمن الأول ينفذ على القوى الخارجية  $F^A$  المؤثرة على النظام عند نقاط  $A$  (ماعدات قوى الجاذبية) المصفوفة المتطابقة  $D^A$  تحدد عن طريق سرعة  $A$  كما هو معطى بواسطة معادلة (B.1)، مقدار قيمة حاصل الجانب الأيمن الثانى ينفذ على كل العزوم الخارجية  $N^A$  المؤثرة على النظام عند نقاط  $A$ ، المصفوفة المتطابقة  $J$  تحدد عن طريق السرعة الزاوية للعضو الذى يحتوى على  $A$  كما هو معطى عن طريقة معادلة (B.4) تحدد المصفوفة المحصورة  $K$  إذا تواجدت عن طريق تقيدية أسية تامة معادلة (٧) كما هو معطى عن طريق معادلة (B.v) وتكون  $(U)$  المتجه المتعدد للاجرانج المتجه مع المتغيرات على إحداثيات مطلقة للنظام.

من أجل نظام ميكانيكى متغير أسمى تام لأعضاء صلبة متصلة حيث يكونها معين عن طريق متجه إحداثى مطلق  $q$  مع مركبات  $q_k(k=1,...,n)$  يمكن التعبير عن معادلة لاجرانج كما يلى :

$$D(\delta L / \delta \dot{q}_k) / dt - \delta L / \delta q_k = Q'_k, k=1, \dots, n \quad (29)$$

حيث أن نظام لاجرانج  $L$  يدد عن طريق معادلة (٢٧) منتج  $Q$  قوى مطلقة نشطة لنظام لديه مركبات  $n$  كما هو معطى  $K, Q$  عن طريق المعادلة (٢٨) هكذا، معادلات لاجرانج تكون مجموعة من المعادلات التفاضلية العادية من الترتيب الثانى القياسى المستقل  $n$  التى تسبب حركة النظام (المعبر عنها فى مصطلحات الإحداثيات  $q_k$  المطلقة للنظام ومشتقاتهم الزمنية) إلى القوى الخارجية  $F^A$  والعزم الخارجى  $M^A$  والتغيرات الاسمية التامة  $U$  التى تقدم معاً هذه الحركة.

فى غياب التغيرات، إحداثيات  $n$  المطلقة  $q_k$  تعتبر معادلات لاجرانج مستقلة معادلة (٢٩) تشكل نظام من معادلات تفاضلية قياسية مستقلة التى تحكم سلوك النموذج.

عندما ننظر فى العلاقة لمشكلة الديناميكا العكسية المشتركة من هذه المعادلات القياسية  $n$  يمكن استخدامها لتوضح على الأكثر مكونات قياسية غير معروفة  $n$  من نظام ازدواج القوى الخارجية المشتركة التى تؤدي عمل مؤثر على النظام أثناء إزاحة فعالة لعلم الديناميكا المجرد مع ذلك لو  $q_k$  الإحداثيات المطلقة  $n$  مقيدة لتكفى المعادلات الاسمية التامة القياسية المستقلة  $m$  (يجب أن تلحق معادلة لاجرانج القياسية  $n$  معادلة (٢٩) لكى تشكل معادلات جبرية تفاضلية مناسبة التى تحكم سلوك النموذج).

عندما ننظر فى العلاقة لمشكلة الديناميكا المنعكسة المشتركة فى هذا النظام من معادلات قياسية  $(n+m)$ ، يمكن أن تستخدم لتغير على الأكثر مركبات قياسية غير معروفة  $(n+m)$  من نظام ازدواج القوة الخارجية المشتركة التى تؤدي عمل فعال على النظام أثناء إزاحة مؤثرة مسلم لها لعلم الديناميكا المجرد. للعضو  $S$  محور صلب منفرد مع منتج إحداثى مطلق.

$$q = [X^G, Y^G, Z^G, \phi, \theta, \psi]^T = q_1, \dots, q_6]^T$$

هذه التحركات فى النظام الشامل B يخضع إلى نظام ازدواج القوة الخارجية مع قوى ناتجة F والعزم الناتج عن  $(M^G)^G$  معطى عن طريق المعادلتين (١، ٢) على التوالى ومعادلة لاجرانج (٢٩) يمكن التعبير عنها كما يلى :

$$\begin{aligned} m \ddot{X} G &= F_x, \\ m \ddot{Y} G &= F_y, \\ m \ddot{Z} G &= F_z, \end{aligned} \quad (30)$$

$$I_t (\ddot{\phi}^2 c^2 \theta - 2 \ddot{\phi} \dot{\theta} s \theta c \theta) + I_t (\ddot{\phi}^2 s^2 \theta + \ddot{\psi} s \theta + 2 \ddot{\phi} \dot{\theta} s \theta c \theta + \ddot{\theta} \dot{\psi} c \phi) = M_x^G c \theta c \psi - M_y^G c \theta s \psi + M_z^G s \theta \quad (31)$$

$$I_t (\ddot{\theta}^2 + \ddot{\phi}^2 s \theta c \theta) - I_t (\ddot{\phi}^2 s \theta c \theta + 2 \ddot{\phi} \dot{\psi} c \phi) = M_x^G s \psi - M_y^G c \psi; \quad (32)$$

$$I_t I_t (\ddot{\phi} s \theta + \ddot{\psi} + \ddot{\theta} \dot{\phi} c \theta) = M_z^G \quad (32)$$

حيث أن F يعبر عنها فى مركبات B الشامل،  $M^G$  يعبر عنها فى مركبات R الموضعية :

$$I_{xx}^G = I_{yy}^G = I_i, \quad I_{zz}^G = I_i \quad (33)$$

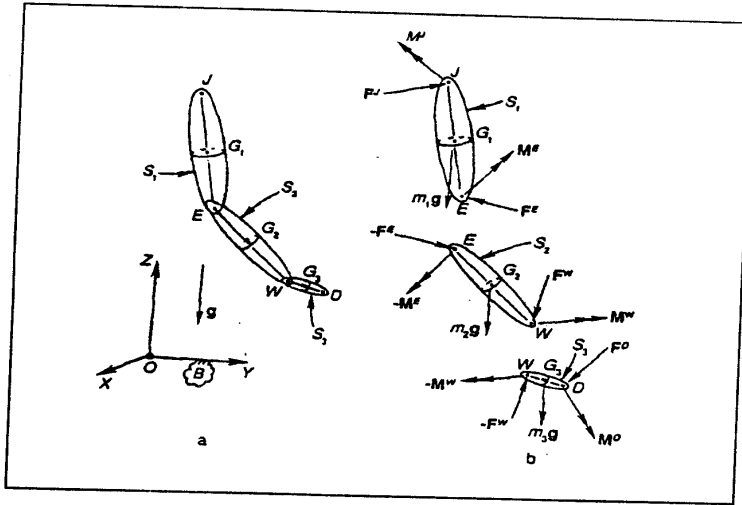
تطبيقات على معادلات لاجرانج :

#### Application of Lagrange's equations

ربما تستخدم معادلات لاجرانج لوصف سلوك (تصرف) نظم نماذج البحث فى تنوع واسع من فحوصات الميكانيكا الحيوية. تستخدم الأمثلة التالية لتوضح اشتقاقهم فى اثنين فى المواقف الجارية الشائعة.

مثال (١) : ثلاث أجزاء، نموذج عقدة واحدة لتوضيح تطبيق معادلات لاجرانج لأنظمة مشكلة كتجمعات لأجزاء صلبة كبيرة متصلة عن طريق مفاصل السلسلة الكروية، تعتبر الثلاث أجزاء الأولى نموذج

منحنى مفتوح شكل (٣-١، ب) مثل الطرف العلوى مع نقاط  $W, E, J$  ترمز إلى الكتف والكوع والرسغ على التوالي.



شكل (٣-١)

(a) ثلاث أجزاء، عقدة مفتوحة، نموذج ميكانيكى من الطرف العلوى يتحرك فى حركة عامة 3-D تنسب إلى نظام B الإحداثى الشامل OXYZ مع نقاط  $W, E, J$  تمثل مفاصل الكتف والكوع والرسغ على التوالي

وفى تركيب نموذج هذا النظام يحدد عن طريق  $1 \times 12$  متجه  $q$  الإحداثى المطلق حيث الأعضاء الثلاثة الأولى لـ  $q$  تكون أعضاء B الشاملة المستقلة الثلاثة  $(Z^J, Y^J, X^J)$  من المتجه  $I^{J/O}$  التى تحدد المفصل المتحرك (J) بالنسبة إلى (O) والأجزاء التسعة المتبقية من  $q$  تكون المجموعات الثلاثة للزوايا المستقلة للزوايا كردان  $(\phi_i, \theta_i, \psi_i; 1, 2, 3)$  التى توجه

كل عضو ( $S_1$ ) من الكتلة ( $M_1$ ) ( $R_1 : Z_1 Y_1 X_1 G_1$ ) الراسخة في  $S_1$  عند  $G_1$  بالنسبة إلى النظام الشامل  $B$  لذا :

$$q = [X^j, Y^j, Z^j, \phi_1, \theta_1, \psi_1, \phi_2, \theta_2, \psi_2, \phi_3, \theta_3, \psi_3] = [q_1, \dots, q_{11}] \quad (34)$$

معادلة اختلاف السرعة لنقطتين  $G, P$  المثبة في العضو  $S$  الصلب تأخذ الشكل التالي جرين وود (١٩٨٨م) :

$$V^G = V^P + (\Omega \times r^{G/P}) \quad (35)$$

حيث أن  $V^G$  هي سرعة  $G$ ،  $\Omega$  هي السرعة الزاوية لـ  $S$  (معطاة في مصطلحات من زوايا فردية لهذا العضو ومشتقاتهم الزمنية عن طريق معادلات (٩، ١٠)،  $V^P$  هي سرعة  $P$ ،  $r^{G/P}$  أبعاد  $G$  بالنسبة لـ  $P$  (وأيضاً يمكن التعبير عنها بمصطلحات زوايا كاردان). من هنا نبدأ بالعضو  $S_1$  والتحرك بعيداً خلال النظام المتصل، يمكن استخدام المعادلة (٣٥) بالتتابع لكتابة  $Y^G$  لكل عضو كدالة لمركبات الأجزاء  $q$  ومشتقاتهم الزمنية. عندئذ يمكن استخدام المعادلة (٢١) من خلال المعادلة (٢٤) للتعبير عن نظام الطاقة الحركية  $T$  كدالة لمركبات  $q$  ومشتقاته الزمنية بأسلوب متشابه، قانون إضافة المتجه

$$r^{G/O} = r^{G/P} + r^{P/O} \quad (36)$$

يمكن استخدام تكرارية ارتباط  $Z^i$  لكل عضو إلى  $Z^j$  والتوسع زوايا لكاردان التي توجه الثلاث أعضاء في النظام الشامل  $B$ . وهنا يمكن استخدام المعادلتين (٢٥، ٢٦) للتعبير عن نظام طاقة وضع الجاذبية ( $V$ ) كدالة لمركبات  $q$ .

يعطى نظام لاجرانج  $L$  عن طريق المعادلة (٢٧) حيث يمكن التعبير عنها حينئذ كدالة لمركبات  $q$  ومشتقاته الزمنية، وجوانب اليد اليسرى لمعادلات لاجرانج (المعادلة ٢٩) يمكن أن تنشأ بطريقة روتينية النظام  $1 \times 12$  لنشاط المبدأ العام من تفاصيل مختلفة لمتجه القوة.

$$Q' = [Q'_1, \dots, Q'_{12}]^T$$

يمكن الحصول عليه عن طريق تشييد عمل مؤثر  $\delta W$  لكل عضو  $S_1$  باستخدام معادلة (ب-١٢)، مجموع تلك الثلاثة جبرياً. مقياس يشير إلى شكل العمل الفعال النشط للنظام  $\delta W'$ ، وعندئذ تستخدم المعادلة (ب-١٣) لتحديد القوة القياسية العامة  $Q'_k$  المطابقة لكل إحداثي عام  $q_k$  ( $k=1, \dots, 12$ ) استرجاع أن قوى الجاذبية تهمل عندما نسحب كل عمل حيوى لنظام نشاط العضو، وأن محصلة القوى الناتجة للنظام المتداخل للمفصل  $W, E$  فعل شغلها الحيوى على نظام الثلاثة أعضاء صفر تماماً، هذه العملية تقود إلى النتائج التالية (أنظر الرسم البياني شكل (٢-٣)).

$$\delta W'_3 = \Sigma(\delta W'_i) = \Sigma(Q'_k \delta q_k) \quad (37)$$

حيث أن :

$$\delta W'_3 = (F^D)^T \delta r^D + (M^D - M^W)^T \delta \pi_3, \quad (38)$$

$$\delta W'_3 = (M^W - M^E)^T \delta \pi \quad (38)$$

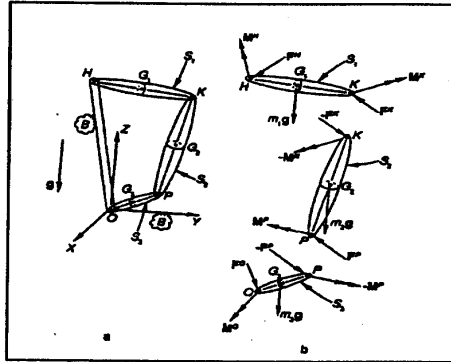
$$\delta W'_1 = (F^i)^T \delta r^i + (M^E - M^j)^T \delta \pi_i, \quad \Sigma(Q'_k \delta q_k) = (F^D)^T \delta r^D + (F^j)^T \delta r^j + (M^j)^T \delta \pi + (M^W)^T (\delta \pi_2 - \delta \pi_3) + (M^E)^T (\delta \pi_1 - \delta \pi_2) \quad (39)$$

وهنا محصلة القوى عند نظام أطراف المفاصل  $D, J$  تساهم فى نشاط القوى القياسية المطلقة  $Q'_k$  محصلة عزوم المفصل عند نظام المفاصل المتداخلة  $W, E$  تساهم فى معادلات  $Q'_k$  كدالة لدوران الحيوى للمفصل (مثل الاختلافات بين الدوران المؤثرة للجزء المجاور).

تحقق القوى المطلقة للنظام  $Q'_k$  على الجانب الأيمن لمعادلات لاجرانج (المعادلة ٢٩) من معادلة (٣٩) ومعادلات لاجرانج فى النهاية يمكن عندئذ أن تبني. عندما ننظر فى العلاقة لمشكلة ديناميكية معكوسة مشتركة، يمكن استخدام هذه المعادلات القياسية المستقلة الاثنى عشر لتحديد على الأكثر ١٢٢ معادلة كيناتيكية قياسية غير معروفة. لأن محصلات  $M^D, F^D$  عند  $D$  كما هو معروف (إما تطابق مساوى للصفر أو قياس اختياريًا أثناء

حركة النظام) تشير المعادلة (٣٩) إلى أن معادلات لاجرانج يمكن استخدامها لتحديد المعادلات غير المعروفة الحركية القياسية الاثنى عشر المتبقية (مثل: لمحصلة قوى المركبات الثلاث غير المعروفة للمفصل  $F^J$  عند  $J = 3 \times 3 + 9$  مركبات لمحصلة عزوم المفصل غير المعروفة  $M^J$  عند  $M^E J$  عند  $E$ ،  $M^W$  عند  $W$ ).

مثال (٢) : أربعة أعضاء، نموذج حلق مغلق : كتوضيح ثلثي للتطبيقات لمعادلات لاجرانج لأنظمة الأجسام المتعددة الأجزاء (الأعضاء) صلبة كبيرة متصلة عن طريق مفصلات كروية، تعتبر أعضاء رباعية، نموذج حلقة مغلق شكل (٢-٤، أ، ب)، مثلاً، اطراف السفلى مضاف لنظام عجلة ثابتة مع ثلاث أعضاء حركية- لفخذ  $S_1$ ، لساق  $S_2$ ، لقدم  $S_3$ - وهي جزء واحد ثابت- شكل العجلة الممتد يصل مركز الترس  $O$  وأعلى لفخذ  $H$  ومع حلقة متداخلة  $P, K$  تعبر عن الركبة وحلقة (تجمع) لقدم على التوالي، لاحظ أن هذا النموذج المبسط لا يسمح بحركة لقدم بالنسبة إلى لساق عند مفصل لقدم.



شكل (٢-٤)

- (a) عضو رباعي، حلقة مغلقة، نموذج ميكانيكي للطرف السفلى + نظام عجلة تتحرك عامة في ثلاث أبعاد حركية مرتبطة بنظام إحداثي شامل  $OXYZ:B$ ، مع النقاط  $P, K, H$  تمثل أعلى الفخذ والركبة وبدال الروابط على التوالي، (b) أشكال هندسية لأجسام حرة منفصلة لثلاث أعضاء لنظام متحرك



يمكن تحديد شكل نموذج هذا النظام عن طريق  $1 \times 9$  لإحداثي متجه  $q$  المطلق، حيث التسع مركبات  $q_k (k=1, \dots, 9)$  هي المجموعات الثلاثة لزوايا كاردان المستقلة  $(\phi_i, \theta_i, \psi_i, 1, 2, 3)$  التي توجه كل من حركة العضو  $S_i$  مع الكتلة  $m_i$  (أو  $R_i : G_i X_i Y_i Z_i$  راسخ في  $s_i$  عند  $G_i$  بالنسبة لنظام الشامل  $B$ . على عكس المثال السابق الذي فيه النظام لأجسام متعددة حلقة مفتوحة أخذ في الاعتبار المركبات المطلقة للمتجه  $q$  المستخدم لتخصيص شكل هذا النظام الحلقي المغلق الكافي لاستقلال المعادلات الثلاثة المقيدية القياسية. هذه المعادلات المقيدية هي المركبات الثلاثة القياسية لمتجه المعادلة الذي تعبر عنه الحقيقة التي يجب أن تسمح للأربعة أعضاء المتداخلة في النظام للتشكيل الحلقي المغلق. هذه الحلقة المغلقة يمكن التعبير عنها كما يلي :

$$r^{H/O} = r^{H/K} + r^{K/P} + r^{P/O} \quad (40)$$

حيث أن كل موضع متجه نسبي في المعادلة (٤٠) يمكن كتابته كدالة لمركبات العضو  $q$ ، لذلك تعتبر المعادلة (٤٠) التقيد الرسمي الذي يمكن كتابته في شكل المعادلة (٧) حيث أن  $c$  تكون دالة لمتجه  $1 \times 3$  لمركبات  $q$ ، والزمن لا يظهر بوضوح.

الإجراءات المماثلة في الطرق التي تقدمت في المثال السابق للحلقة المفتوحة، اسهامات العضو الفردية للطاقة الحركية للنظام  $T$ ، وطاقة جاذبية الوضع  $V$  تعتبر البناء الأول في مصطلحات التسعة القياسية المطلقة لمركبات  $q_k$  ومشتقاته الزمنية. إضافة هذه الكميات العضوية لتشكيل نظام الطاقات المتطابق، ينشأ نظام  $(L)$  للجرانج (معادلة ٢٩) يمكن تحديدها عندئذ في شكل روتيني.

يمكن الحصول على مركبات القوة للنشطة المطلقة للعضو  $Q'_k 1 \times 9$  متجه  $Q$  من إحداثيات مطلقة مقيدة، عن طريق تغيير الأعضاء المستخدمة في

المثال السابق للحلقة المفتوحة حيث الإحداثيات المطلقة  $q_k$  كانت غير مقيدة يشمل هذا التغير تقديم متجه  $U$  المتعدد لاجرانج  $1 \times 3$  غير المعروف فى التعبير  $Q$  ل معطى فى المعادلة (٢٨) حيث العمل المؤثر النشاط التام (المنهى) عن طريق تقيدات اسمية يعطى بواسطة المعادلة (١٥-ب) والقوة المطلقة النشاط المتطابقة تعطى عن طريق المعادلة (١٦-ب). هكذا بأسلوب متشابه لهذا المستخدمة فى المثال السابق للحلقة المفتوحة، الشغل المؤثر النشاط لنظام حلقى مغلق  $\delta W$  (أنظر أشكال هندسية لجسم حر شكل (٢-٤)) يمكن التعبير عنه كما يلى :

$$\delta W' = \Sigma (\delta W'_i) + \delta W_c = \Sigma (Q'_k \delta q_k) \quad (41)$$

حيث أن :

$$\begin{aligned} \delta W'_3 - (M^O - M^P)^T \delta \pi_3, \\ \delta W'_2 - (M^P - M^K)^T \delta \pi_2, \\ \delta W'_1 - (M^K - M^H)^T \delta \pi_1, \\ \delta W^c = U^T K \delta q \end{aligned} \quad (42)$$

و يمثل فعل الشغل الحيوى النشاط عن طريق المقيدات. لذا :

$$\Sigma (Q'_k \delta q_k) = (M^O)^T \delta \pi_3 + (M^H)^T \delta \pi_1 + (M^P)^T (\delta \pi_2 - \delta \pi_3) + (M^K)^T (\delta \pi_1 - \delta \pi_2) U^T K \delta q \quad (43)$$

لاحظ أن محصلة قوة المفصل لا تساهم فى كميات  $Q'_k$ ، ومحصلة العزم عن المفاصل الطرفية  $O, H$  تساهم فى الدوران الحيوى المناسب للعضو على التوالى، بينما محصلة عزوم المفصل عند المفاصل المتداخلة  $P, K$  تساهم فى الدوران الحيوى المناسب على التوالى (مثل، الاختلافات بين الدوران الحيوى للعضو المجاور).

تحدد التسع مركبات  $Q'_k$  لمتجه القوة المطلقة للنشطة  $Q'$  التى تظهر على الجانب الأيمن لمعادلات لاجرانج (معادلة ٢٩) من المعادلة (٤٣) ومعادلات لاجرانج عندئذ يمكن صياغتها هذه المعادلات التفاضيلية القياسية

المستقلة التسعة زادت عن الثلاث معادلات التقييدية الجبرية القياسية المستقلة (٤٠) لكي تشكل نظام من معادلات جبرية تفاضلية قياسية الاثنى عشر التي تحكم حركة النظام. عندما ننظر في العلاقة للمشكلة الحركية المنعكسة المشتركة فهذه المعادلات القياسية يمكن استخدامها لتحديد على الأكثر أجزاء قياسية غير معروفة لعزم وقوى خارجية المطبقة التي تؤدي عمل فعال على النظام أثناء إزاحة فعالة مسلم بها حركية. لأن المعادلة (٤٣) تشمل ١٥ كمية حركية وقياسية (عزم ناتج لحلقة رباعية، كل مع ثلاث أجزاء قياسية يضاف إليه الأجزاء الثلاثة القياسية لمتجه  $U$  للاجرائات المتعدد). حددت المشكلة الحركية العكسية القياسية المشتركة سابقاً عن طريق بعض الطرق الأخرى (عن طريق قياس اختياري واحد من محصلة العزوم) هذه الصعوبة هي ظاهرة مميزة تشترك مع الحل لكل المشاكل الحركية المنعكسة للحلقة المغلقة غير النسبية سواء استخدمت معادلات ايولير أو معادلات لاجرانج لوصفي حركة النظام.

قبل ترك هذا المثال من المناسب مناقشة المفاهيم الهامة لدرجات الحرية Degree of freedom والإشارة إلى كيف يمكن تقديم المقيدات البسيطة على المفصل في التحليل ببساطة عدد درجات الحرية لأي نظام ميكانيكي هي عدد المركبات المطلقة المستخدمة لتخصيص شكله ( $n$ ) مطروح منها عدد معادلات التقييد المستقلة لتلك المركبات المطلقة الواجبة خلال حركة النظام ( $m$ ). لذا في المثال الأول حيث أن كانت المركبات غير المقيدة ١٢ استخدمت لوصف شكل النظام،  $n=12$ ،  $m=5$ ، وعدد درجات الحرية تعادل لذلك ١٢. بالتأكيد، نموذج للنظام في المثال الثاني اشتمل على ٩ مركبات مطلقة التي يجب أن تكفي ثلاث معادلات تقييدية اسمية مستقلة (معادلة ٤٠). في هذه الحالة  $n=9$ ،  $m=3$ ، ولذلك عدد درجات الحرية مهم جداً في الديناميكا لأن :

أ- خصائص أى نظام مستقل لمجموعة خاصة لمركبات مطلقة  $n$  تستخدم لوصف شكل النظام.

ب- تشير إلى كيف يكون عدد تلك المركبات  $n$  مستقلاً.

ج- وهى كذلك تحدد عدد الأحوال الابتدائية التى يمكن تخصيصها بطريقة تحكمية وبطريقة مستقلة لحل المشكلة الديناميكية بمساعدة مباشرة حيث أن المعادلات التفاضلية للنظام يجب أن تتم للحصول على حل منفردة لحركة النظام (مثال: يعادل العدد مرتين عدد درجات الحرية، وتحديد كل من التشكيل الابتدائى للنظام وحالة سرعته الابتدائية بطريقة فردية).

لتوضيح كيفية التقيدات البسيطة على حركة الفصل يمكن تقديمها بطريقة مناسبة من خلال التحليل، تعتبر التعديل فى المثال الثانى حيث الربط عند النقطة  $O$  يكون الآن مدار بسيط مع محورها مثبت لتتسيق مع محور  $X$  للنظام  $B$  الشامل (أنظر شكل ٤). فى هذه الحالة التوجيه  $(S3)$  مفيد مثل هذا كل من  $\theta_3$ ،  $\psi_3$ ،  $(q9)$  يجب أن يظل مساوياً للصفر، أثناء حركة النظام  $\theta_3$  (97) ويمكن فقط التتويج. هذا التقيد يمكن افتراضه إما على كل المركبات المطلقة التسعة لكن بالإضافة إلى الثلاث معادلات التقيدية المغلقة الاسمية المستقلة (معادلة ٤٠) اثنين من المعادلات التقيدية الاسمية المستقلة.

$$Q8 = 0, q9 = 0 \quad (44)$$

من هذا العدد الفريد لدرجات الحرية لهذا النموذج الإضافى لمثال التقيد يعطى إما فى الحالة الأولى عن طريق  $(9-2) - 3 = 4$  أو فى الحالة الثانية  $9 - (2+3) = 4$ . الاختيار المفضل بين تلك الاختيارين هو الأول لأنه يقلل عدد معادلات لاجرانج التى يجب أن تحدث لتصف حركة النظام مع ذلك معادلات تقيدية اسمية لتقليل عدد المركبات المطلقة ليست دائماً الاختيار الملائم من المنظور التحليلي على سبيل المثال بسبب الطبيعة الفائقة للمعادلات الثلاثة التقيدية (معادلة ٤٠) تعتبر إلى حد ما معرقل لاستخدامها

لتقليل المجموعة الابتدائية للمركبات التسعة المطلقة غير المستقلة لمجموعة المركبات الستة المطلقة المستقلة.

#### مناقشة : Discussion

فيما يلي وصف مختصر لعملية بناء معادلات ايولير ولاجرانج لنماذج ميكانيكية متعددة الأجسام المركبة من أعضاء صلبة كبيرة متداخلة عن طريق روابط ممهدة ومتحركة في ثلاث أبعاد تخضع إلى نظام ازدواج القوى الخارجية العامة والتقييدات المتطابقة.

مثل هذه النماذج تستخدم غالباً في فحوصات ميكانيكية حيوية ومعادلات ايولير ولاجرانج بالرغم من الاهتمام الخاص والأهمية لا تعتبر معادلات عادية من الدرجة الثانية فقط التي يمكن أن تحدث وتستخدم لوصف وتحليل سير النموذج.

تذكر أن هناك يوجد معادلات تفاضلية من الدرجة الأولى تمثل التكامل للحركة (مثل: تكامل طاقة الشغل وتكامل كمية الحركة الخطية والدفع الزاوي) التي ربما نشق وتستخدم للحصول على معلومات قيمة عن السلوك الحركي للنظام ومن المهم أيضاً ملاحظة أن يوجد الآن تنوع من حزم برامج كمبيوتر تقليدية التي تسهل إنتاج وحل معادلات الحركة والتقييد للنماذج الميكانيكية لأنظمة جسم متعدد متصل.

تتشير المادة المقدمة في هذه المقالة إلى كون نوع من نماذج النظام تراعى معادلات ايولير تكون نوعاً ما أسهل للإنتاج من معادلات لاجرانج، وأن معادلات ايولير يجب أن تستخدم عندما محصلة القوى غير العاملة يشتمل عليها التحليل، معادلات لاجرانج تكون نوعاً ما أكثر صعوبة للمركبات لأنها تتطلب بالإضافة إلى ما يلزم لمعادلات ايولير لاستخدام

التصور لعمل فعال ليحدد القوة المطلقة النشطة  $Q$  التي تكون مسئولة عن حركة النظام.

مقارنة المجموعة الأولى لايولير للمجموعات الثلاثة (معادلة ١٨) بالمعادلات الثلاثة الأولى للاجرائج (معادلة ٣٠) تبين أنهما متطابقتين كذلك بالمثل المعادلة السادسة للاجرائج (معادلة ٣٢) تكون متطابقة للثالثة من المعادلات الثلاث من مجموعة ايولير الثانية (معادلة ٢٠).

فى النهاية يمكن عرضها عن طريق معالجة جبرية للمعادلات الجبرية الرابعة والخامسة للاجرائج (معادلة ٣١) يمكن الحصول عليها كتركيبات خطية للمعادلات الثلاثة لمجموعة ايولير الثانية (المعادلة ٢٠) ومن هنا فى مصطلحات لمركبات مطلقة تستخدم فى هذه المقدمة لتحديد تركيب  $S$  فى نظام  $B$  الشامل، ومعاملات لاجرائج، وايولير تكون معادلات تفاضلية عادية من التركيب الثانى القياسى المستقلة الستة لأنظمة متساوية تماماً ومتطابقة تقريباً التى تحكم حركة الثلاث أبعاد  $S$  فى  $B$ .

بدون الالتفات إلى أنه سواء كانت معادلات ايولير أو لاجرائج تكون مبنية فإنه من الضرورى دائماً لاختيار مجموعة مناسبة من المركبات المطلقة لوصف تشكيل النظام لإنشاء الاستقلال لكل المعادلات التقيدية. إن هذه المركبات يجب أن تكفى أثناء حركة النظام، هذه العملية ربما تكون مهمة أكثر تحدياً تواجه حتى المحلل المجرب لأنها غالباً تشمل التوازن لأهداف متسارعة أحياناً (بساطة تحليلية ضد سهولة التفسير المادى).

اهتمام خاص فى هذا الاعتبار هو اختيار مركبات ذات زوايا تستخدم لتحديد توجيه الجزء وتتواجد إمكانيات عديدة (زوايا سقوط، زوايا توجيه، زوايا ايولير، زوايا فردية... الخ). الاعتماد على كيفية استخدام معادلات الحركة لتفسير الاتجاه ضد للمشكلة الديناميكية المنعكسة، اختيار المركبات

ذات زوايا مستقلة (ثلاث زوايا فردية تستخدم في هذا الفرض ضد تسع زوايا توجيهية غير مستقلة) يمكن أن تؤدي إلى مشاكل عنيفة (مثل gimbal lock) التي تستطيع جعل تكامل معادلات الحركة صعب إذا لم يكن مستحيل. هناك أمر مهم أيضاً يشترك مع الاختيار لمركبات ذات زوايا إما من أجل أنظمة أجسام متعددة متصلة، كل توجيه جزء يجب أن يحدد بالنسبة إلى نفس هيكل B مرجع شامل (كما يحدث هنا استخدام زوايا فردية مستقلة لتلائم بساط التحليل) أو بالنسبة إلى جزء قريب مجاور ما عدا قطاع استشهاد واحد في النظام المتصل، الاختيار الأخير غالباً يصعب تحليله مع ذلك ربما يؤيد مرتكز على مثل هذه الاعتبارات مثل الأسلوب في أي حركات متجمعة كثيراً ما توصل (مرونة جزء الحلقة البعيدة إلى جزء الحلقة المجاورة) السهولة المشتركة لحركات الحلقة مسلم بها تقيدية عندما يكون هذا مناسب (معامل الركبة كحلقة التي لا تسمح أبعاد أو قنوم) والقدرة لنسب محصلة القوى والعزم إلى تركيبات حلقة فردية التي تقدم هذه الكميات الحركية (عضلات، أربطة وعظام).

أخيراً، يجب أن نتأكد أن كل من معادلات لاجرانج وإبولير يمكن استخدامها بتوافق لتحليل ليس فقط حركة الأبعاد الثلاثة لأجزاء صلبة لأنظمة أجسام متعددة ولكن أيضاً لحركات البعدين وحالتهم المتوازنة. في حالات عديدة شرعية النموذج يتطلب البناء والتفسير بمعادلات الأبعاد الثلاثة للأفراد بأن الأخطاء المشتركة مع النموذج المبسط اختيرت للاستخدام تكون في الحقيقة يمكن إهمالها ولذلك تجاهلها بطريقة أمانة للنشاط تحت الفحص.

## الملخص : Summary

تشتمل أبحاث الميكانيكا الحيوية فى الغالب على نموذج مبسط لميكانيكا أداء الإنسان فى أى نشاط لاشتقاق وحل المعادلات التى تحكم نموذج السلوك، ومصادقية إعادة تكرار النموذج. وأحد للنماذج الأكثر انتشاراً فى الميكانيكا الحيوية تمثل جسم الإنسان بمجموعة من الأجزاء الصلبة كثنى مترابط لتطبيق القوى الخارجية والعزم (مثل تأثير قوة الجاذبية الأرضية)، والمعادلات المناسبة والأكثر استخداماً والمتحركة فى حركة الأبعاد الثلاثة فى أكبر النماذج ربما يتم الحصول عليها عن طريق طرائق متنوعة وترجع إلى أسماء مختلفة أو معادة (مثل معادلات كانتى وليفنسون وكانى، ولانجرانج، معادلات ايولير، ماك جيل، وهوج... وهكذا).

وتعتبر معادلات كل من ايولير ولانجرانج أنسب المعادلات التى يمكن عن طريقهما إنتاج الكثير من النماذج المبسطة.

ويمكن تمثيل النظام الطبيعى المخصص عن طريق تبسيط نموذج ميكانيكى يتكون من تجميع الأجزاء الصلبة المتماسكة المرتبطة عن طريق الوصلات الملساء والكروية (مثل مفصل الكرة والحق). ويتضمن نظام تعديل العناصر وتمثيلها أجزاء المفاصل عن طريق نماذج وصلة أكثر تعقيداً (مثل السماح للاتصال النسبى الجزئى فى الوصلة المحاورة التى تقاوم عن طريق الانطلاق، والانتقال) وما خلف إلقاء الضوء على هذا التحليل.



## اختبر معلوماتك :

- ١- اشرح نظام النمودج؟
- ٢- اشرح نظام الإحداثيات والمقيدات؟
- ٣- ما هي الأسس النظرية الواجب التآلف معها لإجراء التحليل البيوميكانيكي؟
- ٤- اشرح مثال لثلاث أجزاء لتوضح تطبيق معادلات لاجرانج لأنظمة مشكلة تجمعات لأجزاء كبير صلبة عن طريقة السلسلة الكروية؟

## المراجع

- 1- Crowninshield, R.D. & Brand, R.A.: (1981), The prediction of forces in joint structures: Distribution of intersegmented resultants. In D.I. Miller (Ed.), Exercise and sports science reviews, Vol. 9 (pp. 159-181). Philadelphia: Franklin Institute Press.
- 2- Greenwood, D.T.: (1988), Principles of dynamics (2<sup>nd</sup> ed.), Englewood Cliffs, N.J: Prentice Hall.
- 3- Haug, E.J.: (1992), Intermediate dynamics, Englewood Cliffs, NJ: Prentice Hall, Kane, T.R. & Levinson, D.A. (1985), Dynamics: Theory and applications, New York: McGraw Hill.
- 4- McGill, D.J. & King, W.W.: (1989), Engineering mechanics: an introduction to dynamics (2<sup>nd</sup> ed.), Boston: PWS- Kent, Wittenberg, J. (1977), Dynamics of systems rigid bodies. Stuttgart: Teubner.

ملحق A

Appendix A

اتجاه الجسم الصلب والسرعة الزاوية باستخدام زوايا كاردان  
Rigid Body Orientation and angular velocity using cardian angles

يشير Wittenberg (١٩٧٧م) إلى أن زوايا كاردان Cardan الثلاثة  $\phi$ ,  $\theta$ ,  $\psi$  يختص استخدامها في توجيه الجزء الصلب S أو توجيه أى موضع لنظام إحداثى متعامد GXYZ: R وجعله جزء لا يتجزأ من S عند مركز ثقله G وبوحدة الكميات المتجهة i, j, k بالنسبة لأى نظام إحداثى شامل متعامد (القصور الذاتى) OXYZ: B (بنقطة أصل O واتجاه المحور Z عمودى لأعلى، ووحدة الكميات المتجهة i, j, k).

من أجل التبسيط والملاءمة نسلم بأن المحور الخاص بنظام الموضع R، والنظام الشامل B global system مبدئياً متماثل (مثل مرور خط G بنقطة الأصل O)، وبداية توجيه R يرمز له بالرمز  $GXiYjZk$ :  $Ri$  بوحدة الكميات المتجهة :

$$i_1 = I; j_i = J; k_i = k$$

للحصول على أى تحكم فى التوجيه النهائى لنظام موضع R (أو S) بالنسبة للنظام الشامل B أقر تتبع الدورانات البسيطة التالية :

١- أى دوران ابتدائى لتوجيه R ( $Ri$ ) خلال زاوية كاردان  $\phi$  حول المحور  $Xi=X$  (شكل A-١)، النتيجة فى اتجاه جديدى لى  $Ri$  يرمز لها بالرمز  $R2: GX_2Y_2Z_2$  بوحدة الكميات المتجهة i, j, k حيث أن :

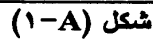
(A-1)

ايضاها بالعلاقة التالية :

(A-2)

**R3:GX<sub>3</sub>Y<sub>3</sub>Z<sub>3</sub> بوحدة الكميات المتجهة k<sub>3</sub>, j<sub>3</sub>, i<sub>3</sub> حيث أن:**

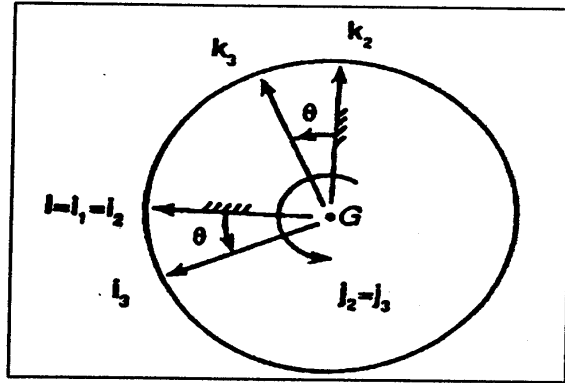
**(A-3)**



الإحداثي B:OXYZ -R1: FX<sub>1</sub>Y<sub>1</sub>Z<sub>1</sub> (بوحدات الكميات المتجهة k,j,i)

السرعة الزاوية لى R3 بالنسبة إلى R2، يرمز لها بالرمز  $\Omega_{3/2}$ ، ويمكن توضيحها :

$$\Omega_{3/2} = \dot{\phi} j_3$$



شكل (أ-٢)

زاوية كاردان التى توجه وحدة الكميات المتجهة  $i_3, j_3, k_3$  للنظام الإحداثى المتوسط الثانى  $R3: GX_3Y_3Z_3$  بالنسبة لوحدة الكميات المتجهة  $k_2, j_2$  للمتوسط الأول  $R2: GX_2Y_2Z_2$  للنظام الإحداثى المتوسط الأول

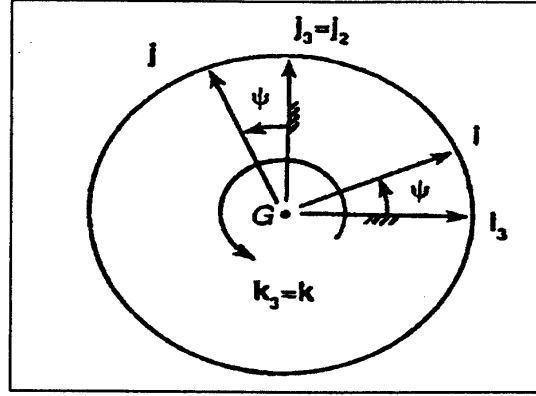
٣- الدوران النهائى لى R3 خلال زاوية كاردان  $\psi$  حول المحور Z شكل (أ-٣)، النتيجة اتجاه جديد لى R3 يرمز له بالرمز  $R: GXYZ$  بوحدة الكميات المتجهة  $i, j, k$  حيث أن :

$$\begin{aligned} i_3 &= c\psi i - s\psi j \\ j_3 &= S\psi i + c\psi j, \\ k_3 &= k \end{aligned} \quad (A-5)$$

السرعة الزاوية لى R (أو S) بالنسبة لى R3 يرمز لها بالرمز  $\Omega_{R/3}$  ويمكن توضيحها :

$$\Omega_{R/3} = \dot{\psi} k$$

(A-6)



شكل (A-3)

زاوية كاردان التي توجه وحدة الكميات المتجهة  $i, j, k$  لموع نظام الإحداثي  $R: GXYZ$  بالنسبة لوحدة الكميات المتجهة  $i_3, j_3, k_3$  للنظام الإحداثي المتوسط الثاني  $R_3: GX_3Y_3Z_3$

تصغير  $\Omega^{R/B} = \Omega$  تشير إلى السرعة الزاوية لـ  $S$  (أو لموضع نظام  $R$  المتحد مع  $S$  كجزء واحد عند  $G$ ) بالنسبة للنظام الشامل  $B$ ، واستخدام الكميات المتجهة كقانون إضافي،  $\Omega$  (السرعة الزاوية) يمكن ايضاحها :

$$\Omega = \Omega_{R/3} = \Omega_{R/3} + \Omega_{3/2} + \Omega_{2/B} = \dot{\psi} k + \dot{\theta} j_2 + \dot{\phi} i_2 \quad (A-7)$$

باستخدام معادلات وحدة الكمية المتجهة للانتقال (A-3)، (A-6)،  $\Omega$ ،

في المعادلة (A-7) يمكن إعادة صياغتها في موضع إحداثيات  $R$ .

$$\Omega = \Omega_x i + \Omega_y j + \Omega_z k = k \quad (A-8)$$

حيث :

$$\Omega_x = \dot{\phi} c\theta c\psi + \dot{\theta} s\psi; \Omega_y = -\dot{\phi} c\theta s\psi + \dot{\theta} c\psi; \quad (A-9)$$

$$\Omega_z = \dot{\phi} s\theta + \dot{\psi}$$

تنبيه : دالة خطية للزمن - ومشتقات الثلاث زوايا لكاردان التي توجه S في النظام الإحداثي الكروي B. تفاضل مركبات السرعة الزاوية  $\Omega$  للموضع R في المعادلة (A-9) بالنسبة للزمن يعبر عنها جبراً كما يلي :

$$\begin{aligned} \dot{\Omega}_x &= \ddot{\phi} c\theta c\psi - \dot{\phi} \dot{\theta} s\theta c\psi - \dot{\phi} \dot{\psi} c\theta s\psi + \ddot{\theta} s\psi + \dot{\theta} \dot{\psi} c\psi, \\ \dot{\Omega}_y &= -\ddot{\phi} c\theta s\psi + \dot{\phi} \dot{\theta} s\theta s\psi - \dot{\theta} \dot{\psi} c\theta c\psi + \ddot{\theta} c\psi - \dot{\theta} \dot{\psi} s\psi, \quad (A-10) \\ \dot{\Omega}_z &= \ddot{\phi} s\theta + \dot{\phi} \dot{\theta} c\theta + \ddot{\psi} \end{aligned}$$

## ملحق B

### Appendix B

#### مفاهيم الشغل الفعال

#### Virtual Work Concepts

يحدث الشغل الفعال بواسطة القوى الخارجية وفعل العزوم على العضو الصلب S الذى يمكن الحصول عليه عن طريق تحديد الشغل التام بواسطة هذه الكميات الديناميكية، تعامل كمتجهات ثابتة أثناء إزاحة مؤثرة سلم بها حركياً لنقاط تطبيق القوى والدورات المؤثرة المسلم بها حركياً للعضو جرين وود (١٩٨٨م).

#### إزاحات فعالة ودورات مؤثرة :

##### Virtual displacements and virtual rotations

إزاحة مؤثرة مسلم بها كينماتيكياً لنقطة A مثبتة فى S تكون إزاحة دقيقة جداً لـ A (تفاضلية من الدرجة الأولى) التى تحدث يتوقف وقت ثابت ومتطابق مع التقيدات (معادلة ٧) وبالعكس تكون تعسفية. إزاحة فعالة لنقطة A المثبتة فى S توجد مباشرة من  $V^A$ ، متجه  $1 \times 3$  الذى يشير إلى سرعة A لاستعادة ذلك  $V^A$  يمكن دائماً التعبير عنه فى مصطلحات  $\Omega$ ،  $V^A$  (جرين وود ١٩٨٨م).

$$V^A = V^G + \Omega \times R^{A/G},$$

حيث  $R^{A/G}$  تحدد A بالنسبة إلى G، واستعادة معادلات (٨)، (٩)، (١٠) تشير إلى أن  $V^G$ ،  $\Omega$  تكون كل من الوظائف الخطية لأجزاء q الستة، من هنا فإنه من الممكن دائماً التعبير عن  $V^A$  فى الشكل (١-B).



$$V^A = D^A \dot{q} + E^A, \quad (B-1)$$

حيث  $D^A$  تكون دالة مصفوفة  $6 \times 3$  نقطة غير مستقلة مناسبة  $q$  و  $E^A$  إذا تواجدت تكون دالة متجه  $1 \times 3$  المتطابق ل  $q$  إعادة كتابة معادلة B-1 في شكل مثير.

$$D r^{A/O} = D d q + e^A d t \quad (B-2)$$

الإزاحة الفعالة ل  $A$  المثبتة في  $S$  يشار إليها عن طريق  $\delta R^A$  والتي يمكن الحصول عليها عن طريق احلال كل  $d$  في معادلة B-2 وحينئذ تركيب  $\delta t =$  صفر من هنا

$$\delta r^A = D^A \delta q \quad (B-3)$$

حيث متجه  $1 \times 6$   $\delta q = \{\delta X^G, \delta Y^G, \delta Z^G, \delta \phi, \phi \psi\}^T$  تشير إلى التغير الفعال في متجه مركبات مطلقة للعضو  $q$ . الدوران الفعال  $S$  يوجد بطريقة مباشرة من المتجه  $1 \times 3$   $\Omega$  الذي يشير إلى الدوران الفعال ل  $S$  لأن المعادلات (٩)، (١٠) تشير إلى أن  $\Omega$  تكون الدالة الخطية  $\Omega$  و  $q$  يمكن التعبير دائماً عنها.

$$\Omega = J \dot{q} + h; \quad (B-4)$$

حيث  $J$  تكون مصفوفة دالة  $6 \times 3$  ل  $q$  جزء غير مستقل مناسب و  $h$  إذا تواجدت تكون دالة متجه  $1 \times 3$  ل  $q$  المتطابق واستخدام الافتراض الملائم أن  $\Omega$  يمكن التعبير عنها كاشتقاق لمتجه  $1 \times 3$   $\pi$ ، معادلة B-4، يمكن كتابتها في شكل تفاضلي

$$D \pi = J d q + h d t \quad (B-5)$$

الدوران المؤثر  $S$  يشار إليه عن طريق  $\delta \pi$ ، ويمكن الحصول عليه عن طريق احلال كل  $D$  في معادلة B-5 مع  $\delta$  وحينئذ تركيب  $\delta t=0$  ومن هنا :

$$\delta \pi = J \pi q \quad (B-6)$$

إذا قيد متجه  $q$  مركبة مطلقة للجزء عن طريق معادلة (٧) حينئذ اشتقاق الزمن لمعادلة (٧) يجب أيضاً أن يكفى أثناء حركة النظام بأجزاء  $q$  ويمكن دائماً كتابتها بالشكل

$$\dot{c} = K \dot{q} + 1 = 0 \quad (B-7)$$

حيث  $K$  تكون مصفوفة دالة  $mx6$  جزء غير مستقل مناسب  $q$  و ١ إذا تواجد يكون دالة المتجه  $mx1$  المتطابق  $q$ .

إعادة كتابة معادلة B-7 في شكل تفاضلي مثير تكون :

$$K \frac{d q}{dt} + 1 = 0 \quad (B-8)$$

المعادلة التقييدية المتجهة التي يجب أن تكفى عن طريق كل التغيرات الفعالة المسلم بها حركياً في متجه مركبات مطلق للجزء يشار إليها عن طريق  $\delta q$  ويمكن الحصول عليها عن طريق استبدال كل  $d$  في المعادلة B-8 مع  $\delta$  وحينئذ تتركب  $\delta t=0$  ومن هنا  $\delta q$  المسلم بها حركياً يجب أن تكفى.

$$K \delta q = 0 \quad (B-9)$$

عمل مؤثر وقوة فعالة : Virtual work and generalized force  
العمل المؤثر التام عن طريق قوة  $F^A$  تطبق عند نقطة المثبتة في  $S$  ويشار إليها عن طريق  $\delta W^F$  يكون العمل التام عن طريق  $F^A$  أثناء إزاحة مؤثرة مسلم بها حركياً لـ  $A$  هكذا :

$$\delta W^F = (F^A)^T \delta r^A, \quad (B-10)$$

حيث  $F^A$  تعامل كمتجه ثابت أثناء  $\delta r^A$  والعنوان  $T$  يشير إلى التغير بالتشابه للعمل المؤثر التام عن طريق زوج من العزم التام  $M^A$  المطبق لـ  $S$  عند النقطة  $A$  المشار إليها عن طريق  $\delta W^M$  يكون العمل التام عن طريق  $M^A$  أثناء دوران مؤثر مسلم به حركياً لـ  $S$  هكذا :

$$\delta W^M = (M^A)^T \delta \pi \quad (B-11)$$

حيث  $M^A$  تعامل كمتجه ثابت أثناء  $\delta\pi$ ، العمل المؤثر الإجمالي على  $S$  عن طريق نظام ازدواج القوة الخارجية، يشار إليه عن طريق  $\delta W$  يكون فقط القيمة الجبرية للعمل المؤثر التام عن طريق كل قوة وكل عزم خارجي الذي يؤثر في  $S$  هكذا.

$$\delta W = \Sigma(\delta W^F) + \Sigma(\delta W^M) = \Sigma[(F^A)^T \delta r^A] + \Sigma[(M^A)^T \delta \pi] \quad (B-12)$$

حيث العنوان  $A$  ينوب عن أى نقطة عند أى قوة خارجية  $F^A$  أو عزم خارجي  $M^A$  يطبق على  $S$ .

معادلات معوض عنها (B-12)، (B-6)، (B-3) تنتج :

$$\delta W = (\Sigma[(F^A)^T D^A] + \Sigma[(M^A)^T]) \delta q - Q^T \delta q = \delta q^T Q \quad (B-13)$$

حيث (B-14)

$$Q = \Sigma[(D^A)^T F^A] + \Sigma(J^T M^A) \quad (B-14)$$

تكون المتجه للقوة المطلقة  $1 \times 6$  المطابق لقطاع  $q$  متجه أحداث

مطلق  $1 \times 6$ .

معادلة (B-14) تستخدم لتحديد  $Q$  لحظة القوى الخارجية  $F^A$  والعزم الخارجي  $M^A$  المؤثر على  $S$  قد تحقق ولحظة كل الكميات الحركية المناسبة ( $D_A$  لكل قوة  $F^A$ ،  $J$  للجزء) قد تحددت فى غياب المعادلات التقييدية (معادلات ٧)، أجزاء  $q$  تكون مستقلة وعملية تحديد  $Q$  من معادلة B-14 تكون مستقيمة وبالرغم من ذلك أحياناً تعارض.

ومع ذلك إذا قيبت أجزاء  $Q$  عن طريق المعادلات (٧) أجزاء  $\delta q$  يكون أيضاً غير مستقل ويجب أن تكفى معادلة B-9 لى تكون مسلم بها حركياً، فى مثل هذه الظروف الاشتقاق لمعادلات لاجرانج تتغير عن طريق استحضار نظرية لاجرانج المضعفة (هوج ١٩٩٢) هذه النظرية تؤكد تواجه

متجه  $\mu$  لاجرانج المضاعف  $mx1$  الوحيد لكن غير معروف السبب الذى ينسب إليه مباشرة إلى متجه  $q$  القوى المطلقة المشتركة مع التقييدات المحددة عن طريق معادلة (٧).

العمل المؤثر التام عن طريق هذه التغيرات الاسمية يشار إليها عن

طريق  $\delta W$  ويمكن التعبير عنها

$$\delta W^c = (Q^c)^T \delta q = \delta q^T Q^c \quad (B-15)$$

حيث

$$Q^c = K^T \mu \quad (B-16)$$

تمثل متجه القوة المطلقة المتطابقة للتقييدات الاسمية المعبر عنها عن

طريق معادلات (٧). المصفوفة التقييدية  $K$  و  $mx6$  يمكن الحصول عليها من

معادلة (B-7) والإشارة السالبة فى معادلة (B-16) تكون تقليدية عندما

$\delta W^c$  من معادلة (B-15) تحتوى على معادلة جبرية لعمل مؤثر إجمالى

يعطى عن طريق معادلة (B-13) متجه  $Q$  القوة المطلقة الإجمالية فى معادلة

(B-14) تصبح :

$$Q = \Sigma [(D^A)^T F^A] + \Sigma (J^T M^A) - K^T \mu \quad (B-17)$$

من هنا منحني الأحداث المطلق  $q$  قيد عن طريق معادلات (٧) متجه

القوى المتطابق  $Q$  يحدد من معادلة (B-17) من متجه  $\mu$  للاجرانج  $mx1$  غير المعروف.

لتجنب شمول القوى التجاذبية مرتين فى معادلة لاجرانج (فى طاقة

وضع التجاذبية  $V$  ومرة ثانية فى القوى المطلقة  $Q$ ) القوى التجاذبية تحذف

من المقدار الأول على الجانب الأيمن لمعادلة (B-17) لكل جزء، وسوف

نترك ما يشار إليه هنا مثل متجه القوى المطلقة النشطة ويشار إليه عن

طريق  $Q$  الإحصاء أن النظام الميكانيكى يتركب من اثنين أو أكثر من

الأجزاء الصلبة المتداخلة عن طريق روابط كروية ممهدة، محصلة القوى

التي تؤثر على القطاعات المجاورة لا تعمل شبكة عمل مؤثرة على النظام أثناء قبول  $\delta q$  حركياً.

من هنا فهم سوف لا يساهموا لـ  $Q$  للنظام لذلك يمكن تجاهلهم على العكس مع ذلك على محصلة العزم الذي يؤثر على الأجزاء المتجاورة تفعل عامة بعض العمل الشبكي على النظام أثناء  $\delta q$  المسلم به حركياً.

ومن هنا محصلة العزم لا يجب أن ينكر عندما تشيد  $Q$  باستخدام معادلة (B-17).

## ملحق C

### Appendix C

#### معادلات لاجرانج لقطاع S صلب فردي

استعادة أن (C-1)

$$q = [X^G, Y^G, Z^G, \phi, \theta, \psi]^T = [q_1, \dots, q_6]^T$$

تكون المتجه الإحداثي المطلق الذي يحدد تشكيل S في نظام B الكروي ومحاور النظام الموضعي GXYZ: تكون المحاور الرئيسية للقصور الذاتي الراسخ في S عند G مع المحور Z محور طولي لتتاسق كتلي وهندسي.

من هنا كل النتائج الثلاثة للقصور الذاتي تتلشى عندما مصفوفة القصور الذاتي لمركز الكتلة  $I^G$  يعبر عنه في موضع أجزاء R والعزم الرئيسي المطابق للقصور الذاتي يمكن التعبير عنه.

$$I_{xx}^G = I_{yy}^G = I_t; I_{zz}^G = I_t \quad (C-2)$$

سرعة G يشار إليها عن طريق  $V^G$  تعطى في أجزاء B الشامل عن طريق معادلة (٨) وسرعة S ذات الزوايا يشار إليها بواسطة  $\Omega$  وتعطى في أجزاء R الموضعية بواسطة معادلة (٩) حيث هذه الأجزاء R من  $\Omega$  ويعبر عنها في المصطلحات من أجزاء تكوينات q ومشتقاتهم في معادلات (١٠) واستخدام معادلات (٢١) إلى آخر (٢٧) للاجرانج لحركة S يمكن الآن التعبير عنها في مصطلحات لأجزاء Q ومشتقاتهم.

$$L = (1/2)m[(\dot{X}^G)^2 + (\dot{Y}^G)^2 + (\dot{Z}^G)^2] + (1/2)(\dot{\phi}^2 c^2 \theta + \dot{\theta}^2) \quad (C-3)$$

$$+ (1/2) / (\dot{\phi}^2 s^2 \theta + 2\dot{\phi}\dot{\psi} s\theta + \dot{\psi}^2) = m g z^G.$$

باستخدام معادلة (C-3) مصطلحات الجانب الأيسر من معادلات لاجرانج (معادلة ٢٩) يمكن الآن الحصول عليها

$$\begin{aligned}
 d(\partial L / \partial \dot{q}_1) / dt &= d(\partial L / \partial \dot{X}^G) / dt = d(m \dot{X}^G) / dt = m \ddot{X}^G; \\
 \partial L / \partial q_1 &= \partial L / \partial X^G = 0 \\
 d(\partial L / \partial \dot{q}_2) / dt &= d(\partial L / \partial \dot{Y}^G) / dt = d(m \dot{Y}^G) / dt = m \ddot{Y}^G; \\
 \partial L / \partial q_2 &= \partial L / \partial Y^G = 0 \\
 d(\partial L / \partial \dot{q}_3) / dt &= d(\partial L / \partial \dot{Z}^G) / dt = d(m \dot{Z}^G) / dt = m \ddot{Z}^G; \\
 \partial L / \partial q_3 &= \partial L / \partial Z^G = -mg \\
 d(\partial L / \partial \dot{q}_4) / dt &= d(\partial L / \partial \dot{\phi}) / dt = d[I_1 \dot{\phi}^2 c^2 \theta + I_1 (\dot{\phi}^2 s^2 \theta + \dot{\psi} s \theta)] / dt \\
 &= I_1 (\ddot{\phi}^2 c^2 \theta - 2 \dot{\phi} \ddot{\phi} s \theta c \theta + I_1 (\ddot{\phi}^2 s^2 \theta + 2 \dot{\phi} \ddot{\phi} s \theta c \theta + \ddot{\psi} c \theta); \partial L / \partial q_4 = \partial L / \partial \phi = 0 \\
 d(\partial L / \partial \dot{q}_5) / dt &= d(\partial L / \partial \dot{\theta}) / dt = d(I_t \dot{\theta}) / dt = O_t \ddot{\theta}; \\
 \partial L / \partial q_5 &= \partial L / \partial \theta = -I_t \dot{\phi}^2 s \theta c \theta + I_t (\dot{\phi}^2 s \theta c \theta + \dot{\phi} \dot{\psi} c \theta) \\
 d(\partial L / \partial \dot{q}_6) / dt &= d(\partial L / \partial \dot{\psi}) / dt = d[I_t \dot{\phi} s \theta] + \dot{\psi} / dt \\
 &= I_t (\ddot{\phi} s \theta + \dot{\phi} \ddot{\theta} c \theta + \ddot{\psi}); \\
 \partial L / \partial q_6 &= \partial L / \partial \psi = 0
 \end{aligned}$$

للحصول على مصطلحات الجانب الأيمن لمعادلات لاجرانج (٢٩) أو تكوينات Q متجه القوى المطلقة النشطة، المعادلة الجبرية للعامل المؤثر يجب أن تبنى أولاً. استخدم معادلة (B-12) وبحذف القوى التجاذبية من نظام ازدواج القوة الخارجية للجزء (لتجنب شمولها مرتين في معادلة لاجرانج) العمل المؤثر للجزء النشط  $\delta W$  يمكن دائماً التعبير عنه.

$$\delta W' = (F^T \delta r^G) + (M^G)^T \delta \pi \quad (C-5)$$

حيث القوة الناتجة النشطة للقطاع F تعطى فى مصطلحات للقوى

الناتجة للجزء F (معادلة ١) عن طريق

$$F = (F^P + F^D + F^A) - m g k = F' - m g k \quad (C-6)$$

المعادلاتن الجبرية لـ  $\pi r^G$ ,  $\delta$ , يمكن الحصول عليها من  $V^G$  و  $\Omega$

نسبياً كما وصف فى الملحق B.

استخدام  $V^G$  من معادلة (٨) و  $\Omega$  من معادلة (A-7)  $\pi r^G$ ,  $\delta\pi$  يمكن

التعبير عنهم فى مصطلحات من متجهات الموجودة للنظام B الكروى و R

الموضعى والأشكال الاستشهادية الديكارتية المتداخلة  $R_1:GZ_1Y_1Z_1$

$$(I=1,2,3)$$

$$\delta r^G = \delta X^G I + \delta Y^G J + \delta Z^G K \quad (C-7)$$

$$\delta \pi = \delta \phi I_2 + \delta \phi J_3 + \delta \psi K \quad (C-8)$$

العمل المؤثر الفعال للقطاع  $\delta W$  يعطى بواسطة معادلة (C-5)

ويمكن التعبير الآن عنها فى مصطلحات من أجزاء  $\delta q$

$$\delta W' = [(F')^T I] \delta x^G + (F')^T I] \delta Y^G + (F') \delta Z^G + \{(M^G)^T i_2\} \delta \phi + \{(M^G)^T j_3\} \delta \theta + \{(M^G)^T k\} \delta \psi \quad (C-9)$$

الشكل المعادل من  $\delta W$  يعطى بواسطة معادلة (B-13) يستخدم

لتحقيق الأجزاء لمتجه القوى المطلقة النشطة Q المتطابقة لمتجه الأحداث

المطلق q حى

$$Q' = [Q'_x, Q'_y, Q'_z, Q'_\phi, Q'_\theta, Q'_\psi]^T = [Q'_1, \dots, Q'_6]^T \quad (C-10)$$

السماح F و  $F^A$  يعبر عنهم فى أجزاء B الشامل مثل هذا :

$$F = FxI + FyJ + FzK = F' - m g k \quad (C-11)$$

و

$$F' = F'xI + F'yJ + F'zK = F'xI + F'yJ + (Fz + mg) k \quad (C-12)$$

والسماح لـ  $M^G$  يعبر عنها فى أجزاء R الموضعية فى مثل هذا :

$$M^G = M^G_x j + M^G_y i + M^G_z k \quad (C-13)$$



الاستخدام لمعادلة (B-13) ومعادلات (C-9) إلى آخر (C-13)

تؤدي إلى النتائج التالية لمصطلحات الجانب الأيمن لمعادلات لاجرانج :

$$\begin{aligned} Q'_x &= (F')^T I = F'_x - F_x ; \\ Q'_y &= (F')^T J = F'_y - F_y ; \\ Q'_z &= (F')^T K = F'_z = F_z + mg; \\ Q'_\phi &= (M^G)^T i_2 = M^G_x c\theta c\psi - M^G_y c\theta c\psi + M^G_z s\theta; \\ Q'_\theta &= (M^G)^T j_3 = M^G_x s\psi + M^G_y c\psi; \\ Q'_\psi &= (M^G)^T K = M^G_z \end{aligned} \quad (C-14)$$

استخدام معادلات (C-4) و (C-14) ومعادلات لاجرانج القياسية

الستة (معادلات ٢٩) لحركة B Sx الآن يمكن كتابتها في معادلة :

$$\begin{aligned} m \ddot{X}^G &= F_x ; \\ m \ddot{Y}^G &= F_y ; \\ m \ddot{Z}^G &= F_z ; \\ I_1(\ddot{\phi}^2 c^2 \theta - 2\dot{\phi} \dot{\theta} s\theta c\theta) + I_t(\ddot{\phi}^2 s^2 \theta + 2\dot{\phi} \dot{\theta} s\theta c\theta + \\ &\quad \ddot{\psi} s\theta + \dot{\theta} \dot{\psi} c\theta) \\ &= M^G_x c\theta c\psi - M^G_y c\theta \psi + M^G_z s\theta; \\ I_t(\ddot{\theta}^2 + \dot{\phi}^2 s^2 \theta c\theta) - I_t(\dot{\phi}^2 s\theta c\theta + \dot{\phi} \dot{\psi} c\theta) &= M^G_z s\psi + M^G_y c\psi; \\ I_t(\ddot{\phi}^2 s\theta + \ddot{\psi} + \dot{\theta} \dot{\phi} c\theta) &= M^G_z \end{aligned} \quad (C-15)$$

